

---

## ČESKÉ VYSOKÉ UČENÍ TECHNICKÉ V PRAZE

Fakulta stavební

K134 - Katedra ocelových a dřevěných konstrukcí

### Cenová optimalizace požárně bezpečnostního návrhu multifunkční haly

Price optimization of fire safety design  
of multifunctional hall

Bakalářská práce

Studijní program: Stavební inženýrství  
Studijní obor: Požární bezpečnost staveb  
Vedoucí práce: Ing. Michal Netušil, Ph.D.

Jan Předota

---

## Prohlášení

Prohlašuji, že na této bakalářské práci jsem pracoval samostatně pod odborným vedením Ing. Michala Netušila, Ph.D. a informace jsem čerpal z uvedené literatury.

Nemám námitek proti použití tohoto školního díla ve smyslu §60 Zákona č. 121/2000 Sb. o právu autorském, o právech souvisejících s právem autorským a o změně některých zákonů (autorský zákon).

V Praze dne 15. 5. 2013

Jan Předota

## Poděkování

Chtěl bych poděkovat celé své rodině, že při mně stála a podporovala mě nejen při tvorbě této práce ale během celého mého studia. Zvláštní poděkování patří mým rodičům a prarodičům, kterým patří mé velké uznání a vděk za vše, co pro mě udělali. Děkuji panu Ing. Romanovi Netušilovi za poskytnutí přístupu k českým technickým normám, které zajišťuje Úřad pro technickou normalizaci, metrologii a státní zkušebnictví. V neposlední řadě bych rád velmi poděkoval panu Ing. Michalovi Netušilovi, Ph.D. za výborné vedení této bakalářské práce a jeho pohotový přístup k mým častým dotazům.

# Abstrakt

Předmětem této práce je posouzení ocelové konstrukce z hlediska požární bezpečnosti. V první části je vytvořen modelový objekt haly vhodný pro tento účel. Objekt představuje typický příklad halového objektu s rozdelenými provozy pro výrobu a administrativu. V další části je požárně bezpečnostní řešení, kde jsou stanoveny požadované požární odolnosti ocelové konstrukce a další protipožární opatření. Celá třetí část se věnuje návrhu a posouzení ocelové konstrukce za běžné teploty. Data z těchto tří částí jsou nezbytná pro samotné posouzení konstrukce za požáru a vyhodnocení ocelové konstrukce z hlediska nutnosti a volby protipožární ochrany jednotlivých prvků.

## ***Klíčová slova***

*Požární odolnost, požárně bezpečnostní řešení, protipožární ochrana, ocelová konstrukce, skladovací hala*

# Abstract

The objective of this thesis is to assess the steel structures for fire safety. In the first part is created a model of storage hall suitable for this purpose. The building is a typical example of an industrial building with split parts for production and administration. Next part contains the fire safety design, which sets out the required fire resistance of steel structures and other fire protection precautions. The entire third part is devoted to the design and assessment of steel structures at normal temperature. Data from these three parts are necessary for the assessment for fire and the evaluation of steel structures in terms of having and choice of fire protection features.

## ***Keywords***

*Fire resistance, fire safety design, fire protection, steel structure, storage hall*

# Obsah

Zadání.....	II
Prohlášení.....	III
Poděkování.....	IV
Abstrakt.....	V
<b>1. ÚVOD</b>	
1.1.       Motivace pro bakalářskou práci	
1.2.       Cíle	
<b>2. ZADÁNÍ</b>	
2.1.       Zadání	
2.2.       Výkres č. 1, Dispozice objektu	
2.3.       Výkres č. 2, Pohledy 1/2	
2.4.       Výkres č. 3, Pohledy 2/2	
2.5.       Výkres č. 4, Situace 1: 500	
<b>3. POŽÁRNĚ BEZPEČNOSTNÍ ŘEŠENÍ</b>	
3.1.       Požárně bezpečnostní řešení	
3.2.       Příloha 1 – Výkres č. 5, Primární nosná konstrukce	
3.3.       Příloha 2. – Výkres č. 6, Výkres skladby stropu	
3.4.       Příloha 3. – Výkres č. 7, Výkres požární ochrany	
3.5.       Příloha 4. – Výkres č. 8, Situace – požární ochrana	
<b>4. NÁVRH KONSTRUKCE ZA BĚŽNÉ TEPLITOY</b>	
4.1.       Návrh konstrukce za běžné teploty	
4.2.       Příloha 1. – Návrh stropní konstrukce – vestavba 1NP	
4.3.       Příloha 2. – Výkres č. 6, Výkres skladby stropu	

- 4.4. Příloha 3. – Katalog Porotherm strop 2012
- 4.5. Příloha 4. – Tabulky únosností střešních panelů Kingspan
- 4.6. Příloha 5. – Detail šroubovaného spoje ztužidla
- 4.7. Příloha 6. – Detail rámového rohu
- 4.8. Příloha 7. – Výkres č. 5, Primární nosná konstrukce
- 4.9. Příloha 8. – Katalog výrobce ocelových táhel Macalloy

## 5. POSOUZENÍ KONSTRUKCE ZA POŽÁRU

- 5.1. Posouzení konstrukce za požáru
- 5.2. Příloha 1. Výkres č. 5, Primární nosná konstrukce
- 5.3. Příloha 2. Výkres č. 7, Výkres požární ochrany
- 5.4. Příloha 3. Report parametrické křivky dle OZone V 2.2.5

## 1. ÚVOD

### 1.1. MOTIVACE PRO BAKALÁŘSKOU PRÁCI

Nároky na výstavbu se neustále zvyšují společně s vyššími nároky lidí. Klademe důraz na funkčnost, estetiku, zdravotní nezávadnost stavebních hmot, ekologický dopad výstavby na životní prostředí, udržitelný rozvoj a v neposlední řadě bezpečnost osob při výstavbě a užívání stavby. Dnes lze bohužel s nadsázkou říci, že člověk nestaví z cihel nýbrž z peněz. Finance jsou výchozím faktorem téměř pro každé rozhodnutí v procesu výstavby a jde ruku v ruce s každým dalším požadavkem na daný projekt. Finanční prostředky investorů jsou však omezené a tak z jejich strany může vznikat tlak na projektanty a stavebníky. To se projevuje v kvalitě navržených a provedených budov. Šetření finančních prostředků je jedním z častých původců konstrukčních vad či dokonce kolapsů budov. K obrácené situaci mohlo dojít v momentě, kdy stavebník na úkor nevědomosti investora plýtvá jeho finančním prostředky ve svůj prospěch. Tomu bylo třeba zabránit a dostalo se ke vzniku norem.

Technické normy začaly v souladu se zákony chránit účastníky procesu výstavby a staly se vodítkem pro optimální návrh konstrukcí. Základním parametrem pro tvorbu norem je mimo jiné spolehlivost, která jde ruku v ruce s životností. Pomocí statistických údajů byly stanoveny postupy návrhu jednotlivých konstrukcí tak, aby byly bezpečné a ekonomické neboli společensky přijatelné. Můžeme říci, že normy jsou nástrojem prevence. Za prevenci můžeme považovat veškeré kroky, které podnikneme za účelem předejít nechtěné situaci. Takovou situací může být mimo jiné požár. Požár je mimořádná situace, která má za následek rozsáhlé ztráty na majetku a představuje riziko pro životy lidí. Proto se normy a zákony u nás i v zahraničí zabývají prevencí před požárem.

Technické normy staví na dlouhodobých poznatcích o požáru. Požární bezpečnost staveb se týká dílčích požadavků na stavbu: zachování nosnosti a stability konstrukce, omezení rozvoje a šíření ohně a kouře, omezení šíření požáru na sousední objekty, umožnění bezpečné evakuace osob a umožnění účinného a bezpečného zásahu jednotkám požární ochrany. Normy pro projektování budov, které se zabývají požární ochranou, zohledňují všechny tyto požadavky a zavádí odpovídající protipožární opatření, které jsou: vhodná dispoziční řešení, vhodná volba materiálů a konstrukcí, stanovení požadavků na požární odolnost, instalace dostatečných požárně bezpečnostních zařízení, bezpečná technická zařízení. Pro stanovení těchto opatření můžeme používat další doplňující nástroje, které nám poskytují zefektivnění návrhu. Dnes

umíme popsat zjednodušené modely požáru nebo modely pokročilé, které reálněji popisují průběh hoření a vývoj teplot a kouře při požáru. Tyto modely se nadále zdokonalují a právě kvůli optimalizaci návrhu budov a ochraně lidského života je nutné těchto moderních nástrojů využívat. Jsme schopni odhadnout teploty působící na konstrukci zasaženou požárem a zohlednit to v posouzení. Zavedeme redukční součinitele vlastností daného materiálu a zatížení a upravíme další parametry konstrukce změněné vlivem požáru. Výsledkem je schopnost konstrukce odolávat účinkům požáru neboli požární odolnost. Pro toto zhodnocení používáme tzv. mezní stav, které se odvíjí od funkce daného konstrukčního prvku a typu prvku. Požadavky na splnění těchto mezních stavů jsou určeny v ČSN EN 13501. Rozlišujeme například mezní stav celistvosti (E), izolace (I), únosnosti (R), a další. Pokud samotný prvek nesplňuje dané požadavky na požární odolnost, je nutné ho chránit. Volba ochrany je závislá na konkrétních stavebních podmínkách a požadované době požární odolnosti. V případě ocelových konstrukcí se volí standardně taková ochrana, aby nebyly zásadně sníženy vlastnosti oceli vlivem teploty v závislosti na redukovaném zatížení. Při návrhu vhodné ochrany je třeba zohlednit cena samotného ochranného systému, cena za montáž a její životnost. To vše má vliv na finanční náklady stavby během jejího užívání.

## 1.2. CÍLE

Cílem této bakalářské práce je stanovit požárně bezpečnosti požadavky na příkladu skladovací haly, navrhnut nosnou ocelovou konstrukci a posoudit za běžné teploty a teploty za požáru. Poté odpovědět na otázku, zdali je nutné danou konstrukci požárně chránit a pokud ano, tak jakým způsobem.



---

**ČESKÉ VYSOKÉ UČENÍ TECHNICKÉ V PRAZE**

Fakulta stavební

K 134 Katedra ocelových a dřevěných konstrukcí

BAKALÁŘSKÁ PRÁCE

**ZADÁNÍ**

Studijní program: Stavební inženýrství

Studijní obor: Požární bezpečnost staveb

Vedoucí práce: Ing. Michal Netušil, Ph.D.

**Jan Předota**

---

**Praha 2013**

## **Obsah**

1.	ÚVOD .....	3
2.	VŠEOBECNÉ INFORMACE .....	4
3.	ÚČEL A ZÁKLADNÍ POPIS OBJEKTU.....	4
4.	TECHNICKÝ POPIS OBJEKTU .....	5

## **Přílohy**

PŘÍLOHA 1- Výkres č. 1, Dispozice objektu

PŘÍLOHA 2- Výkres č. 2, Pohledy 1/2

PŘÍLOHA 3- Výkres č. 3, Pohledy 2/2

PŘÍLOHA 4- Výkres č. 4, Situace 1:500

## 1. ÚVOD

Pro účel této bakalářské práce je třeba vytvořit vhodný model halového objektu s ocelovým konstrukčním systémem. Dále je nutné zvolit provoz s vhodným množstvím požárního zatížení. Je žádoucí, aby hlavní prostor výroby odpovídal cca III. stupni požární bezpečnosti. Při vyšších stupních požární bezpečnosti by byly nároky na požární odolnost ocelové konstrukce příliš vysoké. Její posouzení za zvýšené teploty by bylo nevyhovující a nutnost protipožární ochrany jednoznačně nutná. Pro zajímavost požárně bezpečnostního řešení je vhodné vytvořit z požárního hlediska multifunkční halu. Zvolit nejlépe kombinace takových provozů, aby bylo nutné při řešení objektu použít normy pro požární bezpečnost výrobních i nevýrobních objektů. Takovým případem může být kombinace administrativy a výroby. Výroba bude dále rozdělena na výrobní halu a skladovací halu. Výsledkem bude dvoulodní objekt haly s administrativní vestavbou. Vestavba bude staticky nezávislá na nosné konstrukci haly a bude mít dvě nadzemní podlaží. Konkrétním provozem v hale bude výroba nábytku s velkoskladem. Dispozice objektu a základní rozměry jsou zřejmé z PŘÍLOHY 1 a technického popisu v následující kapitole.

## **2. VŠEOBECNÉ INFORMACE**

Stavby: Výrobní hala nábytku v Doubravicích  
Místo stavby: Zděbradská 110, 251 01, Doubravice  
Okres: Praha - východ  
Rozměry: 50,5 m x 18,5 m  
Výška objektu: 9,5 m  
Zastavěná plocha: 1850 m<sup>2</sup>  
Datum: 3.2013

## **3. ÚČEL A ZÁKLADNÍ POPIS OBJEKTU**

Stavba leží v průmyslové zóně obce Doubravice v těsné blízkosti rychlostní komunikace D1. K objektu se lze dostat z ulice Zděbradská jediným vjezdem šířky 4,5 m. Nejbližším sousedním objektem je dvoupodlažní stavba nevýrobního charakteru v minimální vzdálenosti 26 m od objektu.

Jedná se o dvoulodní jednopodlažní halovou stavbu s dvoupodlažní vestavbou. Při ploše 1850 m<sup>2</sup> má hala rozměry 50,5 m x 18,5 m a výšku 9,5 m.

Objekt haly bude využíván pro výrobu a velkosklad nábytku s přidruženými provozy administrativy a obchodu.

Velkosklad o ploše 900 m<sup>2</sup> a skladovací výškou max. 6,5 m disponuje dvěma nakládacími/vykládacími rampami. V prostoru skladu bude rovnoměrně rozmístěn skladovaný nábytek. Výrobní hala má plochu 650 m<sup>2</sup>. Zásobovací vrata jsou na východní straně objektu. Výroba se skladem jsou provozně propojeny posuvnými vraty.

Vestavba haly je dvoupodlažní. 1NP slouží jako zázemí zaměstnanců skladu a obchod s vlastním příručním skladem. Ve 2NP je soustředěna administrativní část s archivem a sociálním zázemím.

Vstup do objektu je možný přes vstupní halu vestavby. Zákazníci vstupují přímo do prostor obchodu. Velkosklad je opatřen vedlejším vchodem na západní straně objektu.

## **4. TECHNICKÝ POPIS OBJEKTU**

### **4.1. Základy**

Základovou konstrukci tvoří železobetonové patky. Po obvodu objektu bude vybetonován železobetonový věnec, který bude ztužovat násypové těleso a bude sloužit jako bednění pro betonovou základovou desku tl. 300mm. Patky a obvodové pásy budou založeny do nezámrzné hloubky 1 m.

### **4.2. Primární nosná konstrukce**

Jedná se o dvoulodní objekt haly. Základní nosný konstrukční systém tvoří ocelová rámová konstrukce. Spojité rámy o dvou polích (třech řadách sloupů) jsou v osových vzdálenostech 5 m. Rozpětí obou dvou lodí je 18 m. Výška sloupů je 7 m a vzepětí střechy je 1,5 m. Celková výška objektu měří ke hřebeni cca 9,5 m. Sloupy profilu HEA jsou kloubově osazeny na základové železobetonové patky. Příčle profilu IPE jsou tuze svařeny se sloupy. Objekt tvoří 11 spojitých rámů.

### **4.3. Ztužující konstrukce**

Primární nosná konstrukce je ve svislém podélném směru ztužena křížovými ztužidly v podobě ocelových trubek ve všech třech slousových řadách mezi rámy E - F. Svislá příčná tuhost je zajištěna samotnými ocelovými rámy. Vodorovná tuhost závisí na tuhosti ve střešní rovině. Zde budou podélná i příčná ztužidla, která působí jako příhradová konstrukce.

### **4.4. Střešní plášt'**

Nosnou konstrukcí tvoří ocelové vaznice profilu IPE, kladené na příčné rámy v osových vzdálenostech 1,5m (horizontální vzdálenost). Vaznice působí jako prosté nosníky. Vlastní plášt' tvoří střešní izolační panely Kingspan KS100RW tloušťky 120mm ( $U=0,180\text{ W/m}^2\text{K}$ ).

### **4.5. Opláštění stěn**

Objekt je opláštěný izolačními panely Kingspan KS1000 AWP tloušťky 120mm ( $U=0,187\text{ W/m}^2\text{K}$ ). Panely jsou kladený horizontálně na hlavní nosné sloupy profilu HEA a pomocné fasádní sloupy. Osové vzdálenosti podpor panelů jsou 3 m ve štitové stěně a 2,5 m v případě bočních stěn. Sloupy jsou kloubově uloženy k základové konstrukci a k podélnému střešnímu příhradovému ztužidlu. Sloupy jsou zajištěny proti vybočení stabilizačními rozpěrami mezi sloupy ve formě ocelových úhelníků.

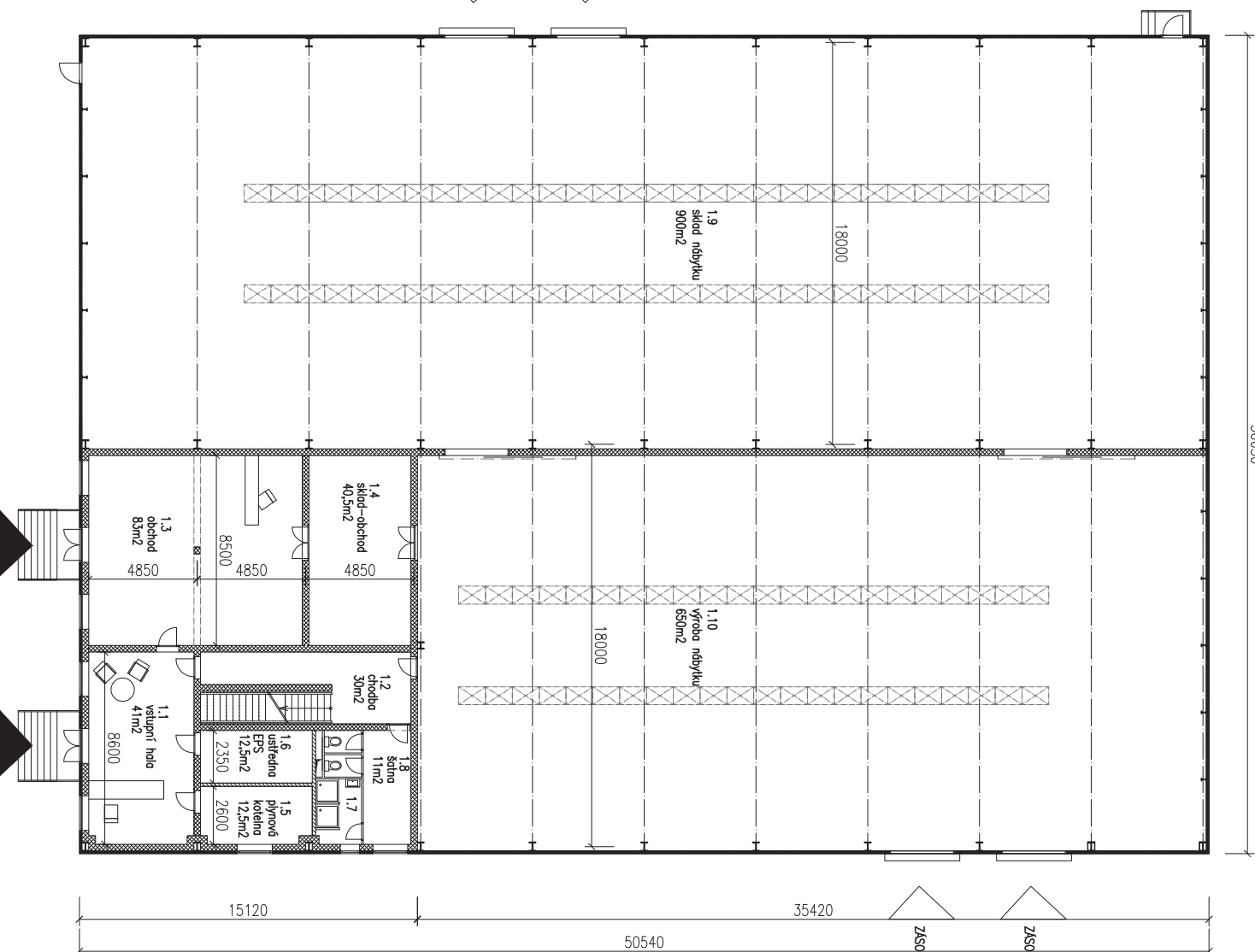
#### **4.6. Vnitřní dělící konstrukce**

Vnitřní prostory jsou rozděleny do třech částí. Vestavba tvoří samostatnou staticky i dispozičně oddělenou jednotku. Jedinou zbývající dělící konstrukcí je stěna mezi výrobní a skladovací halou. Tato stěna provozně odděluje obě lodě. Jedná se o zděnou dělící konstrukci tloušťky 300 mm ze systému Porotherm.

#### **4.7. Konstrukce vestavby**

Konstrukce vestavby je staticky nezávislá na primární nosné konstrukci haly. Jedná se o dvoupodlažní zděnou stavbu systému Porotherm s rozměry 15 m x 18 m. Obvodové zdivo je tloušťky 300 mm a stejně tak vnitřní nosné stěny. Nenosné dělící konstrukce jsou z příčkovek tloušťky 150 mm výjimečně 80 mm. Stropní konstrukci 1NP tvoří vložkový keramický strop tloušťky 270 mm. Ve 2NP je navržen pouze tepelně zaizolovaný samonosný sádrokartonový podhled zavěšený na ocelové nosníky. Schodiště z 1NP do 2NP je ocelové schodnicové.

PÜDORYS 1NP



PROVOZ OBJEKTU

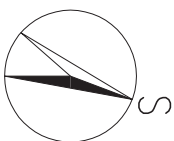
Objekt haly bude využíván pro výrobu a velkosklad nábytku s provozem výškou administrativního objektu. Objekt bude disponovat dvěma výrobními halami o rozloze 900 m<sup>2</sup> a skladovací rampou o výšce max. 6,5 m pro skladování materiálů. Výrobní halu bude rovnoramenně rozdělena na dva národky. Výrobna má plochu 650 m<sup>2</sup>. Zásobovací vrata jsou na zadní straně objektu. Rampy pro export výrobků jsou na zadní straně. Výroba se skladem jsou provozovány v jednotlivých výrobních vratách.

Vestavba haly je dvoupodlažní, 1NP slouží jako zázemí zaměstnanců skladu a obchodu s vlastním příručním skladem. Ze skladu je soustředěno administrativní část s archivem a sociálním zázemím.

násytek. Výrobní hala má plochu 650 m<sup>2</sup>. Zásobovací vrata skladem jsou na západní straně objektu. Rampy pro export výrobků jsou na západní straně. Výroba se skladem jsou provozně propojeny posuvními vrati.

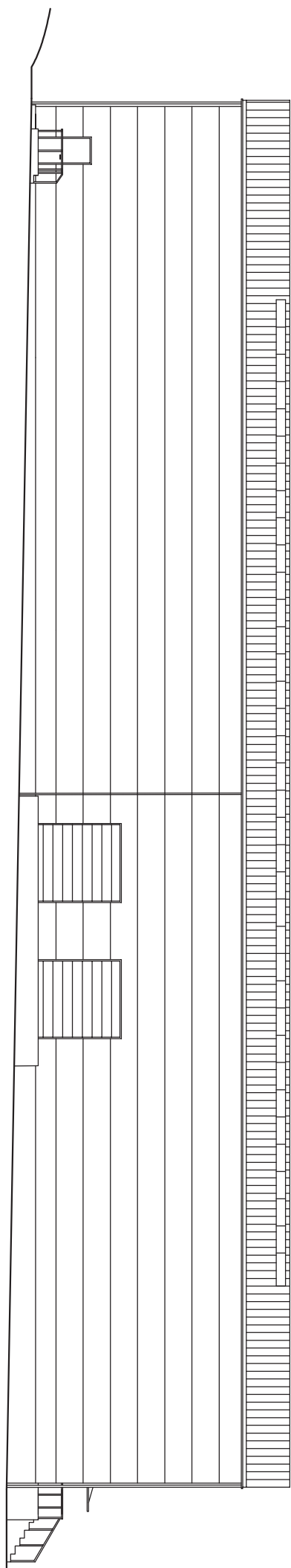
Vestavba hal je dvoupodlažní. INP slouží jako zájemci zaměstnanců skladu o obchod s vlastním příručním skladem. Ve 2NP je soustředěna administrativní část s archivem a sociálním zařízením.

Vstup do objektu je možný přes vstupní halu vestavby. Zákazníci vstupují přímo do prostor obchodu. Velkosklad je opatřen velejším vchodem na západní straně objektu.

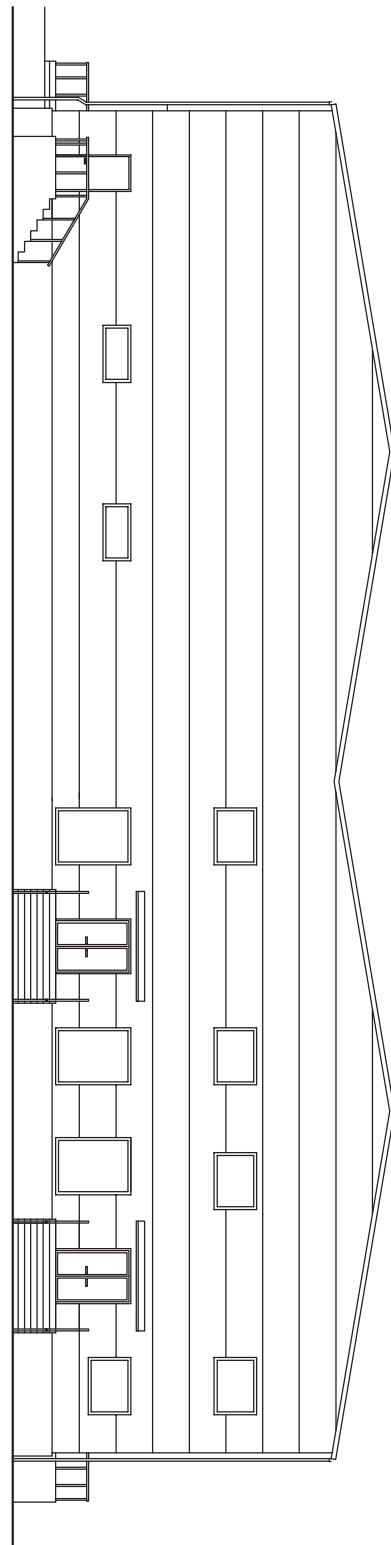


ČESKÉ VYSOKÉ UČENÍ TECHNICKÉ V PRAZE	
K 134 KATEDRA OCÉLOVÝCH A DŘEVENÝCH KONSTRUKcí	
BAKALÁŘSKÁ PRÁCE	
VÝMĚR	DISPONOVÁNÍ
DISPOZICE OBJEKTU	PUDORYS 1NP 1:200 PUDORYS 2AP 1:200
JAN PŘEDOTA	DATAVN 3.2013 STUZESSR
	Si-Q

# ZÁPADNÍ POHLED

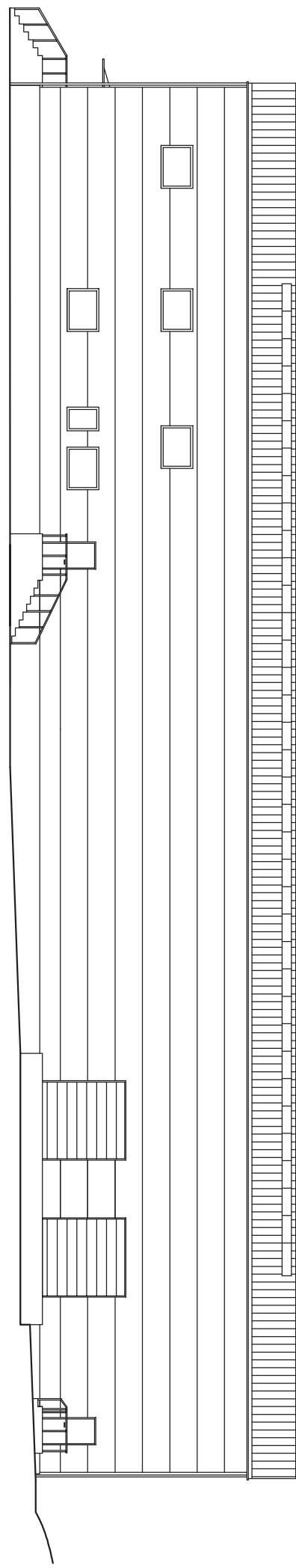


# JIŽNÍ POHLED

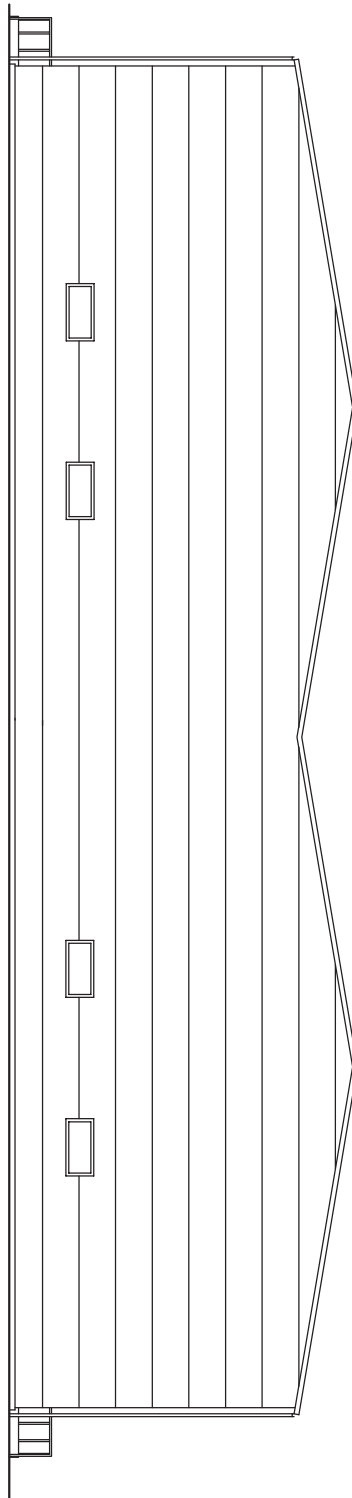


ČESKÉ VYSOKÉ UČENÍ TECHNICKÉ V PRAZE	
K134 KATEDRA OCELOVÝCH A DŘEVĚNÝCH KONSTRUKcí	
BAKALÁŘSKÁ PRÁCE	OBSAHUJE:
VÝKRESY	ZÁPADNÍ POHLED 1:200
POHLEDY 1/2	JIŽNÍ POHLED 1:200
VYPRACOVÁL	VÝKRES Č.
JAN PŘEDOTA	2
STUDIOR	DATUM
Si-Q	3.2013

# VÝCHODNÍ POHLED



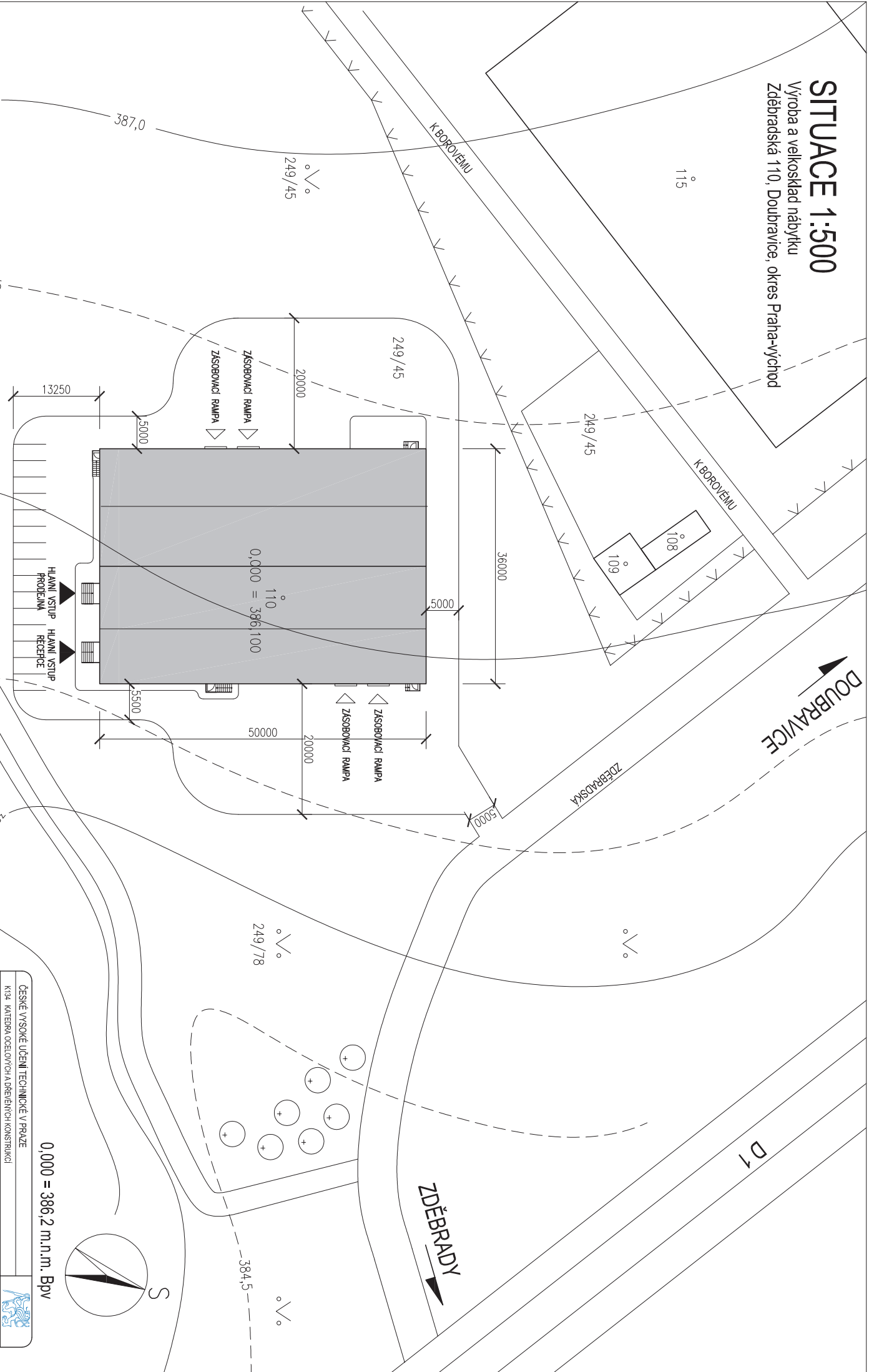
## SEVERNÍ POHLED



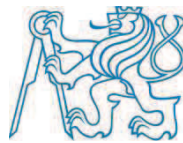
ČESKÉ VYSOKÉ UČENÍ TECHNICKÉ V PRAZE	
K134 KATEDRA OCELOVÝCH A DŘEVĚNÝCH KONSTRUKcí	
BAKALÁŘSKÁ PRÁCE	OBSAHUJE:
VÝKRES	VÝKRES Č.
POHLEDY 2/2	SEVERNÍ POHLED 1:200
VYPRACOVÁL	DATUM
JAN PŘEDOTA	3.2013
STUDIOR	Si-Q

# SITUACE 1:500

Výroba a velkosklad nábytku  
Zděbradská 110, Doubrovice, okres Praha-východ



ČESKÉ VYSOKÉ UČENÍ TECHNICKÉ V PRAZE	
K 134 KATEDRA OCÉLOVÝCH DŘEVENÝCH KONSTRUKCIÍ	
BAKALÁŘSKÁ PRÁCE	
VYKRESLIL	SITUACE 1:500
SITUACE	JAN PŘEDOTA
VYKRESLIL	Si-Q



# ČESKÉ VYSOKÉ UČENÍ TECHNICKÉ V PRAZE

---

Fakulta stavební

K134 Katedra ocelových a dřevěných konstrukcí

BAKALÁŘSKÁ PRÁCE

## POŽÁRNĚ BEZPEČNOSTNÍ ŘEŠENÍ

Studijní program: Stavební inženýrství

Studijní obor: Požární bezpečnost staveb

Vedoucí práce: Ing. Michal Netušil, Ph.D.

**Jan Předota**

---

Praha 2013

## **Obsah**

1.	VÝCHOZÍ A POUŽITÉ PODKLADY, ČSN A PRÁVNÍ PŘEDPISY .....	3
2.	SEZNAM ZKRATEK .....	3
3.	POPIS OBJEKTU A STAVEBNĚ TECHNICKÉ ŘEŠENÍ .....	4
4.	ROZDĚLENÍ OBJEKTU DO POŽÁRNÍCH ÚSEKŮ .....	7
5.	URČENÍ POŽÁRNÍHO RIZIKA .....	7
6.	POŽÁRNÍ ODOLNOST STAVEBNÍCH KONSTRUKCÍ .....	12
7.	ÚNIKOVÉ CESTY .....	20
8.	ODSTUPY .....	25
9.	ZAŘÍZENÍ PRO PROTIPOŽÁRNÍ ZÁSAH .....	27
10.	TECHNICKÁ ZAŘÍZENÍ .....	29
11.	POŽÁRNĚ BEZPEČNOSTNÍ ZAŘÍZENÍ .....	31
12.	BEZPEČNOSTNÍ ZNAČKY A TABULKY .....	33
13.	ZÁVĚR .....	33

## **Přílohy**

PŘÍLOHA 1- Výkres č. 5, Primární nosná konstrukce

PŘÍLOHA 2- Výkres č. 6, Výkres skladby stropu 1NP

PŘÍLOHA 3- Výkres č. 7, Výkres požární ochrany

PŘÍLOHA 4- Výkres č. 8, Situace - požární ochrana

## **1. VÝCHOZÍ A POUŽITÉ PODKLADY, ČSN A PRÁVNÍ PŘEDPISY**

- [1] ČSN 73 0802 Požární bezpečnost staveb- Nevýrobní objekty
- [2] ČSN 730804 Požární bezpečnost staveb- Výrobní objekty
- [3] ČSN 730810 Požární bezpečnost staveb- Společná ustanovení
- [4] ČSN 73 0818 Požární bezpečnost staveb- Obsazení objektu osobami
- [5] ČSN 73 0821 Požární bezpečnost staveb- Požární odolnost stavebních konstrukcí
- [6] ČSN 73 0845 Požární bezpečnost staveb- Sklady
- [7] ČSN 73 0873 Požární bezpečnost staveb- Zásobování požární vodou
- [8] ČSN 73 0875 Požární bezpečnost staveb- Navrhování elektrické požární signalizace
- [9] ČSN ISO 3864 Bezpečnostní barvy a bezpečnostní značky
- [10] ČSN 070703 Kotelny se zařízeními na plynná paliva
- [11] ČSN 73 4201 Komíny a kouřovody- Navrhování, provádění a připojování spotřebičů paliv
- [12] Zákon ČNR č.133/1985 Sb., o požární ochraně v platném znění
- [13] Vyhláška MVČR č.246/2001 Sb., o stanovení podmínek požární bezpečnosti a výkonu státního odborného dozoru
- [14] Vyhláška MVČR č. 23/2008 Sb. o technických podmínkách požární ochrany staveb
- [15] Vyhláška MVČR č. 246/2001 Sb.
- [16] Hodnoty požární odolnosti stavebních konstrukcí podle Eurokódů (PAVUS, a. s.)

## **2. SEZNAM ZKRATEK**

MVČR = Ministerstvo vnitra České Republiky, ČSN = česká státní norma, PÚ = požární úsek, SPB = stupeň požární odolnosti, PO = požární odolnost, PNP = požárně nebezpečný prostor, VP = volné prostranství, PHP = přenosný hasicí přístroj, KUP = kotelnový uzávěr plynu, SSHZ = samočinné stabilní hasicí zařízení, SOZ = samočinné odvětrávací zařízení, PTV = požární těsnící vložka

### **3. POPIS OBJEKTU A STAVEBNĚ TECHNICKÉ ŘEŠENÍ**

#### **3.1 STAVEBNĚ TECHNICKÉ ŘEŠENÍ**

##### **Základy**

Základovou konstrukci tvoří železobetonové patky. Po obvodu objektu bude vybetonován žel. bet. věnec, který bude ztužovat násypové těleso a bude sloužit jako bednění pro betonovou základovou desku tl. 300mm. Patky a obvodové pásy budou založeny do nezámrzné hloubky 1 m. Nosné stěny vestavby jsou také založeny na základových pásech.

##### **Primární nosná konstrukce**

Jedná se o dvoulodní halový objekt. Základní nosný konstrukční systém tvoří ocelové sloupy a rámy. Rozměry haly činí 51 m x 18 m. Výška ve hřebeni je 9,4 m.

Nosné ocelové sloupy jsou v osových vzdálenostech 5 m a rozpětí rámů je 18 m.

Sloupy jsou kloubově osazeny na základové železobetonové patky.

Ocelový rám je svařovaný s válcovaných profilů IPE.

V objektu je 11 spojitéch rámů o dvou polích.

##### **Svislé nosné konstrukce vestavby**

Svislou nosnou konstrukci vestavby tvoří zděné stěny systému POROTHERM tloušťky 300 mm. Na nich leží keramický strop stejného výrobce. V prodejně je navíc zděný sloup 300 mm x 300 mm, který nese ocelové nosníky. Rozmístění nosných stěn je patrné a prutí stropů je patrné v PŘÍLOZE 2.

##### **Ztužující konstrukce**

Primární nosná konstrukce je ve svislém podélném směru ztužena ocelovými úhelníky na západní, střední a východní stěně mezi rámy E a F. Svislá příčná tuhost je zajištěna samotnými rámy. Vodorovná tuhost závisí na tuhosti ve střešní rovině. Zde budou podélná i příčná ztužidla.

### **Střešní plášt'**

Konstrukce střešního pláště se skládá z ocelových válcovaných vaznic kladených kolmo na rámy v osových vzdálenostech 1,5m (1530mm šíkmá vzdálenost) a vlastních střešních panelů Kingspan KS100RW tloušťky 120mm ( $U=0,180\text{ W/m}^2\text{K}$ ).

### **Fasádní plášt'**

Objekt je opláštěný izolačními panely Kingspan KS1000 AWP tloušťky 120mm ( $U=0,187\text{ W/m}^2\text{K}$ ) kladenými horizontálně na primární nosnou konstrukci a pomocné sloupky (válcované profily IPE). Sloupky jsou ve štítových stěnách rozmístěny v osových vzdálenostech 3 m. V místě vestavby je plášt' kotven pomocí hliníkových profilů přímo do zdiva vestavby.

### **Vnitřní dělící konstrukce**

Vnitřní prostory jsou odděleny zděnými stěnami systému POROTHERM převážně tloušťky 150 mm. Výrobní a skladovací hala jsou odděleny stěnou tl. 300 mm, která sahá až ke střešní konstrukci. Stěna je kotvena příchytkami k ocelovým sloupům primární nosné konstrukce.

### **Stropní konstrukce**

Administrativní vestavba je v 1NP zastropena keramickým vložkovým stropem.

Konstrukce leží na nosném zdivu vestavby, které je staticky nezávislé na primární konstrukci haly.

Stropní konstrukce ve 2NP je funkčně nahrazena střešní konstrukcí haly a lehkým samonosným podhledem.

### **Schodiště**

Předsazená betonová schodiště před objektem budou samostatně založená do nezámrzné hloubky. Schodiště uvnitř vestavby je ocelové schodnicové.

Jedná o **NEHORLAVÝ KONSTRUKČNÍ SYSTÉM**

[2] odst. 5.7.1

**POŽÁRNÍ VÝŠKA:**  $h=0,0\text{ m}$  (haly);  $h=3,25\text{ m}$  (vestavba)

[2] odst. 5.3.5

### **3.2 ÚČEL UŽÍVÁNÍ, PROVOZ**

Dispozice objektu je patrná v PŘÍLOZE 3. Objekt haly bude sloužit pro výrobu nábytku, následné skladování zhotovených výrobků a jejich distribuci. Dále zde bude administrativní vestavba s prostory pro obchod a styk se zákazníky.

Velkosklad o ploše 900 m<sup>2</sup>, se skladovací výškou maximálně 6,5 m, bude disponovat dvěma nakládacími/vykládacími rampami. Do skladu bude možné vstoupit vraty přes výrobní halu nebo vedlejšími vchody na západní a jižní straně objektu. Výrobní hala bude mít vedlejší vchody a zásobovací rampy na východní fasádě. Výrobní hala bude mít plochu 650 m<sup>2</sup>.

Vestavba haly bude dvoupodlažní. 1NP bude sloužit jako zázemí zaměstnanců skladu a prodejna nábytku s vlastním příručním skladem. Ve 2NP bude soustředěna administrativní část s archivem a sociálním zázemím.

### **3.3. UMÍSTĚNÍ STAVBY A NÁVAZNOST NA OKOLNÍ ZÁSTAVBU**

Objekt bude situován v průmyslové zóně na kraji vesnice Doubravice. Jedná se o areál výrobních objektů, přilehlý blízko k rychlostní komunikaci D1. Hala leží na vzdálenějším konci areálu od Doubravic.

K objektu bude zbudována nová komunikace navazující na veřejnou komunikaci. Na západní a východní straně haly bude vytvořen prostor pro nákladní automobily o šířce 20 m. Na jižní straně bude situováno parkoviště pro osobní automobily. Kolem celého objektu bude zajištěna komunikace o min. šířce 4,5 m.

Nejbližším stávajícím objektem je restaurační objekt s parkovištěm, na severní straně objektu ve vzdálenosti 26 m.

## **4. ROZDĚLENÍ OBJEKTU DO POŽÁRNÍCH ÚSEKŮ**

Objekt lze dle [6] odst. 4.1 c) považovat za výrobní objekt určený pro skladování s půdorysnou plochou požárního úseku skladu větší než  $600\text{ m}^2$  v jednopodlažním objektu sloužícím současně pro výrobu a prodej. Konstrukce splňuje podmínu [6] odst. 4.3.1, která požaduje staticky nezávislou nosnou konstrukci vestavěných prostorů.

Sklad bude dle [6] odst. 4.2 a) samostatným požárním úsekem o ploše  $900\text{m}^2$ . Druhým požárním úsekem, který bude řešen dle [2], je výroba nábytku o ploše  $650\text{ m}^2$ .

Vestavba musí dle [6] odst. 4.2 d) tvořit samostatný požární úsek. Celková užitná plocha vestavby činí  $540\text{ m}^2$ . Další rozdelení na požární úseky a stanovení požadavků na požární ochranu vestavby se bude řídit dle [1].

Instalační šachta vestavby, která neprochází přes více požárních úseků, nemusí tvořit samostatný požární úsek dle [2] odst. 5.2.4.

<b>N1.1</b>	Sklad nábytku	$S=900\text{ m}^2$
<b>N1.2</b>	Výroba nábytku	$S=650\text{ m}^2$
<b>N1.3</b>	Obchod	$S=120\text{ m}^2$
<b>N1.4</b>	Strojovna vzduchotechniky	$S=12,5\text{ m}^2$
<b>N1.5</b>	Plynová kotelna	$S=12,5\text{ m}^2$
<b>N1.6/N2</b>	Administrativa, zázemí	$S=314\text{ m}^2$

## **5. URČENÍ POŽÁRNÍHO RIZIKA**

Požární rizika PÚ skladu jsou stanovena podle [2] a [6]. V hale **nebudou skladovány** látky uvedené v [6] část 1, pro které tato norma neplatí.

Požární riziko požárního úseku N1.1 a N1.2 je stanoveno pravděpodobnou dobou trvání požáru, stanovenou podle [2] rovnice 2. Ekvivalentní doba trvání požáru, potřebná k určení stupně požární bezpečnosti je stanovena dle [2] přílohy A na základě pravděpodobné doby trvání požáru. Požární riziko ostatních PÚ je stanoveno dle [1].

V následujícím výpočtu bylo použito těchto značek a veličin:

$p_n$	nahodilé požární zatížení	
$p_s$	stálé požární zatížení	
$k_1$	součinitel výhřevnosti	[2] příloha B
$S_0$	plocha otvorů	[2] odst. 6.4.2
$h_0$	výška otvorů	[2] odst. 6.4.2
$S_k$	povrchová plocha stavebních konstrukcí	[2] odst. 6.4.4
$F_0$	parametr odvětrání	[2] odst. 6.4.1
$k_4$	součinitel vlivu tepelně technických vlastností stavebních konstrukcí	[2] odst. 6.4.6
$F_1$	přepočtový parametr odvětrání	[2] odst. 6.4.6
$\gamma$	součinitel rychlosti odhořívání	[2] tab. 3
$k_3$	součinitel závislosti $S_k/S$	[2] odst. 6.4.5
$v_v$	rychllosť odhořívání	[2] odst. 6.5.2
$\tau$	pravděpodobná doba trvání požáru	[2] odst. 6.2.3
$\tau_e$	ekvivalentní doba trvání požáru	[2] odst. 6.2.1
$k_5$	součinitel vlivu počtu podlaží	[2] odst. 7.3.1
$k_6$	součinitel vlivu hořlavosti hmot v konstrukčním systému	[2] odst. 7.3.2
$k_7$	součinitel vlivu následných škod	[2] odst. 7.4
$k_8$	součinitel bezpečnosti	[2] odst. 8.4

### **5.3. VÝPOČET POŽÁRNÍHO RIZIKA PRO PÚ N1.1 a N1.2 dle [2]**

Výpočet požárního zatížení ve skladovací hale je založen na konzultaci s investorem, který uvádí následující údaje o plánovaném způsobu skladování a charakteru skladového materiálu.

Ve skladovací hale PÚ N1.1 se předpokládá nejnepříznivější stav požárního zatížení takový, že materiál bude rovnoměrně skladován na 60% celkové plochy požárního úseku, do skladovací výšky maximálně 6 m. Jedná se zejména o nábytek na bázi dřeva, který bude vyroben ve vedlejším prostoru výrobní haly.

Předpoklad: skladovací plocha..... $S_s=0,6*S_{PÚ}$

skladovací výška..... $h_s=6$  m

celková plocha PÚ..... $S_{PÚ}=900$  m<sup>2</sup>

výhřevnost nábytku..... $H_u=22$  MJ/kg →  $K=1,26$

množství materiálu..... $V_m=115$  kg/m<sup>3</sup>

PÚ	název místnosti	S (m <sup>2</sup> )	p <sub>n</sub> (kg/m <sup>2</sup> )		k <sub>1</sub>	p <sub>s</sub> (kg/m <sup>2</sup> )	k <sub>2</sub>	p (kg/m <sup>2</sup> )	h <sub>s</sub> (m)	S <sub>o</sub> (m <sup>2</sup> )	h <sub>o</sub> (m)	Sk (m <sup>2</sup> )	F <sub>0</sub> (m <sup>1/2</sup> )
N1.1	sklad nábytku	900	530	výpočet <sup>†</sup>	0,9	1,2	0,85	478,02	8,5	61	0,8	2770	0,020
N1.2	výroba nábytku	650	150	[1; A.1; 13.5.5]	0,9	1,2	0,85	136,02	8,5	44	0,8	1939	0,020

Výpočet p<sub>n</sub>:  $p_n=(0,6*S_{PÚ}*V_m*h_s*K)/S_{PÚ}=(0,6*900*115*1,26*6)/900=530$  kg/m<sup>2</sup>

\* Dle [2] přílohy A je nejvyšší započitatelná hodnota  $\tau=600$  min.

PÚ	název místnosti	c	k <sub>4</sub>	F <sub>1</sub> (m <sup>1/2</sup> )	y (kg*m <sup>-5/2*min</sup> )	k <sub>3</sub>	v <sub>y</sub> (kg*m <sup>-2*min</sup> )	τ (min)	τ* (min)	τ <sub>e</sub> (min)	k <sub>5</sub>	k <sub>8</sub>	τ <sub>e</sub> *k <sub>8</sub> (min)
N1.1	sklad nábytku	1	1	0,020	8,47	3,078	0,513	1032,2	600,0	180	1	0,42	75,00
N1.2	výroba nábytku	1	1	0,020	8,47	2,983	0,513	292,5	292,5	132	1	0,42	55,00

Dle předchozího výpočtu jsou stanoveny STUPNĚ POŽÁRNÍ BEZPEČNOSTI požárních úseků následovně:

**N1.1** Sklad nábytku                           **III.SPB**

**N1.2** Výroba nábytku                           **III.SPB**

### EKONOMICKÉ RIZIKO

Ekonomické riziko je určeno dle [2].

V následujícím výpočtu bylo použito těchto značek a veličin:

- |  |                 |
|--|-----------------|
| p <sub>1</sub> pravděpodobnost vzniku a rozšíření požáru               | [2] příloha E   |
| p <sub>2</sub> pravděpodobnost rozsahu škod způsobených požárem        | [2] příloha E   |
| k <sub>5</sub> součinitel vlivu podlaží objektu                        | [2] odst. 7.3.1 |
| k <sub>6</sub> součinitel vlivu konstrukčního systému                  | [2] odst. 7.3.2 |
| k <sub>7</sub> součinitel vlivu následných škod                        | [2] odst. 7.4   |
| P <sub>1</sub> index pravděpodobnosti vzniku a rozšíření požáru        | [2] vzorec 17   |
| P <sub>2</sub> index pravděpodobnosti rozsahu škod způsobených požárem | [2] diagram 1   |
| S <sub>max</sub> mezní půdorysná plocha                                | [2] vzorec 21   |

Název PÚ	skut.	skupina výrob a provozů				souč.	Index pravd.	souč.	souč.	souč.	Index	mezní
												plocha
	v m <sup>2</sup>	skup.	pol.	p <sub>1</sub>	p <sub>2</sub>	c	P <sub>1</sub>	k <sub>5</sub>	k <sub>6</sub>	k <sub>7</sub>	P <sub>2</sub>	S <sub>max</sub>
N 1.1 - sklad nábytku	900	5	5,34	1,4	0,09	1	1,4	1	1	1,2	1200	11111,11
N 1.2 - výroba nábytku	650	5	5,11	1,4	0,09	1	1,4	1	1	1,2	1200	11111,11

Požární úseky nepřekračují mezní půdorysnou plochu, vypočtenou na základě indexů ekonomického rizika.

VYHOVUJE

#### 5.4. VÝPOČET POŽÁRNÍHO RIZIKA PRO PÚ VESTAVBY dle [1]

Výpočtové požární zatížení  $p_v$  bylo stanovenno dle [1] rovnice 1. Nahodilé požární zatížení vychází z [1] přílohy A. Stálé požární zatížení je určeno na 5 kg/m<sup>2</sup> v prostorách kde bude nehořlavá podlaha a 10kg/m<sup>2</sup> v místnostech, kde se může vyskytovat hořlavá podlahová krytina. Součinitel b byl stanoven dle [1] kap. 6.5. V místnostech, kde bude odvětrání zajištěno vzduchotechnickým zařízením, je stanoven dle [1] odst. 6.5.6.

\*Součinitel c<sub>1</sub>, zohledňující vliv EPS, se do výpočtu p<sub>v</sub> dle [1] odst. 6.6.2 nezapočítává.

Místnost číslo	druh místnosti	č. míst.	plocha (m <sup>2</sup> )	ČSN 730802 tab. A		
				pol.	a <sub>n</sub>	p <sub>n</sub> (kg/m <sup>2</sup> )
N1.3	obchod	1.3	83	[1]; A.1; 6.1.10	1,1	70,00
	sklad-obchod	1.4	40,5	[1]; A.1; 6.4.3	1,1	100,00
	<b>CELKEM N1.3</b>		123,5	-	1,1	79,84
N1.4	<b>stroj. vzduchotechniky</b>	1.6	12,5	[1]; A.1; 15.1	0,9	15,00
N1.5	<b>kotelna</b>	1.5	12,5	[1]; A.1; 15.10.c)	1,1	15,00
N1.6/N2	chodba	1.2	50	[1]; A.1; 2.9	0,8	5,00
	zasedací místnost	2.4	40	[1]; A.1; 1.8	0,9	20,00
	kancelář	2.5	24	[1]; A.1; 1.1	1,0	40,00
	kancelář	2.6	26,5	[1]; A.1; 1.1	1,0	40,00
	WC	2.7	11,5	[1]; A.1; 14.2	0,7	5,00
	čajová kuchyňka	2.8	17	[1]; A.1; 1.12	1,1	15,00
	vstupní hala	1.1	41	[1]; A.1; 1.10	0,8	8,00
	WC+sprchy- zaměstnanci	1.7	11	[1]; A.1; 14.2	0,7	5,00
	šatna-zaměstnanci	1.8	11	[1]; A.1; 14.1a)	0,7	15,00
	kancelář	2.2	40	[1]; A.1; 1.1	1,0	40,00
	archiv	2.3	42	[1]; A.1; 1.6	0,7	120,00
	<b>CELKEM N1.4/N2</b>		314	-	0,74	33,66

# NÁVRH POŽÁRNĚ BEZPEČNOSTNÍHO ŘEŠENÍ

Místnost číslo	druh místnosti	$p_s$ (kg/m <sup>2</sup> )	$a_s$	a	$S_o$ (m <sup>2</sup> )	$h_0$ (m)	k	b	c *	$p_v$ (kg/m <sup>2</sup> )
N1.3	obchod	5,00	0,90	1,09	8,20	2,00	0,160	1,15	0,70	93,33
	sklad-obchod	5,00	0,90	1,09	NV	-	0,012	1,49	0,70	170,42
	<b>CELKEM N1.3</b>	5,00	0,90	1,09	8,2	-	-	1,26	0,70	116,12
N1.4	<b>stroj. Vzduchotechniky</b>	5,00	0,90	0,90	NV	-	0,007	0,87	0,70	15,63
N1.5	<b>kotelna</b>	5,00	0,90	1,05	1,4	1,00	0,091	0,81	0,70	17,06
N1.6/N2	chodba	5,00	0,90	0,85	1,4	1,00	0,044	1,57	0,80	13,36
	zasedací místnost	10,00	0,90	0,90	NV	-	0,012	1,49	0,80	40,19
	kancelář	10,00	0,90	0,98	2,8	1,00	0,116	0,99	0,80	48,72
	kancelář	10,00	0,90	0,98	1,4	1,00	0,060	1,14	0,80	55,65
	WC	5,00	0,90	0,80	NV	-	0,007	0,87	0,80	6,95
	čajová kuchyňka	5,00	0,90	1,01	1,4	1,00	0,080	0,97	0,80	19,67
	vstupní hala	5,00	0,90	0,84	6,9	1,90	0,190	0,82	0,80	8,93
	WC+sprchy- zaměstnanci	5,00	0,90	0,80	0,7	1,00	0,045	0,71	0,80	5,66
	šatna-zaměstnanci	5,00	0,90	0,75	1,4	1,00	0,084	0,66	0,80	9,90
	kancelář	10,00	0,90	0,98	2,8	1,00	0,077	1,10	0,80	53,90
	archiv	10,00	0,90	0,72	NV	-	0,012	1,49	0,80	138,42
	<b>CELKEM N1.4/N2</b>	7,75	0,90	0,77	-	-	-	1,19	0,80	38,08

Dle předchozího výpočtu jsou stanoveny STUPNĚ POŽÁRNÍ BEZPEČNOSTI požárních úseků následovně:

- |                |                           |                 |
|----------------|---------------------------|-----------------|
| <b>N1.3</b>    | Obchod                    | <b>IV. SPB</b>  |
| <b>N1.4</b>    | Strojovna vzduchotechniky | <b>III. SPB</b> |
| <b>N1.5</b>    | Plynová kotelna           | <b>II. SPB</b>  |
| <b>N1.6/N2</b> | Administrativa, zázemí    | <b>II. SPB</b>  |

## VELIKOST POŽÁRNÍCH ÚSEKŮ

Mezní rozměry požárních úseků byly stanoveny dle [1] tabulky 9.

Jedná se o vestavbu o dvou podlažích a požární výškou max. 3,25 m. Nohořlavý

PÚ	NÁZEV	a	max. délka	skut. Délka	max. šířka	skut. šířka
			(m)	(m)	(m)	(m)
<b>N1.3</b>	Obchod	<b>a=1,09</b>	55	14,3	36	7
<b>N1.4</b>	Strojovna vzduchotechniky	<b>a=0,9</b>	70	5	44	2,35
<b>N1.5</b>	Plynová kotelna	<b>a=1,05</b>	58	5	38	2,35
<b>N1.6/N2</b>	Administrativa, zázemí	<b>a=0,77</b>	77,5	14,3	48	17,4

konstrukční systém.

Požární úseky **nepřekračují** mezní půdorysnou plochu, vypočtenou dle [1] tabulky 9.

### Maximální počet podlaží

Jediným vícepodlažním PÚ je N1.6/N2, který je dvoupodlažní s  $p_v=38,1 \text{ kg/m}^2$ . Mezní počet podlaží se stanoví dle [1] odst. 7.3.2.

$Z1=(180)/pv=180/38,1=4,7$  podlaží. Maximální počet podlaží v rámci jednoho PÚ jsou 4 podlaží.

**VYHOVUJE**

## **6. POŽÁRNÍ ODOLNOST STAVEBNÍCH KONSTRUKCÍ**

Požadavky na druh konstrukcí a jejich požární odolnost jsou stanoveny podle [2] tab. 10 pro N1.1 a N1.2 nebo podle [1] tab. 12 pro ostatní požární úseky.

Skutečné požární odolnosti jednotlivých konstrukcí jsou stanoveny dle uvedených zdrojů.

### **6.3. POŽÁRNÍ STĚNY A STROPY**

Požadované požární odolnosti:

	I.SPB	II.SPB	III.SPB	IV.SPB
Nadzemní podlaží	15+	30+	45+	60+
Poslední nadzemní podlaží	15+	15+	30+	30+

+ Konstrukce dle [2] odst. 9.1.3

Požadovaná odolnost požárních stěn podle [3] odst. 5.3.1 se hodnotí **EI**, požární odolnost požárních stěn, které zajišťují i stabilitu objektu, se hodnotí **REI**. Požární stropy se hodnotí **REI** podle [3] odst. 5.2.1.

#### POROTHERM 30 Profi

**Požadovaná požární odolnost: REI 60+ (N1.3-IV)**

**Skutečná požární odolnost: REI 180 DP1**

(Technický list výrobce 3.2013 POROTHERM 30 Profi; udávaná požární odolnost pro stěnu s oboustrannou omítkou)

**VYHOVUJE**

#### POROTHERM 14 Profi

**Požadovaná požární odolnost: EI 30+ (N1.4-II)**

**Skutečná požární odolnost: EI 180 DP1**

(Technický list výrobce 3.2013 POROTHERM 14 Profi; udávaná požární odolnost pro stěnu s oboustrannou omítkou)

**VYHOVUJE**

**Strop POROTHERM (MIAKO+KERAMOBETONOVÉ NOSNÍKY)**

**Požadovaná požární odolnost: REI 60+ (N1.3-IV)**

**Skutečná požární odolnost: REI 120 DP1**

(Technický list výrobce 3.2013 STROP POROTHERM; udávaná požární odolnost pro strop všech tlouštěk bez omítky)

**VYHOVUJE**

**Podhled vestavby ve 2NP; RIGIPS- SAMOSTATNÝ POŽÁRNÍ PŘEDĚL**

Konstrukce podhledu bude připevněna na ocelové nosníky, které budou sloužit výhradně pro tento účel. Podhled musí být proveden autorizovanou firmou, která bude dbát všech montážních zásad. Podhled musí splňovat požadavky na požární odolnost zdola i shora.

Technické označení podhledu: opláštění 1xRF (DF) 15

: podkonstrukce R-CD, Nomius

**Požadovaná požární odolnost zdola: EI 15+ (N1.6/N2-II)**

**Skutečná požární odolnost zdola: EI 15 DP1**

**VYHOVUJE**

**Požadovaná požární odolnost shora: EI 30+ (N1.2-III)**

**Skutečná požární odolnost shora: EI 45 DP1**

**VYHOVUJE**

(Katalog požárně odolných konstrukcí suché výstavby Rigips)

\*Požárně odolné konstrukce Rigips jsou ve smyslu vyhlášky MV č. 246/2001 Sb. o stanovení podmínek požární bezpečnosti a výkonu státního požárního dozoru (dále jen „Vyhláška 246“), § 1, odst. d) považovány za požárně bezpečnostní zařízení. V souladu s ustanovením

§ 7, Vyhlášky 246 se provádí kontroly provozuschopnosti požárně bezpečnostních zařízení nejméně jednou za rok.

**Stropní OCELOVÉ NOSNÍKY PROFILU IPE (VESTAVBA 2NP)**

Ocelové nosníky budou rozmístěny v osových vzdálenostech 0,85 m. Nosníky budou ošetřeny ochranným nátěrem Flamizol S, čímž bude docíleno požadované požární odolnosti. Nátěr musí provést odborně způsobilá osoba a musí být v dostatečné tloušťce v závislosti na profilu nosníku a jeho využití (Aplikační návod protipožárních nátěrů STACHEMA; 6/2012)

\*Nátěr nemusí být proveden v případě statického posouzení prvku za požáru.

**Požadovaná požární odolnost: R 30+ (N1.2-III)**

**Skutečná požární odolnost: R 30 DP1**

(Aplikační návod protipožárních nátěrů STACHEMA; 6/2012)

**VYHOVUJE**

**Stropní OCELOVÉ NOSNÍKY PROFILU IPE (VESTAVBA 1NP)**

Jedná se o dva stropní nosníky profilu IPE v obchodu 1NP. Nosníky jsou podepřeny zděným sloupem, a nesou keramický strop POROTHERM.

Nosníky budou obloženy protipožárním obkladem RIGIPS pro ocelové konstrukce. Obklad provede odborně způsobilá osoba. Min. tloušťka obkladu 25 mm při maximálním průřezovým součiniteli A/V=718. Návrhová teplota oceli 500°C.

**Požadovaná požární odolnost: R 60 (N1.3-IV)**

**Skutečná požární odolnost: R 60 DP1**

(Katalog požárně odolných konstrukcí suché výstavby Rigips)

**VYHOVUJE**

**6.4. POŽÁRNÍ UZÁVĚRY OTVORŮ V POŽÁRNÍCH STĚNÁCH A POŽÁRNÍCH****STROPECH**

	I. SPB	II. SPB	III. SPB	IV. SPB
Nadzemní podlaží	15 DP3	15 DP3	30 DP3	30 DP3
Poslední nadzemní podlaží	15 DP3	15 DP3	15 DP3	30 DP3

Požární uzávěry budou splňovat požadavky na požární odolnost dle [2] tab. 10.

Požární uzávěry musí být při požáru uzavřeny. Jsou-li vybaveny samozavírači, musí toto zařízení zajistit funkční uzavření otevíratelných částí. V prostoru takových uzávěrů nesmí být žádné předměty (řetízky, klíny, posuvníky) či jiné překážky, které by bránily správné funkci uzávěru v době požáru.

Dveře vedoucí do PÚ N1.4 a N1.5 se předpokládají trvale uzavřené a není nutné je opatřovat samozavíracím zařízením.

Posuvná vrata mezi N1.2 a N1.1 budou při běžném provozu trvale otevřeny a budou napojeny na EPS, která je v případě požáru automaticky uzavře.

Dveře z příručního skladu N1.3 do výrobní haly N1.2 budou opatřeny přídržnými magnety a samozavíračem. Dveře se předpokládají otevřené po delší dobu pouze v případě naskladňování příručního skladu. V takovém případě musí personál dveře zajistit v otevřené poloze pomocí přídržného magnetu. Magnet bude při požáru vypnut pomocí EPS a dveře se automaticky uzavřou. Personál musí být v této věci poučen v rámci školení požární ochrany.

\*Dveře musí být při realizaci provedeny tak, aby se dveřní křídla mohla úplně otevřít a zachytit přídržnými magnety.

**VYHOVUJE**

## 6.5. OBVODOVÉ STĚNY

	I. SPB	II. SPB	III. SPB	IV. SPB
<b>Nezajišťující stabilitu objektu</b>	15+*	15+*	30+*	30+*
<b>Zajišťující stabilitu objektu</b>				
Nadzemní podlaží	15+	30+	45+	60+
Poslední nadzemní podlaží	15+*	15+	30+	30+

\*Hodnoty v tabulce jsou pouze doporučené. V případě, že není dosaženo uvedené požární odolnosti z vnitřní strany stěny, posuzují se tyto konstrukce jako zcela požárně otevřené plochy.

POROTHERM 30 Profi (jednostranná omítka)

**Požadovaná požární odolnost s vnitřní strany: REW 60+ (N1.3-IV)**

**Skutečná požární odolnost s vnitřní strany: REI 120 DP1 [13] tab. 6.1.2**

**VYHOVUJE**

STĚNOVÝ PANEOVÝ SYSTÉM KINGSPAN KS1150 TL 120

**Požadovaná požární odolnost s vnitřní strany: EW 30+ (N1.3-IV)**

**Skutečná požární odolnost s vnitřní strany: EW 30 DP1**

**VYHOVUJE**

(WEB výrobce: <http://panely.kingspan.cz/KS1150-TL-15189.html>)

**Dle [2] odst. 9.6.6 e) lze u tohoto objektu upustit od řešení požárních pásů. Požární výška požárních úseků  $h_s < 12$  m.**

**Je nutné požárně utěsnit prostor mezi zdí v vestavbě a opláštěním fasády.**

## 6.6. NOSNÉ KONSTRUKCE STŘECH

Nosnou konstrukci střechy tvoří ocelové rámy (profil IPE) a ocelové vaznice (profil IPE). Prvky budou ošetřeny ochranným nátěrem Flamizol S, čímž bude docíleno požadované požární odolnosti. Nátěr musí provést odborně způsobilá osoba a musí být v dostatečné tloušťce v závislosti na profilu nosníku a jeho využití.

(Aplikační návod protipožárních nátěrů STACHEMA; 6/2012)

\*Nátěr nemusí být proveden v případě statického posouzení prvku za požáru.

**Požadovaná požární odolnost s vnitřní strany: R 30 (N1.1-III)**

**Skutečná požární odolnost s vnitřní strany: R 30 DP1**

(Aplikační návod protipožárních nátěrů STACHEMA; 6/2012)

**VYHOVUJE**

## **6.7. NOSNÉ KONSTRUKCE UVNITŘ POŽÁRNÍHO ÚSEKU, KTERÉ ZAJIŠŤUJÍ STABILITU OBJEKTU**

	I. SPB	II. SPB	III. SPB	IV. SPB
Nadzemní podlaží	15	30	45	60
Poslední nadzemní podlaží	15*	15	30	30

\*Hodnoty v tabulce jsou pouze doporučené.

### **OCELOVÁ ZTUŽIDLA L-PROFIL**

Mezi hlavními nosnými rámy E-F je objekt ztužen křížovými ztužidly v krajních i střední sloupové řadě. Tato ztužidla by měla dle doporučení normy splňovat požární odolnost R 30.

Prvky budou ošetřeny ochranným nátěrem Flamizol S, čímž bude docíleno požadované požární odolnosti. Nátěr musí provést odborně způsobilá osoba a musí být v dostatečné tloušťce v závislosti na profilu ztužidla a jeho využití.

(Aplikační návod protipožárních nátěrů STACHEMA; 6/2012)

\*Nátěr nemusí být proveden v případě statického posouzení prvku za požáru.

**Požadovaná požární odolnost s vnitřní strany: R 30 (N1.1-III)**

**Skutečná požární odolnost s vnitřní strany: R 30 DP1**

(Aplikační návod protipožárních nátěrů STACHEMA; 6/2012)

**VYHOVUJE**

### **OCELOVÝ SLOUP HEA-PROFIL**

Ocelový sloup primární nosné konstrukce by měl dle doporučení normy splňovat požární odolnost R 30.

Prvky budou ošetřeny ochranným nátěrem Flamizol S, čímž bude docíleno požadované požární odolnosti. Nátěr musí provést odborně způsobilá osoba a musí být v dostatečné tloušťce v závislosti na profilu nosníku a jeho využití.

(Aplikační návod protipožárních nátěrů STACHEMA; 6/2012)

\*Nátěr nemusí být proveden v případě statického posouzení prvku za požáru.

**Požadovaná požární odolnost: R 30 (N1.1-III)**

**Skutečná požární odolnost: R 30 DP1**

(Aplikační návod protipožárních nátěrů STACHEMA; 6/2012)

**VYHOVUJE**

**POROTHERM 30 Profi****Požadovaná požární odolnost: R 60 (N1.3-IV)****Skutečná požární odolnost: R 180 DP1**

(Technický list výrobce 3.2013 POROTHERM 30 Profi; udávaná požární odolnost pro stěnu s oboustrannou omítkou)

**VYHOVUJE****ŽELEZOBETOVÝ SLOUP 300X300**

Železobetonový sloup musí mít minimální rozměry 300 mm x 300 mm a osová vzdálenost hlavní nosné výztuže ke kraji sloupu musí být minimálně 43 mm.

**Požadovaná požární odolnost: R 60 (N1.3-IV)****Skutečná požární odolnost: R 60 DP1 [13] tab. 2.1****VYHOVUJE****6.8. NOSNÉ KONSTRUKCE UVNITŘ POŽÁRNÍHO ÚSEKU, KTERÉ****NEZAJIŠŤUJÍ STABILITU OBJEKTU**

	I. SPB	II. SPB	III. SPB	IV. SPB
	15*	15	30	30

\*Hodnoty v tabulce jsou pouze doporučené.

**OCELOVÉ SLOUPKY IPE-PROFIL**

Tyto ocelové prvky jsou nosné prvky obvodového pláště. Z důvodu splnění požární odolnosti obvodového pláště budou tyto sloupy vykazovat požární odolnost minimálně R 30.

Prvky budou ošetřeny ochranným nátěrem Flamizol S, čímž bude docíleno požadované požární odolnosti. Nátěr musí provést odborně způsobilá osoba a musí být v dostatečné tloušťce v závislosti na profilu nosníku a jeho využití.

(Aplikační návod protipožárních nátěrů STACHEMA; 6/2012)

\*Nátěr nemusí být proveden v případě statického posouzení prvku za požáru.

**Požadovaná požární odolnost: R 30 (N1.1-III)****Skutečná požární odolnost: R 30 DP1**

(Aplikační návod protipožárních nátěrů STACHEMA; 6/2012)

**VYHOVUJE**

## **6.9. KONSTRUKCE SCHODIŠŤ UVNITŘ POŽÁRNÍHO ÚSEKU, KTERÉ NEJSOU SOUČÁSTÍ CHRÁNĚNÝCH ÚNIKOVÝCH CEST**

	I. SPB	II. SPB	III. SPB	IV. SPB
	-	15/DP3	15/DP3	15/DP1

### **OCELOVÉ SCHODIŠTĚ**

Jedná se o ocelové schodnicové schodiště vestavby vedoucí z 1NP do 2NP. Toto schodiště je na nechráněné únikové cestě v požárním úseku N1.6/N2-II. Schodiště bude opatřeno ochranným nátěrem Flamizol S, čímž bude docíleno požadované požární odolnosti. Nátěr musí provést odborně způsobilá osoba a musí být v dostatečné tloušťce v závislosti na profilu nosníku a jeho využití.

(Aplikační návod protipožárních nátěrů STACHEMA; 6/2012)

**Požadovaná požární odolnost: R 15/DP3 (N1.6/N2-II)**

**Skutečná požární odolnost: R 15 DP1**

(Aplikační návod protipožárních nátěrů STACHEMA; 6/2012)

**VYHOVUJE**

## **6.10. STŘEŠNÍ PLÁŠT**

I. SPB	II. SPB	III. SPB	IV. SPB
-	-	15	15

Použitý střešní plášť (panely KINGSPAN KS1000 RW 120MM) vykazuje požární odolnost

EI 15 DP1.

**STŘEŠNÍ PANEOVÝ SYSTÉM KINGSPAN KS1000 RW TL 120**

**Požadovaná požární odolnost s vnitřní strany: EW 15+ (N1.1-III)**

**Skutečná požární odolnost s vnitřní strany: EW 15 DP1**

**VYHOVUJE**

(WEB výrobce: <http://panely.kingspan.cz/stresni-PUR-panely-KS1000-RW-zatepleni-budov-zatepleni-staveb-1828.html>)

## 7. ÚNIKOVÉ CESTY

Počet osob v objektu je určen pomocí [4]. Unikající osoby se dělí na osoby unikající ze skladu a prostor výroby a osoby unikající z administrativní vestavby. Ze skladu vedou dvě započitatelné únikové cesty přímo na volné prostranství, a to na jižní a západní straně objektu. Osoby pohybující se v prostorách výroby mohou unikat dvěma východy na volné prostranství na východní straně objektu. Z vestavby je možné uniknout přes požární úsek výroby N1.2 nebo hlavními vchody na jižní straně objektu.

Směr a délka únikových cest je patrná v PŘÍLOZE 3.

**Všechny únikové cesty v objektu jsou nechráněné.**

### OSAZENÍ OBJEKTU OSOBAMI

Č.	MÍSTNOST	PLOCHA [m <sup>2</sup> ]	POLOŽKA TAB. 1	m <sup>2</sup> na osobu	POČET OSOB DLE PROJEKTU	SOUČINITEL	CELKEM OSOB	POZNÁMKA
<b>N1.1</b>								
1.9	SKLAD NÁBYTKU	922						
	a) plocha do 50 m <sup>2</sup>	50	12.1a	-			-	
	b) další plocha nad 50 m <sup>2</sup> do 150 m <sup>2</sup>	100	12.1b	10			10	
	c) další plocha nad 150 m <sup>2</sup> do 1000 m <sup>2</sup>	772	12.1c	50			16	
<b>N1.2</b>								
1.10	VÝROBA NÁBYTKU	628	10.4	10			63	
<b>N1.3</b>								
1.3	OBCHOD	83	6.1.1					
	a) plocha do 50 m <sup>2</sup>	50	6.1.1a)	1,5			34	
	b) další plocha nad 50 m <sup>2</sup> do 500 m <sup>2</sup>	33	6.1.1b)	3			11	
1.4	PRODEJNÍ SKLAD	41	6.1.2	-			-	Započítáno v obchodě
<b>N1.4</b>								
1.6	STROJOVNA VZDUCHOTECHNIKY	12,5	11.5	-			3	min. počet osob=3
<b>N1.5</b>								
1.5	PLYNOVÁ KOTELNA	12,5	11.5	-			3	min. počet osob=3
<b>N1.6/N2</b>								
1.1	VSTUPNÍ HALA	12,5	8.1.1	2	2+	1,5	16	Plocha pro styk se zákazníkem = 26 m <sup>2</sup> , 2xzaměstnanec; E=26/2+1,5*2=16
1.2	CHODBA	12,5	11.5	-	-	-	-	Započteno v ostatních prostorách
1.8	ŠATNA	11	16.1	-	8	1,35	11	1,35*počet skříňek
1.7	WC+SPRCHY	10,5	16.2	-	-	-	-	Započítáno v šatně
2.1	CHODBA	40	11.5	-	-	-	-	Započteno v ostatních prostorách
2.2	KANCELÁŘ	24	11.5	5	3	1,5	5	
2.3	ARCHIV	42	-	-	-	-	-	Započteno v ostatních prostorách
2.4	KANCELÁŘ	40	11.5	5	5	1,5	8	
2.5	ZASEDACÍ MÍSTNOST	40	1.2	-	10	1,5	15	
2.6	KANCELÁŘ	26,5	11.5	-	2	1,5	3	
2.7	WC	11,5	16.2	-	-	-	-	Započteno v ostatních prostorách
2.8	ČAJOVÁ KUCHYŇKA	17	-	-	-	-	-	Započteno v ostatních prostorách

**Nechráněná úniková cesta** je trvale volná komunikace v posuzovaném požárním úseku s požárním rizikem, kde se lze bez překážek pohybovat směrem k východu na volné prostranství. V prostoru nechráněné únikové cesty nesmí být umístěn žádný materiál nebo jiná zařízení bránící úniku osob.

### 7.3. ÚNIKOVÉ CESTY VÝROBNÍCH A SKLADOVACÍCH PROSTOR DLE [2]

#### SKLAD NÁBYTKU N1.1

$$h_s=8 \text{ m}$$

$$p_1=1,4$$

$$t_e = 1,25 * (h_s/p_1)^{0,5} = 1,25 * (8/1,4)^{0,5} = \mathbf{3 \text{ minuty}} \quad [2] \text{ vzorec 28}$$

$$l_u = 59 \text{ m} \quad \text{PŘÍLOHA 4}$$

$$v_u = 30 \text{ m/min} \quad [2] \text{ tab. 17}$$

$$E = 26 \text{ osob} \quad (\text{viz tabulka OSAZENÍ OBJEKTU OSOBAMI})$$

$$s = 1 \quad [2] \text{ tab. 18}$$

$$K_u = 40 \text{ osob/min} \quad [2] \text{ tab. 17}$$

$$u = 1,5 \quad [2] \text{ odst. 10.10.1}$$

$$t_{u\text{MAX}} = \mathbf{2,5 \text{ min}} \quad [2] \text{ tab. 16}$$

$$t_u = (0,75 * l_u) / v_u + (E * s) / (K_u * u) = (0,75 * 59) / 30 + (26 * 1) / (40 * 1,5) = \mathbf{1,9 \text{ minuty}}$$

$$\mathbf{t_e > t_u < t_{u\text{MAX}}}$$

$$3 > 1,9 < 2,5$$

#### VYHOVUJE

#### VÝROBA NÁBYTKU N1.2

$$h_s=8 \text{ m}$$

$$p_1=1,4$$

$$t_e = 1,25 * (h_s/p_1)^{0,5} = 1,25 * (8/1,4)^{0,5} = \mathbf{3 \text{ minuty}} \quad [2] \text{ vzorec 28}$$

$$l_u = 38 \text{ m} \quad \text{PŘÍLOHA 4}$$

$$v_u = 30 \text{ m/min} \quad [2] \text{ tab. 17}$$

$$E = 63 \text{ osob} \quad (\text{viz tabulka OSAZENÍ OBJEKTU OSOBAMI})$$

$$s = 1 \quad [2] \text{ tab. 18}$$

$$K_u = 40 \text{ osob/min} \quad [2] \text{ tab. 17}$$

$$u = 1,5 \quad [2] \text{ odst. 10.10.1}$$

$t_{u\text{MAX}} = 2,5 \text{ min}$ 

[2] tab. 16

$$t_u = (0,75*lu)/vu + (E*s)/(Ku*u) = (0,75*38)/30 + (63*1)/(40*1,5) = 2 \text{ minuty}$$

 $t_e > t_u < t_{u\text{MAX}}$ 

3&gt;2&lt;2,5

VYHOVUJE

Počet únikových cest z požárních úseků splňuje [2] odst. 10.11.

V požárních úsecích se nevyskytují osoby s omezenou schopností pohybu, v požárních úsecích se nevyskytují provozy skupiny 7. Počet unikajících osob nepřekračuje doporučený mezní počet osob podle tabulky [2] tabulky 16.

#### **7.4. ÚNIKOVÉ CESTY Z VESTAVBY DLE [1]**

##### **PRODEJNA NÁBYTKU N1.3**

Z požárního úseku prodejny vedou dvě únikové cesty vzájemně orientované opačným směrem. Osoby mohou unikat vstupními dveřmi přímo na volné prostranství, nebo mohou unikat příručním skladem přes sousední PÚ N1.2, kde je únikový východ na VP na východní straně vzdálen 14 m. Před hlavním vchodem do prodejny je venkovní předsazené schodiště, které zpomalí únik osob z objektu. Tato skutečnost je do posouzení únikové cesty dána menším součinitelem K dle [1] tabulky 20.

Směr a délka únikových cest jsou patrné v PŘÍLOZE 3.

##### **Délka únikových cest**

Skutečná délka únikové cesty z PÚ N1.3 je **18,5 m** při úniku hlavním vchodem přímo na VP. Pokud budou osoby unikat přes výrobní halu, musí překonat vzdálenost **32,5 m**.

Mezní délka únikové cesty je dle [1] tabulky 18 rovna vzdálenosti 35 m. Tato délka se dle [1] odst. 9.10.3 může prodloužit znásobením hodnotou  $1/c_1$ . Prodloužená mezní délka únikové cesty je tedy **50 m**. ( $I_{\max} = 35 * (1/0,7) = 50$ )

VYHOVUJE

##### **Šířka únikových cest**

Skutečná šířka únikové cesty z prodejny je dána vstupními dveřmi šířky **1,4 m** a únikovými dveřmi v PÚ N1.2 o šířce **1,1 m**.

Nejmenší počet únikových pruhů se stanoví dle [1] rovnice 18.

$$u = (E*s)/K = (45*1)/90 = 0,5 \text{ únikového pruhu.}$$

Minimální šířka únikové cesty z PÚ N1.3 je **0,55 m**.

VYHOVUJE

**ADMINISTRATIVA N1.6/N2 + TECHNICKÉ ZÁZEMÍ N1.4, N1.5****Délka únikových cest**

Nejdelší únikovou cestu budou mít osoby unikající ze zasedací místnosti (BOD A).

Zasedací místnost splňuje podmínu [2] odst. 10.12.3 a úniková cesta se může počítat od osy dveří. Osoby ve 2NP mají pouze jednu možnou únikovou cestu až do doby, kdy seběhnou po schodišti do 1NP (BOD B). V 1NP jsou dvě možnosti úniku, a to únikovým východem v sousedním požárním úseku N1.2 (BOD C), nebo hlavním vchodem ve vstupní hale (BOD D). Přes výrobní halu nemohou unikat osoby z požárních úseků N1.4, N1.5 a budou posuzovány jako PÚ s jednou možností úniku osob. Únik osob hlavním vchodem bude zpomalen schodištěm před objektem, což je ve výpočtu zohledněno sníženým součinitelem K dle [1] tabulky 20.

Dle [1] odst. 9.9.3 Je nutné posoudit zvlášť cestu osob z 2NP (z bodu A do bodu B) jako jedinou možnou únikovou cestu ( $I=13\text{ m}$ ). Dále je nutné posoudit délku únikové cesty z bodu A do bodu C ( $I=26\text{ m}$ ) nebo D ( $I=26,5\text{ m}$ ) jako úsek s více než jednou možnou cestou úniku.

Osoby unikající z PÚ N1.4 a N1.5 mají jedinou možnou cestu úniku o délce  $I=5,5\text{ m}$ .

Mezní délka únikové cesty z míst s pouze jednou únikovou cestou je dle [1] tabulky 18 rovna vzdálenosti 35 m ( $a=0,77$ ). Tato délka se dle [1] odst. 9.10.3 může prodloužit znásobením hodnotou  $1/c_1$ . Prodloužená mezní délka únikové cesty je tedy **43,75 m**.  
 $(I_{max}=35*(1/0,8)=43,75)$

Mezní délka únikové cesty z míst s více než jednou únikovou cestou je dle [1] tabulky 18 rovna vzdálenosti 50 m ( $a=0,77$ ). Tato délka se dle [1] odst. 9.10.3 může prodloužit znásobením hodnotou  $1/c_1$ . Prodloužená mezní délka únikové cesty je tedy **62,5 m**.

**VYHOVUJE**

Skutečná délka únikové cesty z PÚ **N1.4 a N1.5** je 5,6 m. Tyto PÚ splňují podmínu [2] odst. 10.12.3 a úniková cesta se může počítat od osy dveří.

Mezní délka únikové cesty z PÚ N1.4 a N1.5 je dle [1] tabulky 18 rovna vzdálenosti 20 m ( $a=1,1$ ). Tato délka se dle [1] odst. 9.10.3 může prodloužit znásobením hodnotou  $1/c_1$ . Prodloužená mezní délka únikové cesty je tedy **28,6 m**. ( $I_{max}=20*(1/0,7)=28,6$ )

**VYHOVUJE**

Šířka únikových cest

Je třeba posoudit šířku únikového schodiště z 2NP (**1,2 m**) a dveře vedoucí jak ze vstupní haly (**1,4 m**), tak z výrobní haly (**1,1 m**) na VP.

Nejmenší počet únikových pruhů se stanoví dle [1] rovnice 18.

- $u = (E^*s)/K = (31^*1)/65 = 0,5$  únikového pruhu.

Minimální šířka **únikové cesty z 2NP je 0,55 m.**

**VYHOVUJE**

- $u = (E^*s)/K = (140^*1)/70 = 2$  únikové pruhy

**Únikovým východem ve výrobní hale** můžou současně unikat osoby z PÚ N1.2, N1.3 a N1.6/N2. Nejnepříznivější počet unikajících tímto východem je 140 osob.

Minimální šířka únikové cesty z 2NP je **1,1 m.**

**VYHOVUJE**

- $u = (E^*s)/K = (64^*1)/100 = 0,65$  únikového pruhu.

Minimální šířka dveří na **únikové cestě ze vstupní haly je 0,55 m.**

**VYHOVUJE**

- $u = (E^*s)/K = (64^*1)/90 = 0,71$  únikového pruhu.

Minimální šířka dveří mezi PÚ N1.6/N2 a N1.2 je **0,55 m.**

**VYHOVUJE**

**Bylo prokázáno, že osoby vyskytující se v tomto objektu mohou bezpečně a včasné uniknout na volné prostranství.**

## **7.5. DALŠÍ POŽADAVKY NA ÚNIKOVÉ CESTY**

### DVEŘE NA ÚNIKOVÝCH CESTÁCH

Musí umožňovat snadný průchod osob a svým zajištěním nesmí znemožňovat únik osob či zásah jednotek požární ochrany. Musejí být otevíratelé ve směru úniku otáčením křídel v postranních závěsech.

Dveře, u nichž začíná nechráněná úniková cesta, nemusí být dle [2] odst. 10.16.3 otevíratelé ve směru úniku osob.

Dveře z místností a prostorů hygienického příslušenství musejí být opatřeny kovaní, které i bez speciálního příslušenství umožňuje otevřít zvenčí dveře zevnitř zajištěné.

Dveře opatřené speciálními bezpečnostními zámky (kódové karty) musejí být v případě evakuace osob automaticky odblokovány a otevřitelné bez dalších opatření.

Dveře na únikových cestách, které jsou při běžném provozu zajištěny proti vstupu nepovolaných osob, musejí být při evakuaci otevřitelné a průchodné.

OSVĚTLENÍ ÚNIKOVÝCH CEST

Elektrické osvětlení únikových cest musí být všude, kde je nainstalovaná běžná elektroinstalace. Nouzové osvětlení se nevyžaduje dle [2] odst. 10.18.1. Přesto bude na únikových cestách nainstalováno. Nouzové osvětlení budou tvořit svítidla s vnitřním akumulátorem, který v případě přerušení dodávky elektrické energie zajistí činnost svítidla jako nouzového osvětlení po dobu cca 2 hodin. Rozmístění nouzových svítidel je patrné v PŘÍLOZE 3.

OZNAČENÍ ÚNIKOVÝCH CEST

Únikové cesty musí být ve směru úniku zřetelně označeny podle ČSN ISO 3864. Značení by mělo být zejména tam, kde dochází ke křížení komunikací.

**8. ODSTUPY**

K zamezení přenosu požáru vně objektu sáláním tepla nebo padajícími částmi konstrukcí je třeba vytvořit nezbytný odstup vymezený požárně nebezpečným prostorem.

Objekt stojí samostatně. V nejbližším okolí (min. 10 m) se nenachází žádné stávající objekty, navržený objekt se z vnější strany nenachází v požárně nebezpečném prostoru. Výpočet odstupových vzdáleností objektu při působení ohně z vnitřní strany je uveden v následujících tabulkách.

ODSTUPOVÉ VZDÁLENOSTI PRO PÚ N1.1 A N1.2 DLE [2] PŘÍLOHY H

PÚ	$\tau_e$ (min)	obvodová stěna	mezi sloupy	délka	výška	plocha	plocha	$S_{po}/S_p$	odstup
				(m)	(m)	(m <sup>2</sup> )	(m <sup>2</sup> )	%	(m)
N1.1	180	ZÁPADNÍ	A-B	50,5	7,5	383	1,8	0,0047	6,7
	180	ZÁPADNÍ	F-G, G-H	50,5	7,5	383	17,4	0,045431	7,3
	180	JIŽNÍ	1.2	18	7,5	153	1,8	0,011765	6,7
N1.2	132	VÝCHODNÍ	A-B	35,5	7,5	266,25	1,8	0,006761	6,2
	132	VÝCHODNÍ	B-C, C-D	35,5	7,5	266,25	17,4	0,065352	6,5
	132	VÝCHODNÍ	G-H	35,5	7,5	266,25	2,2	0,006761	6,2

**POZNÁMKA:** Požárně otevřené plochy jsou ve většině případů menší než 40% obvodové stěny požárního úseku. Proto je odstupová vzdálenost pro tyto plochy určena konzervativně dle [2] přílohy H tak, že v tabulce jsou vyhledány hodnoty rozměrů dané otevřené plochy, odpovídající doba  $\tau_e$  pro poměr  $S_{po}/S_p=100\%$ . Výsledné odstupové vzdálenosti jsou na straně bezpečnosti.

#### ODSTUPOVÉ VZDÁLENOSTI PRO PÚ VE VESTAVBĚ DLE [1]

Pro výpočet odstupových vzdáleností byl použit výpočetní program VÝPOČET ODSTUPOVÉ VZDÁLENOSTI Z HLEDISKA SÁLÁNÍ TEPLA (Autor: Ing. Marek Pokorný, Ph.D.)

PÚ	$p_v$ (kg/m <sup>2</sup> )	MÍSTNOST	obvodová stěna	mezi sloupy	šířka $b_{POP}$	výška $h_{POP}$	odstup
					(m)	(m)	
N1.3 PRODEJNA	91	OBCHOD	JIŽNÍ	2-3	1,4	2	2,5
N1.5 PLYNOVÁ KOTELNA	17		VÝCHODNÍ	I-J	1,4	1	1
N1.6/N2 ADMINISTRATIVA	8,9	VSTUPNÍ HALA	JIŽNÍ	2-3	1,4	2	1
	8,9	VSTUPNÍ HALA	JIŽNÍ	2-3	1,4	1	0,7
	5,7	WC+ SPRCHY	VÝCHODNÍ	H-I	0,7	1	0,4
	9,9	ŠATNA	VÝCHODNÍ	H-I	1,4	1	0,75
	53,9	2.2 KANCELÁŘ	JIŽNÍ	2-3	1,4	1	1,5
	53,9	2.2 KANCELÁŘ	JIŽNÍ	2-3	1,4	1	1,5
	8	CHODBA	JIŽNÍ	2-3	1,4	1	0,65
	48,7	2.5 KANCELÁŘ	JIŽNÍ	J-K	1,4	1	1,45
	48,7	2.5 KANCELÁŘ	VÝCHODNÍ	J-K	1,4	1	1,45
	55,65	2.6 KANCELÁŘ	VÝCHODNÍ	I-J	1,4	1	1,5
	19,7	ČAJOVÁ KUCHYNKA	VÝCHODNÍ	H-I	1,4	1	1,05

#### SHRNUTÍ

Požárně nebezpečný prostor kolem objektu je graficky znázorněn v PŘÍLOZE 4. Požárně nebezpečný prostor objektu **nezasahuje** za hranici pozemku.

## **9. ZAŘÍZENÍ PRO PROTIPOŽÁRNÍ ZÁSAH**

### **9.3. PŘÍSTUPOVÉ KOMUNIKACE**

**Objekt je z hlediska zásahu hasičského záchranného sboru zajištěn:**

- přístupovými komunikacemi vedenými až k objektu. Komunikace slouží pro pojezd nákladních vozidel obsluhujících sklad umístěný v hale. Umožňují **bezproblémový příjezd vozidel hasičského záchranného sboru** a plné rozvinutí hasebního zásahu. Nakládání a vykládání nákladních vozidel kamionů přistavěných k rampám a dveřím skladu opatřených plastovými těsnícími límcí se vždy provádí za přítomnosti řidiče vozidla a v případě požáru může být vozidlo bez problému od objektu odstraněno.
- **vnějšími zásahovými cestami. Zajištění objektu vnitřními zásahovými cestami se nepožaduje.** Vjezd na ohrazenou část u objektu bude ve svém průjezdném profilu nejméně 3,5 m široký, **výškově nebude omezen**. Zásah uvnitř skladu je možný množstvím vykládacích a nakládacích vrat, umístěných v obvodových stěnách. Na tyto vrata navazují přístupové komunikace pro hasičská vozidla. Přístup na střechu objektu je umožněn dvěma **požárními žebříky**, umístěnými po obvodu skladovací haly. Požární žebříky budou vybaveny nezavodněným stoupacím požárním potrubím.
- **Nástupní plocha**, ve smyslu ustanovení článku [2] 13.4.4 a), **se nepožaduje**.

### **9.4. ZÁSOBOVÁNÍ POŽÁRNÍ VODOU**

Zásobování objektu požární vodou je řešeno podle [7] a dále dle [6]. Pro hašení požáru se předpokládá použití vody.

**Vnitřní odběrná místa**

V objektu musí být osazeny hadicové systémy, napojené na vnitřní vodovod. Hadicové systémy musí být stále pod tlakem s okamžitě dostupnou plynulou dodávkou vody.

- |         |                                 |
|---------|---------------------------------|
| N1.1    | $S*p=900*150= 135\ 000 > 9000$  |
| N1.2    | $S*p=650*150= 97\ 500 > 9000$   |
| N1.3    | $S*p=123,5*116= 14\ 330 > 9000$ |
| N1.4    | $S*p=12,5*66= 825 < 9000$       |
| N1.5    | $S*p=12,5*17= 213 < 9000$       |
| N1.6/N2 | $S*p=314*38= 11\ 932 > 9000$    |

V každém z PÚ N1.1 a N1.2 budou **2x hadicový systém D25 s 30m tvarově stálou hadicí**.

V chodbě 1NP vestavby nainstalován hadicový systém (**D25 s 30m tvarově stálou hadicí**) pro zásah v ostatních PÚ. Hadicové systémy budou rozmístěny tak, aby v každém místě objektu bylo možné zasáhnout alespoň jedním proudem vody.

Vnitřní vodovody PV musí mít na výtoku hadicového systému přetlak min. 0,2 MPa a průtok min. 1,1 l/s.

#### **Vnější odběrná místa**

Objekt bude zajištěn požární vodou pro hašení jednotkami požární ochrany ze dvou nadzemních požárních hydrantů, rozmístěných kolem objektu. Umístění hydrantů je patrné v PŘÍLOZE 4. Hydranty musí být připojeny na vodovodní potrubí světlosti min. DN 150 s přetlakem min. 0,2 MPa a průtokem 14 l/s. Jejich vzdálenost od objektu musí být menší než 100 m. Maximální vzájemná vzdálenost hydrantů je 200 m.

### **9.5. PŘENOSNÉ HASICÍ PŘÍSTROJE**

Přenosné hasicí přístroje se umisťují na svislou stavební konstrukci do výšky rukojeti 1,5 m na přístupném a dobře viditelném místě.

Počet a hasicí schopnost PHP pro PÚ N1.1 a N1.2 stanovena dle [2] odst. 13.9.

#### **N1.1**

$$n_r = 0,2 * (S * P_1)^{0,5} = 0,2 * (900 * 1,4)^{0,5} = 7,1$$

Ve skladovací hale bude nainstalováno celkem **8\*PHP práškových 6 kg 21 A**

#### **N1.2**

$$n_r = 0,2 * (S * P_1)^{0,5} = 0,2 * (650 * 1,4)^{0,5} = 6$$

Ve výrobní hale bude nainstalováno celkem **6\*PHP práškových 6 kg 21 A**

**Navíc oproti požadavkům na PHP se doporučuje do obou hal umístit pojízdný práškový hasicí přístroj P50Te 50 kg.**

Počet a hasicí schopnost PHP pro PÚ N1.3, N1.4, N1.5, N1.6/N2 stanovena dle [1] odst. 12.8.

#### **N1.3**

$$n_r = 0,15 * (S * a * c_3)^{0,5} = 0,15 * (123,5 * 1,1 * 1)^{0,5} = 1,75$$

V požárním úseku N1.3 budou rozmístěny **2\*PHP práškové 6 kg 21 A**

**N1.4, N1.5, N1.6/N2**

$$n_r = 0,15 * (S * a * c_3)^{0,5} = 0,15 * (314 * 0,77 * 1)^{0,5} + 0,15 * (25 * 1,1 * 1)^{0,5} = 3,1$$

V prostorách požárního úseku N1.6/N2 budou rozmístěny celkem **2\*PHP práškových 6 kg**

**21 A a 2\*PHP pěnový 9l 13 A**

Rozmístění všech hasicích přístrojů je patrné v PŘÍLOZE 3. Při užívání stavby musí být udržován volný přístup k nástěnným hydrantům a hasicím přístrojům.

## **10. TECHNICKÁ ZAŘÍZENÍ**

### **10.3. VYTÁPĚNÍ**

Objekt je vytápěn plynovými kotly o celkovém výkonu 650 kW. Kotelna musí dle [1] odst. 5.3.2 tvořit samostatný požární úsek. V kotelně bude zajištěn trvalý přívod vzduchu dle [9].

Hlavní přívod plynu bude opatřen automatickým uzávěrem napojeným na EPS, který se v případě požáru samočinně uzavře. Spaliny od kotle budou vyvedeny nad střechu dle [10].

Musí být pravidelně prováděna revize veškerých plynových zařízení odborně způsobilou osobou pro tuto činnost.

Potrubní rozvody plynu budou ocelové trubky o světlém průřezu do 15 000 mm<sup>2</sup>.

Rozvody, které prochází skrz požárně dělící konstrukce, musí být utěsněny tak, aby se zamezilo šíření požáru, a musí být opatřeny chráničkou. Utěsnění musí splňovat požadovanou požární odolnost na mezní stav EI dle [3]. Prostor mezi trubkou a chráničkou bude utěsněn.

Rozvod otopného potrubí (bez ohledu na hořlavost) o světlém průřezu do 40 000 mm<sup>2</sup>, které bude požárně utěsněno při prostupu požárně dělící konstrukcí, se provede bez dalších opatření.

## **10.4. ELEKTROINSTALACE**

Elektroinstalace bude odpovídat příslušným předpisům a protokolu o určení vnějších vlivů. Prostupy kabelů požárně dělicími konstrukcemi budou utěsněny PTV vložkami. Elektroinstalace sloužící pro protipožární zabezpečení objektu bude řešena v souladu s [1] odst. 13.10. musí mít **dodávku elektrické energie** zajištěnou ze dvou na sobě nezávislých zdrojů. Přepnutí na druhý zdroj musí být samočinné a případná porucha musí být signalizována do požární ústředny nebo jiného místa se stálou službou.

Náhradním zdrojem elektrické energie bude dieselagregát uložený v těsné blízkosti objektu. Náhradní zdroj musí přepnout bez přerušení napájení.

Elektrická zařízení sloužící k protipožárnímu zabezpečení objektu se připojují samostatným vedením z přípojkové skříně nebo z hlavního rozvaděče, aby zůstala funkční i při odpojení ostatních elektrických zařízení.

Vodiče a kabely zajišťující funkci a ovládání zařízení sloužících k protipožárnímu zabezpečení budou vedeny pod omítkou s krytím minimálně 10 mm nebo volně vedeny za podmínky, že budou splňovat požadovanou třídu funkčnosti s ohledem na dobu funkčnosti požárně bezpečnostních zařízení a třídu reakce na oheň alespoň B2<sub>ca</sub>, S<sub>1</sub>,C<sub>0</sub>.

Na objektu bude proveden **hromosvod** podle ČSN 34 13 90 „Předpisy pro ochranu před úderem blesku“. Jímací zařízení bude hřebenová soustava tvořená vodičem FeZn D=8mm, doplněná jímacími tyčemi na okrajích střechy. Jímací zařízení bude uzemněno svody přes zkušební svorky na společné uzemnění.

## **10.5. VZDUCHOTECHNIKA**

S ohledem na protipožární ochranu objektu je možno rozdělit opatření na :

- prvky aktivního rázu, které pracují při vzniku požáru a zajišťují bezpečný únik osob z objektu
- prvky pasivního rázu, které zabraňují šíření požáru po budově.

**Aktivním prvkem požární ochrany** je v tomto případě nepřímé odvětrání prostor vestavby vzduchotechnickou jednotkou, které musí být funkční v době požáru minimálně po dobu evakuace osob.

**Pasivní prvky požární ochrany:**

- a) při průchodu požárně dělící konstrukcí bude potrubí o průřezu větším než 0,04 m<sup>2</sup> opatřeno požární klapkou příslušné požární odolnosti.

b) v případě, že potrubí pouze vedlejším požárním úsekem prochází, aniž by do tohoto úseku ústilo, je tento úsek opatřen protipožární izolací příslušné odolnosti.

Požární izolace příslušné požární odolnosti je použita i v případech, pokud požární klapku není možno osadit přímo do požárního předělu z důvodu stavebních či provozních. V tomto případě je tento úsek mezi požárním předělem a požární klapkou požárně izolován.

c) V případě, že potrubí prochází požárním předělem, má menší průřez než 0,04 m<sup>2</sup> a vzdálenost k dalšímu takovému potrubí je větší než 0,5 m, nejsou žádná protipožární opatření nutná.

## **11. POŽÁRNĚ BEZPEČNOSTNÍ ZAŘÍZENÍ**

### **11.3. ELEKTRICKÁ POŽÁRNÍ SIGNALIZACE**

Posouzení nutnosti EPS dle [8] bylo stanoveno následovně:

PÚ	a <sub>n</sub>	j	o <sub>s</sub>	o <sub>h</sub>	o <sub>v</sub>	N
N1.1	1,1	1,7	0,9	1	1,1	3,047
N1.2	1,1	1,7	0,9	1	1,1	3,047
N1.3	1,1	1,7	0,9	0,9	0,9	2,412
N1.4	1,1	1,2	0,9	0,9	1,1	2,343
N1.5	1,1	1,2	0,9	0,9	1,3	2,769
N1.6/N2	0,75	1,2	0,9	0,9	0,9	1,539

**Tento objekt je nutné střežit pomocí EPS (N>3).**

Všechny prostory v objektu, kromě prostorů bez požárního rizika (WC, umývárny), budou vybaveny elektrickou požární signalizací s tlačítkovými a samočinnými hlásiči požáru.

Elektrická požární signalizace bude navržena podle [8]. V návrhu EPS bude zajištěna co nejvyšší adresnost místa vzniku požáru a zohledněn druh a způsob uložení materiálu ve skladu.

Elektrická požární signalizace bude zjišťovat výskyt požáru. Bude zajišťovat vyhlášení požárního poplachu. Hlásiče budou napojeny na automatickou ústřednu EPS, která bude umístěna v ohlašovně požáru (recepce ve vstupní hale). V objektu nebude zajištěna stálá služba a je tedy nutné instalovat systém dálkového přenosu.

Systém EPS bude ovládat následující protipožární zařízení:

- Zavíraní požárně dělící vrata mezi PÚ N1.1 a N1.2
- Zajištění samočinného a dálkového ovládání zvukového signálu oznamujícího nebezpečí či vznik požáru v požárních úsecích N1.1 a N1.2
- Uvolňování přídržných magnetů u dveří mezi N1.3 a N1.2
- Zapínání nouzového osvětlení
- Odblokování veškerých dveří na únikových cestách, opatřených bezpečnostními zámky (kódové karty)
- Odblokování klíčového trezoru požární ochrany
- Uzavření KUP

#### **11.4. SAMOČINNÉ STABILNÍ HASICÍ ZAŘÍZENÍ**

Dle [2] odst. 7.2.7 **nevzniká požadavek** na instalaci SSHZ ve výrobním PÚ N1.2. Dle [6] odst. 6.7 **nemusí být instalováno** SSHZ ani v požárním úseku skladu N1.1. Požární úseky vestavby se řídí podle [1] odst. 6. 6. 10. SSHZ **Není požadováno**.

#### **11.5. SAMOČINNÉ ODVĚTRÁVACÍ ZAŘÍZENÍ**

Dle [2] odst. 7.2.8 **nevzniká požadavek** na instalaci SOZ ve výrobním PÚ N1.2. Dle [6] odst. 6.8 **nemusí být instalováno** SOZ ani v požárním úseku skladu N1.1. Požární úseky vestavby se řídí podle [1] odst. 6. 6. 11. SOZ **Není požadováno**.

## **12. BEZPEČNOSTNÍ ZNAČKY A TABULKY**

Na únikové cesty a směr úniku budou umístěny požární tabulky vyznačující směr únikových cest. Provedení tabulky podle [9] – běžící postava šipka obrys dveří. Spodní hrana tabulky má být 1,8 m nad podlahou. Podle ustanovení článku [6] odst. 9.11 se doporučují značky ze svítících barev nebo svítící značky.

Rozmístění tabulek bude řešeno na místě tak, aby směr úniku byl jednoznačný, ve skladových prostorách podle rozmístění regálů a skladovaného materiálu. V administrativních prostorách bude označen směr únikových cest na schodiště a na volné prostranství.

Dále budou v objektu umístěny tabulky, požadované elektrotechnickými předpisy, tabulky, označující hlavní uzávěr vody, vypínač elektrické energie, tabulky požadované ČSN EN 378-3, tabulky požadované ČSN 33 2610.

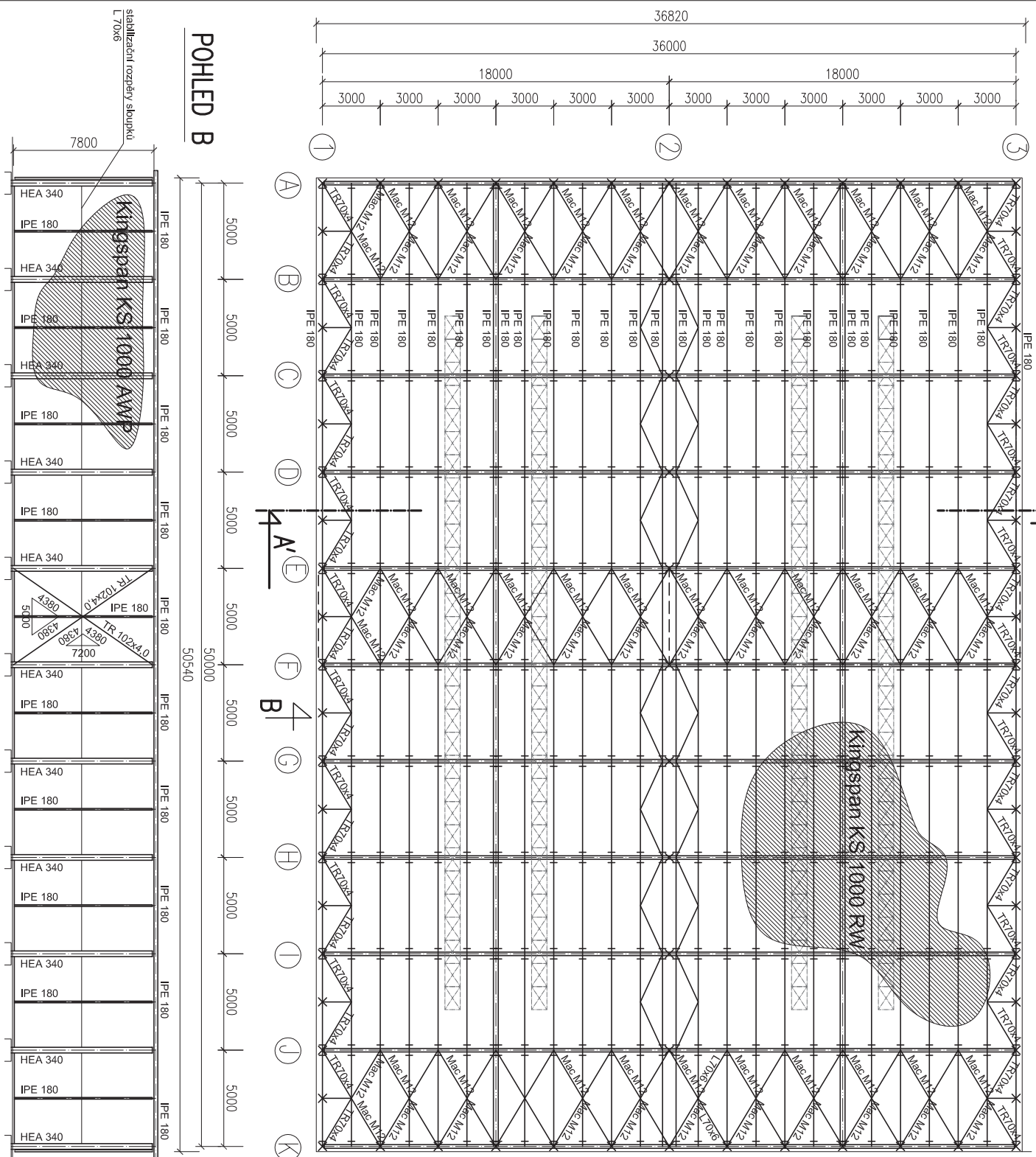
Tabulky svým provedením musí odpovídat Nařízení vlády č. 11 z 14. listopadu 2001, kterým se stanoví vzhled a umístění bezpečnostních značek. Nařízení vlády uveřejněno ve sbírce zákonů 11/2002 částka 6.

## **13. ZÁVĚR**

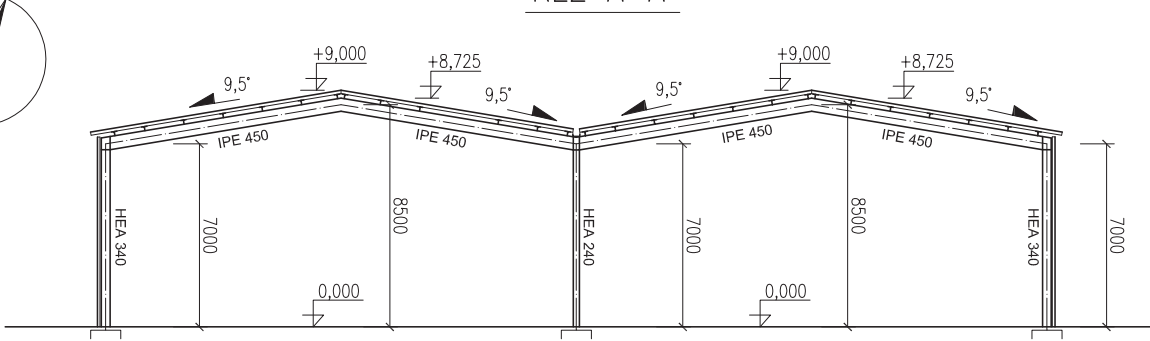
Toto požárně bezpečnostní řešení bylo zhotoveno v souladu s vyhláškou MVČR č.246/2001 Sb. Požadavky byly stanoveny podle řady norem ČSN o požární bezpečnosti staveb. Při provádění stavby je nutné, aby podmínky požárně bezpečnostního řešení byly v celém rozsahu splněny. Zhotovitel by měl v rámci dozoru výstavby zajistit i kontrolu ze strany projektanta požárně bezpečnostního řešení včetně spolupráce na dokumentaci pro provedení stavby.

V Praze dne 24. 3. 2013

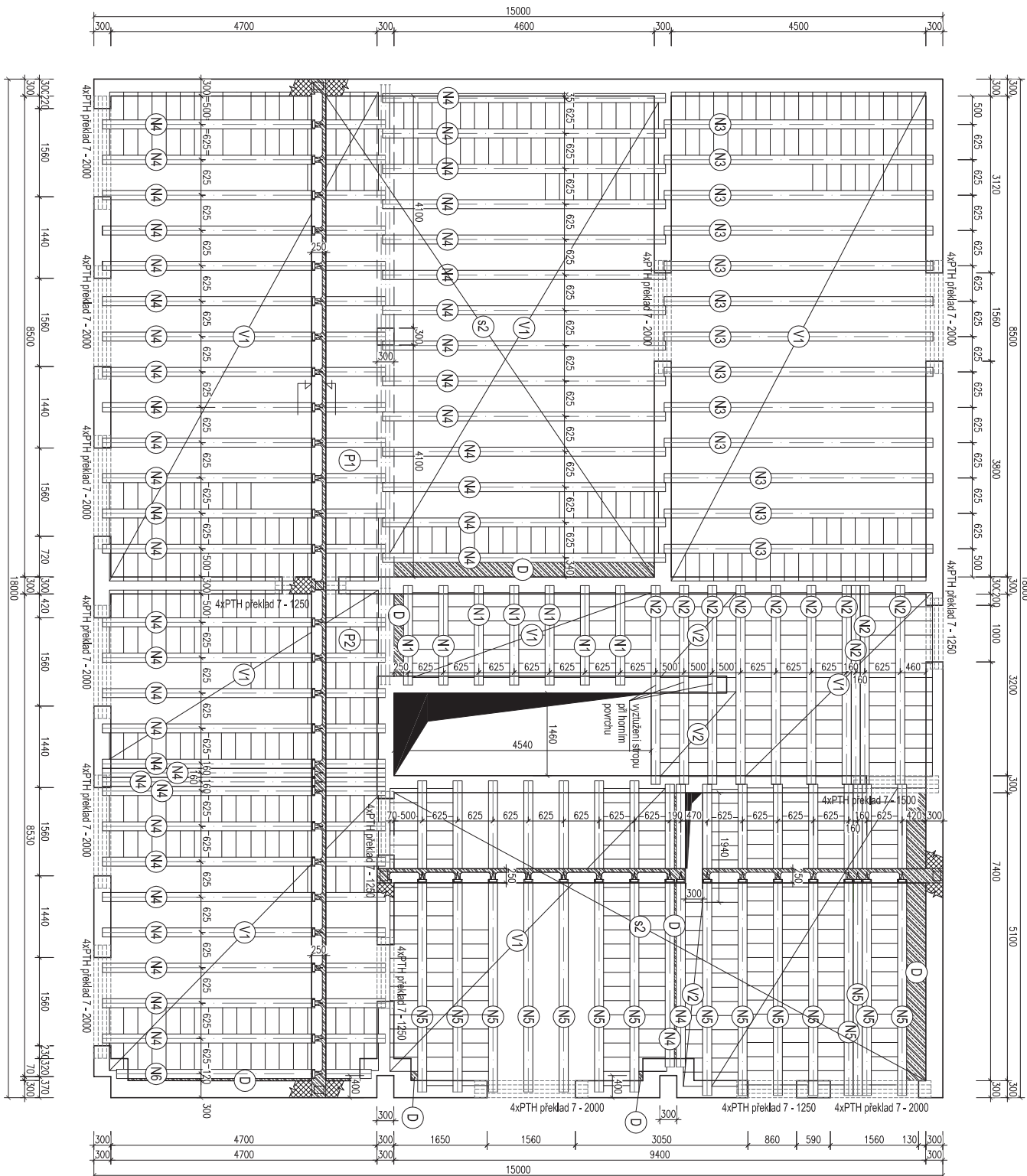
PŮDORYS STŘECHY



ŘEZ A-A



Výkres skladby stropu – vestavba – půdorys 1:75



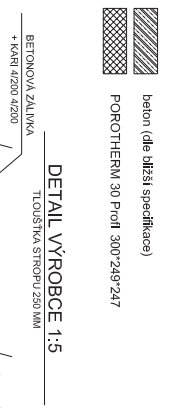
VÝPIS PRVKŮ

OZN.	POPIS	ROZMĚRY	MNOŽSTVÍ	JEDNOTKY
N1	POROTHERM nosník POT 175/902	160*175*1750	8	KUS
N2	POROTHERM nosník POT 150/902	160*175*3500	10	KUS
N3	POROTHERM nosník POT 47*902	160*175*4750	13	KUS
N4	POROTHERM nosník POT 500/902	160*175*5000	44	KUS
N5	POROTHERM nosník POT 550/902	160*175*5500	15	KUS
N6	POROTHERM nosník POT 590/902	160*175*4500	1	KUS
V1	POROTHERM vložka MAKRO 19/62,5 PTH	52*62,5*250	130	KUS
V2	POROTHERM vložka MAKRO 19/50 PTH	400*19*250	52	KUS
D	dobetonávka N 2025 + vytízen*	-	2,5	m <sup>3</sup>
-	POROTHERM překlad 17-1250	70*238*1250	12	KUS
-	POROTHERM překlad 17-1500	70*238*1500	4	KUS
-	POROTHERM překlad 17-2000	70*238*2000	40	KUS

\* do množství betonu potřebného pro dobetonávku nejsou započítány pozední věnce a 60 mm betonové stropní pásky

P1 průlák 3" IPF 180 délka 9 m (uložení 200 mm)

DETAIL VÝROBCE 1:5



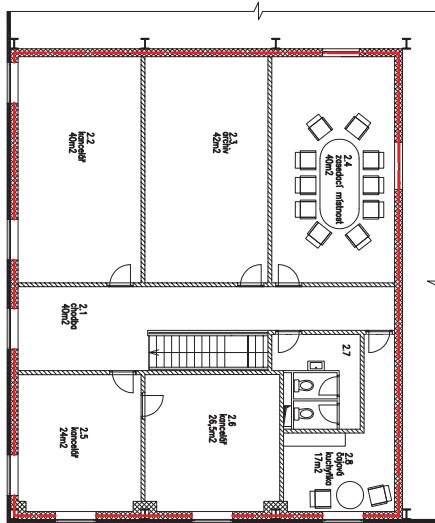
POZNÁMKA

ČESKÉ VÝROBE ČISTÉ TECHNICKÉ - PRAHA	
KISK KATERKA, OOOV, O.C. A DŘEVĚNOHORNÍ KONSTRUKCE	
BALKÁRSKÁ UPROČE	
VÝROBEC	PUDOVÝ 175
VÝROBKA	6
VÝROBKA	3.2013
VÝROBKA	SI-Q
VÝROBKA	JAN PŘEDOTTA
VÝROBKA	1NP
VÝROBKA	Výkres skladby stropu

PŮDORYS 1NP



PÜDORYS 2NP



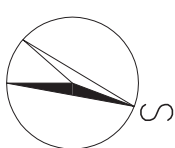
## LEGENDA

(H) VNITŘNÍ HADICOVÝ NÁSTĚNNÝ SYSTÉM D25 30+10 M

BĚŽNOSNÉ HASICÍ BĚŽÍSTVÍ DRÁŠKOVÉ ŠKU 31A  
POZARNÍ ZASAHOVÝ ZEBRIK

⊗ NOUZOVÉ OSVĚLENÍ

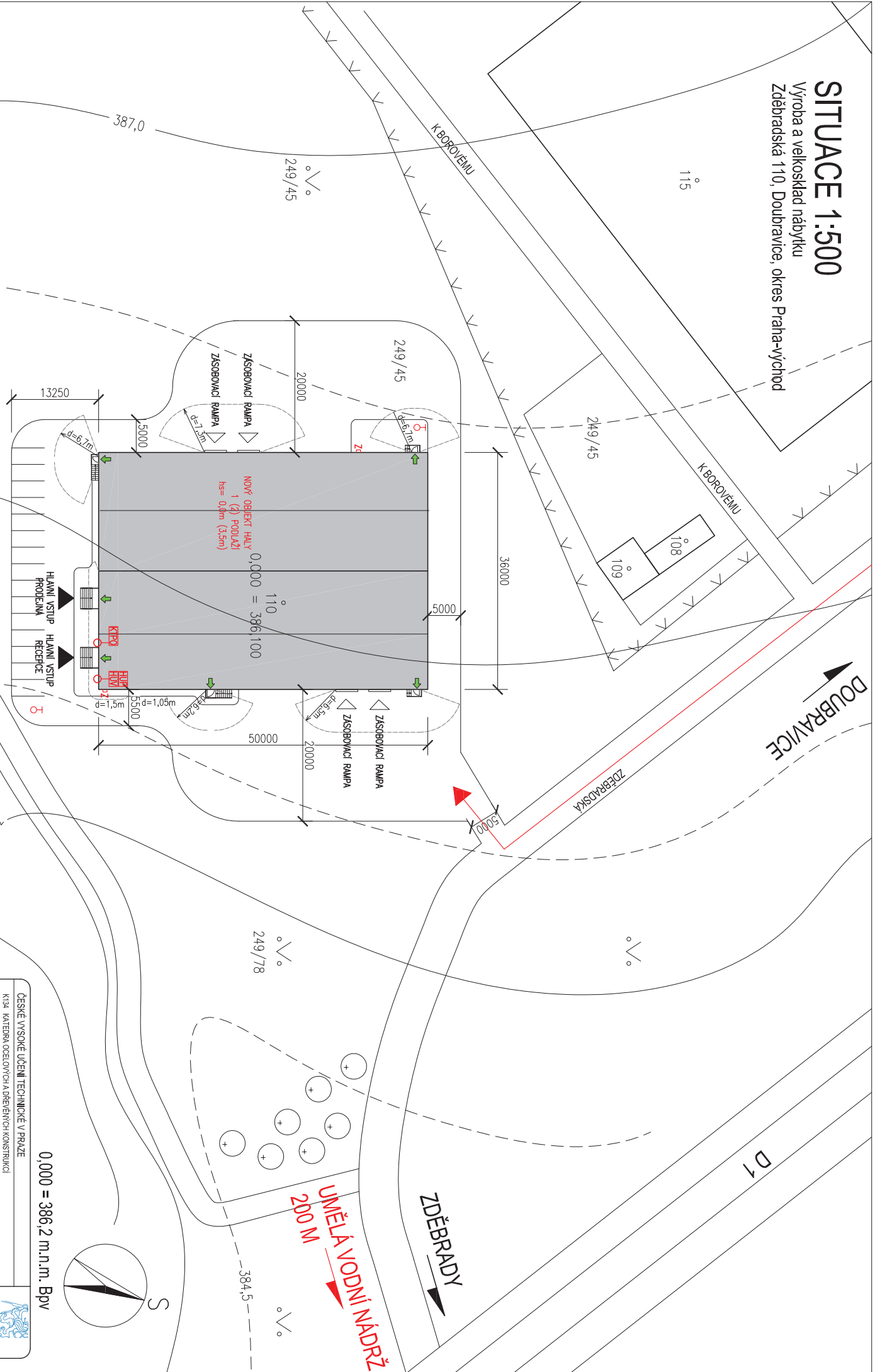
POLUDNÝ HASICÍ PRISTROJ PRASKOV P50le 50KG



ČESKÉ VYSOKÉ UČENÍ TECHNICKÉ K PRAZE	
K-134 KATEDRA GELOVÝCH A DŘEVEŇÍCH KONSTRUKcí	
BANKÁRSKÁ PRÁCE	
VYBRANÉ	DODATEL
POŽÁRNÍ OCHRANA	Přílohy k INP 1NP RUDORYS 2AP 1:200
	VYPROČOVÁL
JAN PŘEDOTA	STUDIUSOR
	Si-Q
KONTAKT	7. 3. 2013
	DATA

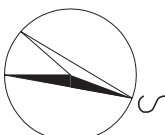
# SITUACE 1:500

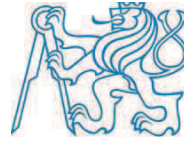
Výroba a velkosklad nábytku  
Zděbradská 110, Doubíavice, okres Praha-východ



ČESKÉ VYSOKÉ ŠKOLE TECHNIČKÉ VÝRAZE	
K-134 KATEDRA GEODEZICKÝCH A DŘEVĚNÝCH KONSTRUKCIÍ	
BAKALÁŘSKÁ PRÁCE	
POŽÁRNÍ OCHRANA	
SITUACE	
JAN PŘEDOTA	JAN PŘEDOTA
Si-Q	Si-Q

0,000 = 386,2 m.n.m. Bpv





# ČESKÉ VYSOKÉ UČENÍ TECHNICKÉ V PRAZE

---

Fakulta stavební

K134 Katedra ocelových a dřevěných konstrukcí

BAKALÁŘSKÁ PRÁCE

## NÁVRH KONSTRUKCE ZA BĚŽNÉ TEPLITOY

Studijní program: Stavební inženýrství

Studijní obor: Požární bezpečnost staveb

Vedoucí práce: Ing. Michal Netušil, Ph.D.

**Jan Předota**

---

Praha 2013

## **Obsah**

1.	VÝCHOZÍ A POUŽITÉ PODKLADY, ČSN A PRÁVNÍ PŘEDPISY.....	3
2.	SEZNAM ZKRATEK .....	3
3.	POPIS OBJEKTU .....	3
4.	ZATÍŽENÍ.....	4
5.	STŘECHA.....	7
6.	STĚNY .....	11
7.	ZTUŽIDLA.....	16
8.	OKAPOVÁ VAZNICE .....	21
9.	ŠROUBOVANÝ SPOJ ZTUŽIDLA A SLOUPU .....	24
10.	PŘÍČNÝ RÁM.....	24

## **Přílohy**

PŘÍLOHA 1- Návrh stropní konstrukce- vestavba 1NP

PŘÍLOHA 2- Výkres č. 6, Výkres skladby stropu 1NP

PŘÍLOHA 3- Katalog POROTHERM strop

PŘÍLOHA 4- Tabulky únosností střešních panelů KINGSPAN

PŘÍLOHA 5- Detail šroubovaného spoje ztužidla

PŘÍLOHA 6- Detail rámového rohu

PŘÍLOHA 7- Výkres č. 5- Primární nosná konstrukce

PŘÍLOHA 8- Katalog výrobce ocelových táhel Macalloy

## **1. VÝCHOZÍ A POUŽITÉ PODKLADY, ČSN A PRÁVNÍ PŘEDPISY**

- [1] ČSN EN 1990 - Zásady navrhování konstrukcí
- [2] ČSN EN 1991-1-1 - Zatížení konstrukcí, Obecná zatížení, Objemové tíhy, vlastní tíha a užitná zatížení pozemních staveb
- [3] ČSN EN 1991-1-3 – Obecná zatížení, Zatížení sněhem
- [4] ČSN EN 1991-1-4 – Obecná zatížení, Zatížení větrem
- [5] ČSN EN 1993-1-1 - Navrhování ocelových konstrukcí, Obecná pravidla a pravidla pro pozemní stavby
- [6] Ing. Z. Sokol, Ph.D., prof. Ing. F. Wald, CSc. - OCELOVÉ KONSTRUKCE. Tabulky – Vydalo České vysoké učení technické v Praze - 2010

## **2. SEZNAM ZKRATEK**

ČSN = česká státní norma, NP = národní příloha, KZS = kombinace zatěžovacích stavů, MSP = mezní stav použitelnosti, MSÚ = mezní stav únosnosti,

## **3. POPIS OBJEKTU**

Předmětem návrhu je dvoulodní hala o rozpětí 2x18 m, dlouhá 50 m. Příčné vazby jsou navrženy jako plnostěnné dvoukloubové rámy a jsou od sebe vzdáleny 5 m.

Střecha je sedlová se sklonem cca 10°. Střešní vaznice jsou válcované plnostěnné profily IPE a jsou od sebe vzdáleny 1,5 m. Na nich leží střešní plášť ve formě střešních panelů KINGSPAN.

Stejně tak plášť je navržen ze stěnových panelů KINGSPAN, které jsou neseny sloupy primární konstrukce a plnostěnnými stojinami IPE. Vzdálenost nosných prvků pláště je 3 m na štítových stěnách a 2,5 m na stěnách bočních.

Hala je zateplená.

Výstavba haly je plánovaná v České Republice u obce Doubravice, ve II. větrové oblasti dle aktuální mapy větrných oblastí ČR a II. sněhové oblasti dle aktuální sněhové mapy ČR.

Statický výpočet bude proveden dle [4] a zatížení bude stanovenno dle příslušných částí ČSN EN 1991-1-... .

## 4. ZATÍŽENÍ

### 4.1. VÍTR

Základní rychlosť větru  $v_{b0} = 25 \text{ m/s}$  [4] mapa větrných oblastí na území ČR

Kategorie terénu III [4] Příloha A

Výška objektu  $h=9,5 \text{ m}$

Součinitel expozice  $C_e = 1,65$  [4] obrázek 4.2

Měrná hmotnost vzduchu  $\rho = 1,25 \text{ kg/m}^3$  [4] NP 18

Základní dynamický tlak větru  $q_b = 0,5 * \rho * v_{b0}^2 = 0,5 * 1,25 * 25^2 = 390,6 \text{ Pa}$

Tlak větru na vnější povrch  $w_e = q_b * C_e * (z_e) C_{pe} = 390,6 * 1,65 * C_{pe,10} = 645 * C_{pe,10}$

(Součinitele vnějšího aerodynamického tlaku  $C_{pe}$  určeny dle [4] odst. 7.2.2)

#### VÍTR PŘÍČNÝ

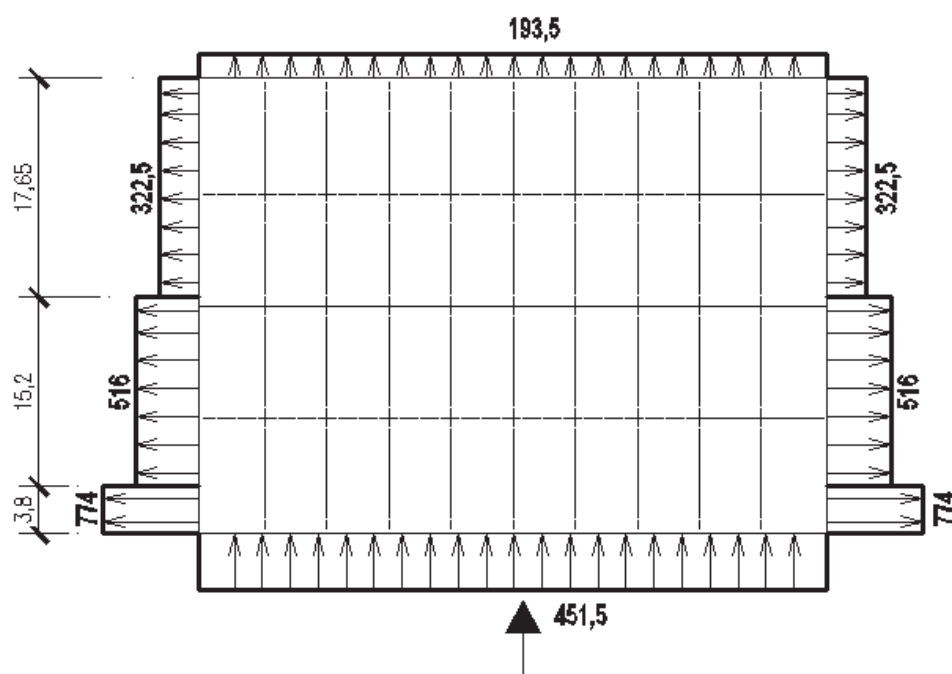
$h = 9,5 \text{ m}$

$d = 36 \text{ m}$

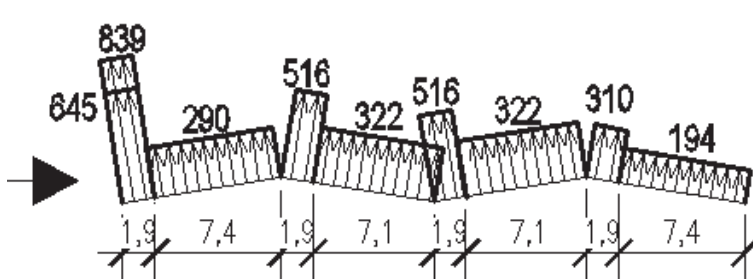
$b = 51 \text{ m}$

$e = 19 \text{ m}$  [4] odst. 7.2.2

OBLAST	$C_{pe,10}$	$w_e (\text{Pa})$
STĚNY		
A	-1,2	-774
B	-0,8	-516
C	-0,5	-322,5
D	0,7	451,5
E	-0,3	-193,5



Obr. 1 Působení příčného větru na stěny objektu [Pa ; m]



OBLAST	C <sub>pe10</sub>	w <sub>e</sub> (Pa)
STŘECHA		
F	-1,3	-838,5
G	-1	-645
H	-0,45	-290,25
I	-0,5	-322,5
J	-0,8	-516

Obr. 2 Působení příčného větru na střechu objektu [Pa ; m]

#### VÍTR PODÉLNÝ

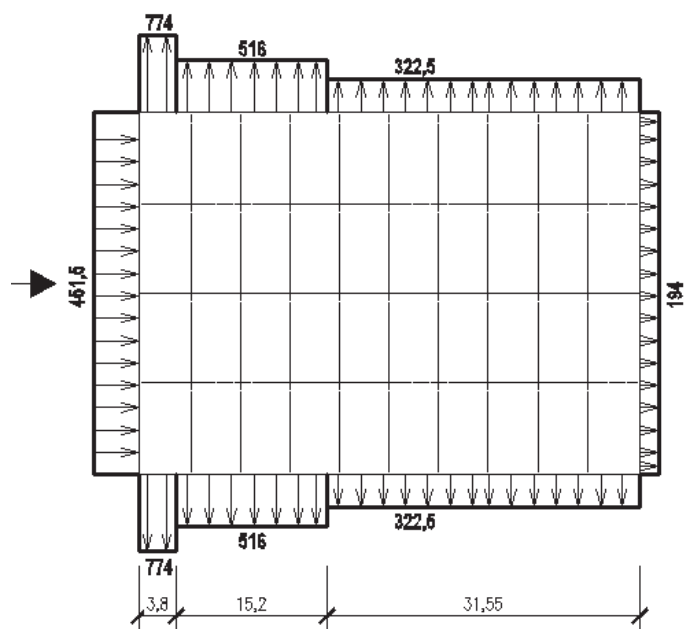
h = 9,5 m

d = 51 m

b = 36 m

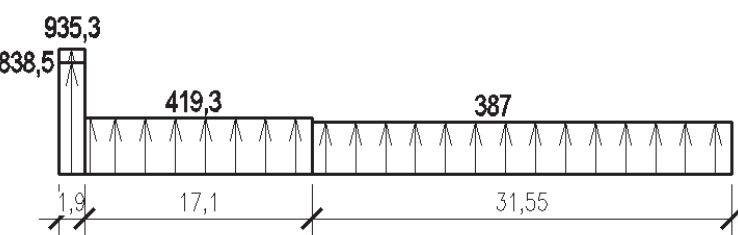
e = 19 m [4] odst. 7.2.2

OBLAST	C <sub>pe10</sub>	w <sub>e</sub> (Pa)
STĚNY		
A	-1,2	-774
B	-0,8	-516
C	-0,5	-322,5
D	0,7	451,5
E	-0,3	-193,5



Obr. 3 Působení podélného větru na stěny objektu  
[Pa ; m]

OBLAST	C <sub>pe10</sub>	w <sub>e</sub> (Pa)
STŘECHA		
F	-1,45	-935,25
G	-1,3	-838,5
H	-0,65	-419,25
I	-0,6	-387



Obr. 4 Působení podélného větru na střechu  
objektu [Pa ; m]

## 4.2. SNÍH

Sněhová oblast II. [3] sněhová mapa na území ČR

Charakteristické zatížení sněhem  $s_k=1 \text{ kPa}$  [3] sněhová mapa na území ČR

Součinitel expozice  $C_e=1$

Teplný součinitel  $C_t=1$

Tvarový součinitel  $\mu_1=0,8$

Výsledné plošné zatížení sněhem  $S_k=C_e * C_t * s_k * \mu_1=1 * 1 * 1 * 0,8=0,8 \text{ kPa}$

## 4.3. STÁLÉ

### STŘEŠNÍ PLÁŠŤ

Kingspan KS1000 RW tl. 120 mm  $13,15 \text{ kg/m}^2$

CHAR. ZATÍŽENÍ  $0,132 \text{ kN/m}^2$

NÁVRH. ZATÍŽENÍ  $0,132 * 1,35 = 0,18 \text{ kN/m}^2$

### STĚNA

Kingspan KS1000 AWP tl. 120 mm  $13,65 \text{ kg/m}^2$

CHAR. ZATÍŽENÍ  $0,137 \text{ kN/m}^2$

NÁVRH. ZATÍŽENÍ  $0,137 * 1,35 = 0,185 \text{ kN/m}^2$

## 5. STŘECHA

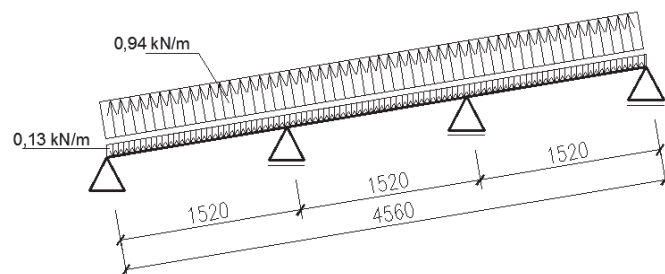
### 5.1. STŘEŠNÍ PANELY

#### POPIS

Kingspan KS 1000 RW

tl. = 120 mm

$m = 13 \text{ kg/m}^2$

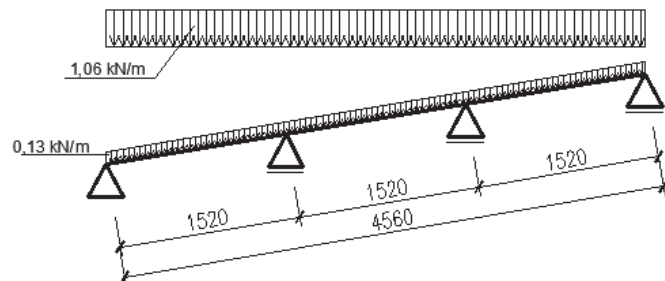


Obr. 5 Statické schéma střešního panelu (KZ1)

#### KOMBINACE ZATÍŽENÍ

KZ1 vítr + vlastní tíha

KZ2 sníh + vlastní tíha



Obr. 6 Statické schéma střešního panelu (KZ2)

#### POSOUZENÍ

Max. rozpětí při tíze sněhu 1,25 kPa = 2,96 m > 1,52 m

(dle tabulek výrobce, PŘÍLOHA 4)

VYHOVUJE\*

Max. rozpětí při sání větru 1 kPa = 5,09 m > 1,52 m

(dle tabulek výrobce, PŘÍLOHA 4)

VYHOVUJE\*

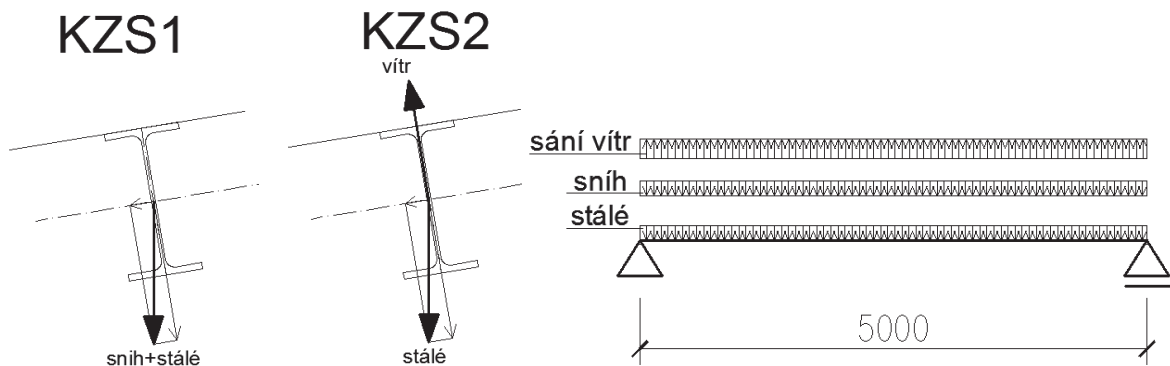
\*Minimální šířka krajních podpor musí být 48 mm a šířka střední podpory 95 mm. Pro upevnění panelů je nutné použít roznášecí podložku dodané od výrobce.

Průhyb střešního panelu není třeba při daném sklonu střechy posuzovat.

## 5.2. STŘEŠNÍ VAZNICE

Při počítání zatížení střešní vaznice je třeba uvážit směr působení zatížení. Naklopení vaznice vlivem sklonu střešní roviny způsobí namáhání šikmým ohybem. Vaznice je při horní pásnici zajištěna proti vybočení střešním pláštěm.

Největší zatížení od sněhu hrozí na úzlabní vaznici, kde se počítá s případnou návějí.



Obr. 7 Směrové působení zatížení na vaznici

Obr. 8 Statické schéma vaznice

### 5.2.1. ZATÍŽENÍ

#### STÁLÉ

		kN/m	kN/m
Střešní panely	0,13 kN/m <sup>2</sup> *1,5	0,2	*1,35 = 0,27
Vlastní tíha vaznice	odhad: IPE 180	<u>0,16</u>	<u>*1,35 = 0,22</u>
Stálé celkem		0,36	*1,35 = 0,5

#### PROMĚNNÉ

Sníh	KZS1 1,5*1,06	1,59	*1,5 = 2,38
Vítr sání	KZS2 1,52*-0,94	-1,43	*1,5 = -2,15
ZATÍŽENÍ CELKEM	<b>KZS1</b>	<b>1,9</b>	<b>2,8</b>
	<b>KZS2</b>	<b>-1,12</b>	<b>-1,73</b>

ZATÍŽENÍ ROZLOŽENÉ DO HL. TĚŽ. OS (kolmo k ose)

$$\text{KZS1 } f_{dy} = 2,77 \text{ kN/m}$$

$$f_{dz} = 0,47 \text{ kN/m}$$

$$\text{KZS2 } f_{dy} = -1,74 \text{ kN/m}$$

$$f_{dz} = 0,07 \text{ kN/m}$$

### 5.2.2. NÁVRH

Předběžný odhad dimenze ocelových profilů:

#### IPE 180 S235

$$W_{pl} = 166,4 \cdot 10^{-6} \text{ m}^3$$

$$A_{v,z} = 1125 \text{ mm}^2$$

Třída 1

### 5.2.3. MATERIÁLY

Charakteristická pevnost ocely:  $f_y = 235 \text{ MPa}$

Návrhová pevnost ocely:  $f_{yd} = f_y / 1 = 235 \text{ MPa}$

### 5.2.4. VNITŘNÍ SÍLY

#### KZS1

Návrhový moment:  $M_{edy} = 1/8 * f * l^2 = 1/8 * 2,77 * 5^2 = 9,42 \text{ kNm}$

$$M_{edz} = 1/8 * f * l^2 = 1/8 * 0,47 * 5^2 = 3,1 \text{ kNm}$$

Návrhová posouvající síla:  $V_{ed} = 1/2 * f * l = 0,5 * 2,77 * 5 = 7,5 \text{ kN}$

#### KZS2

Návrhový moment:  $M_{edy} = 1/8 * f * l^2 = 1/8 * (-1,74) * 5^2 = -5,28 \text{ kNm}$

### 5.2.5. POSOUZENÍ

Vaznice bude posouzena na obě dvě kombinace zatížení. Při KZS1 Vychází větší ohybové momenty. Při KZS2 jsou ohybové momenty menší, ale spodní tlačená pásnice je náchylná na klopení.

#### KZS1

$$(M_{edy}/M_{plrdy}) + M_{edz}/M_{plrdz} = (9420/(235*166,4))^2 + 3100/(34,6*235) =$$

$$= 0,62 < 1 \quad \text{VYHOVUJE}$$

$$V_{rd} = (f_{yd} * A_{vz})/3^{0,5} = (235 * 1125)/3^{0,5} = 152,1 \text{ kN} > V_{ed} = 7,5 \text{ kN}$$

**VYHOVUJE**

$V_{rd} = 131,1 \text{ kN} > 2 * V_{ed} = 26,8 \text{ kN} \rightarrow$  není třeba redukce momentu. Únosnosti

**KZS2**

k = 1 kloubové uložení

C1 = 1,132

[5] příloha F

$$M_{cr} = C_1 * \frac{\pi^2 * E * I_Z}{(k * h)^2} * \sqrt{\frac{I_w}{I_Z} * \left(\frac{k}{k_w}\right)^2 + \frac{(k * h)^2 * G * I_t^2}{\pi^2 * E * I_Z}} = \\ 1,132 * \frac{\pi^2 * 210 * 10^9 * 100,9 * 10^{-8}}{(1*5)^2} * \\ \sqrt{\frac{7431 * 10^{-12}}{100,9 * 10^{-8}} * \left(\frac{1}{1}\right)^2 + \frac{(1*5)^2 * 81 * 10^9 * (4,79 * 10^{-8})^2}{\pi^2 * 210 * 10^9 * 100,9 * 10^{-8}}} = 8,1 \text{ kNm}$$

$$\lambda_{LT} = \sqrt{\frac{M_{plRdy}}{M_{cr}}} = \sqrt{\frac{235 * 166,4}{8100}} = 2,2 \rightarrow X_{LT} = 0,187$$

$$\frac{M_{Ed}}{M_{Rd} * X_{LT}} = \frac{5280}{235 * 166,4 * 0,187} = 0,72 < 1$$

VYHOVUJE

Normálové síly působící ve směru střešní roviny jsou zachyceny do krajních podélných střešních ztužidel, které působí jako příhradová konstrukce.

Okapová vaznice bude posouzena v kapitole 8 na kombinaci ohybu a osové síly od podélného větru.

## 6. STĚNY

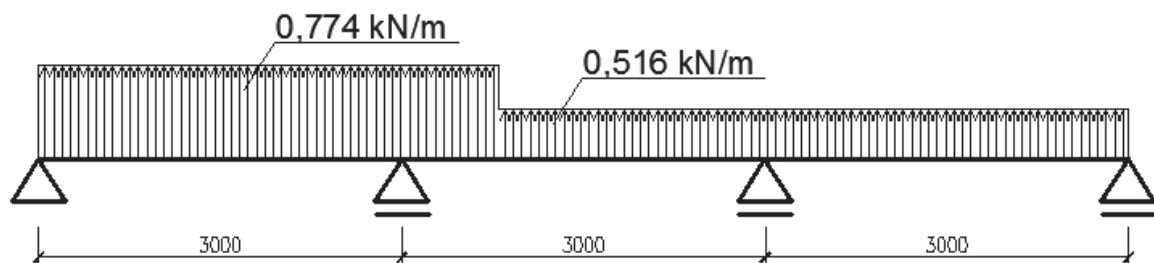
### 6.1. STĚNOVÉ PANELY (ČELNÍ STĚNY)

#### 6.1.1. POPIS

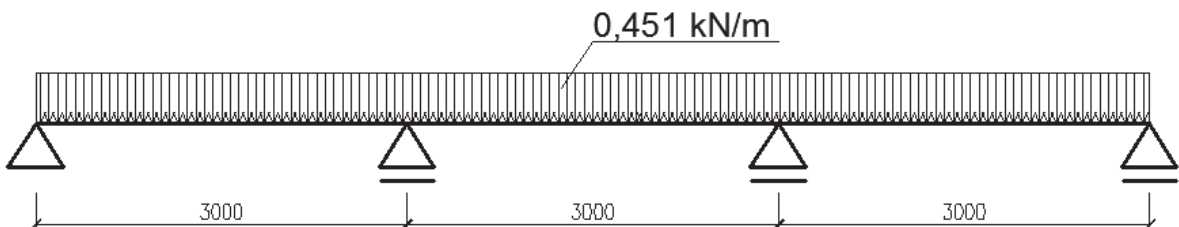
Kingspan KS 1000 AWP

tl. = 120 mm

$m = 14 \text{ kg/m}^2$



Obr. 13 Statické schéma stěnového panelu (sání příčného větru)



Obr. 14 Statické schéma stěnového panelu (tlak podélného větru)

#### 6.1.2. POSOUZENÍ

Max. rozpětí při sání větru  $0,8 \text{ kPa} = 3,3 \text{ m} > 3 \text{ m}$  (dle tabulek výrobce, PŘÍLOHA 4 )

VYHOVUJE\*

Max. rozpětí při tlaku větru  $0,5 \text{ kPa} = 8,1 \text{ m} > 3 \text{ m}$  (dle tabulek výrobce, PŘÍLOHA 4)

VYHOVUJE\*

\*Minimální šířka krajních podpor musí být 48 mm a šířka střední podpory 97 mm. Pro upevnění panelů je nutné použít roznášecí podložky dodané od výrobce.

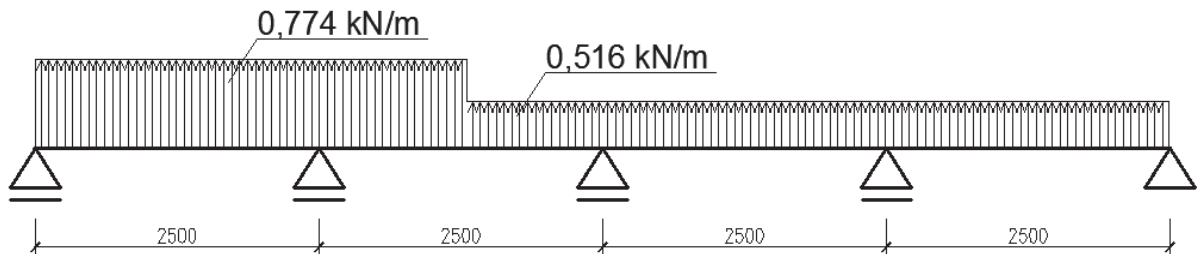
## 6.2. STĚNOVÉ PANELY (BOČNÍ STĚNY)

### 6.2.1. POPIS

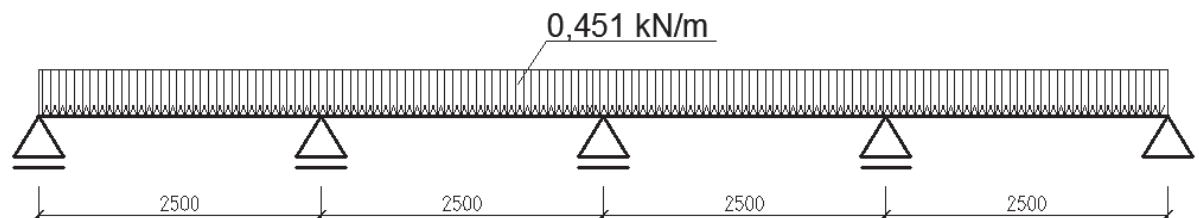
Kingspan KS 1000 AWP

tl. = 120 mm

$m = 14 \text{ kg/m}^2$



Obr. 13 Statické schéma stěnového panelu (sání příčného větru)



Obr. 14 Statické schéma stěnového panelu (tlak podélného větru)

### 6.2.2. POSOUZENÍ

Max. rozpětí při sání větru 0,8 kPa = 3,3 m > 2,5 m (dle tabulek výrobce, PŘÍLOHA 4)

VYHOVUJE\*

Max. rozpětí při tlaku větru 0,5 kPa = 8,1 m > 2,5 m (dle tabulek výrobce, PŘÍLOHA 4)

VYHOVUJE\*

\*Minimální šířka krajních podpor musí být 48 mm a šířka střední podpory 97 mm. Pro upevnění panelů je nutné použít roznášecí podložky dodané od výrobce.

### 6.3. SLOUPEK (ŠTÍTOVÁ STĚNA)

#### 6.3.1. ZATÍŽENÍ

PROMĚNNÉ			kN/m		kN/m
Vítr	sání	0,516*3	1,55	*1,5	= 2,32
	tlak	0,451*3	1,353	*1,5	= 2,03

Rozhoduje zatížení při sání větru. Svislé zatížení od vlastní tíhy lze zanedbat.

#### 6.3.2. NÁVRH

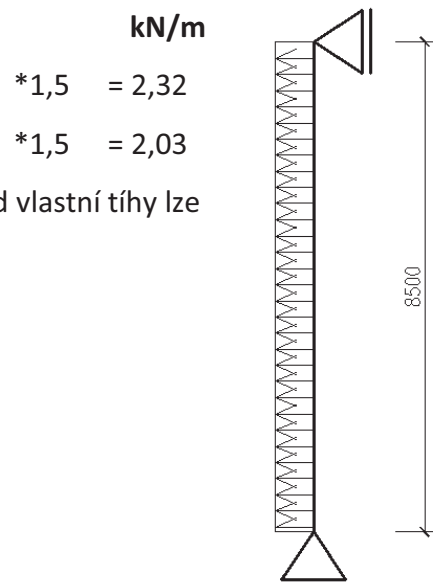
Předběžný odhad dimenze ocelových profilů:

IPE 180 S235

$$W_{pl} = 166,4 \cdot 10^{-6} \text{ m}^3$$

$$A_{v,z} = 1125 \text{ mm}^2$$

Třída 1



Obr. 15 Statické schéma sloupu

#### 6.3.3. MATERIÁLY

Charakteristická pevnost ocely:  $f_{yk}=235 \text{ MPa}$

Návrhová pevnost ocely:  $f_{yd}=f_{yk}/1=235 \text{ MPa}$

#### 6.3.4. VNITŘNÍ SÍLY

Návrhový moment:  $M_{ed}=1/8*f*l^2=1/8*2,32*8,5^2=21 \text{ kNm}$

Návrhová posouvající síla:  $V_{ed}=1/2*f*l = 0,5*2,32*8,5 = 9,9 \text{ kN}$

### 6.3.5. POSOUZENÍ

Vnitřní (tlačená) pásnice je při sání větru náchylná ke klopení. Proto bude v polovině rozpětí zajištěna rozpěrami ve formě ocelových úhelníků. V posouzení bude tedy uvažována klopící délka  $1,1 * L/2$ . Pro určení součinitele  $C_1$  je na polovině nosníku konzervativně uvažovaný lichoběžníkový průběh momentů ( $\Psi = 1/2$ ).

#### MSU

$$\begin{aligned} k &= 1 && \text{kloubové uložení} \\ C_1 &= 1,323 \end{aligned}$$

[5] příloha F

$$\begin{aligned} M_{cr} &= C_1 * \frac{\pi^2 * E * I_Z}{(k * h)^2} * \sqrt{\frac{I_w}{I_Z} * \left(\frac{k}{k_w}\right)^2 + \frac{(k * h)^2 * G * I_t^2}{\pi^2 * E * I_Z}} = \\ &1,141 * \frac{\pi^2 * 210 * 10^9 * 100,9 * 10^{-8}}{(1*4,25)^2} * \\ &\sqrt{\frac{7431 * 10^{-12}}{100,9 * 10^{-8}} * \left(\frac{1}{1}\right)^2 + \frac{(1*4,25)^2 * 81 * 10^9 * (4,79 * 10^{-8})^2}{\pi^2 * 210 * 10^9 * 100,9 * 10^{-8}}} = 13,1 \text{ kNm} \end{aligned}$$

$$\lambda_{LT} = \sqrt{\frac{M_{pl\ Rdy}}{M_{cr}}} = \sqrt{\frac{235 * 166,4}{11300}} = 1,72 \quad \rightarrow X_{LT} = 0,273$$

$$\frac{M_{Ed}}{M_{Rd} * X_{LT}} = \frac{9900}{235 * 166,4 * 0,273} = 0,93 < 1 \quad \text{VYHOVUJE}$$

#### MSP

$$\begin{aligned} \delta &= 5/384 * (f * L^4) / (E * I_y) = 5/384 * (1,55 * 8,5^4) / (2100 * 1317) = \\ &= 37 \text{ mm} < \delta \text{ lim} = L/200 = 8500/200 = 42,5 \text{ mm} \end{aligned}$$

VYHOVUJE

\*Ocelové rozpěry ve formě úhelníků nebudou v této práci navrhovány. Jejich profil bude pouze přibližně odhadnut na L 70x4.

## 6.4. SLOUPEK (BOČNÍ STĚNA)

### 6.4.1. ZATÍŽENÍ

#### PROMĚNNÉ

			kN/m		kN/m
Vítr	sání	0,774*2,5	1,94	*1,5	= 2,91
	tlak	0,451*2,5	1,13	*1,5	= 2,3

Prvek bude posouzen pouze pro zatížení sáním větru, protože je větší a hrozí klopení sloupku.

### 6.4.2. NÁVRH

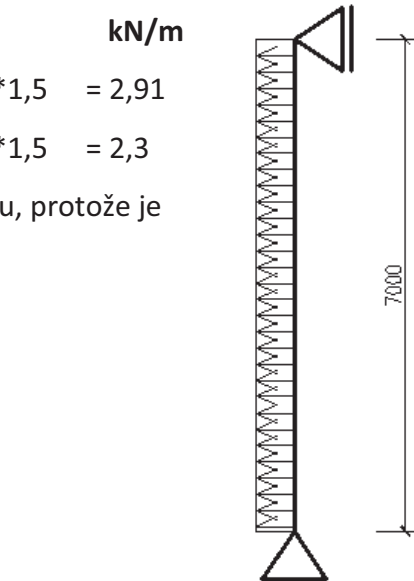
Předběžný odhad dimenze ocelových profilů:

IPE 160 S235

$$W_{\text{ply}} = 123,9 \cdot 10^{-6} \text{ m}^3$$

$$A_{v,z} = 966 \text{ mm}^2$$

Třída 1



Obr. 16 Statické schéma sloupku

### 6.4.3. MATERIÁLY

Charakteristická pevnost oceli:  $f_{yk}=235 \text{ MPa}$

Návrhová pevnost oceli:  $f_{yd}=f_{yk}/1=235 \text{ MPa}$

### 6.4.4. VNITŘNÍ SÍLY

Návrhový moment:  $M_{ed}=1/8*f*l^2=1/8*2,91*7^2=17,8 \text{ kNm}$

Návrhová posouvající síla:  $V_{ed}=1/2*f*l=0,5*2,91*7=10,2 \text{ kN}$

Normálová síla od okapové vaznice je v tomto případě zanedbána.

### 6.4.5. POSOUZENÍ

Postup posouzení je obdobný jako v případě štítové stěny. Prvek je posouzen na ohyb s klopením. Prvek je v  $\frac{1}{2}$  rozpětí držen proti vybočení tlačené pásnice.

#### MSU

$k = 1$  kloubové uložení

$C_1 = 1,313$

[5] příloha F

$$M_{cr} = C_1 * \frac{\pi^2 * E * Iz}{(k * h)^2} * \sqrt{\frac{Iw}{Iz} * \left(\frac{k}{kw}\right)^2 + \frac{(k * h)^2 * G * It^2}{\pi^2 * E * Iz}} =$$

$$1,313 * \frac{\pi^2 * 210 * 10^9 * 100,9 * 10^{-8}}{(1*3,5)^2} * \sqrt{\frac{7431 * 10^{-12}}{100,9 * 10^{-8}} * \left(\frac{1}{1}\right)^2 + \frac{(1*3,5)^2 * 81 * 10^9 * (4,79 * 10^{-8})^2}{\pi^2 * 210 * 10^9 * 100,9 * 10^{-8}}} = 16,7 \text{ kNm}$$

$$\lambda_{LT} = \sqrt{\frac{M_{pl,Rdy}}{M_{cr}}} = \sqrt{\frac{235*166,4}{16700}} = 1,53 \quad \rightarrow X_{LT} = 0,331$$

$$\frac{M_{Ed}}{M_{Rd} * X_{LT}} = \frac{9900}{235*166,4*0,331} = 0,77 < 1 \quad \text{VYHOVUJE}$$

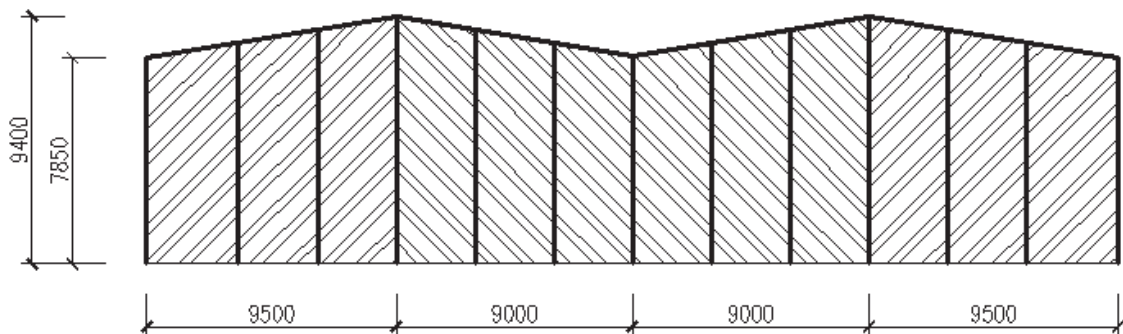
MSP

$$\delta = 5/384 * (f * L^4) / (E * I_y) = 5/384 * (1,94 * 7^4) / (2100 * 869,3) = \\ = 33 \text{ mm} < \delta \text{ lim} = L/200 = 7000/200 = 35 \text{ mm} \quad \text{VYHOVUJE}$$

## 7. ZTUŽIDLA

Předmětem návrhu jsou příčná střešní a hlavní podélná ztužidla. Přenáší zatížení od podélného větru působícího na štítové stěny (sání + tlak). V podélném směru jsou celkem tři křížová ztužidla. Dále jsou do výpočtu zahrnutý ekvivalentní vodorovné síly způsobené imperfekcí sloupů.

Výpočet na podélném ztužidle je proveden na středním ztužidle, kde jsou síly od imperfekcí větší než v krajních sloupech a ztužidlo přenáší zatížení na štítovou stěnu z větší plochy.



Obr. 17 Schéma štítové stěny

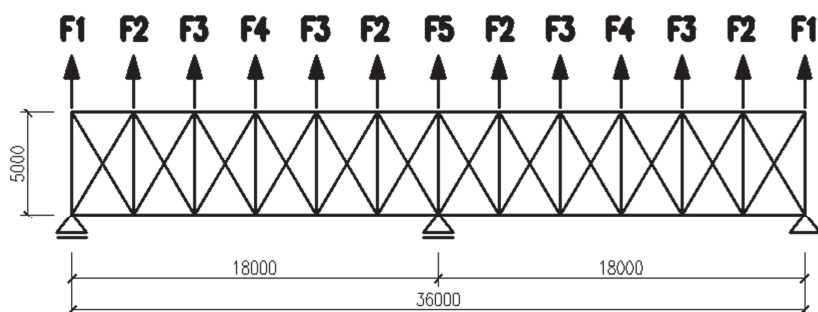
## 7.1. PŘÍČNÉ STŘEŠNÍ ZTUŽIDLO

Nejnepříznivějším zatížením pro příčná střešní ztužidla je sání podélného větru. Ztužidlo funguje jako příhradový nosník kde dolním a horním pásem je rámová příčle profilu IPE, vertikály představují střešní vaznice profilu IPE a diagonály budou navrženy jako tažená ocelová táhla Macalloy.

### 7.1.1. ZATÍŽENÍ

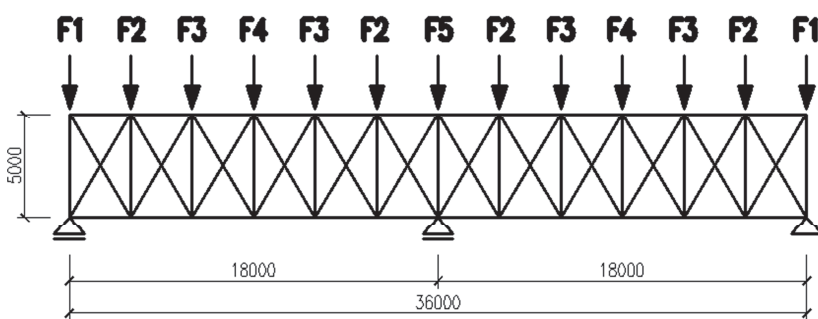
**Podélný vítr**      sání     $0,451 \text{ kN/m}^2$   
                               Tlak     $0,194 \text{ kN/m}^2$

Plocha	Sání
$F_{1d} = 1750 * 3925 + (250 * 1750) / 2 = 7,1 \text{ m}^2$	$* -0,451 = -3,2 * 1,5 = -4,8 \text{ kN/m}^2$
$F_{2d} = 3250 * 4175 + (500 * 3250) / 2 = 14,4 \text{ m}^2$	$* -0,451 = -6,5 * 1,5 = -9,75 \text{ kN/m}^2$
$F_{3d} = 3000 * 4675 + (500 * 3000) / 2 = 14,8 \text{ m}^2$	$* -0,451 = -6,67 * 1,5 = -10 \text{ kN/m}^2$
$F_{4d} = 3000 * 5175 + (250 * 3000) / 2 = 15,9 \text{ m}^2$	$* -0,451 = -7,2 * 1,5 = -10,8 \text{ kN/m}^2$
$F_{5d} = 14,2 \text{ m}^2$	$* -0,451 = -6,4 * 1,5 = -9,6 \text{ kN/m}^2$



Obr. 18 Statické schéma příčné střešní ztužidlo – sání

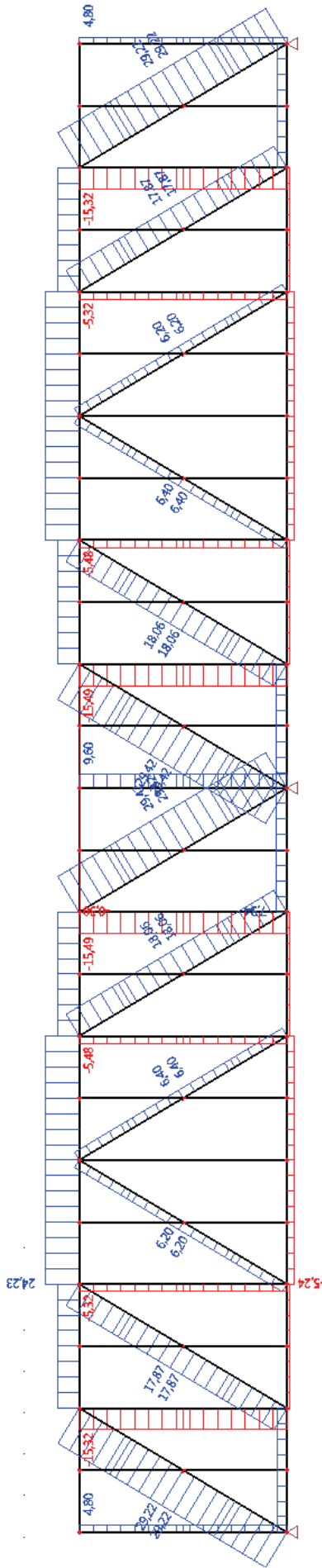
Plocha	Tlak
$F_1 = 1750 * 3925 + (250 * 1750) / 2 = 7,1 \text{ m}^2$	$* -0,194 = 1,38 * 1,5 = 2,1 \text{ kN/m}^2$
$F_2 = 3250 * 4175 + (500 * 3250) / 2 = 14,4 \text{ m}^2$	$* -0,194 = 2,8 * 1,5 = 4,2 \text{ kN/m}^2$
$F_3 = 3000 * 4675 + (500 * 3000) / 2 = 14,8 \text{ m}^2$	$* -0,194 = 2,87 * 1,5 = 4,3 \text{ kN/m}^2$
$F_4 = 3000 * 5175 + (250 * 3000) / 2 = 15,9 \text{ m}^2$	$* -0,194 = 3,1 * 1,5 = 4,65 \text{ kN/m}^2$
$F_5 = 14,2 \text{ m}^2$	$* -0,194 = 2,76 * 1,5 = 4,2 \text{ kN/m}^2$



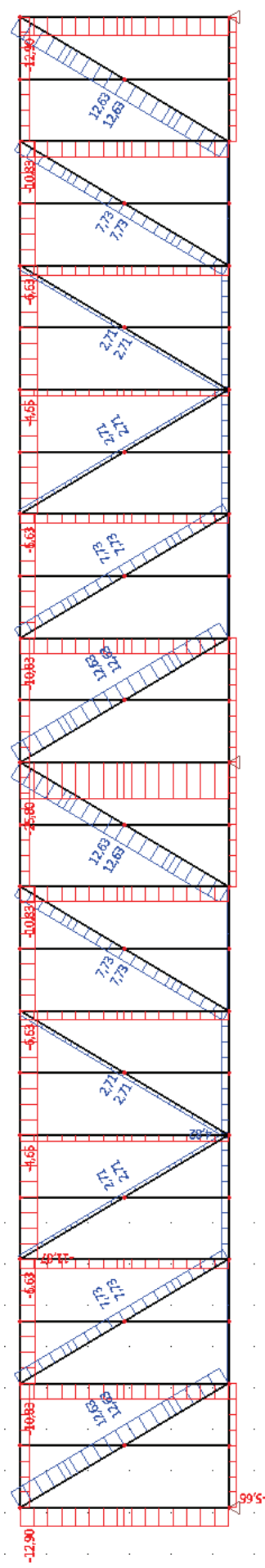
Obr. 19 Statické schéma příčné střešní ztužidlo – tlak

### 7.1.2. VNITŘNÍ SÍLY

Při výpočtu je uváženo, že zatížení přebírají pouze tažená tálka. Tlačené diagonály v tlaku nepůsobí.



Obr. 20 Normálové vnitřní síly – sání podélného větru



Obr. 21 Normálové vnitřní síly – tlak podélného větru

### 7.1.3. NÁVRH DIAGONÁLY

Tyč Macalloy 460 M12       $d = 12 \text{ mm}$   
 $f_y = 460 \text{ MPa}$   
 $f_u = 610 \text{ MPa}$   
 $E = 205 \text{ GPa}$

### 7.1.4. POSOUZENÍ DIAGONÁLY

$N_{ed} = 29,3 \text{ kN}$       [Obr. 20]  
 $N_{Rd} = 36 \text{ kN}$       [Příloha 8]

#### VYHOVUJE

Při návrhu mohlo být přihlédnuto k menším normálovým silám v dalších diagonálách.

**Dimenze** táhla byla pro účel této práce určena zjednodušeně a konzervativně pro všechny diagonály **shodná**.

## 7.2. STŘEDNÍ PODÉLNÉ SVISLÉ ZTUŽIDLO

### 7.2.1. ZATÍŽENÍ

Zatížení na střední podélné ztužidlo se rovná součtu reakcí střední podpory na příčné ztužidlo od sání a tlaku větru. K tomu se připočítá zatížení způsobené rámovými imperfekcemi.

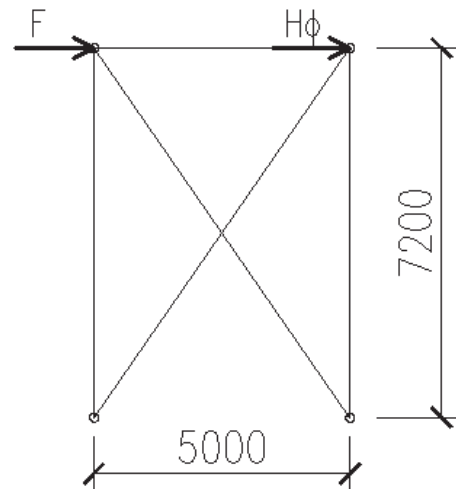
#### ZATÍŽENÍ OD PODÉLNÉHO VĚTRU

#### REAKCE STŘEDNÍ PODPORY PŘÍČNÉHO ZTUŽIDLA

Od sání větru  $F_t = 40 \text{ kN}$

Od tlaku větru  $F_c = 19,3 \text{ kN}$

$$F = F_t + F_c = 40 + 19,3 = \mathbf{59,3 \text{ kN}}$$



Obr. 22 Statické schéma podélného ztužidla

### ZATÍŽENÍ VLIVEM RÁMOVÝCH IMPERFEKcí

Maximální síla ve sloupu  $N_{sd} = 178,64 \text{ kN}$

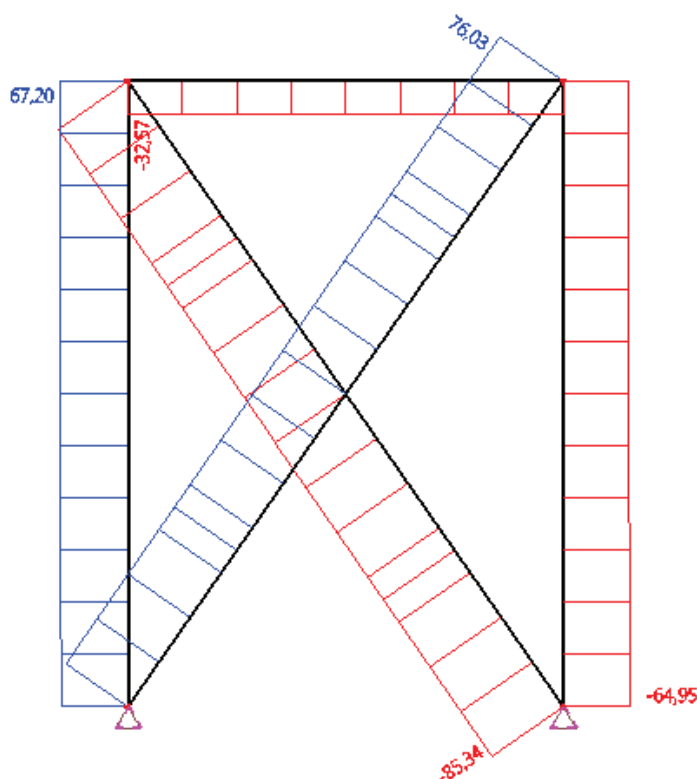
$$k_c = \sqrt{0,5 + 1/n_c} = \sqrt{0,5 + \frac{1}{11}} = 0,77 \quad (n_c = \text{počet sloupů v řadě})$$

$$k_s = \sqrt{0,2 + 1/n_s} = \sqrt{0,2 + \frac{1}{1}} = 1,0 \quad (n_s = \text{počet podlaží rámů})$$

$$\phi = k_c * k_s * \phi_0 = 0,77 * 1 * 1/200 = 0,00385$$

$$H_\phi = \phi * n_c * N_{sd} = 0,00385 * 11 * 178,64 = 7,9 \text{ kN}$$

### 7.3. VNITŘNÍ SÍLY



Obr. 23 normálové síly na ztužidle

### 7.4. NÁVRH DIAGONÁLY

Návrh průřezu diagonály: **TR 102X4,0**       $A = 1232 \text{ mm}^2$

Třída 1 S235

## 7.5. POSOUZENÍ

Diagonály jsou v místě křížení spojeny. Tažená diagonála stabilizuje diagonálu tlačenou.

Vzpěrná délka je tedy rovna polovině své teoretické délky.

$$L_{cr,y} = 8770/2 = 4385 \text{ mm}$$

$$N_{cr,y} = \frac{\pi^2 * E * I_y}{L_{cr,y}^2} = \frac{\pi^2 * 2100 * 148}{4,385^2} = 159,5 \text{ kN}$$

$$\lambda_y = \sqrt{\frac{A * f_y}{N_{cr,y}}} = \sqrt{\frac{1232 * 235}{159500}} = 1,35$$

$$X = 0,404 \text{ (vzpěrnostní křivka b)}$$

$$N_{b,rd} = X * A * f_{yd} = 0,404 * 1232 * 235 = 117 \text{ kN} > 76 \text{ kN}$$

**VYHOVUJE**

\*V místě ztužidel prochází fasádní sloupek, ve kterém je nutné vytvořit prostup stojinou. Ztužidla pak budou procházet právě tímto otvorem. Prostup prochází stojinou, která není uprostřed rozpětí namáhána posouvajícími silami a nebude proto příliš snížena únosnost sloupku. Posudek tohoto detailu není v této práci proveden.

## 8. OKAPOVÁ VAZNICE

Okapová vaznice přenáší podélné normálové síly od krajních příčných střešních ztužidel. Vaznice je namáhána kombinací tlaku a ohybu. Navrhovaný profil okapové vaznice je stejný jako ostatní vaznice, tedy **IPE 180**.

### 8.1. ZATÍŽENÍ

<u>STÁLÉ</u>		<u>kN/m</u>	<u>kN/m</u>
Střešní panely	0,13 kN/m <sup>2</sup> *1,05	0,14	*1,35 = 0,19
Vlastní tíha vaznice	odhad: IPE 180	<u>0,19</u>	<u>*1,35 = 0,26</u>
Stálé celkem		0,33	*1,35 = 0,45
<u>PROMĚNNÉ</u>			
Sníh	KZS1 0,75* 0,8	0,6	*1,5 = 0,9
Vítr sání	KZS2 0,75*-0,94	-0,71	*1,5 = -1,06

ZATÍŽENÍ ROZLOŽENÉ DO HL. TĚŽ. OS (kolmo k ose)

$$\mathbf{KZS1} \quad f_{dy} = 1,33 \text{ kN/m}$$

$$\mathbf{KZS2} \quad f_{dy} = -0,62 \text{ kN/m}$$

Zatížení ve střešní rovině přebírají podélná střešní ztužidla a není nutné vaznici posuzovat na šikmý ohyb.

### 8.1.1. NÁVRH

Předběžný odhad dimenze ocelových profilů:

**IPE 180 S235**

$$W_{ply} = 166,4 \cdot 10^{-6} \text{ m}^3$$

$$A_{v,z} = 1125 \text{ mm}^2$$

Třída 1

### 8.1.2. MATERIÁLY

Charakteristická pevnost ocely:  $f_{yk} = 235 \text{ MPa}$

Návrhová pevnost ocely:  $f_{yd} = f_{yk}/1 = 235 \text{ MPa}$

### 8.1.3. VNITŘNÍ SÍLY

#### KZS1

Normálová síla:  **$N_{Ed} = 59,3 \text{ kN}$**

Návrhový moment:  $M_{edy} = 1/8 * f * l^2 = 1/8 * 1,33 * 5^2 = 4,2 \text{ kNm}$

Návrhová posouvající síla:  $V_{ed} = 1/2 * f * l = 0,5 * 1,33 * 5 = 3,33 \text{ kN}$

#### KZS2

Normálová síla:  **$N_{Ed} = 59,3 \text{ kN}$**

Návrhový moment:  $M_{edy} = 1/8 * f * l^2 = 1/8 * (-0,62) * 5^2 = -1,94 \text{ kNm}$

### 8.1.4. POSOUZENÍ

Vaznice bude posouzena na obě dvě kombinace zatížení. Při KZS1 Vychází větší ohybové momenty. Při KZS2 jsou ohybové momenty menší, ale spodní tlačená pásnice je náchylná na klopení.

### KZS1

Vzpěrná délka okapové vaznice je rovna  $\frac{1}{2}$  rozpětí. V polovině je spojením se sloupkem a vertikálou podélného střešního ztužidla zajištěna proti vybočení.

$$L_{cr} = \frac{1}{2} * L = \frac{1}{2} * 5000 = 2500 \text{ mm}$$

$$\lambda_z = \frac{L_{cr}}{iz} = \frac{2500}{20,5} = 122 \quad \lambda'_z = \frac{\lambda_z}{\lambda_1} = \frac{122}{93,9} = 1,3 \quad \rightarrow X = 0,427$$

$$\frac{N_{edy}}{A*X*f_{yd}} + \frac{M_{edz}}{M_{plrdz}} = \frac{59200}{2395*0,427*235} + \frac{4200}{235*166,4} = 0,35 < 1 \quad \text{VYHOVUJE}$$

$$V_{rd} = (f_{yd} * A_{vz}) / 3^{0,5} = (235 * 1125) / 3^{0,5} = 152,1 \text{ kN} > V_{ed} = 3,3 \text{ kN} \quad \text{VYHOVUJE}$$

$V_{rd} = 152,1 \text{ kN} > 2 * V_{ed} = 6,6 \text{ kN} \rightarrow$  není třeba redukce momentové únosnosti.

### KZS2

Při posouzení na tuto kombinaci zatížení se bude konzervativně uvažovat klopící délka  $\frac{1}{2}$  rozpětí. Vaznice je v polovině rozpětí zajištěna proti vybočení.

#### VLIV KLOPENÍ

$$k = 0,75 \quad \text{kloub - vetknutí}$$

$$C_1 = 0,94 \quad k = 0,7 ; \text{kloub - vetknutí}$$

[5] příloha F

$$M_{cr} = C_1 * \frac{\pi^2 * E * Iz}{(0,75 * h)^2} * \sqrt{\frac{Iw}{Iz} * \left(\frac{k}{kw}\right)^2 + \frac{(k * h)^2 * G * It^2}{\pi^2 * E * Iz}} = \\ 0,94 * \frac{\pi^2 * 210 * 10^9 * 100,9 * 10^{-8}}{(0,75 * 2,5)^2} * \sqrt{\frac{7431 * 10^{-12}}{100,9 * 10^{-8}} * \left(\frac{0,75}{1}\right)^2 + \frac{(0,75 * 2,5)^2 * 81 * 10^9 * (4,79 * 10^{-8})^2}{\pi^2 * 210 * 10^9 * 100,9 * 10^{-8}}} = 36 \text{ kNm}$$

$$\lambda_{LT} = \sqrt{\frac{M_{plRdy}}{M_{cr}}} = \sqrt{\frac{235 * 166,4}{36000}} = 1,04 \quad \rightarrow X_{LT} = 0,572$$

#### VLIV VZPĚRU

$$L_{cr} = \frac{1}{2} * L = \frac{1}{2} * 5000 = 2500 \text{ mm}$$

$$\lambda_z = \frac{L_{cr}}{iz} = \frac{2500}{20,5} = 122 \quad \lambda'_z = \frac{\lambda_z}{\lambda_1} = \frac{122}{93,9} = 1,3 \quad \rightarrow X = 0,427$$

$$\frac{N_{edy}}{A*X*f_{yd}} + \frac{M_{edz}}{X_{LT}*M_{plrdz}} = \frac{59200}{2395*0,427*235} + \frac{1940}{0,572*235*166,4} = 0,33 < 1$$

**VYHOVUJE**

## **9. ŠROUBOVANÝ SPOJ ZTUŽIDLA A SLOUPU**

**PŘÍPOJ:** šroub 2 x M20 5.6

$N_{ed} = 76 \text{ kN}$

Únosnost ve střihu  $F_{vrd} = 50,7 \text{ kN}$  [6], str. 51

Únosnost v otlačení  $F_{b,rd} = 94,1 * (8/10) = 75,3 \text{ kN}$  [6], str. 52

**POTŘEBNÝ POČET ŠROUBŮ:**

střih  $N_{ed}/F_{vrd} = 76/50,7 = 1,5$  VYHOVUJE

otlačení styčníkový plech tl. 8 mm; doporučené rozteče; S 235

$N_{ed}/F_{brd} = 76 / 75,3 = 1$  VYHOVUJE

**POSOUZENÍ SVARU VLOŽENÉHO STYČNÍKOVÉHO PLECHU**

4x koutový svar a = 3 mm, l = 50 mm

$\tau_{ll} = N_{Ed}/(4*l*a) = 76000/(4*0,05*0,003) = 95 \text{ MPa}$

$f_u / \sqrt{3} * \beta_w * \gamma_M = 360 / \sqrt{3} * 0,8 * 1,25 = 207,8 \text{ MPa} > \tau_{ll} = 95 \text{ MPa}$  VYHOVUJE

## **10. PŘÍČNÝ RÁM**

### **10.1. ZATÍŽENÍ**

Objekt haly tvoří 11 příčných rámů. Zatěžovací šířka rámu činí 5 m. Rám ztužuje konstrukci v příčném směru. Sloupy jsou kloubově spojeny se základovou konstrukcí. Jsou uvažovány následující zatěžovací stavy:

KZS1	STÁLÉ+SNÍH	(MSÚ)
KZS2	STÁLÉ+SNÍH JEDNOSTRANNÝ	(MSÚ)
KZS3	STÁLÉ+SNÍH+VÍTR PŘÍČNÝ* ψ	(MSÚ)
KZS4	STÁLÉ+VÍTR PŘÍČNÝ+SNÍH* ψ	(MSÚ)
KZS5	STÁLÉ MIN. +VÍTR PODÉLNÝ	(MSÚ)
KZS6	(STÁLÉ+SNÍH+VÍTR PŘÍČNÝ* ψ) <sub>CHAR.</sub>	(MSP)

KZS1**PŘÍČEL**

<u>STÁLÉ</u>		<u>kN/m</u>	<u>kN/m</u>
Střešní panely	0,13 kN/m <sup>2</sup> *5	0,65	*1,35 = 0,88
Vaznice	0,16 *5/1,5	0,53	*1,35 = 0,72
<u>Vlastní tíha příčle</u>	<u>odhad: IPE 450</u>	<u>0,77</u>	<u>*1,35 = 1,04</u>
Stálé celkem		1,95	*1,35 = 2,64
<u>PROMĚNNÉ</u>		<u>kN/m</u>	<u>kN/m</u>
Sníh	5*0,8	4	*1,5 = 6
<b>ZATÍŽENÍ CELKEM</b>		<b>5,94</b>	<b>8,64</b>

**SLOUP**

<u>STÁLÉ</u>		<u>kN/m</u>	<u>kN/m</u>
Stěnový panely	0,13 kN/m <sup>2</sup> *5	0,65	*1,35 = 0,88
<u>Vlastní tíha sloupu</u>	<u>odhad: HEA 360</u>	<u>1,12</u>	<u>*1,35 = 1,51</u>
<b>ZATÍŽENÍ CELKEM</b>		<b>1,77</b>	<b>2,39</b>

**KZS2**

Sníh bude uvažován pouze nad jednou halovou lodí. Druhá bude bez zatížení sněhem.

**PŘÍČEL**

<u>STÁLÉ</u>		<u>kN/m</u>	<u>kN/m</u>
Střešní panely	0,13 kN/m <sup>2</sup> *5	0,65	*1,35 = 0,88
Vaznice	0,16 *5/1,5	0,53	*1,35 = 0,72
Vlastní tíha příčle	odhad: IPE 450	0,77	*1,35 = 1,04
Stálé celkem		1,95	*1,35 = 2,64

<u>PROMĚNNÉ</u>		<u>kN/m</u>	<u>kN/m</u>
Sníh	5*0,8	4	*1,5 = 6
<b>ZATÍŽENÍ CELKEM</b>		<b>5,95</b>	<b>8,64</b>

**SLOUP**

<u>STÁLÉ</u>		<u>kN/m</u>	<u>kN/m</u>
Stěnový panely	0,13 kN/m <sup>2</sup> *5	0,65	*1,35 = 0,88
Vlastní tíha sloupů	odhad: HEA 360	1,12	*1,35 = 1,51
<b>ZATÍŽENÍ CELKEM</b>		<b>1,77</b>	<b>2,39</b>

KZS3**PŘÍČEL**

<u>STÁLÉ</u>			<b>kN/m</b>		<b>kN/m</b>
Střešní panely	0,13 kN/m <sup>2</sup>	*5	0,65	*1,35	= 0,88
Vaznice	0,16	*5/1,5	0,53	*1,35	= 0,72
<u>Vlastní tíha příčle</u>	<u>odhad: IPE 360</u>		<u>0,77</u>	<u>*1,35</u>	<u>= 1,04</u>
Stálé celkem			1,97	*1,35	= 2,64
<u>PROMĚNNÉ</u>			<b>kN/m</b>		<b>kN/m</b>
Sníh	5*0,8		4	*1,5	= 6
Vítr příčný	5*0,645	v1*0,6	1,94	*1,5	= 2,91
	5*0,29	v2*0,6	0,87	*1,5	= 1,31
	5*0,516	v3*0,6	1,55	*1,5	= 2,33
	5*0,322	v4*0,6	0,97	*1,5	= 1,46
	5*0,194	v5*0,6	0,58	*1,5	= 0,87
<b>ZATÍŽENÍ CELKEM</b>		v1	<b>7,93</b>		<b>11,58</b>
<b>ZATÍŽENÍ CELKEM</b>		v2	<b>6,84</b>		<b>9,98</b>
<b>ZATÍŽENÍ CELKEM</b>		v3	<b>7,52</b>		<b>11,0</b>
<b>ZATÍŽENÍ CELKEM</b>		v4	<b>6,94</b>		<b>10,13</b>
<b>ZATÍŽENÍ CELKEM</b>		v5	<b>6,55</b>		<b>9,54</b>

**SLOUP**

<u>STÁLÉ</u>			<b>kN/m</b>		<b>kN/m</b>
Stěnový panely	0,13 kN/m <sup>2</sup>	*5	0,65	*1,35	= 0,88
<u>Vlastní tíha sloupu</u>	<u>odhad: HEA 360</u>		<u>1,12</u>	<u>*1,35</u>	<u>= 1,51</u>
<b>ZATÍŽENÍ CELKEM</b>			<b>1,77</b>		<b>2,39</b>
<u>PROMĚNNÉ</u>			<b>kN/m</b>		<b>kN/m</b>
Vítr příčný	tlak	5*0,451*0,6	1,35	*1,5	= 2,03
	sání	5*0,193*0,6	0,58	*1,5	= 0,87

KZS4**PŘÍČEL**

<u>STÁLÉ</u>			<b>kN/m</b>		<b>kN/m</b>
Střešní panely	0,13 kN/m <sup>2</sup>	*5	0,65	*1,35	= 0,88
Vaznice	0,16	*5/1,5	0,53	*1,35	= 0,72
<u>Vlastní tíha příčle</u>	<u>odhad: IPE 450</u>		<u>0,77</u>	<u>*1,35</u>	<u>= 1,04</u>
Stálé celkem			1,97	*1,35	= 2,64
<u>PROMĚNNÉ</u>			<b>kN/m</b>		<b>kN/m</b>
Sníh	5*0,8*0,5		2	*1,5	= 3
Vítr příčný	5*0,645	v1	3,23	*1,5	= 4,85
	5*0,29	v2	1,45	*1,5	= 2,18
	5*0,516	v3	2,58	*1,5	= 3,88
	5*0,322	v4	1,62	*1,5	= 2,43
	5*0,194	v5	0,97	*1,5	= 1,45
<b>ZATÍŽENÍ CELKEM</b>		v1	<b>7,2</b>		<b>10,52</b>
<b>ZATÍŽENÍ CELKEM</b>		v2	<b>5,44</b>		<b>7,85</b>
<b>ZATÍŽENÍ CELKEM</b>		v3	<b>6,55</b>		<b>9,55</b>
<b>ZATÍŽENÍ CELKEM</b>		v4	<b>5,59</b>		<b>8,1</b>
<b>ZATÍŽENÍ CELKEM</b>		v5	<b>4,94</b>		<b>7,12</b>

**SLOUP**

<u>STÁLÉ</u>			<b>kN/m</b>		<b>kN/m</b>
Stěnový panely	0,13 kN/m <sup>2</sup>	*5	0,65	*1,35	= 0,88
<u>Vlastní tíha sloupu</u>	<u>odhad: HEA 360</u>		<u>1,12</u>	<u>*1,35</u>	<u>= 1,51</u>
<b>ZATÍŽENÍ CELKEM</b>			<b>1,77</b>		<b>2,39</b>
<u>PROMĚNNÉ</u>			<b>kN/m</b>		<b>kN/m</b>
Vítr příčný	tlak	5*0,451	2,25	*1,5	= 3,38
	sání	5*0,193	0,97	*1,5	= 1,45

KZS5**PŘÍČEL**

<u>STÁLÉ</u>		<u>kN/m</u>	<u>kN/m</u>
Střešní panely	0,13 kN/m <sup>2</sup> *5	0,65	*1,0 = 0,65
Vaznice	0,16 *5/1,5	0,53	*1,0 = 0,53
<u>Vlastní tíha příčle</u>	<u>odhad: IPE 450</u>	<u>0,77</u>	<u>*1,0 = 1,04</u>
Stálé celkem		1,97	*1,0 = 2,64
<u>PROMĚNNÉ</u>		<u>kN/m</u>	<u>kN/m</u>
Vítr podélný	5*0,419	2,1	*1,5 = 3,14
<b>ZATÍŽENÍ CELKEM</b>		<b>4,07</b>	<b>5,19</b>

**SLOUP**

<u>STÁLÉ</u>		<u>kN/m</u>	<u>kN/m</u>
Stěnový panely	0,13 kN/m <sup>2</sup> *5	0,65	*1,0 = 0,65
<u>Vlastní tíha sloupu</u>	<u>odhad: HEA 360</u>	<u>1,12</u>	<u>*1,0 = 1,12</u>
<b>ZATÍŽENÍ CELKEM</b>		<b>1,77</b>	<b>1,77</b>
<u>PROMĚNNÉ</u>		<u>kN/m</u>	<u>kN/m</u>
Vítr podélný	sání 5*0,516	2,58	*1,5 = 3,87

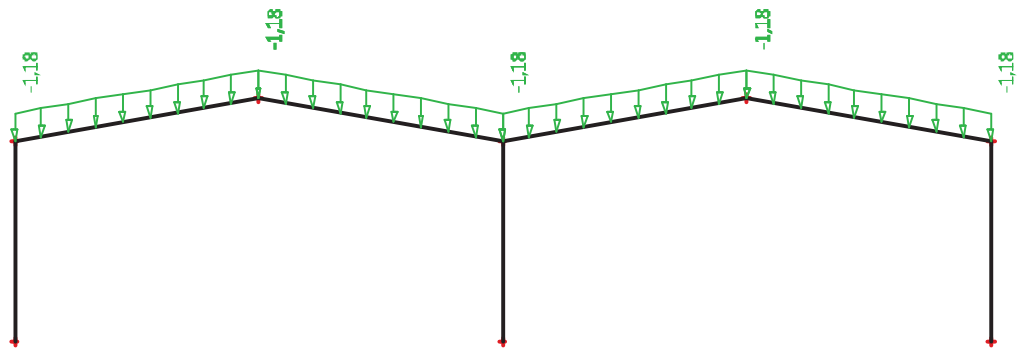
KZS6**PŘÍČEL**

<u>STÁLÉ</u>			<b>kN/m</b>		<b>kN/m</b>
Střešní panely	0,13 kN/m <sup>2</sup>	*5	0,65	*1,0	= 0,65
Vaznice	0,16	*5/1,5	0,53	*1,0	= 0,53
<u>Vlastní tíha příčle</u>	<u>odhad: IPE 360</u>		<u>0,77</u>	<u>*1,0</u>	<u>= 0,77</u>
Stálé celkem			1,95	*1,0	= 1,95
<u>PROMĚNNÉ</u>			<b>kN/m</b>		<b>kN/m</b>
Sníh	5*0,8		4	*1,0	= 4
Vítr příčný	5*0,645	v1*0,6	1,94	*1,0	= 1,94
	5*0,29	v2*0,6	0,87	*1,0	= 0,87
	5*0,516	v3*0,6	1,55	*1,0	= 1,55
	5*0,322	v4*0,6	0,97	*1,0	= 0,97
	5*0,194	v5*0,6	0,58	*1,0	= 0,58
<b>ZATÍŽENÍ CELKEM</b>		v1	<b>7,89</b>		<b>7,89</b>
<b>ZATÍŽENÍ CELKEM</b>		v2	<b>6,82</b>		<b>6,82</b>
<b>ZATÍŽENÍ CELKEM</b>		v3	<b>7,5</b>		<b>7,5</b>
<b>ZATÍŽENÍ CELKEM</b>		v4	<b>6,92</b>		<b>6,92</b>
<b>ZATÍŽENÍ CELKEM</b>		v5	<b>6,53</b>		<b>6,53</b>

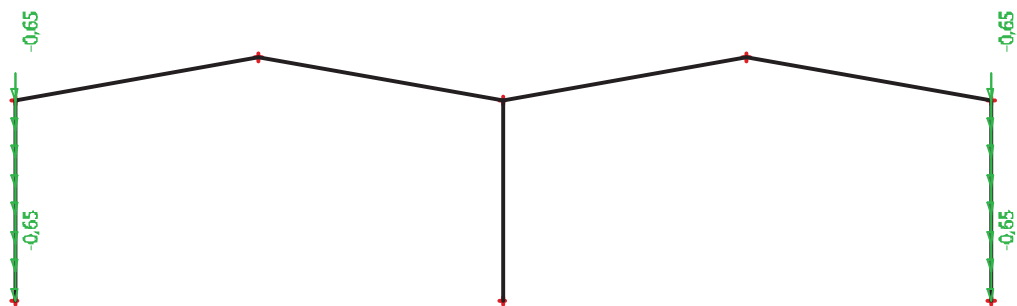
**SLOUP**

<u>STÁLÉ</u>			<b>kN/m</b>		<b>kN/m</b>
Stěnový panely	0,13 kN/m <sup>2</sup>	*5	0,65	*1,0	= 0,65
<u>Vlastní tíha sloupu</u>	<u>odhad: HEA 360</u>		<u>1,12</u>	<u>*1,0</u>	<u>= 1,12</u>
<b>ZATÍŽENÍ CELKEM</b>			<b>1,77</b>		<b>1,77</b>
<u>PROMĚNNÉ</u>			<b>kN/m</b>		<b>kN/m</b>
Vítr příčný	tlak	5*0,451*0,6	1,35	*1,0	= 1,35
	sání	5*0,193*0,6	0,58	*1,0	= 0,58

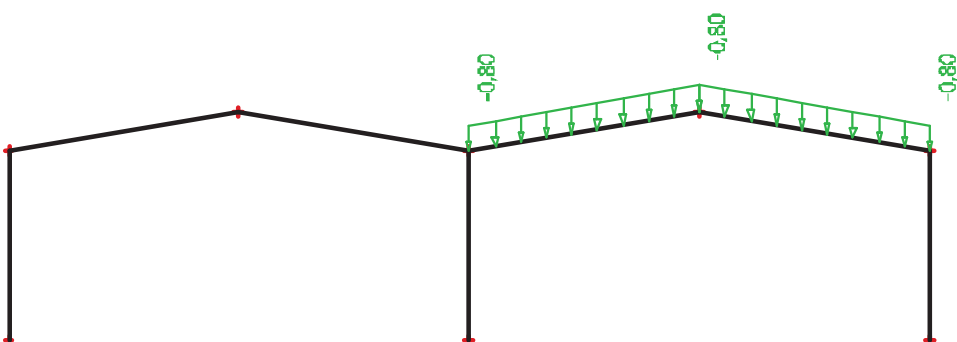
**SCHÉMATA JEDNOTLIVÝCH ZATEŽOVACÍCH STAVŮ**



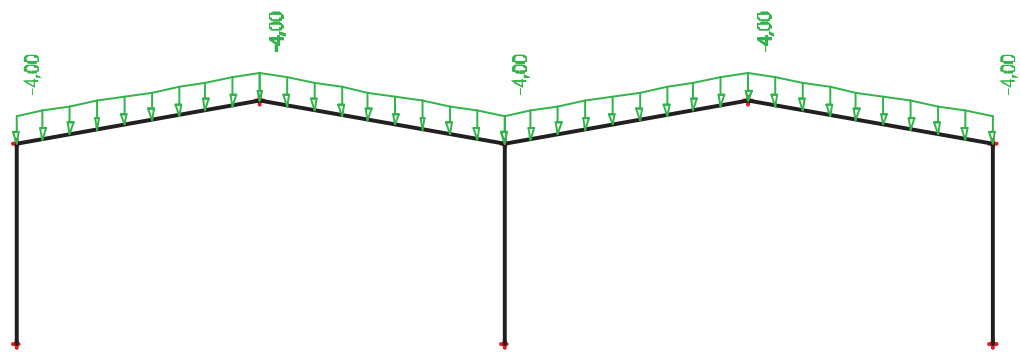
Obr. 24 Stálé - střecha



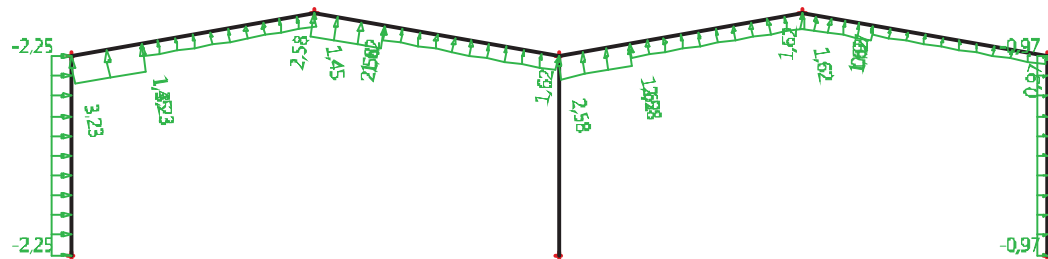
Obr. 25 Stálé – plášt'



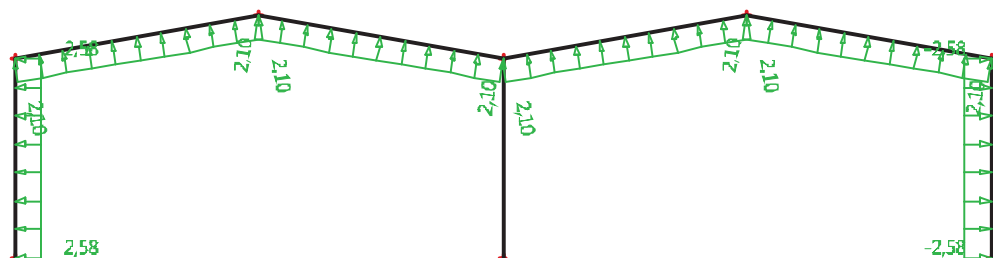
Obr. 26 Proměnné – sníh jednostranný



Obr. 27 Proměnné – sníh



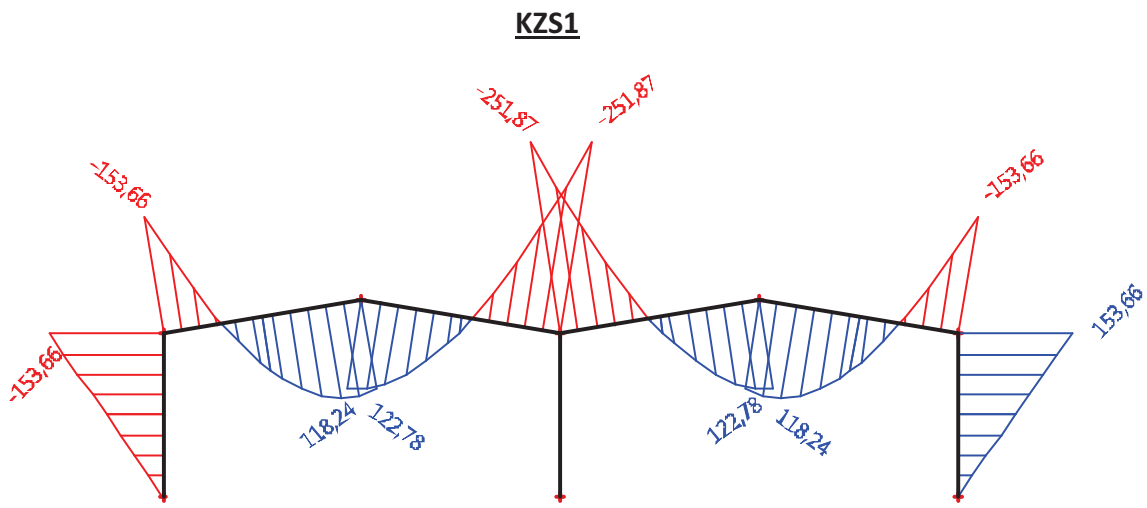
Obr. 28 Proměnné – vítr příčný



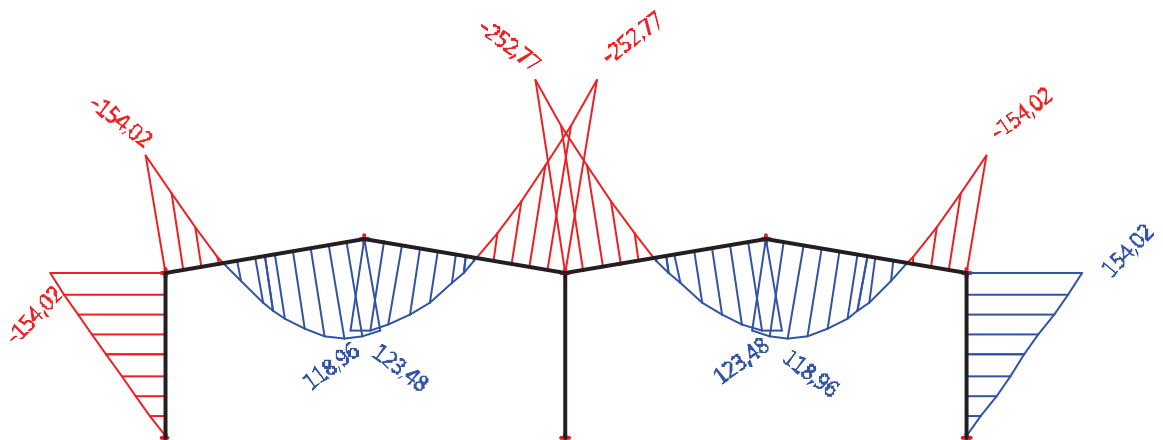
Obr. 29 Proměnné – vítr podélný

## 10.2. VNITŘNÍ SÍLY

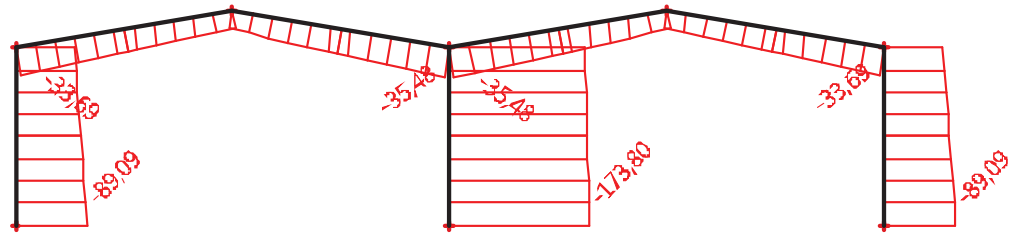
Vnitřní síly na rámu byly spočteny na 2D modelu ve studentské verzi softwaru Scia Engineer 2012. Do softwaru byly zadány výše uvedené zatěžovací stavy a jejich kombinace. Výstupem jsou vnitřní síly na rámu spočtené lineárním výpočtem a následně vnitřní síly s vlivem II. řádu. Níže jsou uvedené vybrané výsledky podstatné pro následný návrh a posouzení.



Obr. 30 Myd; KZS1; I. řad [kNm]

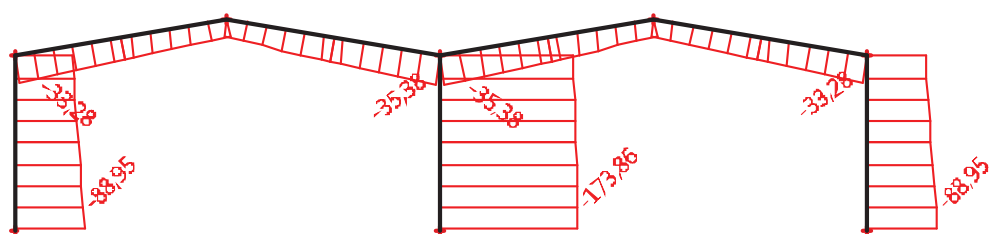


Obr. 31 Myd; KZS1; II. řad [kNm]



Obr. 32 Ned; KZS1; I. rád

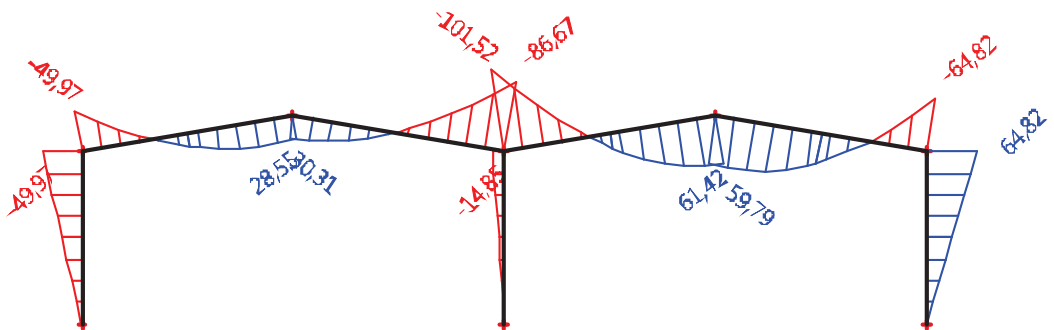
[kN]



Obr. 33 Ned; KZS1; II. rád

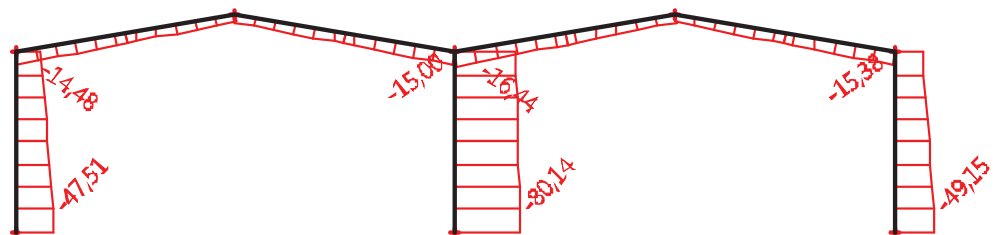
[kN]

KZS2



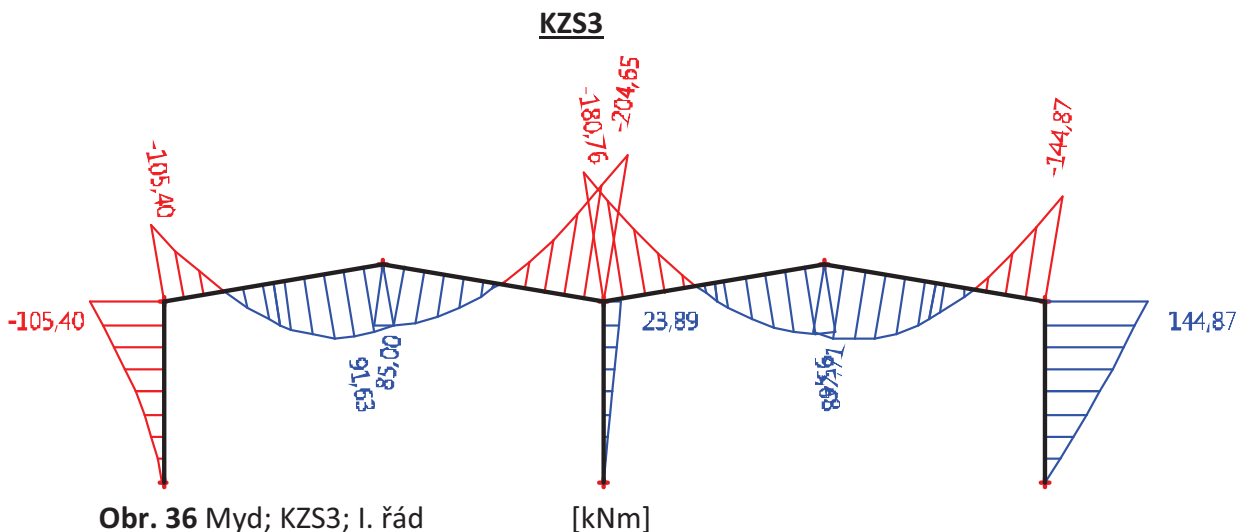
Obr. 34 Myd; KZS2; I. rád

[kNm]



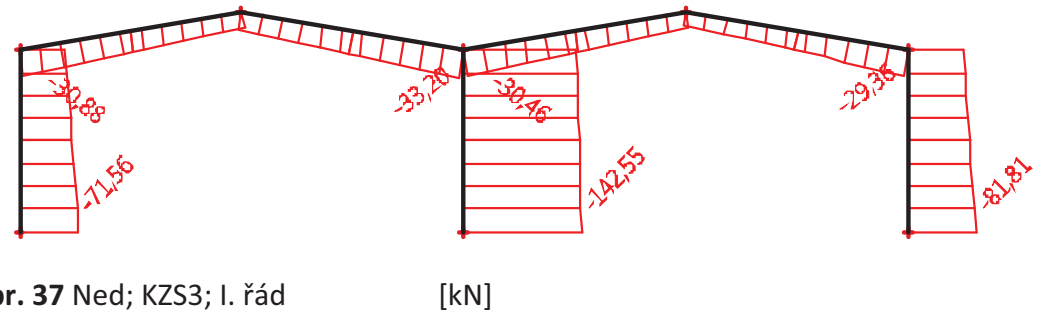
Obr. 35 Ned; KZS2; I. rád

[kN]



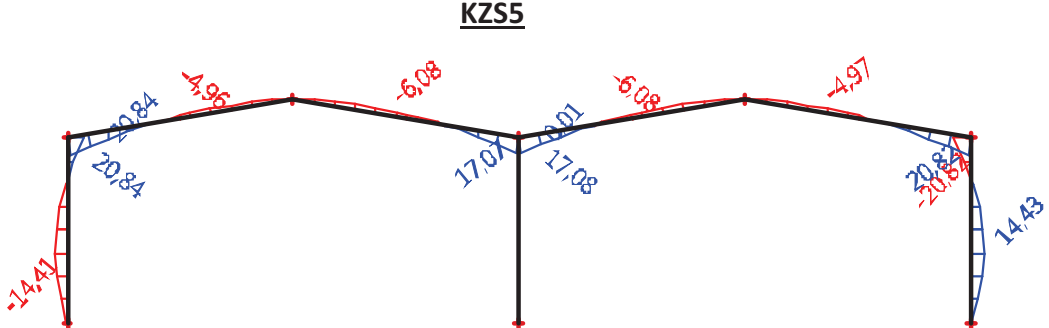
Obr. 36 Myd; KZS3; I. řad

[kNm]



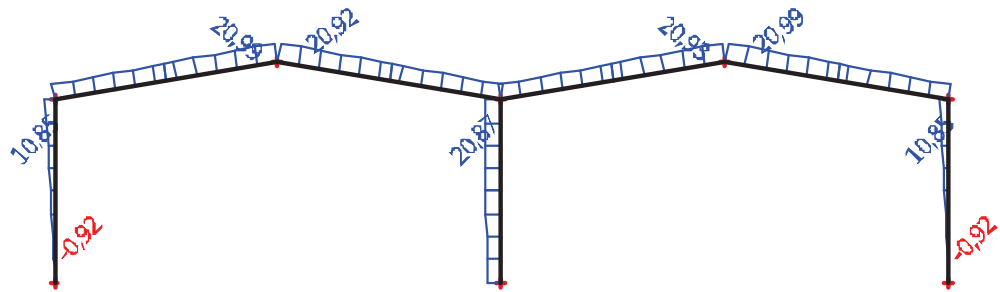
Obr. 37 Ned; KZS3; I. řad

[kN]



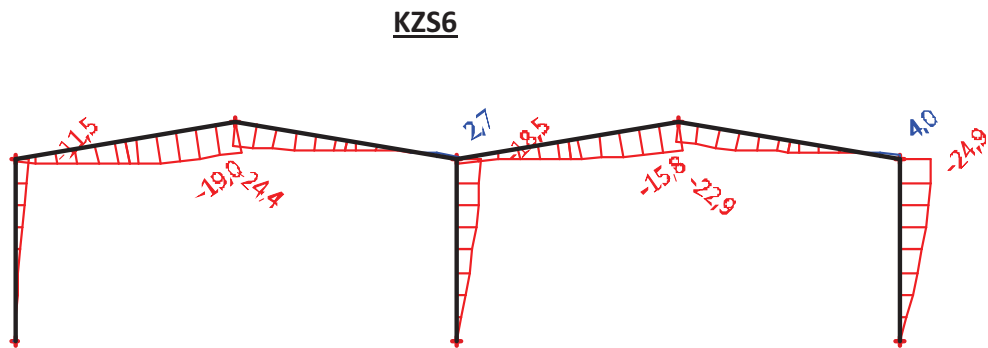
Obr. 38 Myd; KZS5; I. řad

[kNm]



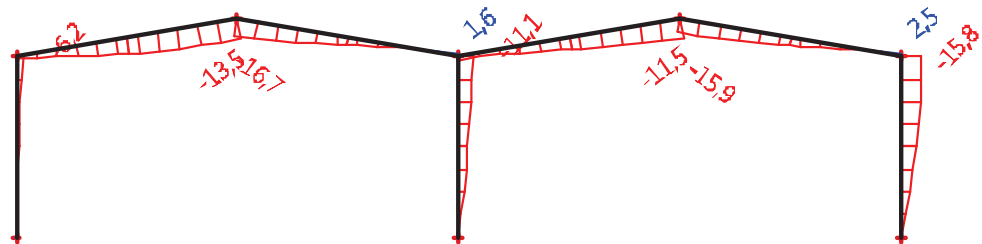
Obr. 39 Ned; KZS5; I. řad

[kN]



Obr. 40 Deformace; KZS6 [mm]

**OKAMŽITÝ PRŮHYB**



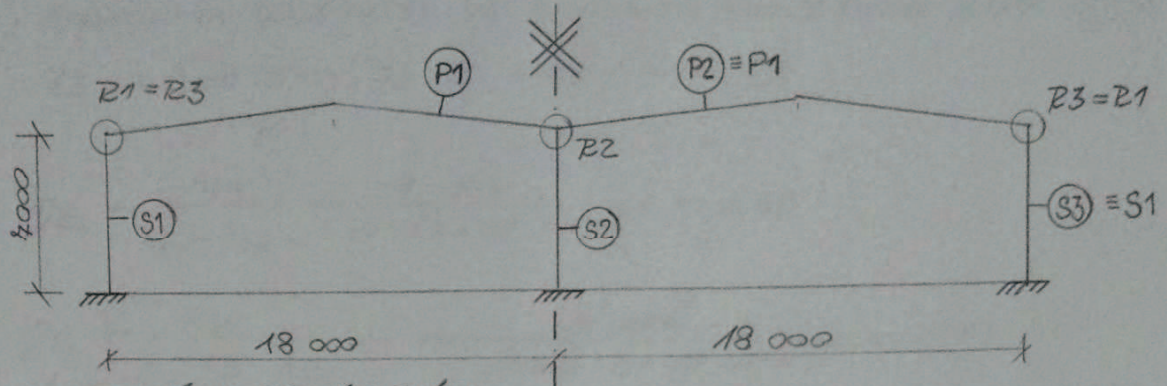
Obr. 41 Deformace; Sníh + vítr příčný\*0,6; [mm]

Výsledné deformace byly vypočteny na rámu složeném z následujících profilů:

Krajní sloup **HEA 340**

Střední sloup **HEA 240**

Příčel **IPE 450**



Obr. 42 Schéma průčelného rámu

### 10.3 PŘEDBEŽNÝ NÁVRH

PŘEDBEŽNÝ NÁVRH PROFILŮ RÁMU STANOVEN DLE HSÚ PRŮČLE

S1 = HEA 340

S2 = HEA 240

S3 = HEA 340

P1 = IPE 450

P2 = IPE 450

### 10.4 KLASIFIKACE RÁMU

TUHOSTI  
JEDNOTL.  
PRVKA

$$k_{S_1} = \frac{I_{S_1}}{h_1} = \frac{27690 \cdot 10^4}{4000} = 39557$$

$$k_{S_2} = \frac{I_{S_2}}{h_2} = \frac{4763 \cdot 10^4}{7000} = 11090$$

$$k_{S_3} = k_{S_1}$$

$$k_{P1} = \frac{I_{P1}}{L_1} = \frac{33440 \cdot 10^4}{18250} = 18487$$

$$k_{P2} = k_{P1}$$

- ROZDĚLOVACÍ SOUČINITEL JE STANOVEN PRO RÁHOVÉ ROKY R<sub>1</sub> A R<sub>2</sub>.
- R<sub>3</sub>. RÁHOVÝ ROK R<sub>3</sub> JE STEJNÝ JAKO R<sub>1</sub>.

ROZDĚLOVACÍ  
SOUČINITEL  
 $\gamma_R$

$$\gamma_{R_1} = \frac{k_{S1}}{k_{P1} + k_{S1}} = \frac{39\ 554}{18\ 484 + 39\ 554} = 0,68$$

$$\gamma_{R_2} = \frac{k_{S2}}{k_{S2} + 2 \cdot k_{P1}} = \frac{11\ 090}{11\ 090 + 2 \cdot 18\ 484} = 0,23$$

$$\gamma_{R_3} = \gamma_{R_1}$$

ROZDĚLOVACÍ SOUČINITEL  $\gamma_R$  PRO KLOBOVOU PATKU:  $\gamma_R = 1$

- SOUČINITEL VZPĚRNÉ DECKY STANOVEN DLE [5], PRÍLOHY E

$$\beta_1 = 3,0$$

$$\beta_2 = 2,1$$

$$\beta_3 = \beta_1 = 3,0$$

$$L_{CR_1} = \beta_1 \cdot h_1 = 3,0 \cdot 4000 = 21000$$

$$L_{CR_2} = \beta_2 \cdot h_2 = 2,1 \cdot 4000 = 14400$$

$$L_{CR_3} = \beta_3 \cdot h_3 = 3,0 \cdot 4000 = 21000$$

KRITICKÉ  
ZATÍŽENÍ  
RÁHU  
 $N_{CR}$

$$N_{CR_1} = \frac{\pi^2 \cdot E \cdot I_{S1}}{L_{CR_1}^2} = \frac{\pi^2 \cdot 210 \cdot 10^9 \cdot 24\ 690 \cdot 10^{-8}}{21\ 000^2} = 1301 \text{ kN}$$

$$N_{CR_2} = \frac{\pi^2 \cdot E \cdot I_{S2}}{L_{CR_2}^2} = \frac{\pi^2 \cdot 210 \cdot 10^9 \cdot 4763 \cdot 10^{-8}}{14,42^2} = 844,6 \text{ kN}$$

$$N_{CR_3} = N_{CR_1} = 1301 \text{ kN}$$

NAVRHOVÁ HODNOTA NORMÁLOVÉ SÍLY NED

$$N_{ED_1} = 876 \text{ N}$$

$$N_{ED_2} = 173,9 \text{ kN}$$

$$N_{ED_3} = 876 \text{ N}$$

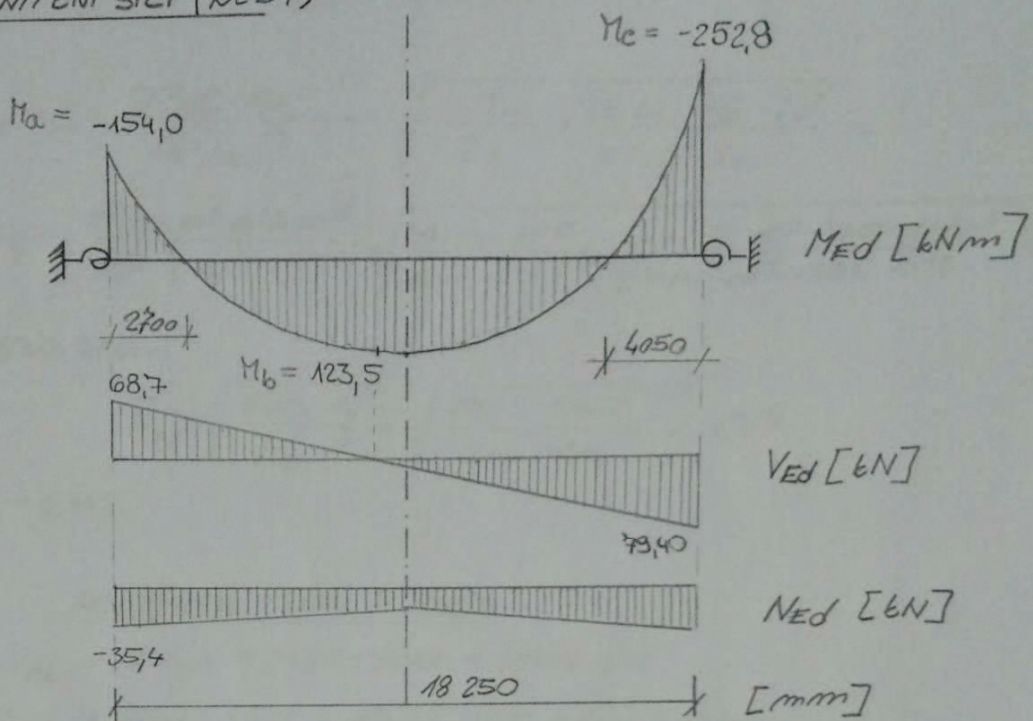
$$\alpha_{CR_1} = \frac{N_{CR_1}}{N_{Ed_1}} = \frac{1501}{87} = 15 > 10$$

$$\alpha_{CR_2} = \frac{N_{CR_2}}{N_{Ed_2}} = \frac{4496}{1239} = 43 < 10$$

• VÝPOČET VNUTĚNÍCH SIL BAŇU JE NUTNÉ PROVEST PODLE  
TEORIE 2. ŘÁDU

10.7.1 PŘÍČE (P1) ≡ P2

VNITŘNÍ SÍLY (kzs1)



Obr. 43 VNITŘNÍ SÍLY NA NADORNÉ PŘÍČY

ZATEĎENÍ

NORMAČOVÁ SÍLA NA PŘÍČY JE V TOTTO PRÍPÄDE ŽIARODATEĽNA

OHÝB IPE 450 - 1. trieda

S 355

VZPĚRNE PŘÍČKY

$$L_{CPy} = 18 250 \text{ mm}$$

$$\lambda_y = \frac{L_{CPy}}{\lambda_g} = \frac{18 250}{195} = 93,9$$

$$\bar{\lambda}_g = \frac{\lambda_y}{\lambda_1} = \frac{93,9}{46,4} = 2,03$$

$$\lambda_1 = 93,9 \cdot \sqrt{\frac{235}{f_{y,d}}} = 93,9 \cdot \sqrt{\frac{235}{355}} = 84,4$$

$$\textcircled{b} \quad \chi_g = 0,442$$

[5]; PRŮLOHA F

VLIIV KOPENÍ

$$C_1 = 1,0$$

$$L_k = 1,1 \cdot L_0 - 1,1 \cdot 4,05 = 4,46 \text{ m}$$

$$M_{CR} = C_1 \cdot \frac{\pi^2 \cdot E \cdot I_z}{(k \cdot L_k)^2} \cdot \sqrt{\frac{I_w}{I_z} + \frac{(k \cdot L_k)^2 \cdot G \cdot I_b^2}{\pi^2 \cdot E \cdot I_z}} = \\ 1,0 \cdot \frac{\pi^2 \cdot 210 \cdot 10^9 \cdot 1646 \cdot 10^{-8}}{(1,0 \cdot 4,46)^2} \cdot \sqrt{\frac{491000 \cdot 10^{-12}}{1646 \cdot 10^{-8}} + \frac{4,46^2 \cdot 81 \cdot 10^9 \cdot (66,84 \cdot 10^8)^2}{\pi^2 \cdot 210 \cdot 10^9 \cdot 1646 \cdot 10^{-8}}} = \\ = 346 \text{ kNm}$$

$$\bar{\lambda}_{LT} = \sqrt{\frac{W_p b_y \cdot f_y}{M_{CR}}} = \sqrt{\frac{1702 \cdot 355}{346000}} = 1,27$$

$$\textcircled{5} \quad \chi_{LT} = 0,942$$

KOMBINACE TLAČU A OHYBU

$$N_{26} = A \cdot f_y d = 9882 \cdot 355 = 3508 \text{ kN}$$

$$M_{R6} = W_p b_y \cdot f_y d = 1702 \cdot 355 = 604,2 \text{ kNm}$$

$$\gamma = \frac{M_a}{M_c} = \frac{-154}{-252,8} = 0,61$$

$$\alpha_s = \frac{M_b}{M_c} = \frac{123,5}{252,8} = 0,49$$

$$C_{my} = \max \left\{ \begin{array}{l} 0,1 - 0,8 \cdot \alpha_s \\ 0,4 \end{array} \right\} = \max \left\{ \begin{array}{l} 0,1 + 0,8 \cdot 0,49 \\ 0,4 \end{array} \right\} = \max \left\{ \begin{array}{l} 0,49 \\ 0,4 \end{array} \right\} = 0,49$$

$$k_{yy} = \min \left\{ \begin{array}{l} C_{my} \cdot (1 + (\bar{\lambda}_y - 0,2) \cdot \frac{N_{ed}}{N_{26} \cdot \bar{\lambda}_y}) \\ C_{my} \cdot (1 + 0,8 \cdot \frac{N_{ed}}{\bar{\lambda}_y \cdot N_{26}}) \end{array} \right\} = \\ = \min \left\{ \begin{array}{l} 0,49 \cdot \left( 1 + (1,23 - 0,2) \cdot \frac{35,4}{9432 \cdot 3508} \right) \\ 0,49 \cdot \left( 1 + 0,8 \cdot \frac{35,4}{0,432 \cdot 3508} \right) \end{array} \right\} = \min \left\{ \begin{array}{l} 0,501 \\ 0,498 \end{array} \right\} =$$

$$k_{yy} = 0,5$$

$$\psi = \frac{0}{252,8} = 0$$

$$\alpha_3 = \frac{M_2}{M_c} = \frac{111}{252,8} = 0,44$$

$$C_{MLT} = \begin{cases} 0,2 + 0,8 \cdot \alpha_3 \\ 0,4 \end{cases} = \max \left\{ \begin{matrix} 0,2 + 0,8 \cdot 0,44 \\ 0,4 \end{matrix} \right\} = \max \left\{ \begin{matrix} 0,55 \\ 0,4 \end{matrix} \right\} = 0,55$$

$$k_{zy} = \max \left\{ \begin{matrix} 1 - \frac{0,1 \cdot \cancel{0,2}}{C_{MLT} - 0,25} \cdot \frac{NED}{N_{Rk}} \\ 1 - \frac{0,1}{C_{MLT} - 0,25} \cdot \frac{NED}{N_{Rk}} \end{matrix} \right\} = \max \left\{ \begin{matrix} 1,0 \\ 1 - \frac{0,1}{0,55 - 0,25} \cdot \frac{35,4}{3508} \end{matrix} \right\} =$$

$$= \max \left\{ \begin{matrix} 1,0 \\ 0,98 \end{matrix} \right\} = 1,0$$

$$\frac{NED}{R_y \cdot \frac{N_{Rk}}{\rho_{Rk}}} + k_{zy} \cdot \frac{NED}{R_{LT} \cdot \frac{N_{Rk}}{\rho_{Rk}}} = \frac{35,4}{0,442 \cdot \frac{3508}{1,0}} + 0,5 \cdot \frac{252,8}{0,442 \cdot \frac{604,2}{1,0}} =$$

$$= 0,5 < 1 \quad \underline{\text{VYHOUJE}}$$

$$\frac{NED}{R_z \cdot \frac{N_{Rk}}{\rho_{Rk}}} + k_{zy} \cdot \frac{NED}{R_{LT} \cdot \frac{N_{Rk}}{\rho_{Rk}}} = \frac{35,4}{1,0 \cdot \frac{3508}{1,0}} + 1,0 \cdot \frac{252,8}{0,442 \cdot \frac{604,2}{1,0}} =$$

$$= 0,96 < 1 \quad \underline{\text{VYHOUJE}}$$

POSONZENI' NA SHYE

$$V_{Ed} = 79,4 \text{ kN}$$

$$V_{ph,ed} = \frac{A_{vz} \cdot f_y}{f_3 \cdot \rho_{Rk}} = \frac{5095 \cdot 355}{f_3 \cdot 1,0} = 1042 \text{ kN}$$

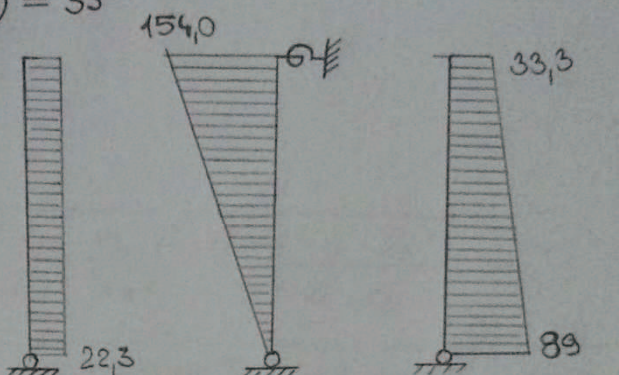
$$V_{ph,ed} = 1042 \text{ kN} \gg 79,4 \text{ kN} = V_{Ed}$$

VYHOUJE

10. 7. 2 SLOUP (S1) = S3

VNITŘNÍ SÍCY

HEA 340  
S235



VED [kN] MED [kNm] MED [kN]

Obr. 4 VNITŘNÍ SÍCY NA SLOUPU S1

ZATŘÍDĚNÍ

$$e = \frac{Med}{Ned} = \frac{154}{89} = 1,73 \text{ m}$$

$$x = \frac{-e \cdot t_w + \sqrt{(e \cdot t_w)^2 + t_w \cdot W_{pl_f}}}{t_w} = \frac{-1,73 \cdot 0,0095 + \sqrt{(0,0095 \cdot 1,73)^2 + 0,0095 \cdot 1850 \cdot 10^{-6}}}{0,0095}$$

$$x = 0,055 \text{ m}$$

$$\alpha = \frac{95 \cdot d + x}{d} = \frac{95 \cdot 243 + 55}{243} = 0,83$$

$$\frac{c}{t_w} = \frac{118}{16,5} = 7,2 < 8 \cdot 9 = 9 \Rightarrow \text{TLAČENÁ PÁSNICE 1. TŘÍDY}$$

$$\frac{d}{t_w} = \frac{243}{95} = 25,6 < \frac{396 \cdot 8}{13 \cdot \alpha - 1} = \frac{396}{13 \cdot 0,83 - 1} = 46,6 \Rightarrow \text{STOJINA 1. TŘÍDY}$$

PŘÚŘEZ ZATŘÍDĚN DO 1. TŘÍDY

VZPĚRNE DÉLKY

$\beta = 0,87$  [5], PRÍČNA E; GRAF PRO NEPOSUVNÉ STŘĚNÍKY

$$L_{CBy} = \beta \cdot h = 0,87 \cdot 4000 = 6090 \text{ mm}$$

$$\lambda_y = \frac{L_{CBy}}{i_y} = \frac{6090}{144} = 42,3$$

$$\lambda_z = \frac{L_{CBy}}{i_z} = \frac{6090}{34,6} = 93,8$$

$$\bar{\lambda}_y = \frac{\lambda_y}{\lambda_1} = \frac{42,3}{93,8} = 0,45 \stackrel{\textcircled{b}}{\Rightarrow} x_y = 0,906$$

$$\bar{\lambda}_z = \frac{\lambda_z}{\lambda_1} = \frac{93,8}{93,8} = 1,0 \stackrel{\textcircled{c}}{\Rightarrow} x_z = 0,54$$

[5], PRÍČNA F

VĽIV KLOPENÍ

$$V=0 \Rightarrow C_1 = 1,88$$

$$k_1 = k_{w0} = 1$$

$$\begin{aligned} M_{ER} &= C_1 \cdot \frac{\pi^2 E \cdot I_z}{(k \cdot h)^2} \cdot \sqrt{\frac{I_w}{I_z} \cdot \left(\frac{k}{k_w}\right)^2 + \frac{(k \cdot h)^2 \cdot G \cdot I_z^2}{\pi^2 E \cdot I_z}} = \\ &= 1,88 \cdot \frac{\pi^2 \cdot 210 \cdot 10^9 \cdot 4436 \cdot 10^{-8}}{(1 \cdot 700)^2} \cdot \sqrt{\frac{1824000 \cdot 10^{-12}}{4436 \cdot 10^{-8}} + \frac{2^2 \cdot 81 \cdot 10^9 \cdot (127,2 \cdot 10^{-8})^2}{\pi^2 \cdot 210 \cdot 10^9 \cdot 4436 \cdot 10^{-8}}} \\ &= 926 \text{ kNm} \end{aligned}$$

$$\bar{\lambda}_{LT} = \sqrt{\frac{W_p l_y \cdot f_y}{M_{ER}}} = \sqrt{\frac{1850 \cdot 235}{926000}} = 0,685$$

$$\Rightarrow \chi_{LT} = 0,85$$

KOMBINÁCIE TLAKU A OHYBU

$$N_{Zk} = A \cdot f_y d = 15350 \cdot 235 = 3137 \text{ kN}$$

$$M_{R6} = W_p l_y \cdot f_y d = 1850 \cdot 235 = 434,8 \text{ kNm}$$

$$\begin{aligned} k_{gg} &= \min \left\{ C_{mg} \cdot \left( 1 + (\bar{\lambda}_g - 0,2) \cdot \frac{N_{ed}}{\bar{\lambda}_g \cdot N_{Zk}} \right), C_{mg} \cdot \left( 1 + 0,8 \cdot \frac{N_{ed}}{\bar{\lambda}_g \cdot N_{Zk}} \right) \right\} = \\ &= \min \left\{ 0,9 \cdot \left( 1 + (0,45 - 0,2) \cdot \frac{89}{3137 \cdot 0,906} \right), 0,9 \cdot \left( 1 + 0,8 \cdot \frac{89}{3137 \cdot 0,906} \right) \right\} = \min \left\{ 0,91, 0,92 \right\} = 0,91 \end{aligned}$$

$$\begin{aligned} k_{zy} &= \max \left\{ 1 - \frac{0,1 \cdot \bar{\lambda}_z}{C_{mg} \cdot 0,925} \cdot \frac{N_{ed}}{\bar{\lambda}_z \cdot N_{Zk}}, 1 - \frac{0,1}{C_{mg} \cdot 0,925} \cdot \frac{N_{ed}}{\bar{\lambda}_z \cdot N_{Zk}} \right\} = \max \left\{ 1 - \frac{0,1 \cdot 1,10}{0,9 - 0,925} \cdot \frac{89}{0,54 \cdot 3137}, 1 - \frac{0,1}{0,9 - 0,925} \cdot \frac{89}{0,54 \cdot 3137} \right\} \\ &= \left\{ 0,99 \atop 0,99 \right\} = 0,99 \end{aligned}$$

$$\frac{N_{Ed}}{\chi_y \cdot \frac{N_{Rk}}{\gamma_m}} + k_{yy} \cdot \frac{\frac{M_{Ed}}{\chi_{LT} \cdot \frac{M_{y,Rk}}{\gamma_m}}}{= \frac{89}{0,906 \cdot 3137} + 0,91 \cdot \frac{154}{0,85 \cdot 434,8} = \\ = 0,41 < 1 \quad \underline{\text{VYHOVUJE}}$$

$$\frac{N_{Ed}}{\chi_z \cdot \frac{N_{Rk}}{\gamma_m}} + k_{zy} \cdot \frac{\frac{M_{Ed}}{\chi_{LT} \cdot \frac{M_{y,Rk}}{\gamma_m}}}{= \frac{89}{0,54 \cdot 3137} + 0,99 \cdot \frac{154}{0,85 \cdot 434,8} = \\ = 0,47 < 1 \quad \underline{\text{VYHOVUJE}}$$

### POSOUCENÍ NA SHYK

$$V_{Ed} = 22,3 \text{ kN}$$

$$V_{ph,rd} = \frac{A_{vz} \cdot f_{yd}}{f_3 \cdot \gamma_m} = \frac{4495 \cdot 235}{43 \cdot 1,0} = 609,9 \text{ kN}$$

$$V_{ph,rd} = 609,9 \text{ kN} \gg 22,3 \text{ kN} = V_{Ed}$$

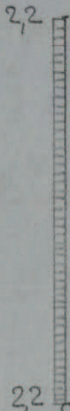
VYHOVUJE

10.7.3 SLOUP (S2) HEA 240  
VNTRNÍ SÍLY S235

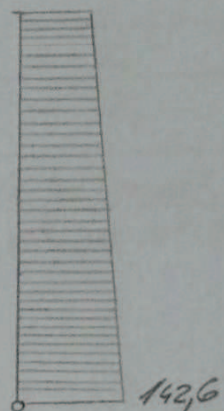
$M_{ED}$  [kNm]



$V_{ED}$  [kN]



$N_{ED}$  [kN]



Obr. 45 VNTRNÍ SÍLY NA SLOUPU S2 (KZS 3)

### ZATŘÍDĚNÍ

MOIMENT JE V TONTO PŘÍPADĚ MASY A CECY PROČEZ JE TRACENÝ.  
 PROFIL ZATŘÍDĚNÝ DO 1. TŘÍDY.

### VZPĚRNE DÉČKY

$$L_{CBy} = \beta \cdot h = 0,74 \cdot 7000 = 5180 \text{ mm}$$

$\beta = 0,74$  ([5], TĚLOHA E; CEEF PRO NEPOSOVNÉ STŘENÍKY)

$$L_{CBz} = 7000 \text{ mm}$$

$$\lambda_y = \frac{L_{CBy}}{i_y} = \frac{5180}{101} = 51,3$$

$$\lambda_z = \frac{L_{CBz}}{i_z} = \frac{7000}{60} = 116,7$$

$$\bar{\lambda}_y = \frac{\lambda_y}{\lambda_1} = \frac{51,3}{93,9} = 0,55 \quad \textcircled{b} \Rightarrow \chi_y = 0,861$$

$$\bar{\lambda}_z = \frac{\lambda_z}{\lambda_1} = \frac{116,7}{93,9} = 1,24 \quad \textcircled{c} \Rightarrow \chi_z = 0,415$$

VЛИV KLOPENI

$$\gamma=0 \Rightarrow C_1 = 1,88$$

$$k=k_w = 1$$

$$M_{cr} = C_1 \cdot \frac{\pi^2 \cdot E \cdot I_z}{(k \cdot h)^2} \cdot \sqrt{\frac{I_w}{I_z} \cdot \left(\frac{k}{k_w}\right)^2 + \frac{(k \cdot h)^2 \cdot G \cdot I_z^2}{\pi^2 \cdot E \cdot I_z^2}} =$$

$$= 1,88 \cdot \frac{\pi^2 \cdot 210 \cdot 10^9 \cdot 2469 \cdot 10^{-8}}{(1 \cdot 7000)^2} \cdot \sqrt{\frac{328500 \cdot 10^{-12}}{2469 \cdot 10^{-8}} + \frac{(1 \cdot 7)^2 \cdot 81 \cdot 10^9 \cdot (4955 \cdot 10^{-8})^2}{\pi^2 \cdot 210 \cdot 10^9 \cdot 2469 \cdot 10^{-8}}} =$$

$$= 239,8 \text{ kNm}$$

$$\bar{\lambda}_{LT} = \sqrt{\frac{W_{pl,y} \cdot f_y}{M_{cr}}} = \sqrt{\frac{444,6 \cdot 235}{239,800}} = 0,85 \Rightarrow \chi_{LT} = 0,766$$

KOMBINACE TRAKU S OHYBEM

$$N_{RE} = A \cdot f_y d = 7684 \cdot 235 = 1805,7 \text{ kN}$$

$$M_{RE} = W_{pl,y} \cdot f_y d = 444,6 \cdot 235 = 175 \text{ kNm}$$

$$k_{yy} = \min \left\{ \begin{array}{l} C_{my} \cdot (1 + (\bar{\lambda}_y - 0,2) \cdot \frac{NED}{N_{RE} \cdot \bar{\lambda}_y}) \\ C_{my} \cdot (1 + 0,8 \cdot \frac{NED}{\bar{\lambda}_y - N_{RE}}) \end{array} \right\}$$

$$k_{yy} = \min \left\{ \begin{array}{l} 0,9 \cdot (1 + (0,55 - 0,2) \cdot \frac{142,6}{1805,7 \cdot 0,861}) \\ 0,9 \cdot (1 + 0,8 \cdot \frac{142,6}{1805,7 \cdot 0,861}) \end{array} \right\} = \min \left\{ 0,93, 0,94 \right\} = 0,93$$

$$k_{zy} = \left\{ \begin{array}{l} 1 - \frac{0,1 \cdot \bar{\lambda}_z}{C_{mLT} - 0,25} \cdot \frac{NED}{\bar{\lambda}_z \cdot \frac{NED}{\gamma_m}} \\ 1 - \frac{0,1}{C_{mLT} - 0,25} \cdot \frac{NED}{\bar{\lambda}_z \cdot \frac{NED}{\gamma_m}} \end{array} \right\} = \max \left\{ \begin{array}{l} 1 - \frac{0,1 \cdot 1,24}{0,9 - 0,25} \cdot \frac{142,6}{0,445 \cdot 1805,7} \\ 1 - \frac{0,1}{0,9 - 0,25} \cdot \frac{142,6}{0,445 \cdot 1805,7} \end{array} \right\} =$$

$$= \max \left\{ 0,96, 0,94 \right\} = 0,94$$

$$\frac{N_{ED}}{R_y \cdot \frac{N_{ZL}}{\rho_m}} + k_{yz} \cdot \frac{M_{ED}}{\frac{M_{ZL}}{\rho_m} \cdot R_{LT}} = \frac{142,6}{1805 \cdot 0,861} + 0,93 \cdot \frac{15,1}{0,766 \cdot 175} = \\ = 0,197 < 1$$

VYHODOVÁJE

$$\frac{N_{ED}}{R_z \cdot \frac{N_{ZL}}{\rho_m}} + k_{zy} \frac{M_{ED}}{R_{LT} \cdot \frac{M_{ZL}}{\rho_m}} = \frac{142,6}{0,415 \cdot 1805,7} + 0,97 \cdot \frac{15,1}{0,766 \cdot 175} =$$

$$0,3 < 1$$

VYHODOVÁJE

### POSOUBENÍ NA SÄTYC

$$V_{ED} = 2,26 N$$

$$V_{pl,ed} = \frac{A_{ZL} \cdot f_{yd}}{\sqrt{3} \cdot \rho_m} = \frac{2518 \cdot 235}{\sqrt{3} \cdot 1,0} = 3426 N$$

$$V_{pl,ed} = 3426 N \gg 2,26 N = V_{ED}$$

VYHODOVÁJE

### POZNÁMKA

Z DŮVODU NAUČNÉHO VYUŽITÍ PROFILU BUDÉ NÁVRH UPPRAVEN  
Z HEA 240 NA HEA 180.

PŘI DALŠÍM POSOUBENÍ NEBUDOU PŘEPočítávány SOCIINTELE

$k_{yz}, k_{zy}$ .

(S2) 2. POSOUZENÍ

HEA 180  
S235

ZATŘÍDENÍ

PROFIL JE TLACENÝ → 1. TŘÍDA

VZPĚRNE DÉLKY

$$L_{CRz} = 4000 \text{ mm} \quad (\text{POZHODUJICÍ})$$

$$\lambda_z = \frac{L_{CRz}}{\lambda_1} = \frac{4000}{45,2} = 154,9$$

$$\bar{\lambda}_z = \frac{\lambda_z}{\lambda_1} = \frac{154,9}{93,9} = 1,65 \quad \Rightarrow x_z = 9271$$

VLIV KLOPENÍ

$$\gamma = 0 \Rightarrow c_1 = 1,88$$

$$k = k_w = 1$$

$$M_{CR} = c_1 \cdot \frac{\pi^2 \cdot E \cdot I_z}{(k \cdot h)^2} \cdot \sqrt{\frac{I_w}{I_z} + \frac{(k \cdot h)^2 \cdot G \cdot I_w^2}{\pi^2 \cdot E \cdot I_z}} = \\ = 1,88 \cdot \frac{\pi^2 \cdot 210 \cdot 10^9 \cdot 925 \cdot 10^{-8}}{4^2} \cdot \sqrt{\frac{60210 \cdot 10^{-12}}{925 \cdot 10^{-8}} + \frac{7^2 \cdot 81 \cdot 10^9 \cdot (148 \cdot 10^{-8})^2}{\pi^2 \cdot 210 \cdot 10^9 \cdot 925 \cdot 10^{-8}}} \\ = 59,4 \text{ kNm}$$

$$\bar{\lambda}_{LT} = \sqrt{\frac{K_p l_{1,2} \cdot f_y}{M_{CR}}} = \sqrt{\frac{324,9 \cdot 235}{59,4 \cdot 10^3}} = 1,13 \Rightarrow x_{LT} = 9576$$

KOMBINACE TLAČU S OHÝBEM

$$N_{B6} = A \cdot f_y d = 4525 \cdot 235 = 1063 \text{ kN}$$

$$M_{B6} = K_p l_{1,2} d \cdot f_y d = 324,9 \cdot 235 = 76,4 \text{ kNm}$$

$$\frac{N_{B6}}{N_z \cdot \frac{N_{B6}}{f_M}} + \frac{M_{B6}}{\bar{\lambda}_{LT} \cdot \frac{M_{B6}}{f_M}} = \frac{1063}{9271 \cdot 1063} + \frac{15,1}{0,546 \cdot 76,4} = 0,84 < 1$$

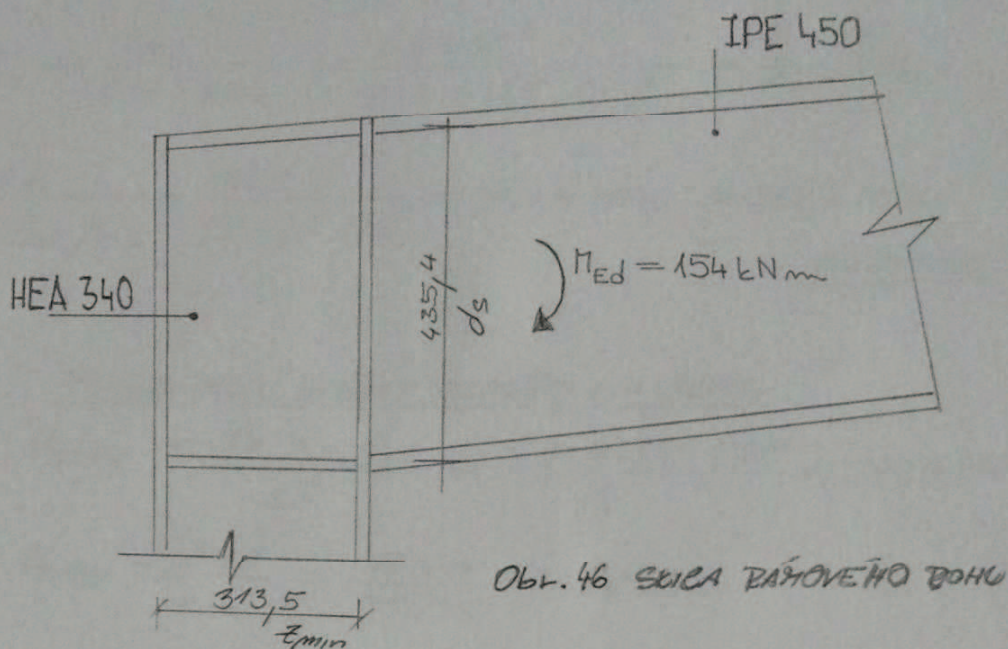
VYHOVUJE

POSOUZENÍ NA SMÍK

$$V_{p,1,B6} = \frac{A_{ve} \cdot f_y d}{f_s \cdot f_M} = \frac{1447 \cdot 235}{13 \cdot 1,0} = 196 \text{ kN} > 2,26 \text{ kN} = V_{ed}$$

VYHOVUJE

10.8. SVAŘOVANÝ RÁHOVÝ BOH



Obr. 46 SČICA RÁHOVÉHO BOHU

SVAR OKOLO SPODNÍ PAŠNICE

$$N_f = \frac{M_{Ed}}{f} = \frac{154 \cdot 10^3}{435,4 \cdot 10^{-3}} = 354 \text{ kN}$$

• DEĽKA SVARU OKOLO PAŠNICE

$$l_{we} = 2b - 2R - t_w = 2 \cdot 190 - 2 \cdot 21 - 9,4 = 329 \text{ mm}$$

$$\sigma_1 = \tilde{\sigma}_1 = \frac{1}{\sqrt{2}} \cdot \frac{N_f}{a \cdot l_{we}} = \frac{1}{\sqrt{2}} \cdot \frac{354000}{5 \cdot 329 \cdot 10^{-6}} = 152 \text{ MPa}$$

$$\sqrt{\sigma_1^2 + 3(\tau_1^2 + \tau_{11}^2)} = \sqrt{\sigma_1^2 + 3\tilde{\sigma}_1^2} = 2 \cdot 152 = 304 \text{ MPa}$$

$$\frac{f_u}{\beta_w \cdot f_{tw}} = \frac{360}{0,8 \cdot 125} = 360 \text{ MPa} > 304 \text{ MPa} \quad \underline{\text{VYHOOVUJE}}$$

$$a = 5 \quad l_{we} = 329 \text{ mm}$$

$$\sigma_1 = 152 \text{ MPa} < \frac{f_u}{f_{tw}} = \frac{360}{125} = 288 \text{ MPa}$$

VYHOOVUJE

\* HORNÍ PAŠNICE BUDÉ PRÍVADENÁ TUPÝM SVAREM.

### SVAR STOJINY K ČELNÍ DESCE

$$V_{Ed} = 68,7 \text{ kN}$$

$$a = 3 \text{ mm}$$

$$\tilde{\sigma}_{II} = \frac{V_{Ed}}{2 \cdot a \cdot l_{ve}} = \frac{68,7 \cdot 10^3}{2 \cdot 3 \cdot 348,8 \cdot 10^{-6}} = 30,2 \text{ MPa}$$

$$\frac{f_u}{f_s \cdot b_w \cdot p_{Mw}} = \frac{360}{13 \cdot 98 \cdot 1,25} = 204,8 \text{ MPa} > 30,2 \text{ MPa}$$

VYHOOVUJE

### POSOUZENÍ STĚNY SLOUPU NA ŠMYK

$$V_{Edw} = \frac{99 \cdot A_v \cdot f_y d}{l_3} = \frac{99 \cdot 4495 \cdot 235}{13} = 548,9 \text{ kN}$$

$$V_{Edw} = \frac{M_{ed}}{z_{min}} = \frac{154000}{313,5 \cdot 10^3} = 491 \text{ kN}$$

VYHOOVUJE

### VODOROVNÉ VÝSTUHY SLOUPU

VÝSTUHY O BECKOVÉ SIŘCE 115 mm x 2

\* PŘESTO BUDÉ SLOUP OCHRÁDEN  
VÝSTUHOU DLE  
PŘEDLOHY 6

$$M_{pl,ED} = 230 \cdot t_s \cdot f_y d \cdot d_s = 230 \cdot 235 \cdot 435,4 \cdot t_s \\ = 23,5 \cdot 10^6 \cdot t_s$$

$$t_s = \frac{M_{pl,ED}}{23,5 \cdot 10^6} = \frac{N_{Edw} \cdot z_{min}}{23,5 \cdot 10^6} = \frac{300 \cdot 16,5 \cdot 235 \cdot 3155 \cdot 10^{-3}}{23,5 \cdot 10^6} = \\ = 15,5 \text{ mm}$$

NAVRH: 16 mm = t\_s

### SVARY PŘIPOJUJÍCÍ VÝSTUHY KE STOJINĚ

$$V_{Edw} = \frac{M_{ed}}{d_s} = \frac{154000}{435,4 \cdot 10^{-3}} = 353,7 \text{ kN}$$

$$a = 4 \text{ mm}$$

$$\tilde{\sigma}_{II} = \frac{V_{Edw}}{4 \cdot a \cdot l} = \frac{353700}{4 \cdot 4 \cdot 115 \cdot 10^{-6}} = 192,5 \text{ MPa}$$

$$\frac{f_u}{f_s \cdot b_w \cdot p_{Mw}} = \frac{360}{13 \cdot 98 \cdot 1,25} = 204 \text{ MPa} > 192,5 \text{ MPa} = \tilde{\sigma}_{II}$$

VYHOOVUJE

# PŘÍLOHA 1- Návrh stropní konstrukce- vestavba 1NP

## 1. ÚVOD

Předmětem návrhu stropní konstrukce vestavby je stanovení zatížení na stropní konstrukci a zvolení vhodné skladby stropu. Spočítat zatížení na ocelový průvlak v prodejně, navrhnout ho a posoudit.

Pro zvolení vhodné skladby stropu je nutné stanovit zatížení na stropní konstrukci. Ve 2NP bude kancelářský provoz, pro který se dle ČSN EN 1991-1-1 uvažuje charakteristické užitné zatížení  $q_k=2,5 \text{ kN/m}^2$ . Jedinou výjimkou je archiv, kde bylo do výpočtu uvažováno  $q_k=3 \text{ kN/m}^2$ .

Průvlak v prostorách prodejny má dvě pole o rozpětích 4,1 m. Bude tvořen třemi ocelovými válcovanými profily IPE.

## 2. STROPNÍ KONSTRUKCE

### 2.1. ZATÍŽENÍ

STÁLÉ		kN/m <sup>2</sup>	kN/m <sup>2</sup>
Skladba podlahy	dlažba	0,005*20=	0,1 *1,35 = 0,135
	lepidlo	0,005*20=	0,1 *1,35 = 0,135
	bet. maz.	0,06*21=	1,26 *1,35 = 1,38
	hydroizolace	=	0,05 *1,35 = 0,07
	<u>minerál. vlna</u>	=	<u>0,03 *1,35 = 0,04</u>
			1,54 *1,35 = 2,1
Vlastní tíha stropu	POROTHERM TL. 250 MM	3,42	*1,35 = 4,62
Stálé celkem		4,96	*1,35 = 6,72

### PROMĚNNÉ

Užitné	kanceláře	2,5	*1,5 = 3,75
	<u>archiv</u>	3	<u>*1,5 = 4,5</u>
<b>ZATÍŽENÍ CELKEM</b>	KANCELÁŘE	7,46	<b>10,47</b>
	ARCHIV	7,96	<b>11,22</b>

## 2.2. NÁVRH SKLADBY STROPU

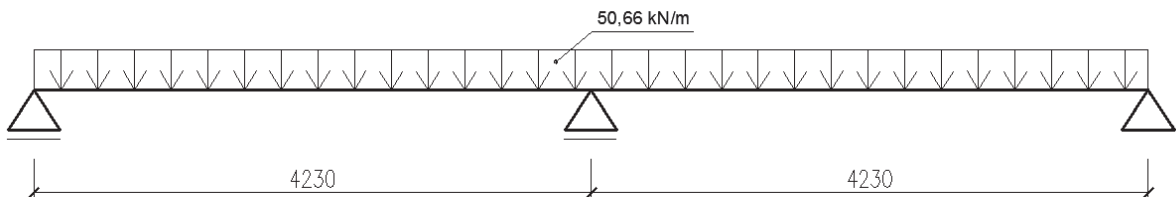
Skladba stropu byla zvolena dle pokynů výrobce uvedených v technickém listu POROTHERM strop 4.2013. Skladba a výpis prvků jsou patrné v PŘÍLOZE 2.

## 3. PRŮVLAK

### 3.1. ZATÍŽENÍ

<u>STÁLÉ</u>		<b>kN/m</b>	<b>kN/m</b>
Stropní konstrukce	<u>4,96 kN/m<sup>2</sup></u> *4,65	23,1	*1,35 = 31,2
Vlastní tíha stropu	odhad 3*IPE 180	0,19	*1,35 = 0,26
Stálé celkem		23,29	*1,35 = 31,46
<u>PROMĚNNÉ</u>			
Užitné	kanceláře 2,5*2,35	5,9	*1,5 = 8,85
+	<u>archiv 3*2,3</u>	6,9	*1,5 = 10,35
<b>ZATÍŽENÍ CELKEM</b>		<b>36,1</b>	<b>50,66</b>

### 3.2. NÁVRH



Předběžný odhad dimenze ocelových profilů: 3\* IPE 180 S235

$$W_{pl} = 166 \cdot 10^{-6} \text{ m}^3$$

$$A_{v,z} = 1125 \text{ mm}^2$$

Třída 1

### 3.3. MATERIÁL

Charakteristická pevnost oceli:  $f_{yk}=235 \text{ MPa}$

Návrhová pevnost oceli:  $f_{yd} = f_{yk}/1=235 \text{ MPa}$

### 3.4. VNITŘNÍ SÍLY

Návrhový moment:  $M_{ed}=1/8*f*I^2=1/8*50,66*4,23^2= 114 \text{ kNm}$

Návrhová posouvající síla:  $V_{ed}=1/2*f*I=107,2 \text{ kN}$

### **3.5. POSOUZENÍ**

$$Mrd = fyd * W_{ply} = 235 * 166 * 3 = \underline{117 \text{ kNm}} > Med = 114 \text{ kNm}$$

**VYHOVUJE**

$$Vrd = (3 * A_{vz} * f_{yd}) / 3^{0,5} = (3 * 1125 * 235) / 3^{0,5} = \underline{457,9 \text{ kN}} > Ved = 107,2 \text{ kN}$$

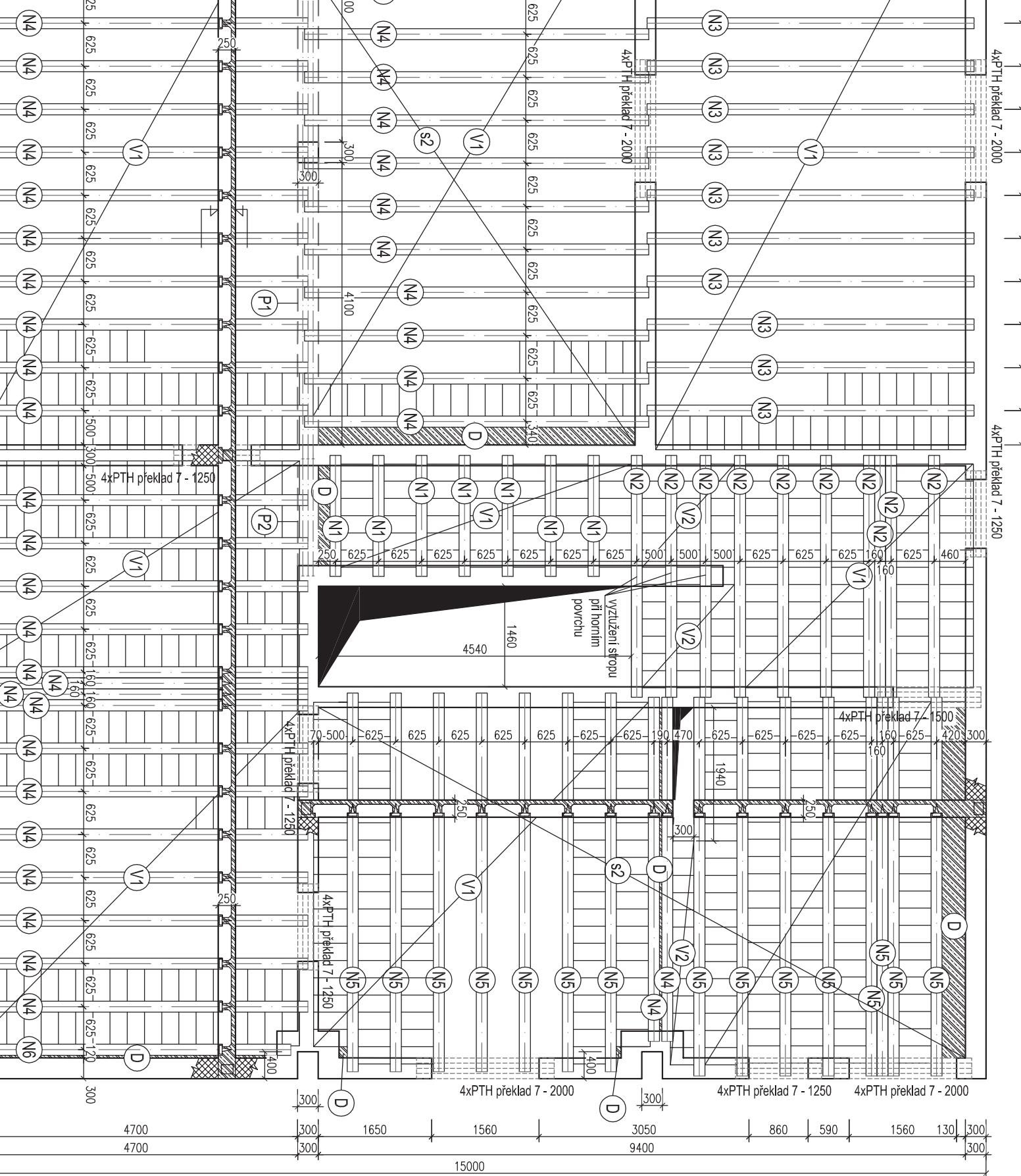
**VYHOVUJE**

$Vrd = 457,9 \text{ kN} > 2 * Ved = 214,4 \text{ kN} \rightarrow$  není třeba redukce moment. unosnosti

### **3.6. ZÁVĚR**

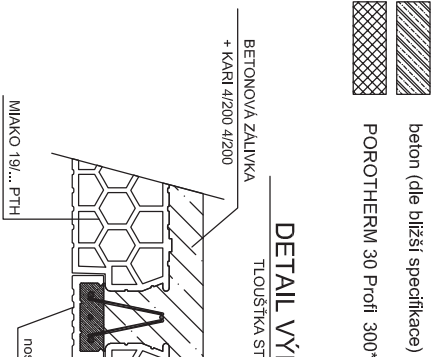
Tímto zjednodušeným ručním výpočtem bylo prokázáno, že průvlak v podobě

3\* IPE 180 **VYHOVUJE**. Profily musí být vzájemně přivařeny spojkami min. po 0,5 m.



ODZN.	POPIS
N1	POROTHERM nosník POT 175/902
N2	POROTHERM nosník POT 350/902
N3	POROTHERM nosník POT 475/902
N4	POROTHERM nosník POT 500/902
N5	POROTHERM nosník POT 550/902
N6	POROTHERM nosník POT 450/902
V1	POROTHERM vložka MIKO 19/62,5 PTH
V2	POROTHERM vložka MIKO 19/50 PTH
D	dobetonáčka C 20/25 + využití**
-	POROTHERM překlad 7 - 1250
-	POROTHERM překlad 7 - 1500
-	POROTHERM překlad 7 - 2000

POZNÁ



# POROTHERM strop

## Stropní konstrukce

1/6



### Použití

POROTHERM strop tvořený cihelnými vložkami MIAKO a keramobetonovými stropními nosníky vyztuženými svařovanou prostorovou výztuží je možno použít v běžném i vlhkém prostředí uzavřených objektů. Pokud bude strop použit v prostředí s relativní vlhkostí vzduchu 60 - 80 %, musí být na podhledu opatřen omítkou tloušťky minimálně 15 mm.

### Výhody

- světlé rozpětí až do 8000 mm
- možnost ekonomické volby ze šesti tloušťek podle zatížení a rozpětí
- vysoká únosnost
- tuhá monolitická deska
- snadná (i ruční) manipulace a montáž
- ideální podklad pod omítku
- nízké doplňkové vložky pro možnost širšího statického využití stropu
- snadné navrhování a stavění v komplexním systému POROTHERM

### Technické údaje

#### Nosníky POT 175 až 825/902

- |  |                   |
|--|-------------------|
| - cihelné tvarovky                                 | CNt-PTH, P15      |
|  | 160 x 60 x 250 mm |
| - beton třídy                                      | C 25/30           |
| - výztuž   | BSt 500 M         |
| - rozměry (tučně je uvedena celková výška nosníků) |                   |

160 x 175 x 1750 až 6250 mm	
160 x 230 x 6500 až 8250 mm	
- hmotnost	21,7 až 25,6 kg/m

#### Stropní vložky MIAKO

- třída objem. hmotnosti	800 kg/m <sup>3</sup>
- únosnost min.	2,3 kN (kromě doplňkových vložek)
- pevnost v tlaku	P12
- c = 1000 J/(kg·K)	
- $\mu$ = 15	

#### Tepelně-technické údaje

Tepelný odpor stropu bez konstrukce podlahy

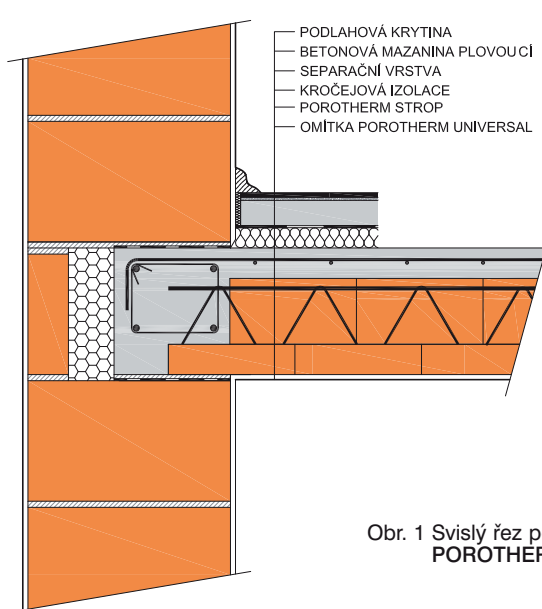
tloušťka stropu

- 210 mm	0,24 m <sup>2</sup> K/W
- 250 mm	0,29 m <sup>2</sup> K/W
- 290 mm	0,34 m <sup>2</sup> K/W

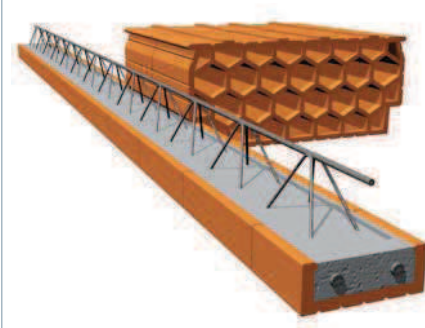
#### Zvuková izolace stropu

Vzduchová a kročejová neprůzvučnost holého stropu POROTHERM stanovená měřením a přepočtem:

tl. stropu PTH [mm]	R <sub>w</sub> [dB]	L' <sub>n,w</sub> [dB]
210	49	76
250	51	75
290	53	73



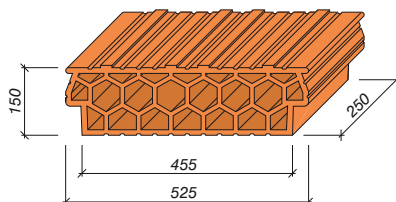
Obr. 1 Svislý řez podlahou a stropem POROTHERM



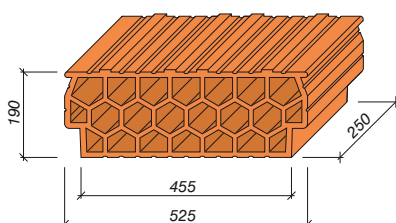
#### Druhy stropních vložek

PNG 72 2640 - 3. část  
ČSN 72 2640

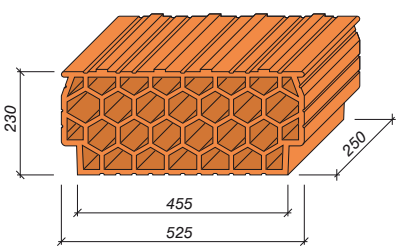
MIAKO 15/62,5 PTH cca 13,4 kg



MIAKO 19/62,5 PTH cca 14,7 kg



MIAKO 23/62,5 PTH cca 18,1 kg



Změny technických údajů vyhrazeny. Odkaz na způsob zabudování (montáž) se rozumí jako doporučení výrobce; toto vychází ze současného stavu našich poznatků ověřených v praxi. Vydáním tohoto informačního listu ztrácejí všechny předchozí svou platnost.

# POROTHERM strop

## Stropní konstrukce

2/6



Vzduchová a kročejová neprůzvučnost stropu **POROTHERM** stanovená měřením a přepočtem pro těžkou plovoucí podlahu na kročejové izolaci Isover N (vhodná pouze pro rodinné domy) nebo Isover T-N tl. 50 mm, s akusticky nejméně příznivou podlahovou krytinou - keramickou dlažbou (viz obr. 1):

tl. stropu PTH [mm]	$R_w$ [dB]	$L'_{n,w}$ [dB]
210	56	55
250	58	54
290	59	53

Pro splnění požadavků ČSN 73 0532:2010 na zvukovou izolaci mezi dvěma byty platí:

- pro vzduchovou neprůzvučnost  $R_w \geq 53 \text{ dB}$
- pro kročejovou neprůzvučnost  $L'_{n,w} \leq 55 \text{ dB}$

### Požární odolnost

1. Stropní konstrukce bez omítky  
(pro všechny tloušťky stropu)  
Druh konstrukce: DP1  
Požární odolnost: REI 120
2. Stropní konstrukce se strojné stříkanou omítkou tl. 15 mm  
(pro všechny tloušťky stropu)  
Druh konstrukce: DP1  
Požární odolnost: REI 180  
(ČSN EN 13501-2, ČSN 73 0810)

### Směrná pracnost provádění

tloušťka stropu	
- 210 mm	cca 1,22 Nhod/m <sup>2</sup>
- 250 mm	cca 1,27 Nhod/m <sup>2</sup>
- 290 mm	cca 1,31 Nhod/m <sup>2</sup>

### Montáž

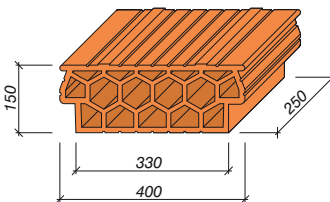
Jako akustické opatření proti šíření hluku v budovách ve svělém směru doporučujeme použít **těžký asfaltový pás**, který se položí na nosné zdvo, a to pouze pod budoucí ztužující věnec (ne pod tepelnou izolaci věnce). Asfaltový pás se nepokládá nad překlady v místě nad otvorem. Toto opatření také zamezuje pevnému spojení stropní desky s poslední vrstvou cihel a tudíž omezuje riziko vzniku trhlin ve fasádě okolo ložné spáry mezi předposlední a poslední vrstvou cihel pod stropní deskou. Na těžký asfaltový pás položený na zdvo z broušených cihel se stropní nosníky ukládají přímo, v ostatních případech (bez asfaltového pásu, na zdvo z nebroušených cihel) se ukládají do 10 mm tlustého lože z cementové malty. Pokud nebude provedena patřičná konstrukční úprava ČSN EN 15037-1 podle Přílohy D, **musí být** skutečná délka uložení na každém konci **nejméně 125 mm!!!**

Nosníky je nutno podepřít vodorovnými dřevěnými hranoly se sloupky již při ukládání na nosné zdi symetricky tak, aby vzdálenost mezi podporami nebo podporou a nosnou zdí byla maximálně 1,8 m (viz obr. 2).

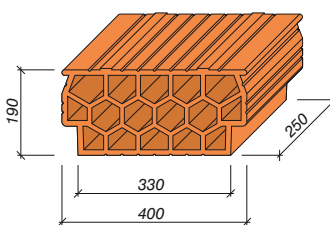
Provizorní podpory musí být zavětrovány, podloženy a podklínovány, osová vzdálenost sloupků ve směru podpor (hranolů) nesmí překročit 1,5 m. Zhotovují-li se stropy ve více podlažích, musí stát sloupky svisle nad sebou. Únosnost podpor (průřezy hranolů a sloupků) musí být stanovena ve statickém výpočtu. U stropů, jejichž štíhlostní poměr (poměr světlého rozpětí  $I_s$  ku tloušťce  $H$  stropní konstrukce) je větší než 15, doporučuje se při montáži nastavit vzepětí nosníků rovně 1/300 rozpětí. **U nosníků se vzepětím je třeba dbát při betonáži na nutnost dodržení konstantní tloušťky betonu nad vložkami** (horní povrch betonu kopíruje vzepětí).

Stropní vložky MIAKO PTH (jednotná délka vložek 250 mm pro osové vzdálenosti nosníků 625 a 500 mm) se kladou na sucho na osazené a podepřené nosníky v řadách rovnoběžných s nosnou zdí postupně od jednoho konce nosníků ke druhému (viz obr. 2).

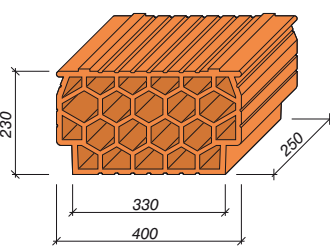
MIAKO 15/50 PTH cca 9,9 kg



MIAKO 19/50 PTH cca 11,2 kg

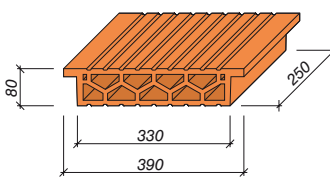


MIAKO 23/50 PTH cca 14,4 kg

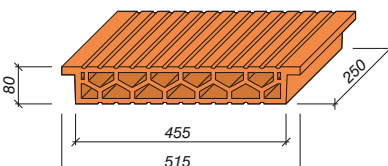


Doplňkové stropní vložky  
(třída objemové hmotnosti 1000 kg/m<sup>3</sup>)

MIAKO 8/50 PTH cca 6,4 kg



MIAKO 8/62,5 PTH cca 8,8 kg



# POROTHERM strop

## Stropní konstrukce

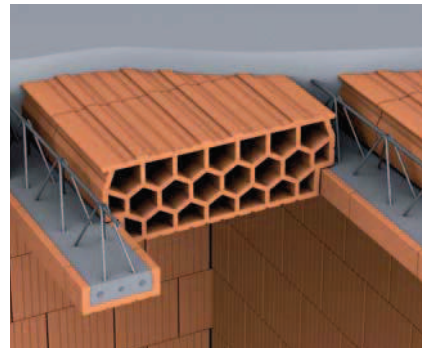
3/6



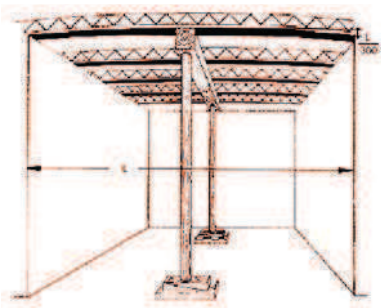
U stropních konstrukcí o světlém rozpětí větším než 6 m se doporučuje uprostřed rozpětí provést pomocí plochých doplňkových stropních vložek výšky 80 mm ztužující příčné železobetonové žebro v šířce 250 mm (tj. na délku jedné vložky) konstrukčně vyztužené 4 Ø 10 mm a třmínky Ø 6 mm ve vzdálenosti po 400 mm (viz detaily). Pokud je rozpětí příčného žebra menší než rozpětí stropní konstrukce, může vlivem tuhosti žebra dojít ke změně statického schématu z prostého na spojitý nosník o dvou polích. Proto je nutno stav pečlivě staticky posoudit, v případě potřeby pak konstrukci v místě nad nosníky doplnit o tahovou výztuž pro přenesení nově vzniklých záporných momentů a příčné žebro vyztužit podle statického výpočtu.

Podle nové ČSN EN 15037-1 platné od 1. 4. 2011 musí být nadbetonávka stropních vložek vyztužena svařovanou sítí minimální plochy 50 mm<sup>2</sup>/m (např. KARI síť 4/200-4/200). Sítě se stykají přesahem minimálně dvou ok. V případě, že konstrukční řešení (dimenze sítí) neumožnuje dodržet v místě

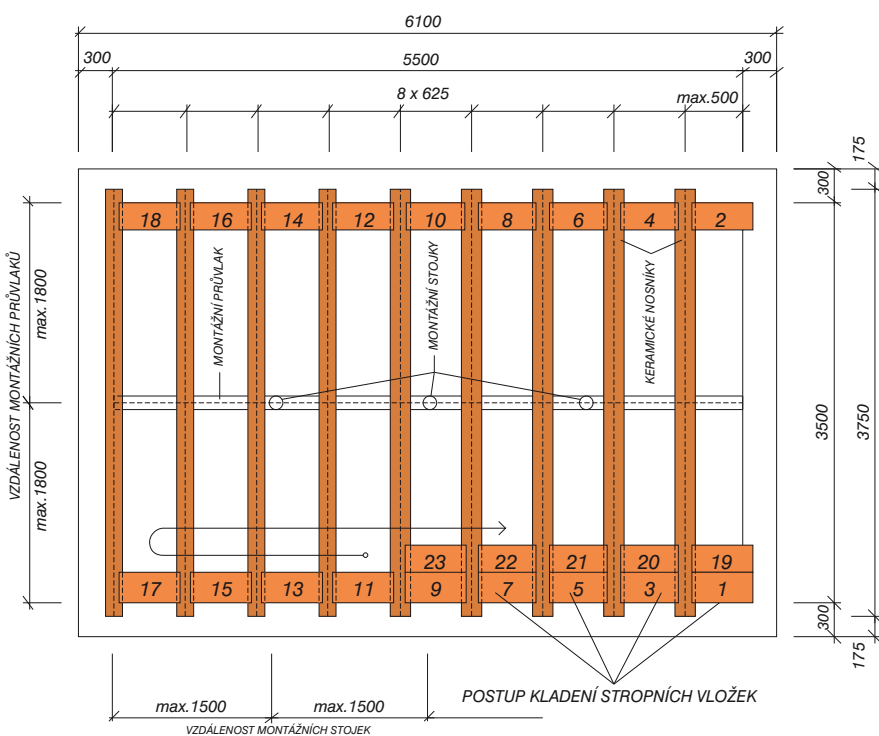
křížení sítí oboustranné minimální krytí 20 mm, je nutné napojovat síť pomocí příložek. Pokud není ukotvení sítě v místě ukončení stropní desky (po okrajích stropu sevřených nosnými stěnami spodního a horního podlaží) dostatečné, např. dvěma oky nad nosnou stěnou, pak je nutné okraj desky přivyzutit podporovými příložkami ve tvaru L (viz detaily) z důvodu přenesení záporných momentů vznikajících částečným upnutím (vetknutím) stropu do zdiva. Minimální průrezová plocha příložky je 1/3 plochy výztuže  $A_{st}$  nosníku v poli. V případě, že stropní deska má více polí (tj. probíhá přes vnitřní podpory – nosné zdi, průvlaky), je přenesení záporného momentu nad těmito nosnými konstrukcemi zabezpečeno položením sítí v dimenzích odpovídajících zápornému momentu (určí projektant). S betonáží lze započít, až když jsou vložky uloženy po celé délce nosníků. Dutiny krajních vložek není nutné uzavírat proti zátekům betonu, neboť délka záteků je pouze cca 100 mm. Po navlhčení celé konstrukce se mezery nad nosníky mezi stropními vložkami, příp.



Uložení stropní vložky MIAKO mezi POT nosníky



Podpory stropu musí být zavětrovány, položeny a podklínovány, osová vzdálenost sloupků ve směru podpor (hranolů) nesmí překročit 1,5 m.



Obr. 2 Schéma montáže stropu (příklad)

Změny technických údajů vyhrazeny. Odkaz na způsob zabudování (montáž) se rozumí jako doporučení výrobce; toto vychází ze současného stavu našich poznatků ověřených v praxi. Vydáním tohoto informačního listu ztrácejí všechny předchozí svou platnost.

# POROTHERM strop

## Stropní konstrukce

4/6



nad plochými vložkami v místě příčného ztužení, vyplní betonem **minimální třídy C 20/25** měkké konzistence, čímž se vytvoří betonová žebra. Současně se žebery je nutno betonovat také pozdější věnce nad nosnými zdmi a betonovou vrstvu nad stropními vložkami v tloušťce alespoň 60 mm (rovněž betonem třídy C 20/25), která doplňuje stropní konstrukci na potřebnou výšku. Stropní konstrukce se betonuje v pruzích, které mají směr nosníků. Betonáž pruhu nelze přerušit, pracovní spáru lze provést pouze mezi nosníky uprostřed stropních vložek. Technologická spára nesmí v žádném případě procházet betonovým žebrem nad nosníkem.

Při manipulaci s materiélem během montáže je nutné pokládat na osazené stropní vložky prkna nebo roznášecí plošiny tak, aby zatížení stropu bylo rozloženo, byly tlumeny otresy a zároveň aby nebyla deformována ocelová příhradovina nosníků. Celkové plošné montážní zatížení stropu nesmí překročit 1,5 kN/m<sup>2</sup> (před uložením betonu do konstrukce). Při betonáži je nutné zabránit hromadění betonu na jednom místě. Ploché doplňkové stropní vložky se **nesmí** během montážního stavu až do zatlít betonem nijak **zatěžovat!**

Po zhotovení stropu je nutno udržovat beton ve vlhkém stavu až do zatvrdení. Podpory nosníků lze odstranit, až když beton stropní konstrukce dosáhne normou stanovené pevnosti, která je mu příslušnou třídou předepsána. Při odstraňování podpor se postupuje vždy od horního podlaží ke spodnímu.

## Skladování a doprava nosníků

Při manipulaci a skladování je třeba zavěšovat, resp. podkládat nosníky ve vzdálenosti max. 500 mm od konců nosníků dřevěnými proklady o rozměru nejméně 40 x 20 mm. Proklady jednotlivých vrstev musí být uspořádány vždy svisle nad sebou a v místě svaru příčné výztuže s horní výztuží.

Při ukládání nosníků na ložnou plochu dopravního prostředku musí na ní nosníky ležet v celé své délce.

Výšku slohy skladovaných nosníků volí výrobce (event. odběratel) v souladu s platnými předpisy o bezpečnosti práce. Nosníky se na skládkách ukládají podle délek.

V zimním období by měly být nosníky chráněny proti povětrnostním vlivům!

## Dodávka stropních vložek

Vložky MIAKO PTH jsou dodávány zafoliované na vratných paletách rozměru 1180 x 1000 mm.

počet vložek na paletě / hmotnost palety

MIAKO 15/62,5 PTH	64 ks/900 kg
MIAKO 19/62,5 PTH	48 ks/745 kg
MIAKO 23/62,5 PTH	40 ks/780 kg
MIAKO 8/62,5 PTH	96 ks/915 kg
MIAKO 15/50 PTH	96 ks/1030 kg
MIAKO 19/50 PTH	72 ks/840 kg
MIAKO 23/50 PTH	60 ks/900 kg
MIAKO 8/50 PTH	144 ks/1010 kg

## Vlastní tíha stropu a spotřeba zálivkového betonu

Tloušťka stropu [mm]	Osová vzdálenost nosníků			
	625 mm		500 mm	
	$g_{k,1+2}$ [kN/m <sup>2</sup> ]	spotřeba betonu [m <sup>3</sup> /m <sup>2</sup> ]	$g_{k,1+2}$ [kN/m <sup>2</sup> ]	spotřeba betonu [m <sup>3</sup> /m <sup>2</sup> ]
210	3,14	0,078	3,28	0,082
250	3,42	0,086	3,60	0,091
290	3,84	0,094	4,06	0,100

$g_{k,1+2}$  – charakteristická hodnota vlastní tíhy zmonolitněné stropní konstrukce [kN/m<sup>2</sup>]

Ukázky použití stropní konstrukce POROTHERM:



napojení na průvlak u rohového okna bez sloupku



přerušení tepelného mostu mezi balkónem a stropem



rohový balkón s přidanou výztuží



rohový balkón s nosnými prvky z válcovaných ocelových profilů

# POROTHERM strop

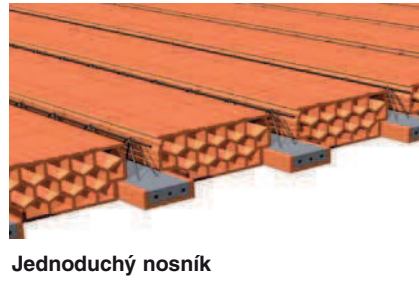
## Stropní konstrukce

5/6



Únosnost stropu pro osovou vzdálenost nosníků **625 mm** a beton **C 20/25, C 25/30**

Délka nosníku	Světlé rozpětí	Výztuž trámečku	MIAKO 15/62,5 PTH, h=210				MIAKO 19/62,5 PTH, h=250				MIAKO 23/62,5 PTH, h=290				
			beton C 20/25		beton C 25/30		beton C 20/25		beton C 25/30		beton C 20/25		beton C 25/30		
			[mm]	[mm]	průměr	$g_{rd}$	$g_k$	$g_{rd}$	$g_k$	$g_{rd}$	$g_k$	$g_{rd}$	$g_k$	$g_{rd}$	$g_k$
1750	1500	2ø8	15,17	15,17	16,62	16,62	17,23	17,23	18,85	18,85	18,38	18,38	20,13	20,13	
2000	1750	2ø8	12,67	12,67	13,92	13,92	14,41	14,41	15,82	15,82	15,35	15,35	16,87	16,87	
2250	2000	2ø8	10,76	10,76	11,87	11,87	12,27	12,27	13,51	13,51	13,05	13,05	14,38	14,38	
2500	2250	2ø8	9,26	9,26	10,25	10,25	10,58	20,00	11,69	11,69	11,23	11,23	12,42	12,42	
2750	2500	2ø8	8,03	8,03	8,93	8,93	9,20	9,20	10,21	10,21	9,75	9,75	10,83	10,83	
3000	2750	2ø10	8,67	8,67	9,61	9,61	9,94	9,94	11,00	11,00	10,55	10,55	11,69	11,69	
3250	3000	2ø10	7,69	7,69	8,56	8,56	8,84	8,84	9,82	9,82	9,36	9,36	10,42	10,42	
3500	3250	2ø10	6,85	6,85	7,66	7,66	7,90	7,90	8,80	8,80	8,35	8,35	9,32	9,32	
			14,67	14,67	14,81	14,81	17,78	17,78	18,80	18,80	18,88	18,88	20,73	20,73	
3750	3500	2ø10	6,14	6,14	6,81	6,81	7,09	7,09	7,93	7,93	7,48	7,48	8,39	8,39	
			12,18	12,18	12,31	12,31	15,58	15,58	15,70	15,70	17,23	17,23	18,96	18,96	
4000	3750	2ø12	6,63	6,63	7,42	7,42	7,67	7,67	8,56	8,56	8,11	8,11	9,07	9,07	
			15,14	15,14	15,36	15,36	17,38	17,38	19,04	19,04	18,43	18,43	20,25	20,25	
4250	4000	2ø12	6,01	6,01	6,75	6,75	6,97	6,97	7,81	7,81	7,36	7,36	8,26	8,26	
			13,56	13,56	13,77	13,77	16,03	16,03	17,59	17,59	17,01	17,01	18,71	18,71	
4500	4250	2ø12	5,84	5,84	6,57	6,57	6,77	6,77	7,59	7,59	7,14	7,14	8,02	8,02	
			12,86	11,83	13,07	12,47	15,64	15,64	16,75	16,75	16,59	16,59	18,26	18,26	
4750	4500	2ø12	5,57	5,57	6,28	6,28	6,47	6,47	7,27	7,27	6,82	6,82	7,68	7,68	
			11,85	9,72	12,07	10,25	15,08	15,08	15,52	15,52	15,98	15,98	17,61	17,61	
5000	4750	2ø12	5,38	5,38	6,08	6,08	6,26	6,26	7,04	7,04	6,59	6,59	7,43	7,43	
			10,90	8,06	11,14	8,51	14,16	13,55	14,39	14,29	15,55	15,55	17,15	17,15	
5250	5000	2ø12	5,24	5,17	5,65	5,48	6,10	6,10	6,87	6,87	6,43	6,43	7,26	7,26	
			10,02	6,71	10,27	7,11	13,09	12,11	13,34	12,76	15,24	15,24	16,29	16,29	
5500	5250	2ø12	4,83	3,95	5,22	4,22	5,64	5,64	6,37	6,37	5,93	5,93	6,72	6,72	
			9,36	5,21	9,60	5,55	12,27	9,80	12,51	10,35	14,30	14,30	15,29	15,29	
5750	5500	2ø12	4,46	2,96	4,83	3,18	5,22	5,22	5,92	5,92	5,47	5,47	6,23	6,23	
			8,76	3,98	8,99	4,27	11,52	7,90	11,75	8,38	13,43	13,43	14,38	14,25	
6000	5750	2ø12	4,16	2,37	4,40	2,58	5,15	4,83	5,85	5,14	5,40	5,40	6,15	6,15	
			8,04	3,24	8,29	3,49	10,67	7,17	10,91	7,61	13,16	12,44	13,41	13,13	
6250	6000	2ø12	3,84	1,65	4,07	1,83	4,78	3,78	5,45	4,05	5,01	5,01	5,73	5,73	
			7,55	2,35	7,78	2,57	10,04	5,74	10,28	6,12	12,42	10,30	12,65	10,90	
6500	6250	2ø12					4,43	2,88	5,08	3,12	4,63	4,63	5,32	5,32	
							10,34	4,53	10,58	4,86	11,85	8,49	13,01	9,01	
6750	6500	2ø12					5,78	2,45	5,06	2,67	4,62	4,62	5,32	5,13	
							10,74	4,13	11,02	4,44	11,83	7,93	13,14	8,41	
7000	6750	2ø12					5,32	2,06	6,51	2,26	4,63	4,50	5,32	4,81	
							11,18	3,77	11,51	4,06	11,84	7,42	13,15	7,88	
7250	7000	2ø12					5,00	1,44	5,79	1,62	4,31	3,58	4,98	3,86	
							10,09	2,89	10,39	3,15	11,24	6,10	12,51	6,51	
7500	7250	2ø12					9,11	2,15	9,40	2,37	10,68	4,97	11,66	5,33	
										4,02	2,80	4,66	3,05		
7750	7500	2ø12					9,56	1,91	9,90	2,13	10,74	4,66	11,97	5,00	
										3,85	2,62	4,48	2,86		
8000	7750	2ø12								3,59	1,98	4,20	2,19		
										10,24	3,73	11,22	4,04		
8250	8000	2ø12								3,35	1,41	3,94	1,60		
										9,76	2,92	10,23	3,19		

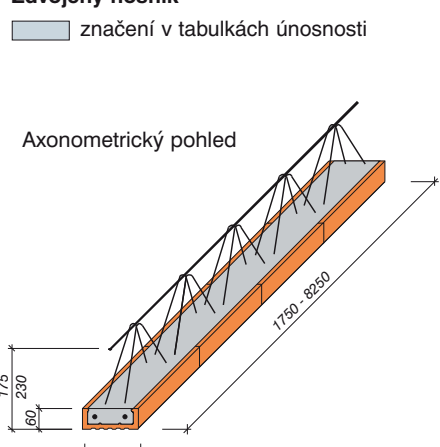


Jednoduchý nosník

■ značení v tabulkách únosnosti



Axonometrický pohled



$q_k$  – maximální hodnota charakteristického spojitého rovnoramenného zatížení (bez vlastní tíhy zmonolitněné stropní konstrukce), které je možno na zmonolitněný strop přiložit, aby byla zachována požadovaná spolehlivost konstrukce [ $\text{kN}/\text{m}^2$ ]

$q_{rd}$  – maximální hodnota návrhového spojitého rovnoramenného zatížení (bez vlastní tíhy zmonolitněné konstrukce), kterou je možno na zmonolitněný strop přiložit, aby byla zachována požadovaná spolehlivost konstrukce [ $\text{kN}/\text{m}^2$ ]

Pro zajištění minimálního předepsaného krytí KARI sítě betonem doporučujeme provést strop v tloušťce 260 mm nebo nahradit KARI sítě vázanou výztuží.

Změny technických údajů vyhrazeny. Odkaz na způsob zabudování (montáž) se rozumí jako doporučení výrobce; toto vychází ze současného stavu našich poznatků ověřených v praxi. Vydáním tohoto informačního listu ztrácejí všechny předchozí svou platnost.

# POROTHERM strop

## Stropní konstrukce

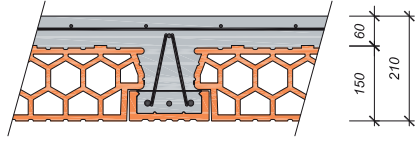
6/6



Únosnost stropu pro osovou vzdálenost nosníků **500 mm** a beton **C 20/25, C 25/30**

Délka nosníku	Světlé rozpětí	Výztuž trámečku	MIAKO 15/50 PTH, h = 210				MIAKO 19/50 PTH, h = 250				MIAKO 23/50 PTH, h = 290			
			beton C 20/25	beton C 25/30	beton C 20/25	beton C 25/30	beton C 20/25	beton C 25/30	beton C 20/25	beton C 25/30	beton C 20/25	beton C 25/30	beton C 20/25	beton C 25/30
[mm]	[mm]	průměr	g <sub>rd</sub>	g <sub>k</sub>	g <sub>rd</sub>	g <sub>k</sub>	g <sub>rd</sub>	g <sub>k</sub>	g <sub>rd</sub>	g <sub>k</sub>	g <sub>rd</sub>	g <sub>k</sub>	g <sub>rd</sub>	g <sub>k</sub>
1750	1500	2 ø 8	19,71	19,71	21,52	21,52	22,28	22,28	24,32	24,32	23,74	23,74	25,93	25,93
2000	1750	2 ø 8	16,59	16,59	18,15	18,15	18,77	18,77	20,53	20,53	19,96	19,96	21,85	21,85
2250	2000	2 ø 8	14,20	14,20	15,59	15,59	16,09	16,09	17,64	17,64	17,08	17,08	18,75	18,75
2500	2250	2 ø 8	12,32	12,32	13,56	13,56	13,97	13,97	15,36	15,36	14,08	14,08	16,30	16,30
2750	2500	2 ø 8	10,79	10,79	11,91	11,91	12,25	12,25	13,51	13,51	12,95	12,95	14,31	14,31
3000	2750	2 ø 10	11,58	11,58	12,76	12,76	13,17	13,17	14,50	14,50	13,95	13,95	15,38	15,38
3250	3000	2 ø 10	10,36	10,36	11,45	11,45	11,80	11,80	13,02	13,02	12,47	12,47	13,79	13,79
3500	3250	2 ø 10	9,32	9,32	10,32	10,32	10,62	10,62	11,75	11,75	11,21	11,21	12,43	12,43
			17,85	17,85	18,06	18,06	21,72	21,72	22,80	22,80	28,00	28,00	25,24	25,24
3750	3500	2 ø 10	8,42	8,42	9,21	9,21	9,61	9,61	10,67	10,67	10,12	10,12	11,26	11,26
			14,92	14,92	15,09	15,09	18,95	18,95	19,13	19,13	25,33	25,33	23,04	23,04
4000	3750	2 ø 12	9,04	9,04	10,03	10,03	10,34	10,34	11,45	11,45	10,91	10,91	12,11	12,11
			18,33	18,33	18,64	18,64	21,21	21,21	23,22	23,22	23,04	23,04	24,67	24,67
4250	4000	2 ø 12	8,27	8,27	9,19	9,19	9,46	9,46	10,51	10,51	9,97	9,97	11,09	11,09
			16,48	15,43	16,76	16,25	19,63	19,63	21,31	21,31	21,08	21,08	22,84	22,84
4500	4250	2 ø 12 + ø 6	8,05	8,05	8,96	8,96	9,21	9,21	10,24	10,24	9,69	9,69	10,80	10,80
			15,61	12,91	15,92	13,60	19,17	19,17	20,30	20,30	20,31	20,31	22,30	22,30
4750	4500	2 ø 12 + ø 8	7,72	7,72	8,60	8,60	8,84	8,84	9,84	9,84	9,29	9,29	10,37	10,37
			14,41	10,62	14,72	11,19	18,50	17,94	18,83	18,83	19,59	19,59	21,53	21,53
5000	4750	2 ø 12 + ø 10	7,48	7,11	8,35	7,51	8,57	8,57	9,55	9,55	9,01	9,01	10,06	10,06
			13,27	8,82	13,61	9,30	17,14	15,82	17,48	16,65	19,08	19,08	20,98	20,98
5250	5000	2 ø 12 + ø 12	7,31	5,93	7,69	6,27	8,38	8,38	9,34	9,34	8,80	8,80	9,84	9,84
			12,20	7,35	12,56	7,77	15,86	14,15	16,21	14,88	18,71	18,71	19,73	19,73
5500	5250	2 ø 12 + ø 12	6,79	4,58	7,16	4,88	7,80	7,80	8,72	8,63	8,18	8,18	9,17	9,17
			11,44	5,73	11,77	6,09	14,09	11,50	15,23	12,13	17,59	17,59	18,56	18,56
5750	5500	2 ø 12 + ø 12	6,32	3,48	6,67	3,73	7,27	6,54	8,15	6,94	7,61	7,61	8,55	8,55
			10,74	4,40	11,06	4,71	14,02	9,33	14,34	9,87	16,56	15,74	17,49	16,60
6000	5750	2 ø 12 + ø 14	5,95	2,83	6,13	3,06	7,19	5,69	8,06	6,04	7,52	7,52	8,46	8,46
			9,86	3,78	10,21	4,06	12,98	8,47	13,33	8,96	15,97	14,51	16,31	15,28
6250	6000	2 ø 12 + ø 14	5,55	2,03	5,73	2,23	6,73	4,50	7,57	4,81	7,03	7,03	7,93	7,93
			9,28	2,80	9,61	3,04	12,25	6,85	12,58	7,27	15,09	12,06	15,42	12,74
6500	6250	2 ø 12 + ø 14					7,79	3,49	7,10	3,76	6,56	6,56	7,43	7,05
							12,60	5,46	12,93	5,84	14,67	9,99	15,84	10,58
6750	6500	2 ø 12 + ø 16					7,81	3,14	8,31	3,39	6,55	6,20	7,41	6,60
							13,03	4,99	13,42	5,33	14,66	9,32	16,22	9,87
7000	6750	2 ø 12 + ø 18					7,22	2,86	8,72	3,10	6,55	5,83	7,42	6,20
							13,50	4,55	13,96	4,87	14,66	8,71	16,23	9,22
7250	7000	2 ø 12 + ø 18					6,82	2,13	7,84	2,34	6,16	4,73	6,99	5,06
							12,23	3,56	12,66	3,84	13,95	7,21	15,46	7,66
7500	7250	2 ø 12 + ø 18					11,09	2,71	11,49	2,96	13,29	5,92	14,20	6,32
										5,79	3,79	6,60	4,09	
7750	7500	2 ø 12 + ø 20					11,57	2,42	12,04	2,66	13,36	5,54	14,82	5,92
										5,58	3,57	6,37	3,85	
8000	7750	2 ø 12 + ø 20								5,26	2,80	6,02	3,05	
										12,76	4,49	13,56	4,83	
8250	8000	2 ø 12 + ø 20								4,95	2,12	5,69	2,35	
										12,06	3,57	12,48	3,88	

Tloušťka stropu **210 mm**



Tloušťka stropu **250 mm**



Ukázky použití stropní konstrukce **POROTHERM**:



výměna u prostupu stropem pomocí vloženého úhelníku 75/50/6



uložení trámečků do železobetonového průvlaku

Pro zajištění minimálního předepsaného krytí KARI sítě betonem doporučujeme provést strop v tloušťce 260 mm nebo nahradit KARI sítě vázanou výztuží.

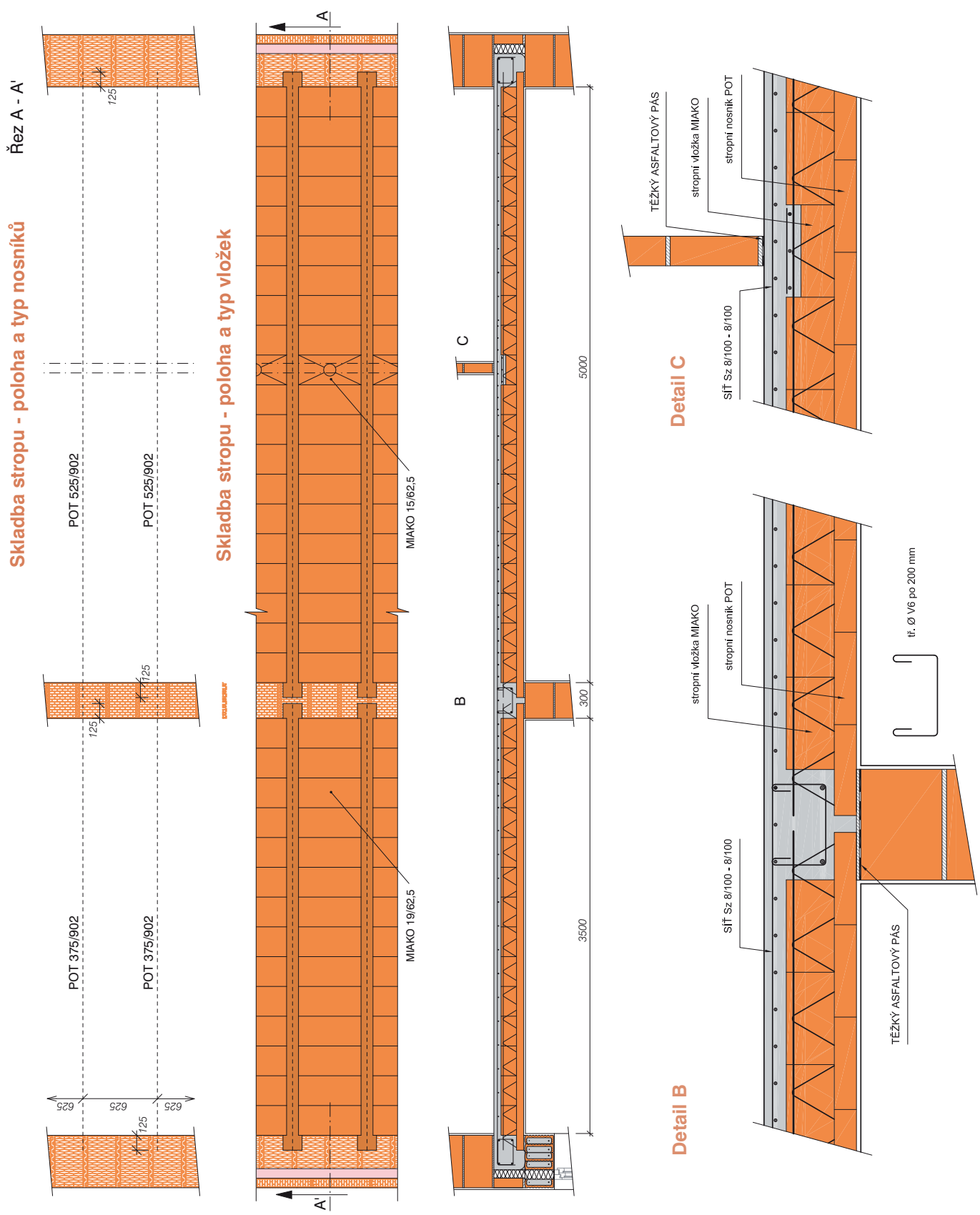
Změny technických údajů vyhrazeny. Odkaz na způsob zabudování (montáž) se rozumí jako doporučení výrobce; toto vychází ze současného stavu našich poznatků ověřených v praxi. Vydáním tohoto informačního listu ztrácejí všechny předchozí svou platnost.

**POROTHERM**

# POROTHERM strop

Příklady použití - uspořádání stropních nosníků

1/10



Změny technických údajů vyhrazeny. Odkaz na způsob zabudování (montáž) se rozumí jako doporučení výrobce; toto vychází ze současného stavu našich poznatků ověřených v praxi. Vydáním tohoto informačního listu ztrácejí všechny předchozí svou platnost.

**POROTHERM**

# POROTHERM strop

Příklady použití - zesílení stropu pod svislými konstrukcemi

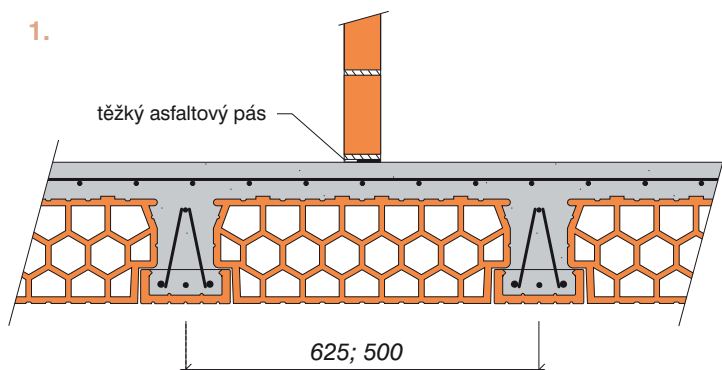
2/10

CE

1.

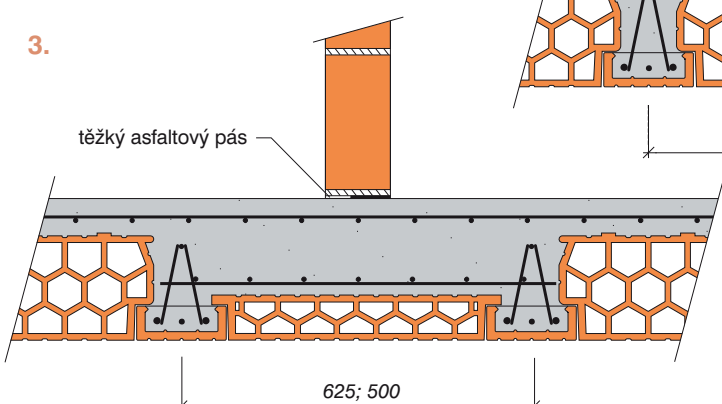
těžký asfaltový pás

Lehká příčka v podélném směru  
(tl. 80 a 115 mm)



2.

těžký asfaltový pás



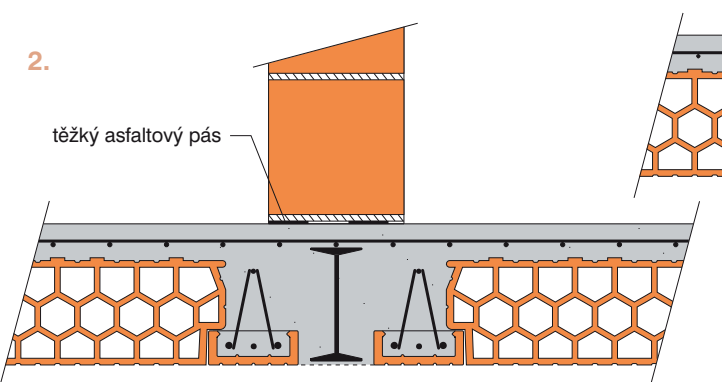
Hmotná příčka v podélném směru  
(tl. 140 mm a více)

2.

těžký asfaltový pás

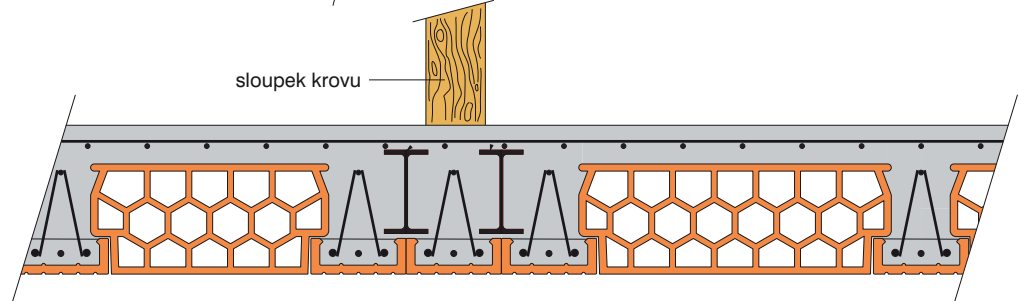
1.

těžký asfaltový pás



3. zesílení trámeček  
vložením ocelových  
válcovaných profilů

sloupeček krovu



Změny technických údajů vyhrazeny. Odkaz na způsob zabudování (montáž) se rozumí jako doporučení výrobce; toto vychází ze současného stavu našich poznatků ověřených v praxi. Vydáním tohoto informačního listu ztrácejí všechny předchozí svou platnost.

 **POROTHERM**

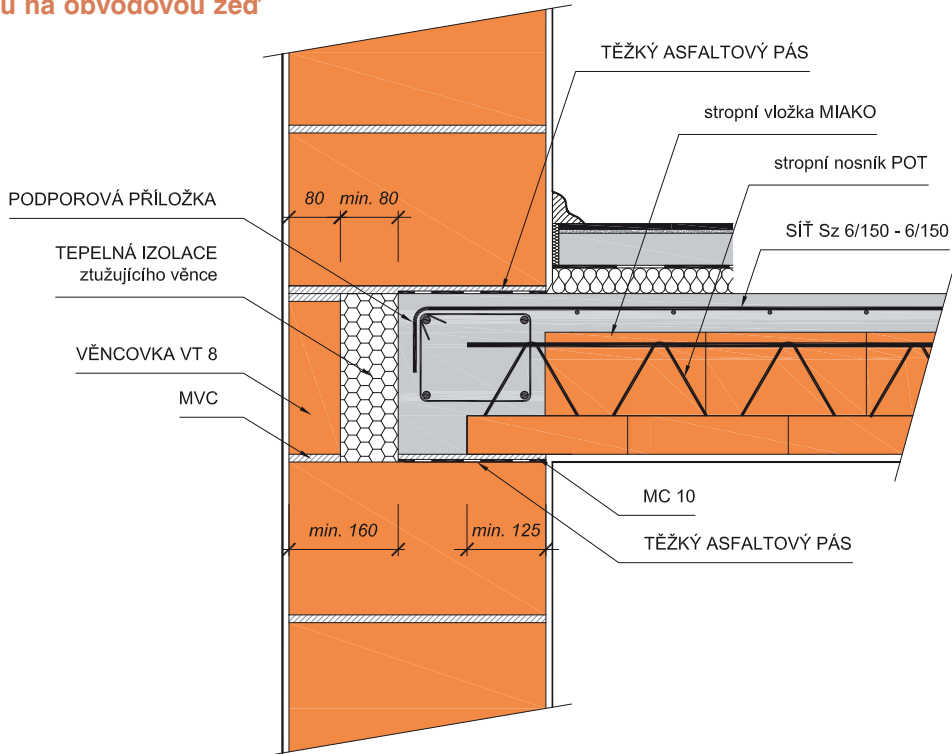
# POROTHERM strop

Příklady použití - uložení stropu na vnější stěnu

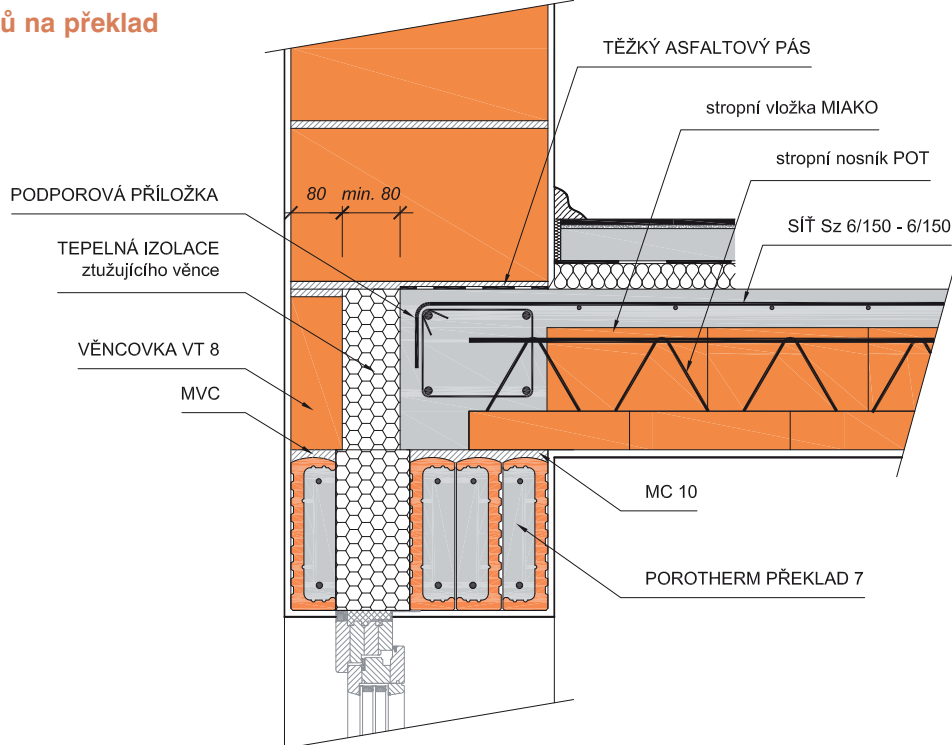
3/10



## Uložení nosníků na obvodovou zeď



## Uložení nosníků na překlad



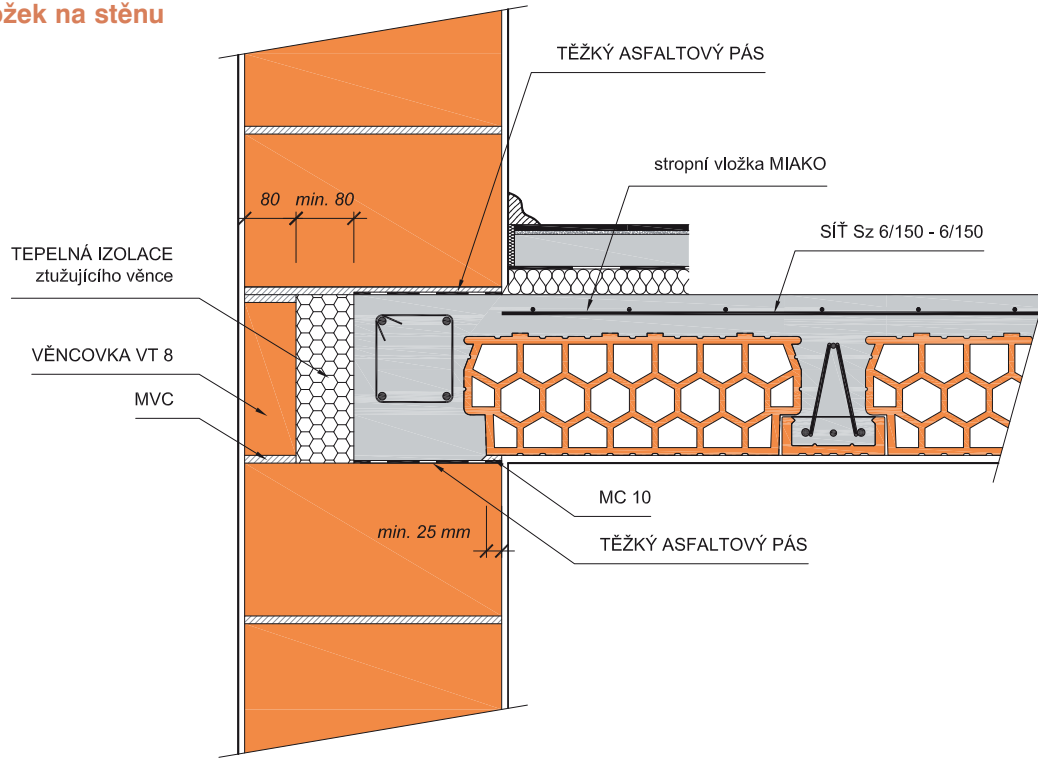
# POROTHERM strop

Příklady použití - uložení stropu na vnější stěnu

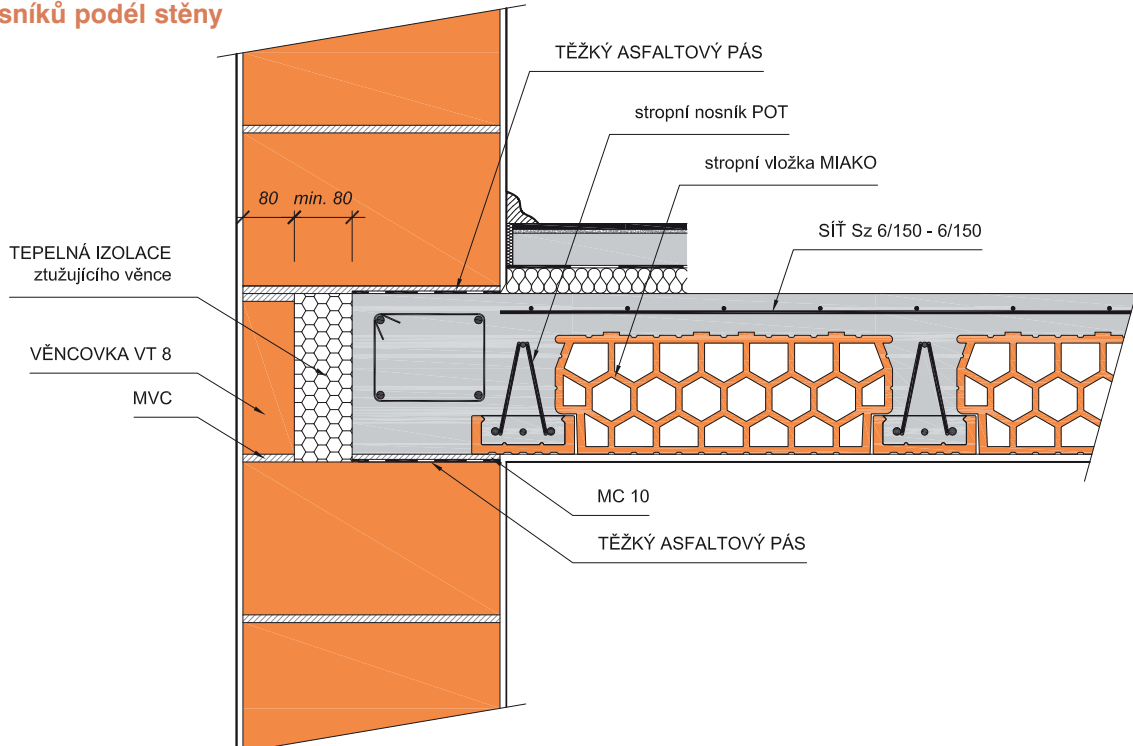
4/10



## Uložení vložek na stěnu



## Uložení nosníků podél stěny



Změny technických údajů vyhrazeny. Odkaz na způsob zabudování (montáž) se rozumí jako doporučení výrobce; toto vychází ze současného stavu našich poznatků ověřených v praxi. Vydáním tohoto informačního listu ztrácejí všechny předchozí svou platnost.

 **POROTHERM**

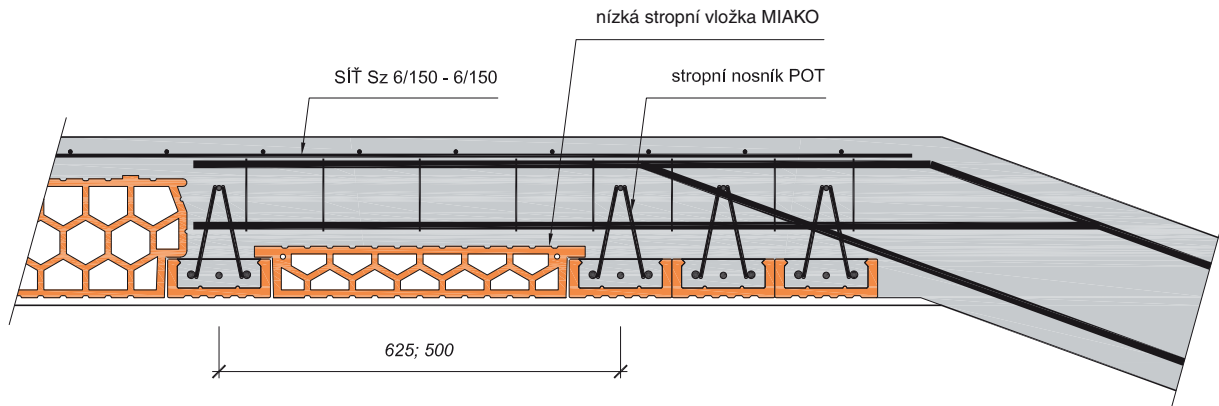
# POROTHERM strop

Příklady použití - schodiště, ztužující žebro

5/10

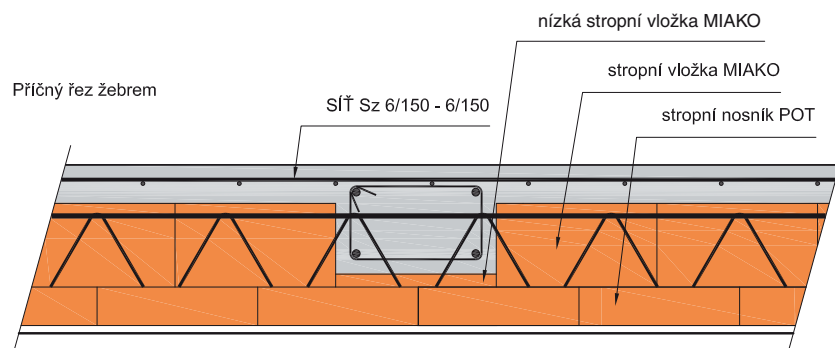


## Napojení železobetonové desky schodišťového ramene

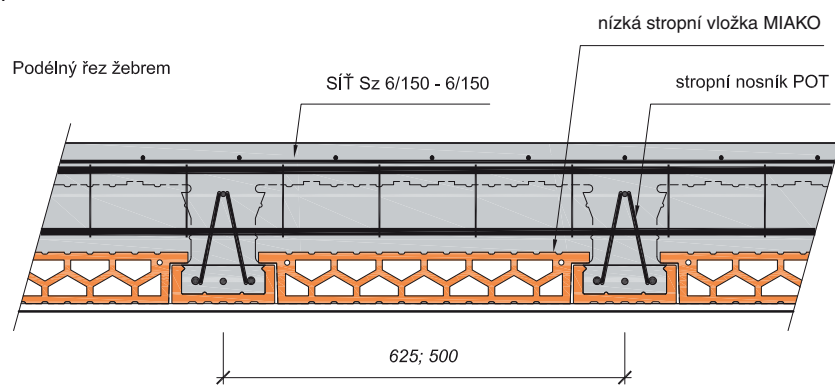


Ztužující žebro - pro světlá rozpětí > 6,0 m,  
- pod hmotnou přčku

Příčný řez žebrem



Podélný řez žebrem



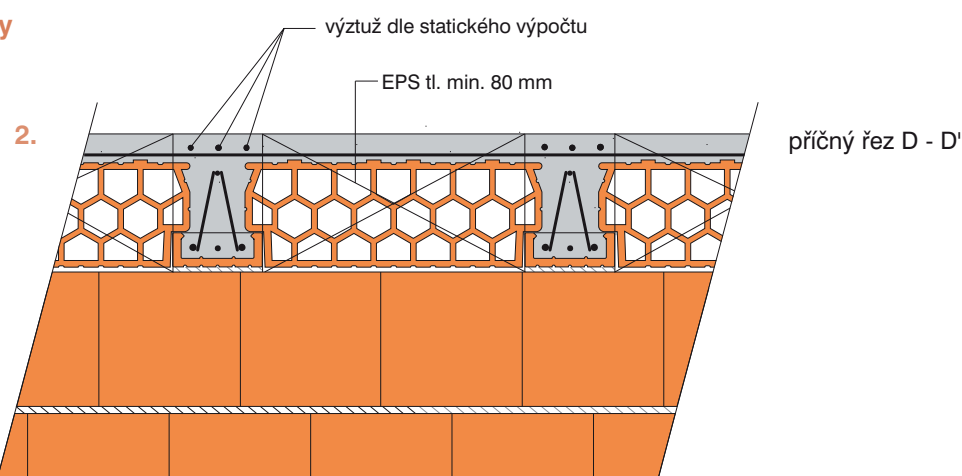
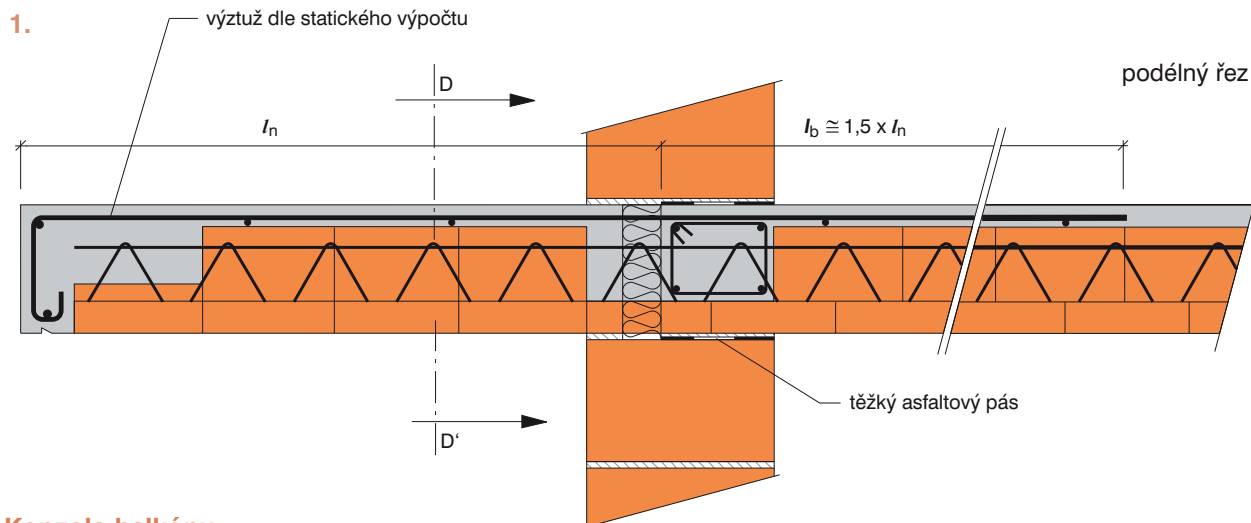
Změny technických údajů vyhrazeny. Odkaz na způsob zabudování (montáž) se rozumí jako doporučení výrobce; toto vychází ze současného stavu našich poznatků ověřených v praxi. Vydáním tohoto informačního listu ztrácejí všechny předchozí svou platnost.

 **POROTHERM**

# POROTHERM strop

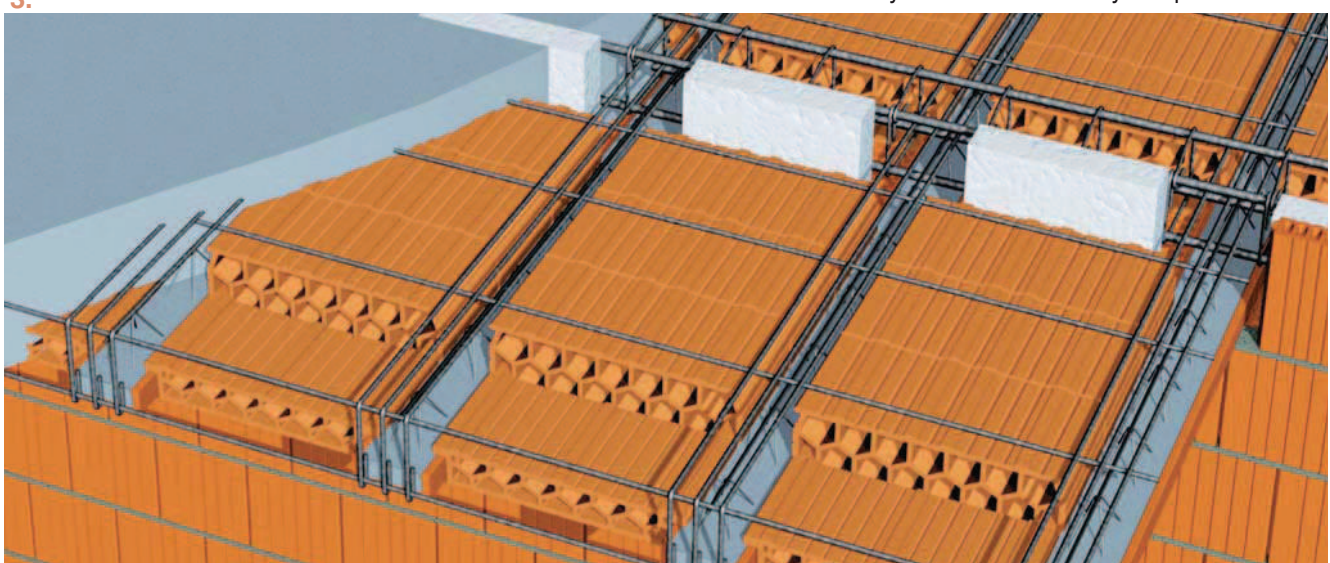
Příklady použití - konzola

6/10



3.

Model konzoly balkónu - vázaná výztuž před betonáží



Změny technických údajů vyhrazeny. Odkaz na způsob zabudování (montáž) se rozumí jako doporučení výrobce; toto vychází ze současného stavu našich poznatků ověřených v praxi. Vydáním tohoto informačního listu ztrácejí všechny předchozí svou platnost.

 **POROTHERM**

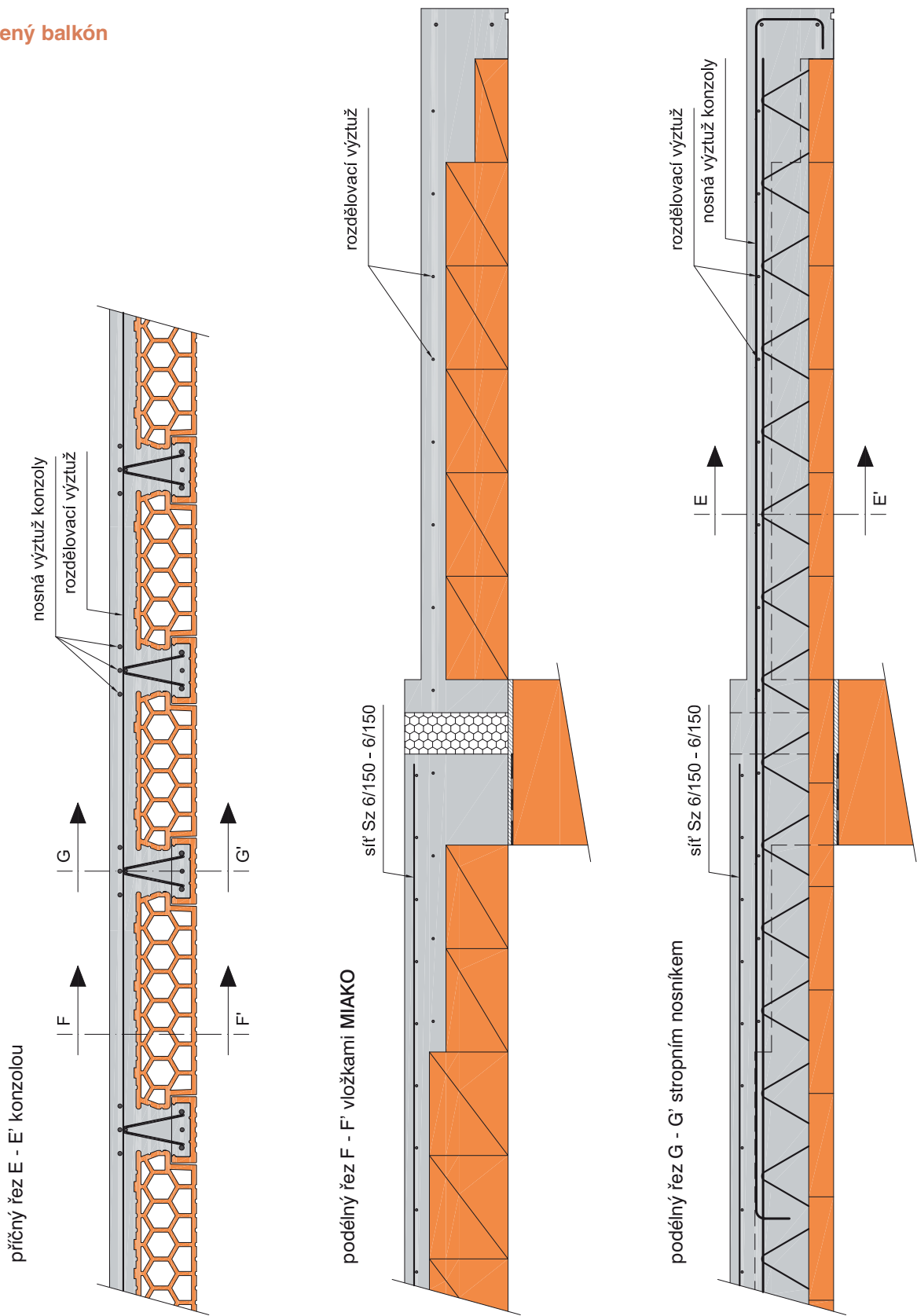
# POROTHERM strop

Příklady použití - konzola se změnou tloušťky

7/10



## Snížený balkón



Změny technických údajů vyhrazeny. Odkaz na způsob zabudování (montáž) se rozumí jako doporučení výrobce; toto vychází ze současného stavu našich poznatků ověřených v praxi. Vydáním tohoto informačního listu ztrácejí všechny předchozí svou platnost.

# POROTHERM strop

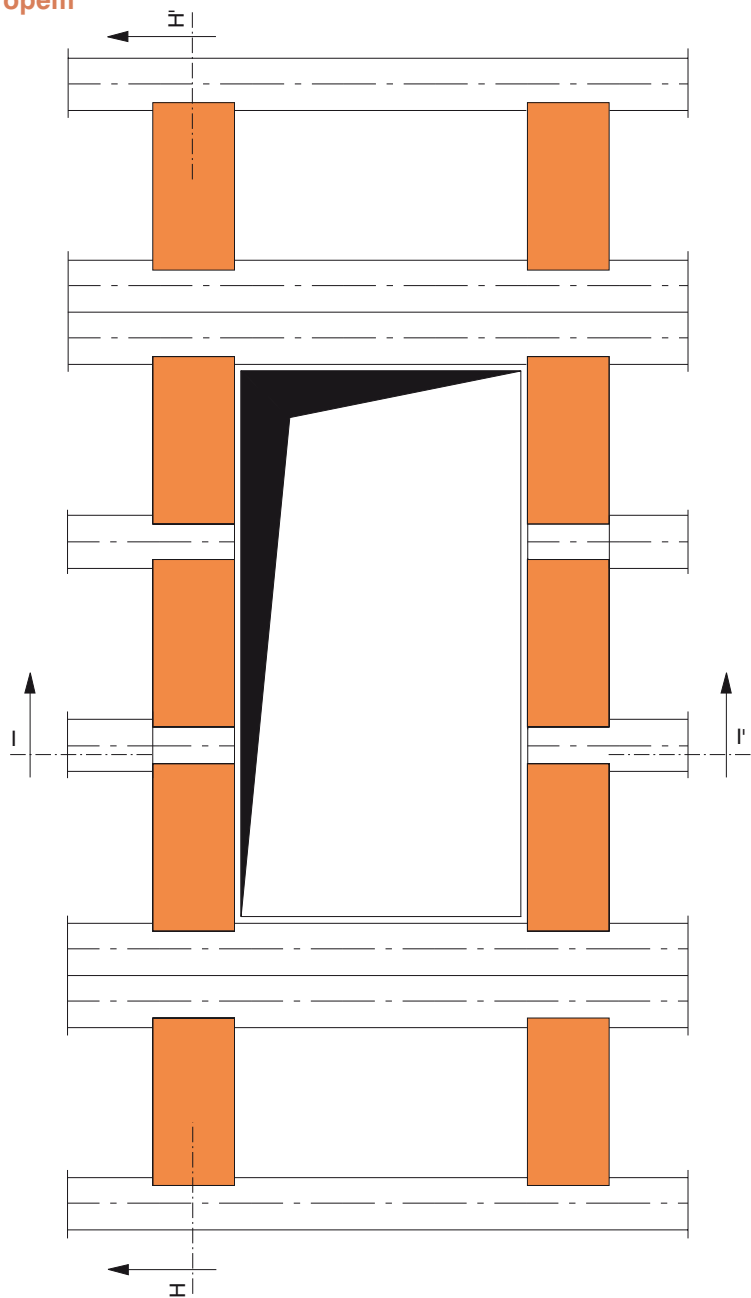
Příklady použití - prostup stropem

8/10

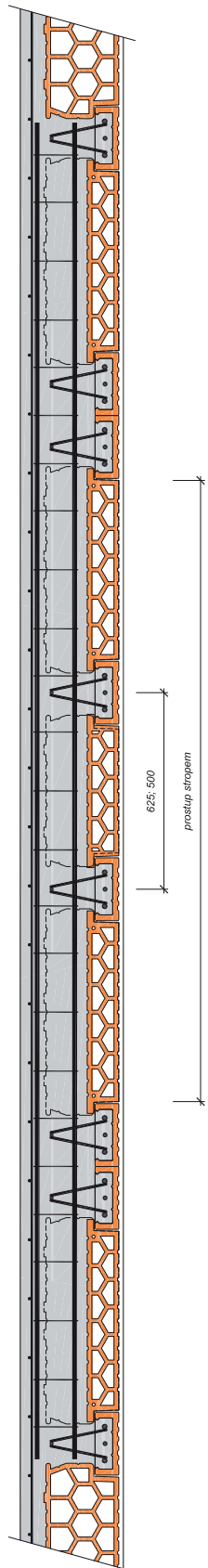


## Prostup stropem

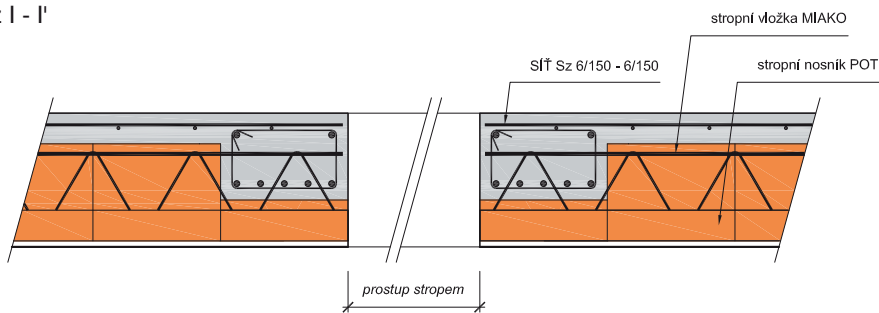
### 1. půdorys



### 2. řez H - H'



### 3. řez I - I'



Změny technických údajů vyhrazeny. Odkaz na způsob zabudování (montáž) se rozumí jako doporučení výrobce; toto vychází ze současného stavu našich poznatků ověřených v praxi. Vydáním tohoto informačního listu ztrácejí všechny předchozí svou platnost.

# POROTHERM strop

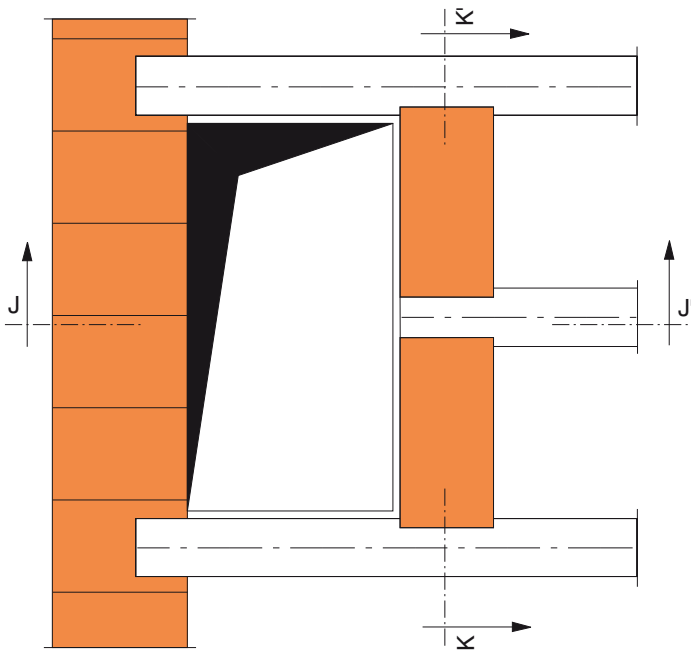
Příklady použití - komínová výměna

9/10

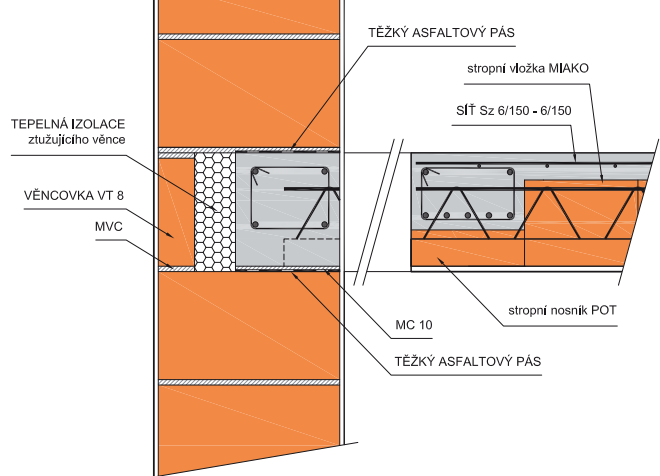


## Komínová výměna

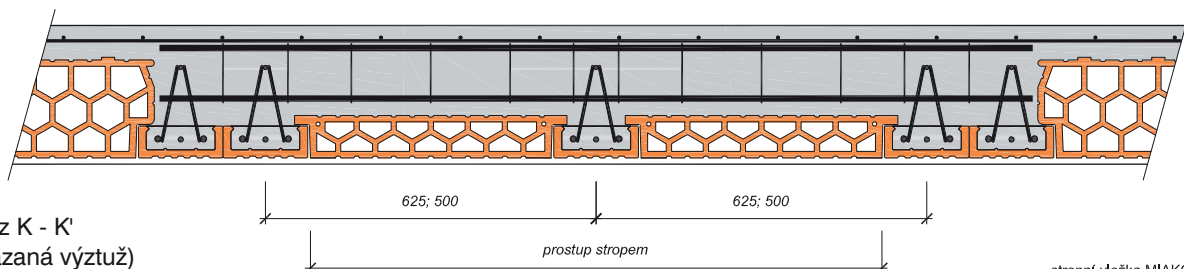
1. půdorys



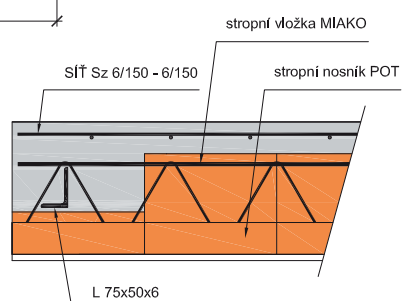
2. Řez J - J' (vázaná výztuž)



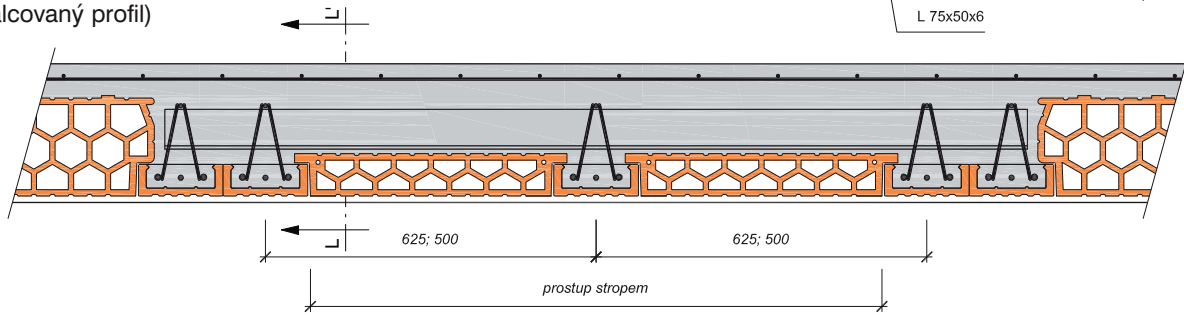
3. Řez K - K'  
(vázaná výztuž)



4. Řez L - L'  
(válcovaný profil)



5. Řez K - K'  
(válcovaný profil)



Změny technických údajů vyhrazeny. Odkaz na způsob zabudování (montáž) se rozumí jako doporučení výrobce; toto vychází ze současného stavu našich poznatků ověřených v praxi. Vydáním tohoto informačního listu ztrácejí všechny předchozí svou platnost.

 **POROTHERM**

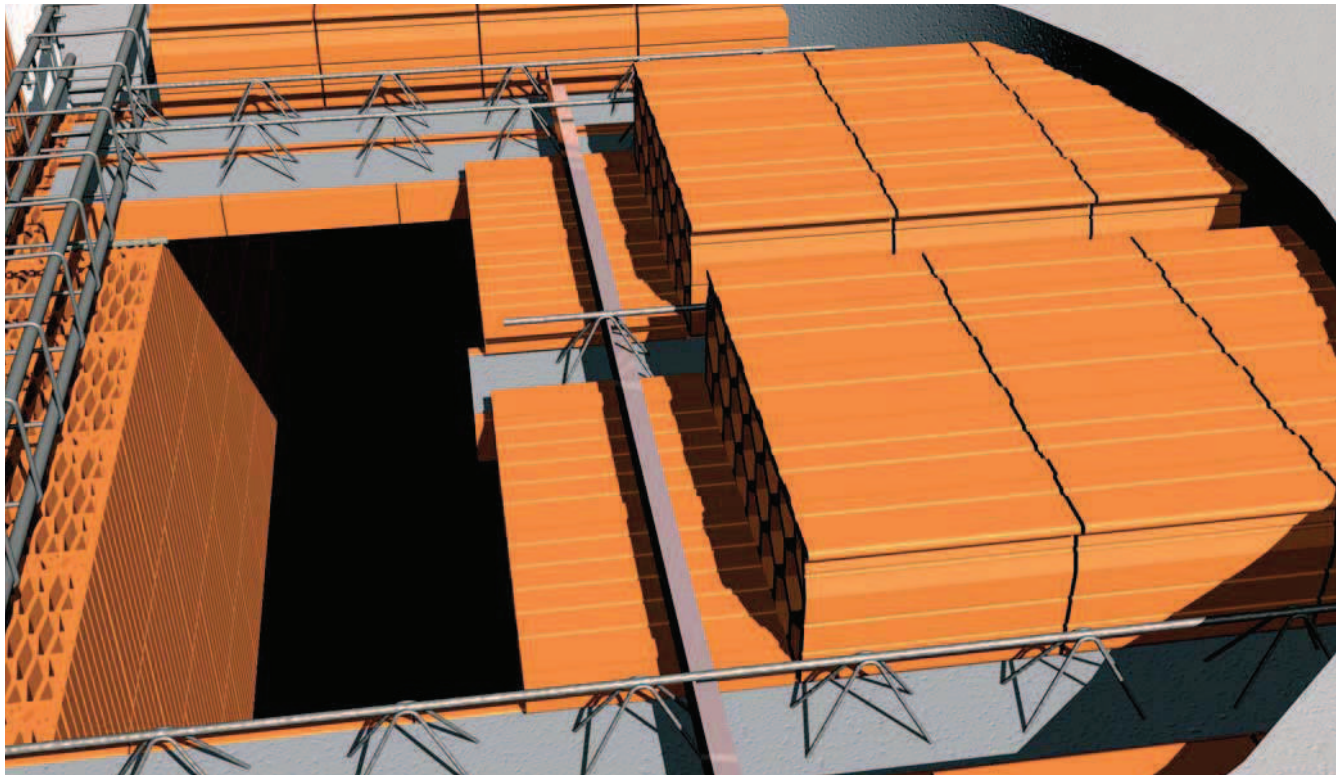
# POROTHERM strop

Příklady použití - komínová výměna, kolmá napojení

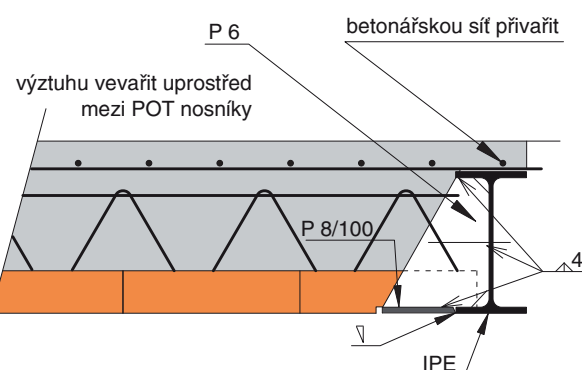
10/10

CE

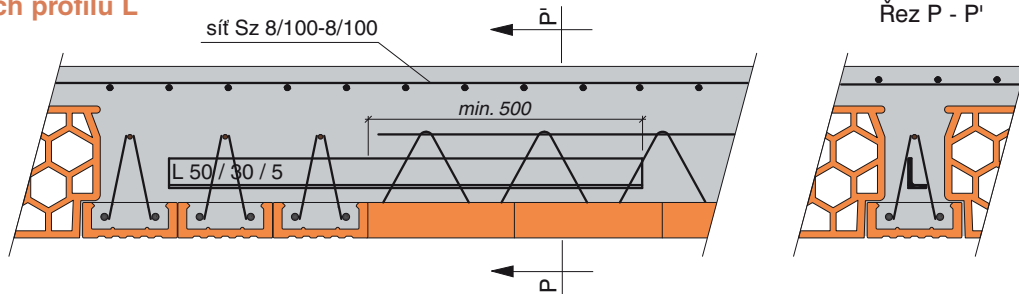
Komínová výměna s válcovaným profilem L



Uložení POT  
na válcovaný profil IPE



Napojení kolmých nosníků  
pomocí válcovaných profilů L

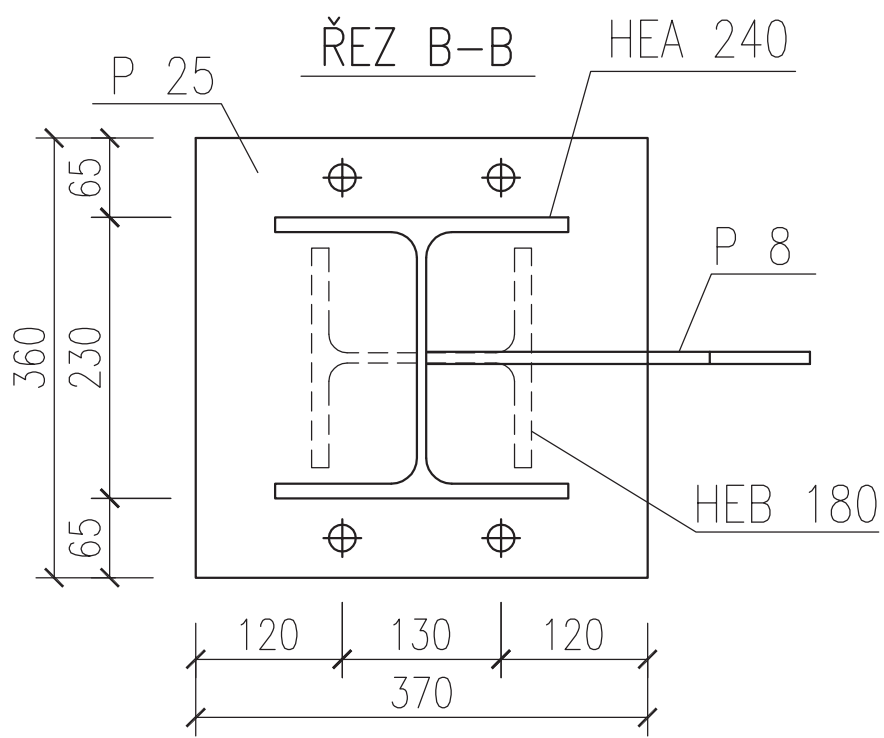
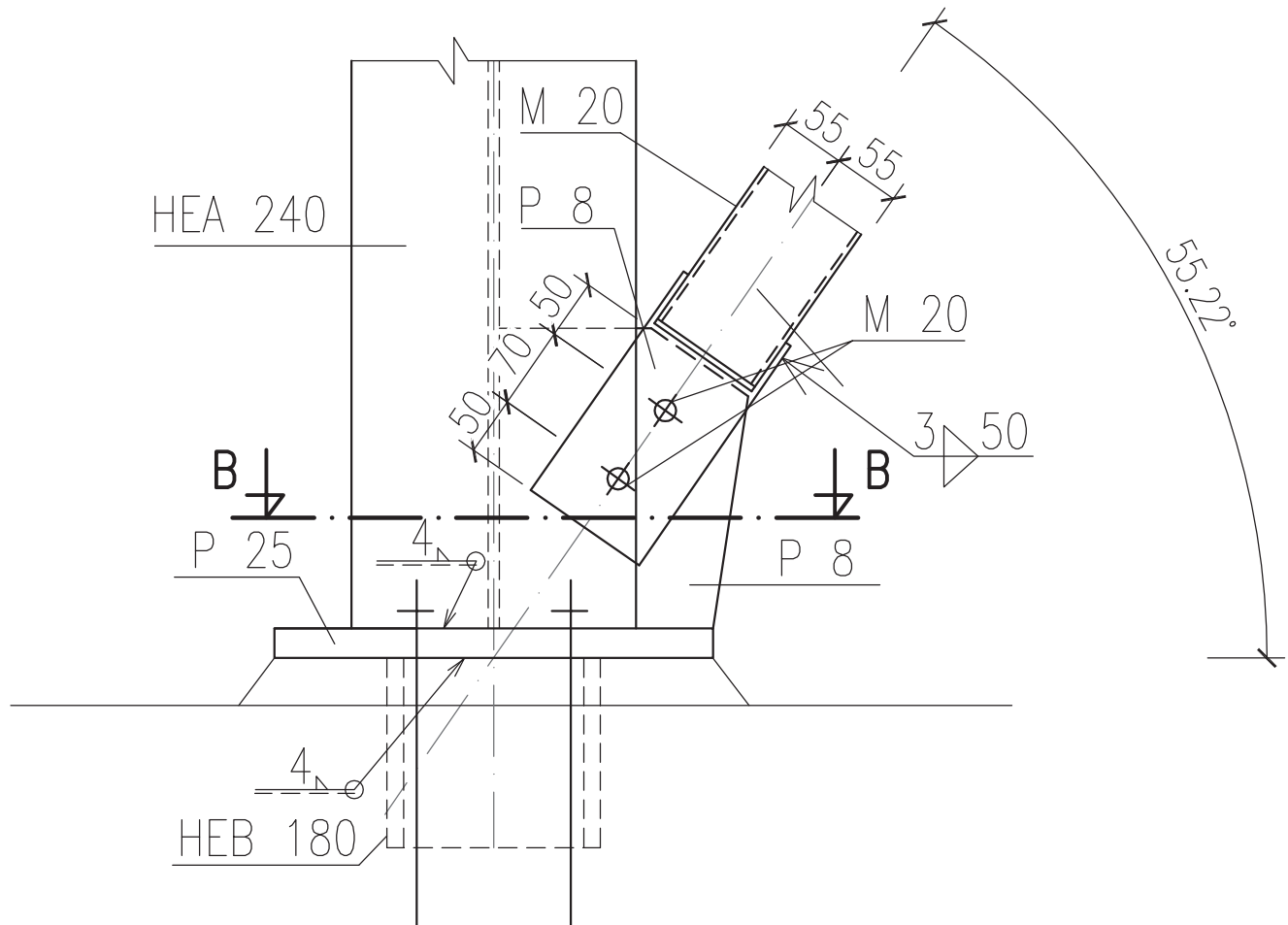


Změny technických údajů vyhrazeny. Odkaz na způsob zabudování (montáž) se rozumí jako doporučení výrobce; toto vychází ze současného stavu našich poznatků ověřených v praxi. Vydáním tohoto informačního listu ztrácejí všechny předchozí svou platnost.

 **POROTHERM**

# PŘÍLOHA 5

DETAIL 1:6 šroubový spoj ztužidla



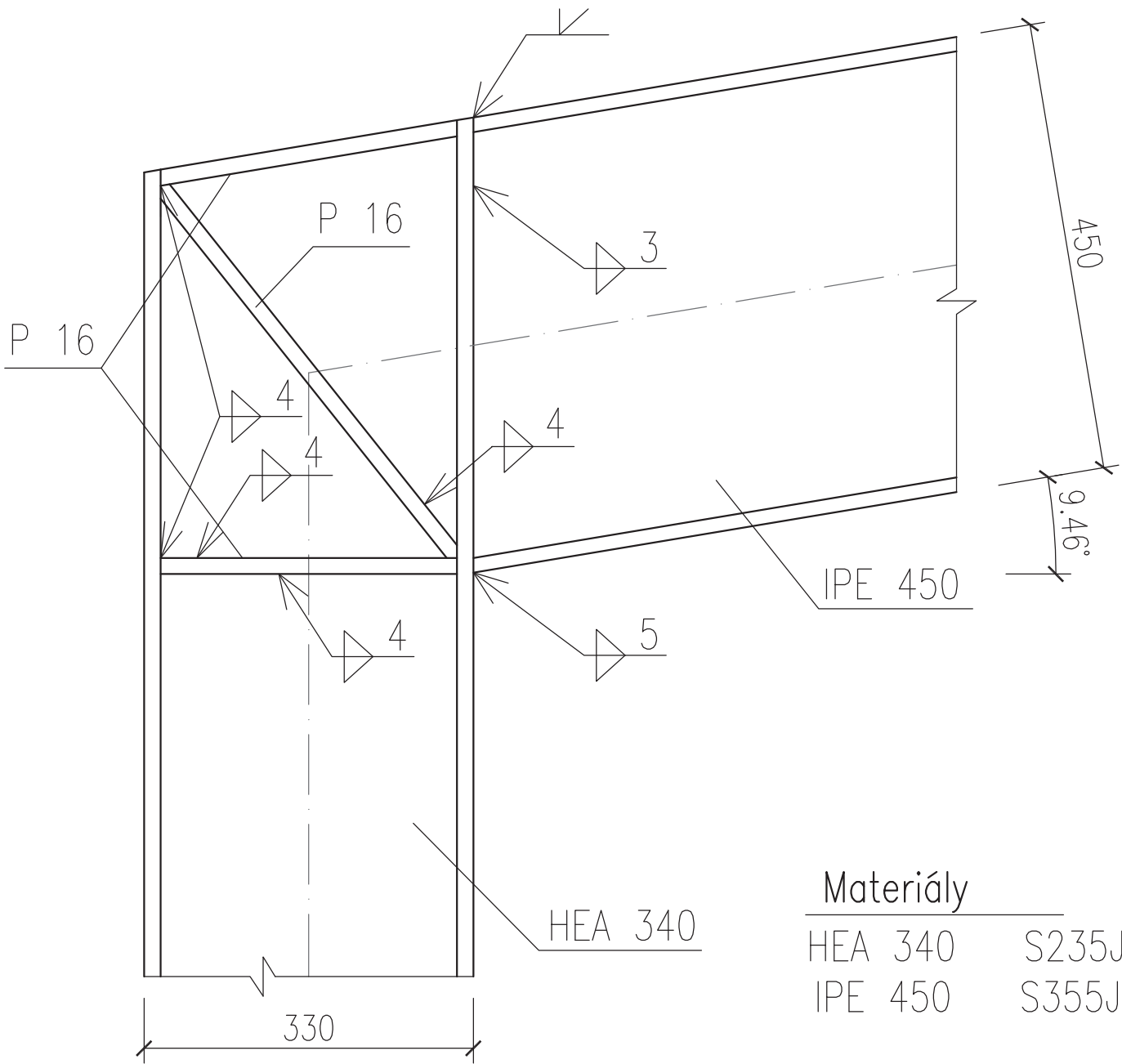
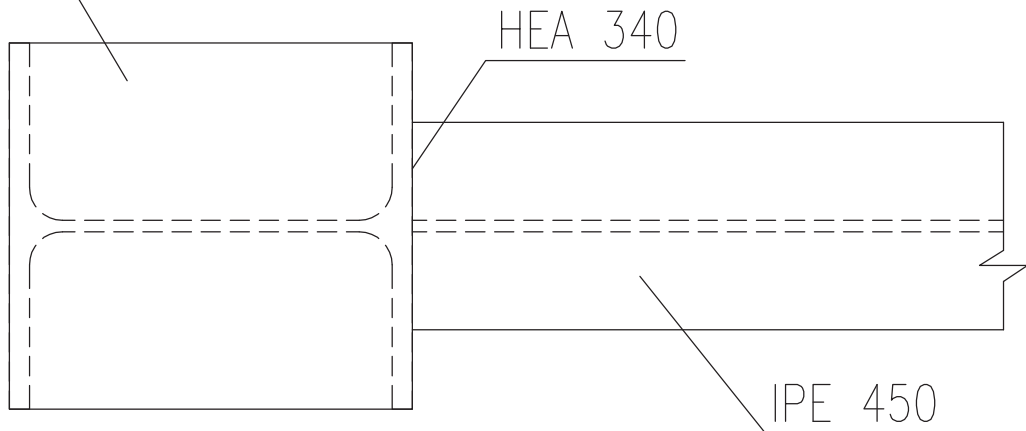
Materiály

OCEL S235J0  
ŠROUBY 5.6

# PŘÍLOHA 6

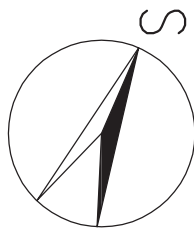
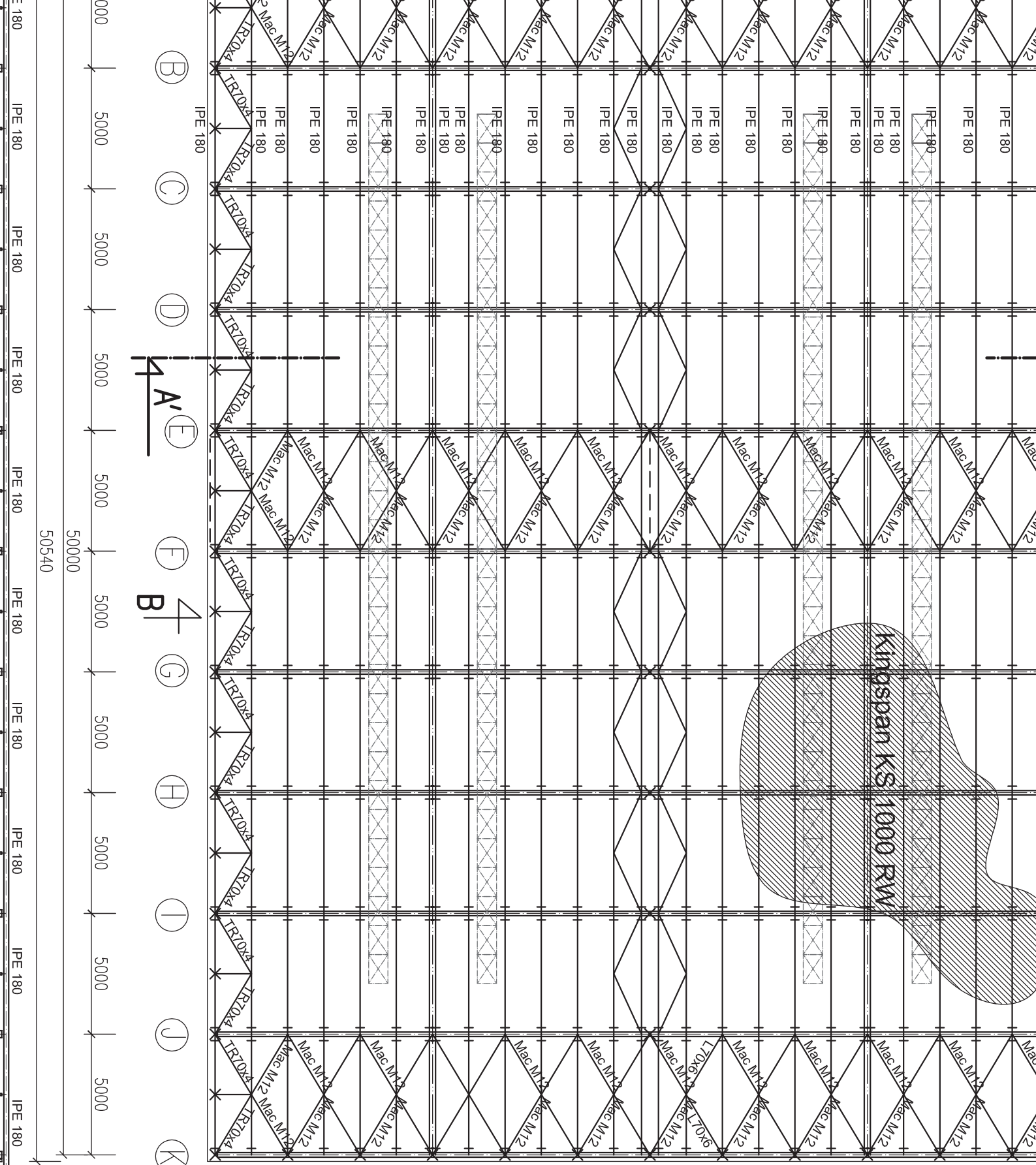
## DETAIL 1:6 rámový roh

P 16

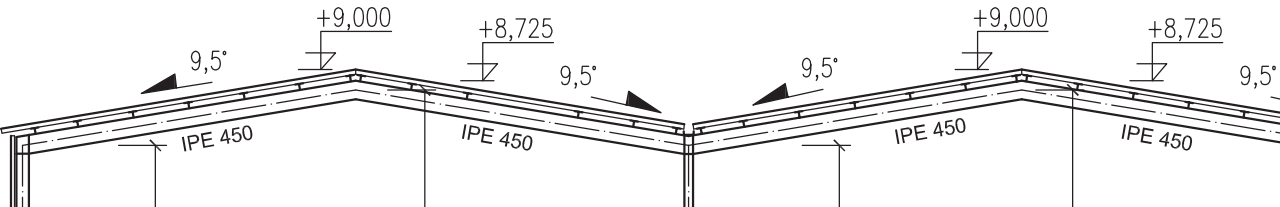


### Materiály

HEA 340	S235J0
IPE 450	S355J0



ŘEZ A-A



# Tension Systems

## Systém konstrukčních táhel Macalloy:

- Macalloy 460 ocelová tálka
- Macalloy S460 tálka z nerezové oceli
- Macalloy spojovací tyčové a lanové systémy z nerezové oceli
- Předpínání pomocí zařízení Macalloy TechnoTensioner



**Macalloy**

# Systémy konstrukčních táhel

Od roku 1948 patří Macalloy Ltd. mezi přední světové společnosti v oblasti návrhu, výroby a dodávek systémů tyčí se závity. Začátkem 80. let se tato společnost stala průkopníkem koncepce konstrukcí s tábly a od té doby určuje směr vývoje nových systémů a technologií v této oblasti.

Nejen rozmanité možnosti využití systémů Macalloy a jejich oblíba u architektů a projektantů, ale především množství úspěšně realizovaných aplikací ukazují, že se společnost Macalloy vydala správným směrem.



**Most Hungerford Bridge**

Architekt:  
Lifschutz Davidson

Projektant:  
WSP / Gifford

Dodavatel:  
Costain Norwesr Holst JV



**Most Millennium Bridge**

## Důvody, proč projektanti i investoři volí systémy Macalloy, lze shrnout do několika bodů:

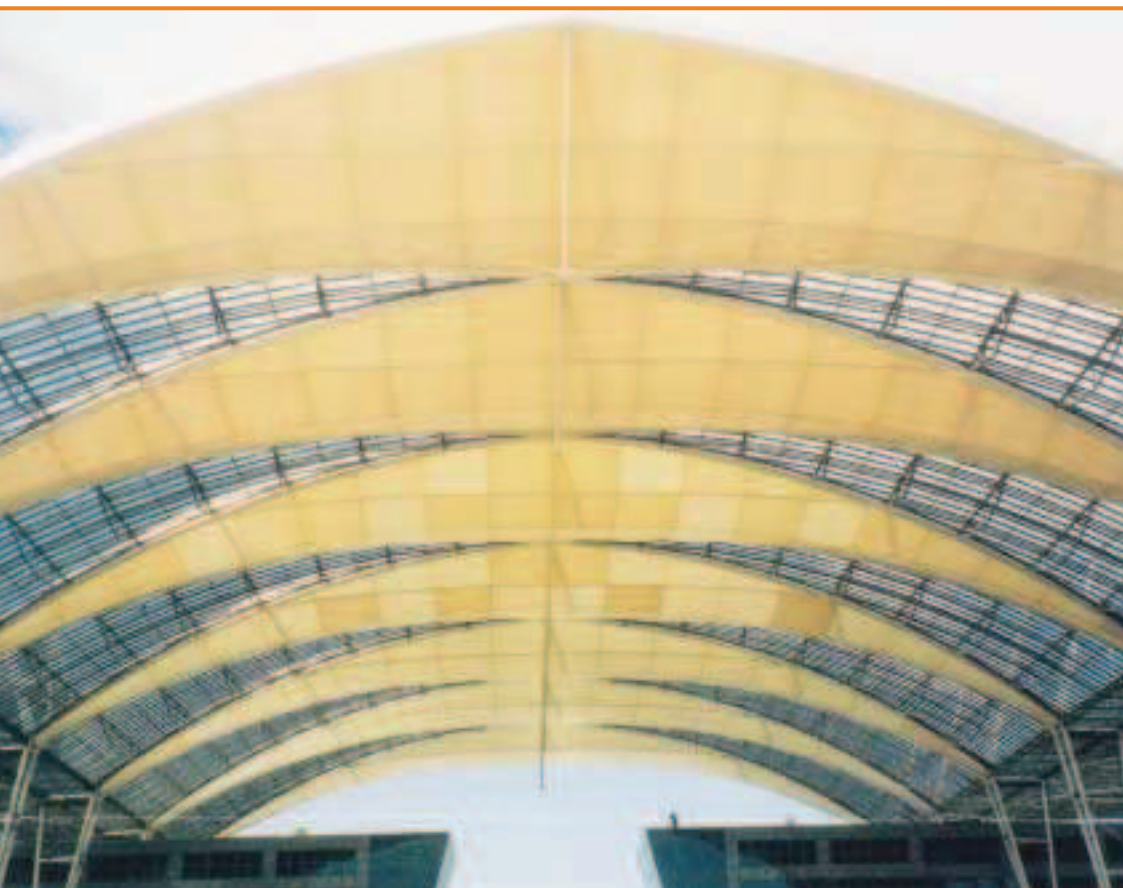
- společnost Macalloy byla první, která vyvinula systém konstrukčních táhel s mezí kluzu 460 MPa,
- společnost Macalloy nabízí širokou škálu tyčových a lanových systémů jak v provedení ocelovém tak i z nerezové oceli,
- společnost Macalloy byla první, která nabídla kónickou krycí pojistnou matici,
- společnost Macalloy jako první nabízí předpínání táhel na volné délce, vyvinula a patentovala předpínací zařízení Macalloy TechnoTensioner.
- jak ukázala řada testů, díky technologii nalisovaných závitů vykazují systémy Macalloy vynikající výsledky při únavovém zatížení,
- společnost Macalloy získala jako první z výrobců táhel certifikát dle ENV 1993-1 (EC3)
- společnost Macalloy má více než 50 let zkušeností v oblasti konstrukčních táhel se závity. Je proto schopna nabídnout rozsáhlou podporu a poradenství projektantům pro zajištění optimálního návrhu.

# Systémy konstrukčních táhel

## Řady konstrukčních táhel

Standardní řadu společnosti Macalloy tvoří systémy:

- táhla z uhlíkové oceli Macalloy 460
- táhla z nerezové oceli Macalloy S460
- spojovací systém táhel Macalloy z nerezové oceli
- spojovací lanový systém Macalloy (lanový systém z nerezové oceli)



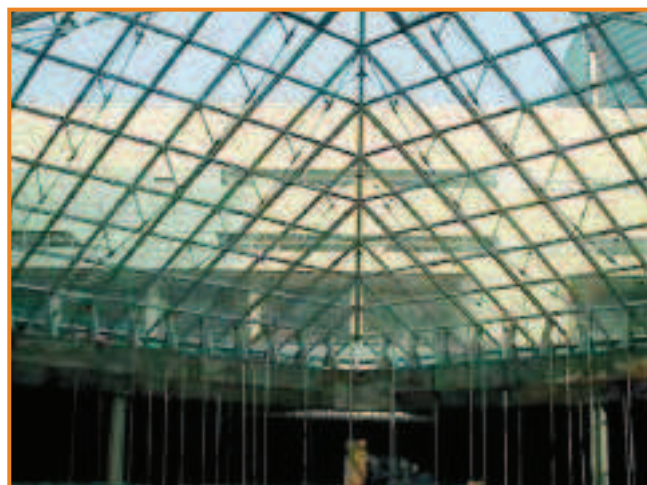
Mnichovské letiště středisko  
(MAC)

Architekt:  
Murphy Jahn

Projektanti:  
Ove Arup & Partner

Dodávka ocelové konstrukce:  
Stahlbau Wolf / Helmut  
Fischer

Společnost Macalloy může navíc nabídnout i systémy přizpůsobené na míru, které vyhoví pro jakoukoliv aplikaci. Náš technický tým je vždy připraven pomoci vám při vývoji nových konstrukcí a umožní vám realizovat vaše projektové požadavky.



Korejské Světové obchodní  
středisko

Architekt:  
WS Atkins

Projektant:  
WS Atkins / Macalloy

Dodavatel:  
Kyungnam Metal Co. Ltd.

# Systém konstrukčních táhel Macalloy 460

## Systém ocelových konstrukčních táhel Macalloy 460

Systém Macalloy 460 je založen na ocelových tyčích z jemnozrnné uhlíkové oceli s mezí kluzu 460 MPa. Díky tomu je systém přibližně o 30 % únosnější než systémy z oceli S355, což umožňuje použití menších průměrů prvků při stejném zatížení.

### Tyče

Tyč Macalloy 460 má následující mechanické vlastnosti:

mez kluzu	460 MPa
mez pevnosti	610 MPa
minimální tažnost	19%
min. hodnota vrub. houževnatosti	27J @ -20 °C
modul pružnosti	205x10 <sup>3</sup> MPa

Je vyrobena ze svařitelné oceli s maximálním uhlíkovým ekvivalentem 0,55 %, takže svařování obloukem může být provedeno za použití standardních technik a nízkovodíkových elektrod.

Do průměru M16 včetně jsou tyče dodávány v maximální délce 6 m. Pro průměry M20 až M100 je maximální délka tyče 11,950 m. Na objednávku je možno vyrobit i delší tyče, ale odběratel musí počítat s delší dodací lhůtou.

Společnost Macalloy je schopna na vyžádání dodat konstrukční systém táhel i z ocelí vyšších pevností, než jsou oceli s mezí kluzu 460 MPa, a to včetně komponentů s únosností odpovídající únosnosti táhel.

### Komponenty

Společnost Macalloy nabízí řadu standardních komponentů: vidlicové nebo klínové koncovky, čepy, spojky a napínáky. Všechny komponenty jsou navrženy a zkonstruovány tak, aby vyhovely únosnosti tyče.

**Koncovky** jsou navrženy pro připojení na plech jakosti S355. Potřebné rozměry plechu jsou uvedeny v tabulce 2. Dodržení těchto rozměrů zajistí plnohodnotný styk.

**Klínové koncovky** jsou navrženy jako protikus k vidlicovým koncovkám. Lze je také připojit mezi dva plechy kvality 355, které mohou spojení s vidlicovou koncovkou nahradit.

**Čepy** připojují koncovky k základní konstrukci a mohou být zajištěny buď pojistnými kroužky nebo architektonickými krytkami.

**Kónické pojistné matice** působí jako kontramatici, zajišťující táhlo a ostatní komponenty ve správné poloze, a současně zakrývají závit na vlastní tyči. Kónické pojistné matice také zajišťují estetický a hladký přechod od komponentu k vlastní tyči. Mohou být použity na libovolné straně napínáku nebo spojky a na zadním konci vidlicové nebo klínové koncovky.

**Spojky a napínáky** představují snadný způsob, jak spojit dvě nebo více tyčí, když jsou táhla delší než maximální délka tyče. Napínáky mohou být dále používány k vnesení požadovaného předpětí do táhla a to za použití zařízení Macalloy TechnoTensioner (podrobněji popsáno v samostatné kapitole).

### Komponenty na zakázku

S ohledem na technicky stále náročnější projekty a požadavky investorů, architektů a projektantů je možné vyrobit i speciální (např. spojovací) kusy na zakázku. Technici firmy jsou připraveni na vývoji těchto speciálních kusů se zákazníky spolupracovat.

### Přípustné odchylky a rektifikace

Přípustné délkové tolerance při řezání pro tyče jsou ±6 mm pro průměry menší než 72 mm a ±25 mm pro větší průměry. Možnost rektifikace délky táhla v závitu je u každé vidlicové nebo klínové koncovky:

- M10 až M56: ± 1 průměru závitu
- M64 až M100: ± 25 mm

Další rektifikaci délky umožňují napínáky:

- M10 až M24: ± 25 mm
- M30 až M100: ± 50 mm

# Systém konstrukčních táhel Macalloy 460

## Ochrana proti korozi

Ve většině případů vyžaduje systém Macalloy 460 antikorozní ochranu. Druh ochrany se řídí typem korozního prostředí, jemuž je systém vystaven, požadavky na vzhled a finačními možnostmi. Mezi nejběžnější systémy ochrany, které jsou k dispozici, patří nátěry a galvanizace.

K zajištění spojitosti protikorozní ochrany po celém prvku je nutné věnovat specifickou péči koncovým spojům a spojům vytvořených spojkami. Proto se doporučuje utěsnit veškeré kónické pojistné matice vhodným těsnícím materiélem. Přesná specifikace je k dispozici na vyžádání.

## Únava

Válcované závity zaručují minimální oslabení průřezové plochy tyče. Navíc při jejich výrobě (na rozdíl od závitů řezaných) nedochází k narušení materiálu vruby a tak vykazují výrobky Macalloy vynikající odolnost proti únavě.

## Schválení

Systém Macalloy 460 byl testován Technickým zkušebním ústavem stavebním Praha, s.p. a schválen v souladu s nařízením vlády č. 163/2002 Sb pro použití v České republice pod č. O10-O10789.

Systém vyhovuje normám

ČSN 73 1401, ČSN ENV 1993-1-1 "Navrhování ocelových konstrukcí" a ČSN ENV 1090-1 "Provádění ocelových konstrukcí".

## Systém konstrukčních táhel Macalloy S460 z nerezové oceli

Macalloy S460 přestavuje konstrukční systém táhel v provedení austenitická/duplexní\* nerezová ocel. Stejně jako systém Macalloy 460 má minimální mez kluzu 460 MPa. Standardně je dodáván v průměrech M10 až M56, ale jako zvláštní položku ho společnost Macalloy dodá i ve větších průměrech (dosud největší průměr byl M76).

\*Tělesa sad čepů nad SPA24 mohou být z martenzitické nerezové oceli.

## Tyč

Mechanické vlastnosti nerezové tyče Macalloy S460 jsou následující:

mez kluzu	460 MPa
mez pevnosti	610 MPa
minimální tažnost	15 %
modul pružnosti	$190 \times 10^3$ MPa

Použitá austenitická nerezová ocel má vynikající vlastnosti vrubové houževnatosti. V případě potřeby může být systém Macalloy S460 vyroben na zakázku také z nerezového materiálu s vyšší pevností, po přidání odpovídajících přísad.

Tyče jsou standardně dodávány v délkách do 7,5 m pro všechny průměry.

## Komponenty

S výjimkou kónické pojistné matice jsou veškeré nerezové komponenty rozměrově stejné jako v provedení se standardní ocelí.

## Styčníkové plechy pro nerez S460

Vidlicovou koncovku lze připojovat buď k styčníkovým plechům z oceli, nebo z nerezové oceli za použití materiálu s pevností odpovídající oceli S355.

Jestliže jsou použity styčníkové plechy z uhlíkové oceli, doporučujeme použít izolační rukávy a podložky pro zamezení bimetalické koroze. V takových případech by měly být dodrženy rozměry podle styčníkového plechu B v tabulce 2. Při vyžádání ceny si také laskavě vyberte vhodné izolační rukávy a podložky.

## Konečná úprava

Veškeré nerezové tyče a komponenty mají povrch Grit 220 (N3), leštěná úprava. V případě požadavku je možná i jiná povrchová úprava.

# Napínání pomocí zařízení Macalloy TechnoTensioner

Společnost Macalloy byla vždy na vysoké technické úrovni v oblasti konstrukčních systémů předpjatých táhel a byla průkopníkem ve vývoji metod jejich předpínání. Její pracovníci si již dlouho uvědomovali potřebu měření velikosti předpětí v táhle a proto bylo vyvinuto pro praktické použití patentované zařízení Macalloy TechnoTensioner.

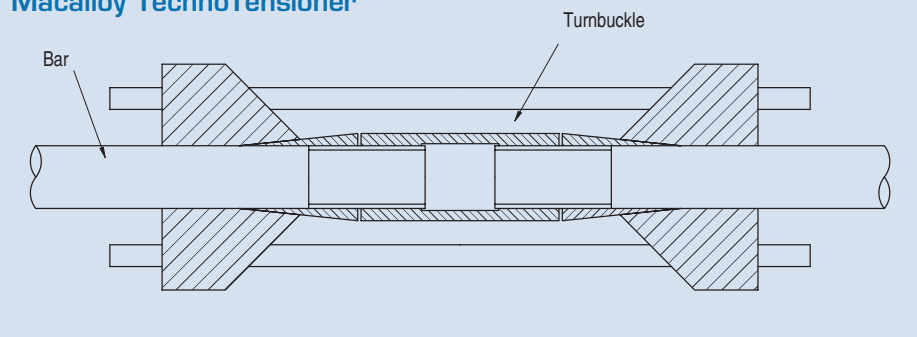
Hydraulická napínací jednotka může být umístěna na standardní napínákový spoj a je připevněna na kónickou pojistnou matici po obou stranách napínáku. Pomocí zařízení TechnoTensioner je pak do táhla vneseno předpětí, měřitelné s přesností  $\pm 2,5\%$ .

Zařízení TechnoTensioner je možno v případě potřeby pronajmout. Nutnou podmínkou jeho použití je ale dozor specialisty, vyškoleného přímo firmou Macalloy.



Zařízení TechnoTensioner  
na londýnském mostě  
Millennium Bridge, VB

## Macalloy TechnoTensioner



Předpínací systém byl původně vyvinut pro projekt 88 Wood Street v Londýně v roce 1997. Od té doby byl úspěšně použit na četných projektech po celém světě např. u staveb:

- Multifunkční aréna Sazka v Praze
- londýnský most Millennium Bridge, VB
- mnichovské letiště středisko, Německo
- Terminal 2 mnichovského letiště, Německo
- most ve Wroklawě, Polsko
- budova Rady Tsing Yi, Hong Kong

- hlavní tribuna Newmarket, VK
- stadion Millennium Stadium, Cardiff, VB
- nádraží Flintholm, Dánsko
- pěší most v Dorenez, Švýcarsko
- pěší most River Tees, Stockton, VB
- velký dvůr Arundel, Londýn, VB
- Mid City Place, Londýn, VB
- centrum Deansgate Centre, Manchester, VB

Důležitá poznámka: pro nerezové systémy by TechnoTensioner měl být používán pouze po konzultaci se společností Macalloy.

## Expo 2000 Brucken, Hannover

Foto:  
Jurgen Schmidt

Architekt:  
gmp, von Gerkan, Marg & Partner

Projektant:  
Schlaich, Bergermann & Partner

Dodavatel ocelové konstrukce:  
Noell Stahl- und Maschinenbau GmbH



Tabulka 1: Vlastnosti táhel Macalloy ve standardním provedení a v nerez provedení

Závit	jednotka	M10	M12	M16	M20	M24	M30	M36	M42	M48	M56	M64	M76	M85	M90*	M100*
Průměr táhla	mm	10	11	15	19	22	28	34	39	45	52	60	72	82	87	97
Minimální mez kluzu	kN	25	36	69	108	156	249	364	501	660	912	1204	1756	2239	2533	3172
Minimální mez pevnosti	kN	33	48	91	143	207	330	483	665	875	1209	1596	2329	2969	3358	4206
Hmotnost táhla	Kg/m	0,50	0,75	1,40	2,20	3,00	4,80	7,10	9,40	12,50	16,70	22,20	32,00	41,50	46,70	58,00

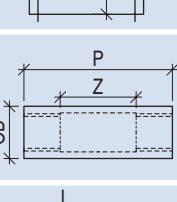
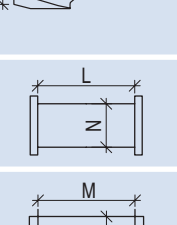
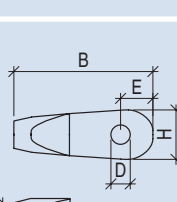
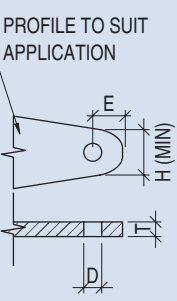
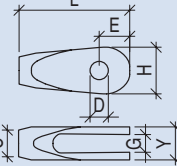


# Macalloy 460

## – systém konstrukčních táhel

**Tabulka 2: Rozměrové parametry systému táhel Macalloy 460**

Závit	Jednotka	M10	M12	M16	M20	M24	M30	M36	M42	M48	M56	M64	M76	M85	M90	M100
Koncovka		FA10	FA12	FA16	FA20	FA24	FA30	FA36	FA42	FA48	FA56	FA64	FA76	FA85	FA90	FA100
L	mm	63	75	99	122	148	178	204	232	266	314	348	410	459	489	555
G (min)	mm	11	12	15	19	24	26	34	39	44	49	59	76	78	86	91
C Dia.	mm	17	19	25	29	35	44	52	60	69	80	91	108	121	129	143
D Dia.	mm	11,5	13	17	21,4	25,5	31,5	37,5	43,5	49,5	57,5	65,5	78,5	91,5	96,5	111,5
E	mm	18	22	29	34	42	53	61	70	81	97	111	132	153	162	188
Y	mm	20	22	28	37	44	50	64	75	87	97	115	146	154	169	174
H	mm	30	34	45	53	64	81	94	109	123	147	169	201	236	248	289
Styčníkový plech A*	GPA10 GPA12 GPA16 GPA20 GPA24 GPA30 GPA36 GPA42 GPA48 GPA56 GPA64 GPA76 GPA85 GPA90 GPA100															
T (tloušťka mat.)	mm	10	10	12	15	20	22	30	35	40	45	55	70	70	80	85
D	mm	11,5	13	17	21,5	25,5	31,5	37,5	43,5	49,5	57,5	65,5	78,5	91,5	96,5	111,5
E	mm	18	22	29	34	42	53	62	71	81	97	111	132	153	162	189
H (min)	mm	30	34	45	53	63	81	95	109	123	147	169	201	236	248	289
Styčníkový plech B**	GPB10 GPB12 GPB16 GPB20 GPB24 GPB30 GPB36 GPB42 GPB48 GPB56															
T (tloušťka mat.)	mm	8	9	12	15	20	22	30	35	45	52					
D	mm	15,5	17	21	25,5	30	36	42	48	55,5	63,5					
E	mm	20	24	31	36	44	55	64	72	83	99					
H (min)	mm	36	40	51	57	67	85	99	113	127	151					
Koncovka	SA10 SA12 SA16 SA20 SA24 SA30 SA36 SA42 SA48 SA56 SA64 SA76 SA85 SA90 SA100															
B	mm	78	92	118	147	174	213	249	284	321	364	408	471	524	555	625
T (min)	mm	8	9	12	15	20	22	30	35	40	45	55	70	72	80	85
C Dia.	mm	17	19	25	29	35	43	52	60	68	80	91	108	121	129	143
D Dia.	mm	11,5	13	17,5	21,5	25,5	31,5	37,5	43,5	49,5	57,5	65,5	78,5	91,5	96,5	111,5
E	mm	18	22	29	34	42	53	62	71	81	97	111	132	153	162	189
H	mm	30	34	45	53	63	81	95	109	123	147	169	201	236	248	289
Čep	PA10 PA12 PA16 PA20 PA24 PA30 PA36 PA42 PA48 PA56 PA64 PA76 PA85 PA90 PA100															
P Dia.	mm	10,5	12	16	20	24	29	35	41	47	55	63	76	90	93	108
L	mm	22	24	30	39	46	52	66	78	91	100	120	151	155	175	180
Čep	PE10 PE12 PE16 PE20 PE24 PE30 PE36 PE42 PE48 PE56 PE64 PE76 PE85 PE90 PE100															
P Dia.	mm	10,5	12	16	20	24	29	35	41	47	55	63	76	90	93	108
M	mm	22	24	30	39	46	52	66	78	91	100	120	151	155	175	180
Napínák	TA10 TA12 TA16 TA20 TA24 TA30 TA36 TA42 TA48 TA56 TA64 TA76 TA85 TA90 TA100															
O/D	mm	17	19	25	29	35	43	52	60	68	80	91	108	121	129	143
Z	mm	50	50	50	50	100	100	100	100	100	100	100	100	100	100	100
P	mm	74	78	86	90	98	160	172	184	196	212	228	252	270	280	300
Spojka	CA10 CA12 CA16 CA20 CA24 CA30 CA36 CA42 CA48 CA56 CA64 CA76 CA85 CA90 CA100															
O/D	mm	17	19	25	29	35	43	52	60	68	80	91	108	121	129	143
L	mm	25	29	37	45	53	65	77	89	101	117	133	157	175	185	205
Krytka	LC10 LC12 LC16 LC20 LC24 LC30 LC36 LC42 LC48 LC56 LC64 LC76 LC85 LC90 LC100															
X Dia.	mm	16	18	24	28	34	42	51	59	67	79	90	107	120	128	142
L	mm	48	48	56	60	74	105	111	117	123	136	144	156	165	170	180
Nerezová krytka	LCS10 LCS12 LCS16 LCS20 LCS24 LCS30 LCS36 LCS42 LCS48 LCS56															
X Dia.	mm	16	18	24	28	34	42	51	59	67	79	90	107	120	128	142
L	mm	48	48	50	55	65	90	100	100	100	105					



\* Standardní ocelový styčníkový plech S355 nebo styčníkový plech ekvivalentní pevnosti

\*\* Pro použití s izolačním rukávem nebo podložkou

# Tyčové a lanové spojovací systémy Macalloy:

Tyčové a lanové systémy Macalloy zahrnují řadu architektonických tyčových a lanových systémů z nerezové oceli.

Mezi typické aplikace patří:

- membránové střešní konstrukce
- lehké ocelové konstrukce
- lávky a mostky pro pěší
- skleněné fasády
- zábradlí

S ohledem na mechanické a chemické vlastnosti nerezové oceli u nich není nutná dodatečná protikorozní ochrana, takže odpadají nákladné nátěrové systémy a s nimi spojená dlouhodobá údržba.

## Spojovací tyčové táhlo Macalloy

### Tyč

Spojovací tyč Macalloy má mez kluzu 315 MPa pro menší průměry a 205 MPa pro větší průměry. Podobně se mez pevnosti pohybuje mezi 600 MPa a 510 MPa. Minimální tažnost je 15 %.

Výše uvedené hodnoty jsou standardní. Kromě toho společnost Macalloy často konstruuje a dodává i nestandardní systémy s vyšší únosností, a to za použití prutů tažených za studena s příslušnými přísadami pro zajištění únosnosti tyče.

Tyč je k dispozici standardně v délkách do 6m pro všechny průměry. Dodávka větších délek je možná na základě speciální objednávky, avšak tyto dodávky mohou mít delší dodací lhůty. Tyče lze také libovolně nastavovat spojkami, a to bez snížení jejich únosnosti.

### Komponenty

Všechny komponenty jsou zhotoveny z austenitické nerezové oceli jakosti 316. Standardní řada komponentů zahrnuje **koncovky, čepy, spojky a matice**.

Veškeré koncovky a čepy jsou navrženy a zkonstruovány tak, aby odpovídaly minimální mezi kluzu a pevnosti táhel, jak je uvedeno v tabulce 3, při použití odpovídajících styčníkových plechů.

Tam, kde je třeba dodatečná rektifikace, mohou být dodány napínáky.

### Styčníkové plechy

Stejně jako u nerezové řady Macalloy S460, veškeré koncovky mohou být připojeny k ocelovým nebo nerezovým styčníkovým plechům s pevností odpovídající oceli S275.

Tam, kde jsou používány styčníkové plechy z uhlíkové oceli, doporučujeme izolační rukávy a podložky pro zabránění bimetalické koruze. Rozměry styčníkových plechů s izolací i bez izolace jsou uvedeny v tabulce 4. Rozměry styčníkových plechů s izolací je nutno konzultovat.

### Povrchová úprava

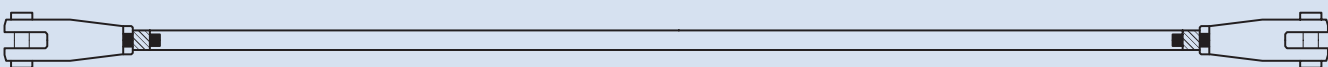
Veškeré komponenty jsou dodávány v leštěné úpravě [N1]. Tyč má povrch Grit 220 (N3), leštěná úprava.

### Rektifikace

Možnost délkové rektifikace u každého konce vidlicové koncovky je  $\pm 1$  průměr závitu. Tyč je vybavena opačnými závity na obou koncích, takže systém může být rektifikován otáčením tyče na místě i po jejím zakotvení.

**Tabulka 3: Vlastnosti kotvícího spojovacího tyčového systému Macalloy**

Závit	Jednotka	1/4	5/16	3/8	7/16	1/2	5/8	3/4	7/8	1	1 1/8	1 1/4	1 3/8
Průměr táhla	mm	6,4	8	9,5	11	12,7	16	19	22	25,4	28,6	31,8	34,9
Minimální mez kluzu	kN	7,1	11,4	17,3	23,4	31,7	38	59	69	90	100	140	171
Minimální mez pevnosti	kN	13,50	21,7	33	44,6	60,3	92	140	164	213	226	348	427
Hmotnost táhla	Kg/m	0,25	0,39	0,56	0,76	0,99	1,55	2,24	3,04	3,98	5,03	6,21	7,52



# Tyčové a lanové spojovací systémy Macalloy:

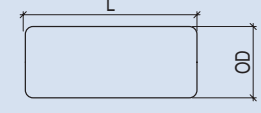
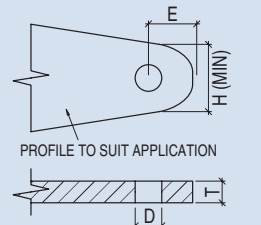
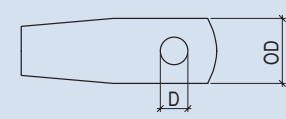
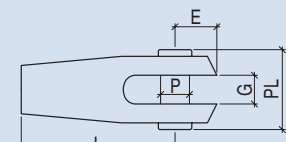


Oxford House, Hong Kong

Architekt:  
Wong & Ouyang HK

**Tabulka 4: Rozměrové parametry tyčového spojovacího systému**

Závit	Jednotka	1/4	5/16	3/8	7/16	1/2	5/8	3/4	7/8	1	1 1/8	1 1/4	1 3/8
Průměr táhla mm		6,4	8	9,5	11	12,7	16	19	22,0	25,4	28,6	31,8	34,9
Koncovka táhla		FB6	FB8	FB10	FB11	FB12	FB16	FB19	FB22	FB25	FB28	FB32	FB35
L mm		37	46,5	56	63	71	87	108	117	133	149	170	186
G mm		7	8,5	10	12	14	17	21	24	27	30	35	37
D Dia. mm		6,9	8,5	9,5	11,8	13,1	16,4	19,5	20,4	26,0	27,6	33,6	36,0
E mm		8,5	11,5	12	18	17,5	21	26,5	31,5	36,0	43,0	48,0	52,0
OD mm		16	19	22,2	28,6	31,8	38,1	47,5	50,8	57,2	63,5	76,2	82,5
P Dia. mm		6,4	8	9	11,4	12,5	15,5	18,8	19,8	25,5	27,3	32,0	35,2
PL mm		21,6	25,3	27,7	34,1	38,3	44,6	56,1	61,4	69,8	76,1	92,0	98,0
Styčníkový plech		GP6	GP8	GP10	GP11	GP12	GP16	GP19	GP22	GP25	GP28	GP32	GP35
T (tloušťka mat.) mm		6	6	8	10	12	15	16	20,0	25,0	25,0	30,0	35,0
D Dia. mm		9	10	12,5	14,5	16,5	19	21	26,5	28,5	33,0	36,5	
E mm		11	15	17	20	22	23	30	28,0	32,0	35,0	40,0	44,0
H mm		17	24	27	30	34	36	46	46,0	52,0	57,0	66,0	71,0
Spojka		CB6	CB8	CB10	CB11	CB12	CB16	CB19	CB22	CB25	CB28	CB32	CB35
L mm		25	30	35	40	45	55	65	75	85	95	105	120
OD mm		10	12	16	16	19	22	28	32	35	41	44	50



# Tyčové a lanové spojovací systémy Macalloy:

## Spojovací lanový systém Macalloy

### Lano

Zatížené lano prodělává dva druhy protažení: trvalé prvotní protažení a běžné elastické protažení. První z nich závisí na konstrukci lana a je způsobeno tím, že se jednotlivé dráty ukládají pod zatížením do své nové polohy. Toto prvotní protažení může být mezi 0,10 a 0,75 % délky lana, a to v závislosti na velikosti zatížení (popřípadě na jeho proměnlivosti u opakovaných zatížení) a mělo by být při návrhu táhel vždy bráno v úvahu.

Společnost Macalloy nabízí 3 různé druhy lan.

Nejběžněji používané lano je **jednopramenné vinuté 1 x 19**. Dráty jsou v hladkém lesklém provedení a lano vykazuje průměrné hodnoty prvotního protažení.

**Kompaktní pramen** nabízí oproti běžnému lalu (1x19) zvýšení pevnosti o 30 % a daleko nižší prvotní protažení. Také má vyšší modul pružnosti, díky čemuž je ideální pro použití tam, kde je vyžadována vysoká pevnost a nízké protažení lanových prvků.

**Šestipramenné lano s drátěnou duší 7 x 19** je zkonztruováno ze 7 pramenů, z nichž každý je tvořen 19 dráty. Představuje nejméně tuhé lano, které je ideální v případech, kdy je primárním požadavkem jeho ohebnost a poddajnost.

### Modul pružnosti lana

Jednotlivé druhy lan mají následující přibližné hodnoty modulu pružnosti (E):

pramen 1 x 19	107 kN/mm <sup>2</sup>
kompaktní pramen	133 kN/mm <sup>2</sup>
šestipramenné lano (7 x 19)	85 kN/mm <sup>2</sup>

Elastické protažení (d) lana může být vypočítáno pomocí následující rovnice:

$$d = \frac{\text{zatížení (kN)} \times \text{délka (mm)}}{E (\text{kN/mm}^2) \times \text{průrezová plocha (mm}^2)}$$

Výše uvedené hodnoty E jsou průměrné a víceméně empirické. Žádné lano se nebude chovat zcela elasticky a skutečná hodnota E se bude v důsledku toho měnit i pro jediné lano pro různá rozmezí napětí. Přesnější hodnoty tuhosti proto mohou být vypočteny pouze pro přesně definovaný případ. Další podrobnosti lze získat po konzultaci s technickým oddělením.

### Komponenty

Stejně jako u kotvíčitého tyčového systému jsou všechny komponenty vyrobeny z austenitické nerezové oceli jakosti 316. Koncovky jsou upevněny na koncích lan a mají vždy vyšší únosnost než spojované prvky. Kvůli zajištění správné délky lana je montáž koncovek většinou prováděna přímo v továrně.

Všechny komponenty uvedených lanových systémů jsou navrženy a zkonstruovány tak, aby vyhovovaly únosnosti jednopramenného lana 1 x 19. Pokud budete používat kompaktní pramen (s vyšší únosností), poradte se laskavě s technickým oddělením společnosti Macalloy ohledně potřebné velikosti komponentů, aby vyhovely požadavku vyšší únosnosti než připojované lano.

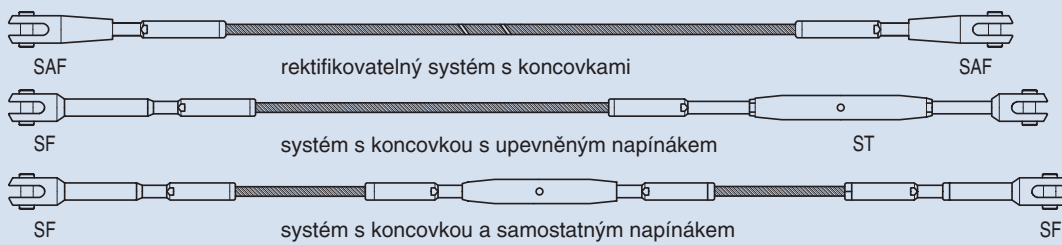
Jak je podrobně uvedeno v tabulce 5, existují 3 druhy standardních táhel:

- rektifikovatelný systém s koncovkami
- systém s koncovkou s upevněným napínákiem
- systém s koncovkou a samostatným napínákiem

Rozměry jsou podrobně uvedeny v tabulce 6. Další komponenty a délce jsou k dispozici na vyžádání.

**Tabulka 5: Maximální zatížení lanového systému Macalloy**

Průměr lana	mm	3	4	5	6	7	8	10	12	14	16	19	22	26
Jednopramenné vinuté lano 1 x 19	kN	7,1	12,6	19,6	28,2	34,8	45,5	71,1	102,0	139,0	182,0	212,0	285,0	398,0
Kompaktní pramen	kN		17,4	23,9	34,8	48,1	60,3	95,0	141,2	189,2	251,0	313,7		
Šestipramenné lano s drátěnou duší	kN	5,0	8,9	13,9	20,0	27,3	35,6	55,6	80,0	109,0	143,1			



# Tyčové a lanové spojovací systémy Macalloy:

**Tabulka 6: Rozměrové parametry kotvícího spojovacího systému**

Průměr lana	mm	3	4	5	6	7	8	10	12	14	16	19	22	26
Rektifikovatelná vidlicová koncovka	SAF3	SAF4	SAF5	SAF6	SAF7	SAF8	SAF10	SAF12	SAF14	SAF16	SAF19	SAF22	SAF26	
L	mm	111	122	150	180	201	213	282	332	350	400	434	509	572
Rektifikovatelnost	mm	12	12	16	20	22	22	32	36	36	45	45	55	60
G	mm	7	7	8,5	10	12	12	17	21	21	26,5	26,5	35	36,5
D Dia.	mm	6,9	6,9	8,5	9,5	11,8	11,8	16,4	19,5	19,5	26,0	26,0	33,6	36,0
E	mm	8,5	8,5	11,5	12,0	18,0	18,0	21,0	26,5	26,5	36,0	36,0	48,0	52,0
OD	mm	16,0	16,0	19,0	22,2	28,6	28,6	38,1	47,5	47,5	57,2	57,2	76,2	82,5
P Dia.	mm	6,4	6,4	8,0	9,0	11,4	11,4	15,5	18,8	18,8	25,5	25,5	32,0	35,2
PL	mm	21,6	21,6	25,3	27,7	34,1	34,1	44,6	56,1	56,1	69,8	69,8	92,0	98,0
Styčníkový plech		GP6	GP6	GP8	GP10	GP11	GP11	GP16	GP19	GP19	GP25	GP25	GP32	GP35
T (tloušťka mat.)	mm	6	6	6	8	10	10	15	16	16	25	25	30	35
D Dia.	mm	7	7	9	10	12,5	12,5	16,5	19	19	26,5	26,5	33	36,5
E	mm	11	11	15	17	20	20	23	30	30	32	32	40	44
H	mm	17	17	24	27	30	30	36	46	46	52	52	66	71
Vidlicová koncovka		SF3	SF4	SF5	SF6	SF7	SF8	SF10	SF12	SF14	SF16	SF19	SF22	SF26
L	mm	70	83	97	113	128	140	174	227	258	295	342	391	451
G	mm	6,3	8	10	11	12,7	12,7	16	19	22,2	25,4	28,6	32	35
D Dia.	mm	6,1	8,1	9,7	11,2	12,1	12,1	16,1	19,2	22,4	25,7	28,5	32,2	35,2
E	mm	7	9	11	12	15	15	18	23	26	31	33	39	43
OD	mm	14,3	18	22,2	25,4	28,6	28,6	38,1	47,6	54	63,5	69,9	76,2	82,5
P Dia.	mm	5,9	7,9	9,5	10,8	11,8	11,8	15,8	18,7	21,9	25,1	27,9	31,6	34,6
PL	mm	20,4	24,3	29,6	33	37	37	47,6	57,6	63,7	75	81,1	91,1	97,7
Upevněný napínák		ST3	ST4	ST5	ST6	ST7	ST8	ST10	ST12	ST14	ST16	ST19	ST22	ST26
L	mm	206	237	287	319	375	400	482	577	656	761	870	965	1105
Rektifikovatelnost	mm	32	37	47	50	62	62	65	77	90	105	120	132	145
G	mm	6,3	8	10	11	12,7	12,7	16	19	22,2	25,4	28,6	32	35
D Dia.	mm	6,1	8,1	9,7	11,2	12,1	12,1	16,1	19,2	22,4	25,7	28,5	32,2	35,2
E	mm	7	9	11	12	15	15	18	23	26	31	33	39	43
OD	mm	14,3	18	22,2	25,4	28,6	28,6	38,1	47,6	54	63,5	69,9	76,2	82,5
P Dia.	mm	5,9	7,9	9,5	10,8	11,8	11,8	15,8	18,7	21,9	25,1	27,9	31,6	34,6
PL	mm	20,4	24,3	29,6	33	37	37	47,6	57,6	63,7	75	81,1	91,1	97,7
Zabudovaný napínák		IT3	IT4	IT5	IT6	IT7	IT8	IT10	IT12	IT14	IT16	IT19	IT22	IT26
L	mm	230	265	275	360	420	445	545	670	780	900	1020	1150	1325
Rektifikovatelnost	mm	32	37	47	50	62	62	65	77	90	105	120	132	145

# MULTIFUNKČNÍ ARÉNA SAZKA



## Místní zastoupení společnosti Macalloy Ltd:

**Tension Systems, s.r.o.**

Ocelářská 35/1354

190 00 Praha 9

tel.: +420 284 080 290, +420 284 080 291

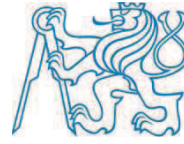
fax: +420 284 080 292

e-mail: schlossbauer@tension.cz

internet: [www.tension.cz](http://www.tension.cz)



Tato publikace uvádí technické podrobnosti aktuálně používané společností Macalloy Ltd při výrobě svých komponentů. Společnost si vyhrazuje právo upravovat technické detaily jak a kde bude nezbytné, v souladu se svojí politikou trvalého vývoje.



## ČESKÉ VYSOKÉ UČENÍ TECHNICKÉ V PRAZE

---

Fakulta stavební

K134 Katedra ocelových a dřevěných konstrukcí

BAKALÁŘSKÁ PRÁCE

### POSOUZENÍ KONSTRUKCE ZA ZVÝŠENÉ TEPLITO

Studijní program: Stavební inženýrství  
Studijní obor: Požární bezpečnost staveb  
Vedoucí práce: Ing. Michal Netušil, Ph.D.

**Jan Předota**

---

**Praha 2013**

## **Obsah**

1.	ÚVOD .....	3
2.	VÝCHOZÍ A POUŽITÉ PODKLADY, ČSN A PRÁVNÍ PŘEDPISY.....	3
3.	SEZNAM ZKRATEK .....	3
4.	TEPLOTNÍ ANALÝZA POŽÁRNÍHO ÚSEKU .....	4
5.	STŘEŠNÍ VAZNICE .....	7
6.	PŘÍČNÝ RÁM.....	9

## **Přílohy**

PŘÍLOHA 1- Výkres č. 5, Primární nosná konstrukce

PŘÍLOHA 2- Výkres č. 7, Výkres požární ochrany

PŘÍLOHA 3 – Report parametrické křivky dle OZone V 2.2.5

## **1. ÚVOD**

V této části budou posouzeny vybrané prvky nosné konstrukce haly za mimořádné návrhové situace. Mimořádnou návrhovou situací je v tomto případě požár v požárním úseku N1.1 (sklad nábytku). Tento posudek bude podkladem pro optimalizaci návrhu protipožární ochrany daných ocelových prvků.

V požárně bezpečnostním řešení byla navržena ochrana v podobě protipožárního nátěru s odpovídající požární odolností. V této části bude určena doba požární odolnosti konstrukce bez protipožárního nátěru a porovnána s požadovanou dobou požární odolnosti. Následně bude stanoveno, zdali je nátěr nutný či nikoli.

## **2. VÝCHOZÍ A POUŽITÉ PODKLADY, ČSN A PRÁVNÍ PŘEDPISY**

- [1] ČSN EN 1990 - Zásady navrhování konstrukcí
- [2] ČSN EN 1991-1-1 - Zatížení konstrukcí, Obecná zatížení, Objemové tíhy, vlastní tíha a užitná zatížení pozemních staveb
- [3] ČSN EN 1991-1-2 - Zatížení konstrukcí, Obecná zatížení, Zatížení konstrukcí vystavených účinku požáru
- [4] ČSN EN 1991-1-3 – Obecná zatížení, Zatížení sněhem
- [5] ČSN EN 1991-1-4 – Obecná zatížení, Zatížení větrem
- [6] ČSN EN 1993-1-1 - Navrhování ocelových konstrukcí, Obecná pravidla a pravidla pro pozemní stavby
- [7] ČSN EN 1993-1-2 - Navrhování ocelových konstrukcí- obecná pravidla- navrhování konstrukcí na účinky požáru
- [8] Prof. Ing. F. Wald, CSc. A kolektiv - Výpočet požární odolnosti stavebních konstrukcí – Vydalo České vysoké učení technické v Praze – ISBN 80-01-03157-8
- [9] Ing. Z. Sokol, Ph.D., prof. Ing. F. Wald, CSc. - OCELOVÉ KONSTRUKCE. Tabulky – Vydalo České vysoké učení technické v Praze – 2010

## **3. SEZNAM ZKRATEK**

ČSN = česká státní norma, NP = národní příloha, KZS = kombinace zatěžovacích stavů,  
MSP = mezní stav použitelnosti, MSÚ = mezní stav únosnosti,

## **4. TEPLITNÍ ANALÝZA POŽÁRNÍHO ÚSEKU**

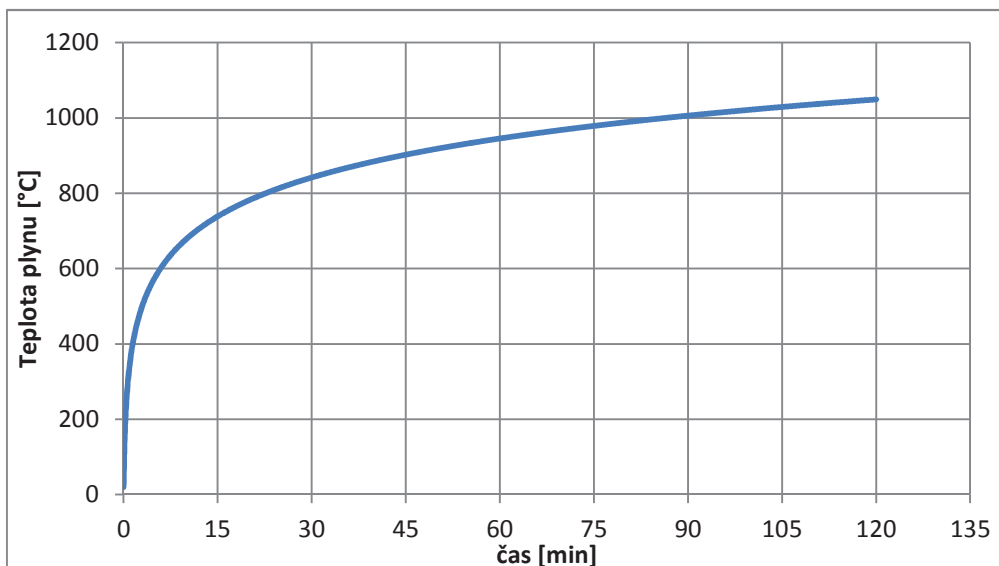
Při volbě vhodného modelu požáru byly zváženy dvě možné varianty. První je případ, kdy se požár rozšíří po celém požárním úseku N1.1. V takovém případě se k modelování teplot v požárním úseku používají nominální nebo parametrické křivky. Jedná se o zjednodušené modely požáru, které nezohledňují takové množství vstupních parametrů a mohou být v častých případech konzervativní.

Nominální křivky jsou nejjednodušší pomůckou pro určování teplot v požárním úseku. V tomto případě je možné užit nominální normovou křivku označovanou jako ISO 834. Parametrické křivky zohledňují rozměrové poměry v daném požárním úseku a další parametry, pomocí kterých můžeme určit reálnější průběh teplot při požáru. Níže jsou uvedeny teploty plynu dle křivky ISO 834 a parametrické křivky.

### **4.1. NOMINÁLNÍ NORMOVÁ KŘIVKA ISO 834**

Průběh teploty plynu v požárním úseku vychází při modelování požáru pomocí nominální normové křivky z následující rovnice:

$$\theta_g = 20 + 345 \log_{10} (8t + 1)$$



Graf 1 - Nominální normová teplotní křivka ISO 834

#### **4.2. PARAMETRICKÁ KŘIVKA DLE OZONE V 2.2.5**

Pro modelování požáru parametrickou křivkou bylo užito softwaru **Ozone V 2.2.5**.

Software byl vytvořen autory Cadorin J.F., Franssen J.M., Pintea D. I. na Universitě v Liege ve spolupráci s Cajot L.G. , Haller M. , Schleich J. B. v Arcelor Profil Luxembourg Research Centre.

Software využívá tzv. zónových modelů požáru. Jedná se o numerické metody určování průběhu teplot v požárním úseku při požáru. Ozone automaticky přepíná mezi dvouzónovým a jednozónovým modelem.

Vstupní data parametrické křivky zohledňují poměry v požárním úseku včetně materiálových vlastností ohraničujících konstrukcí a vlastnosti předpokládaného požáru. Bezpečnostními součiniteli lze také zohlednit požárně bezpečnostní zařízení a rychlosť zásahu jednotek požární ochrany. Základní vstupní údaje jsou uvedeny níže. Podrobný report je v PŘÍLOZE 1.

#### **Vstupní parametry teplotní křivky dle Ozone V 2.2.5:**

##### Požární úsek N1.1

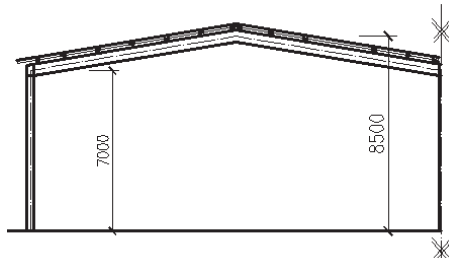
délka PÚ = 50,3 m

šířka PÚ = 18,4 m

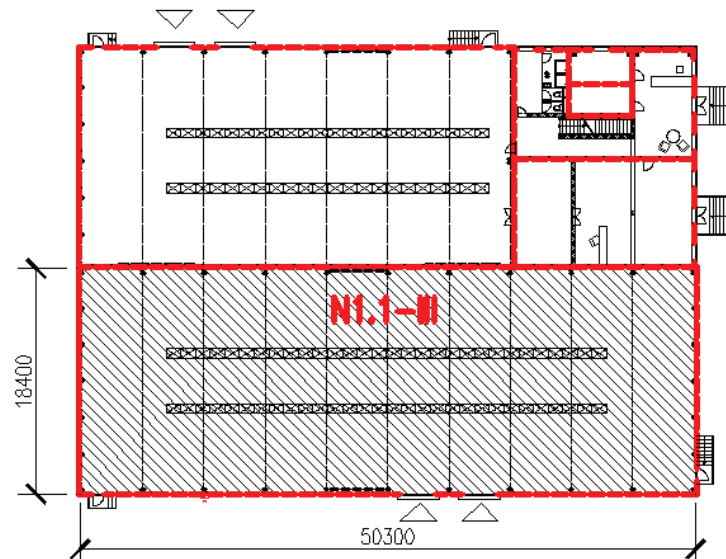
výška PÚ = 7 m

výška střechy = 1,5 m

Plocha POP = 2\*0,8\*36 m



Obr. 1 Řez PÚ N1.1



Obr. 2 Půdorys PÚ N1.1

##### Požár

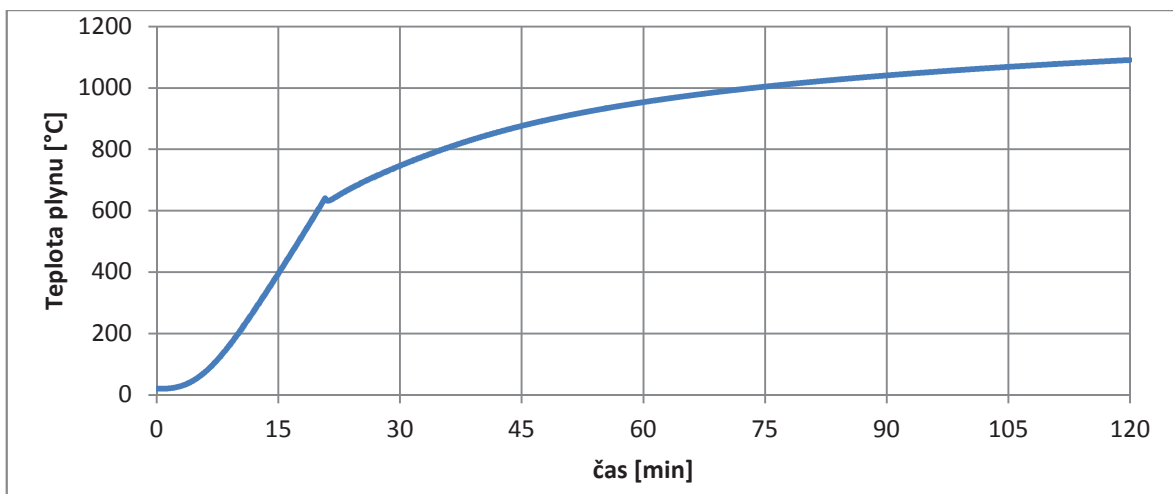
Rychlosť rozvoje požáru	rychlá	$t = 150$
-------------------------	--------	-----------

Maximální rychlosť uvolňování tepla	$6000 \text{ kW/m}^2$
-------------------------------------	-----------------------

Hustota požárního zatížení	$9300 \text{ MJ/m}^2$
----------------------------	-----------------------

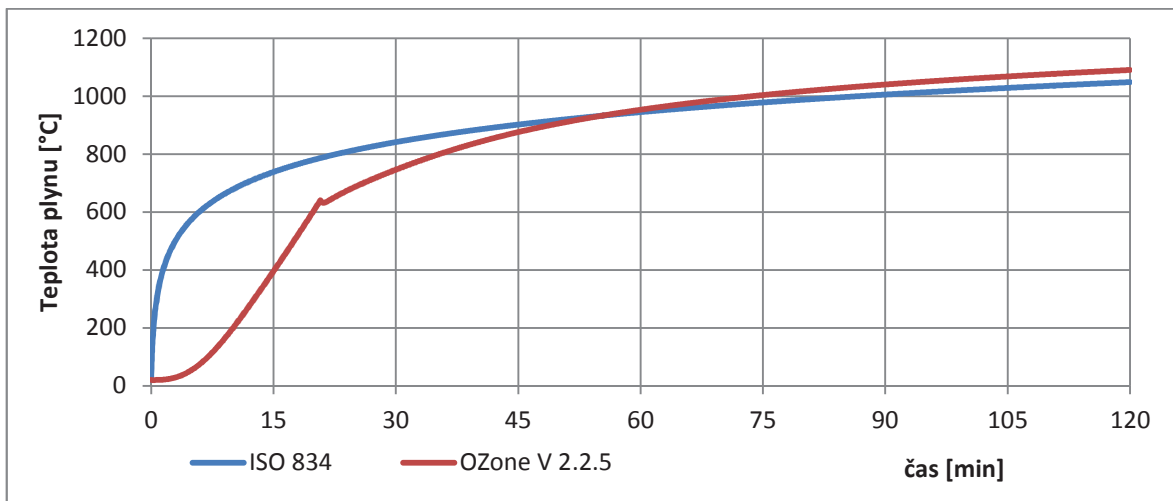
Nebezpečí vzniku požáru	střední	$\delta_{q,2} = 1,0$
-------------------------	---------	----------------------

Délka výpočtu	120 minut
---------------	-----------



Graf 2 - Parametrická teplotní křivka dle OZone V 2.2.5

#### 4.3. POROVNÁNÍ TEPLOTNÍCH KŘIVEK



Graf 3 - Porovnání teplotních křivek

Z grafu je zřejmé, že teploty dle softwaru OZone V 2.2.5 vychází příznivější teploty oproti křivce ISO 834. Jedná se nám zejména o teploty v čase požadované požární odolnosti, což v našem případě znamená 30 minut. Proto bude pro přestup tepla do konstrukce použita právě křivka dle OZone V 2.2.5.

## 5. STŘEŠNÍ VAZNICE

Střešní vaznice musí splňovat **požární odolnost R 30**. Při posouzení na běžnou teplotu byla vyhovující vaznice profilu **IPE 180**.

### 5.1. ZATÍŽENÍ

Zatížení vychází ze zatížení za běžné teploty. Pomocí redukčního součinitele  $\eta_{fi}$  snížíme hodnotu zatížení dle poměru stálého a proměnného zatížení.

$$q_k = 1,59 \text{ kN/m} \quad [3. Část, návrh vaznice za běžné teploty, zatížení KZS1]$$

$$g_k = 0,36 \text{ kN/m} \quad [3. Část, návrh vaznice za běžné teploty, zatížení KZS1]$$

$$\Psi_{2,1} = 0 \quad [3], kvazistálá hodnota$$

$$\eta_{fi} = \frac{g_k + \Psi_{2,1} * q_k}{g_k * \gamma_G + q_k * \gamma_Q} = \frac{0,36 + 0 * 1,9}{0,36 * 1,35 + 1,9 * 1,5} = 0,11$$

### 5.2. VNITŘNÍ SÍLY

$$M_{fi,Edy} = \eta_{fi} * M_{Edy} = 0,11 * 9,42 = 1 \text{ kNm}$$

$$M_{fi,Edz} = \eta_{fi} * M_{Edz} = 0,11 * 3,1 = 0,34 \text{ kNm}$$

$$V_{fi,Edz} = \eta_{fi} * V_{Edz} = 0,11 * 7,5 = 0,83 \text{ kN}$$

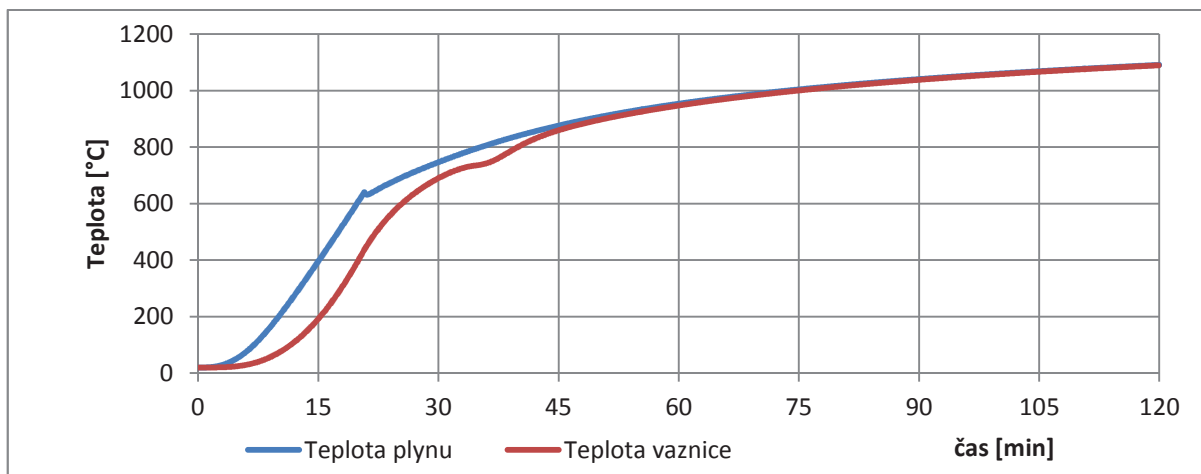
### 5.3. MATERIÁL

$$\varepsilon = 0,85 * \sqrt{\frac{235}{f_y}} = 0,85 * \sqrt{\frac{235}{235}} = 0,85$$

$$\frac{d}{t_w} = \frac{146}{5,3} = 27,5 < 72 * \varepsilon = 61,2 \quad 1. Třída$$

$$\frac{c}{t_f} = \frac{33,6}{8} = 4,2 < 9 * \varepsilon = 7,65 \quad 1. Třída$$

### REDUKCE MATERIÁLU VLIVEM TEPLITO



Graf 4 – Přestup teploty do ocelové vaznice IPE 180 dle Ozone V 2.2.5

Teplota ocelové vaznice ve 30. minutě dosahuje hodnoty **690°C**. Této hodnotě odpovídají následující redukční součinitely.

$$k_{y,\theta} = 0,254 \quad [3]$$

$$k_{E,\theta} = 0,148 \quad [3]$$

#### 5.4. POSOUZENÍ

$$\left( \frac{M_{fi,Edy}}{M_{plRdy,\theta}} \right) + \left( \frac{M_{fi,Edz}}{M_{plRdz,\theta}} \right) = \left( \frac{M_{fi,Edy}}{k_{y,\theta} * W_{pl,Rd,y} * f_{yd}} \right) + \left( \frac{M_{fi,Edz}}{k_{y,\theta} * W_{pl,Rd,z} * f_{yd}} \right) = \left( \frac{1000}{0,254 * 166,4 * 235} \right) + \left( \frac{340}{0,254 * 34,6 * 235} \right) = 0,265 < 1 \quad \text{VYHOVUJE}$$

$$V_{rd} = \frac{(k_{y,\theta} * f_{yd} * A_{vz})}{\sqrt{3}} = \frac{(0,254 * 235 * 1125)}{\sqrt{3}} = 38,8 \text{ kN} > V_{Ed} = 0,83 \text{ kN} \quad \text{VYHOVUJE}$$

$V_{rd} = 38,8 \text{ kN} > 2 * V_{Ed} = 2 * 0,83 = 1,66 \text{ kN} \rightarrow$  není třeba redukce momentové únosnosti

#### 5.5. ZÁVĚR

Ocelová vaznice profilu IPE 180 vyhoví, po dobu požadované doby požární odolnosti 30 minut, na mezní stav únosnosti. Mezní stav použitelnosti se neposuzuje. Vaznice tedy **vyhovuje bez protipožární ochrany**.

## **6. PŘÍČNÝ RÁM**

Příčný rám je zasažen požárem pouze na jednom poli. Pro výpočet bude tedy uvažováno, že se mění teplota pouze na jednom krajním a středním sloupu a příčli jednoho pole.

Teplota ocelových prvků je určena pro jednotlivé profily pomocí softwaru OZone V 2.2.5.

Následně jsou zredukovány vlastnosti oceli dotčených prvků a posouzeny na mimořádnou kombinaci zatížení.

### **6.1. NÁVRH**

Návrh je převzat z posouzení na běžnou teplotu. Profily navržených prvků jsou následující:

Krajní sloup: HEA 340 S235

Střední sloup: HEA 240 S235

Příčle: HEA 450 S355

### **6.2. ZATÍŽENÍ**

$q_k = 4 \text{ kN/m}$  [3. Část, návrh vaznice za běžné teploty, zatížení KZS1]

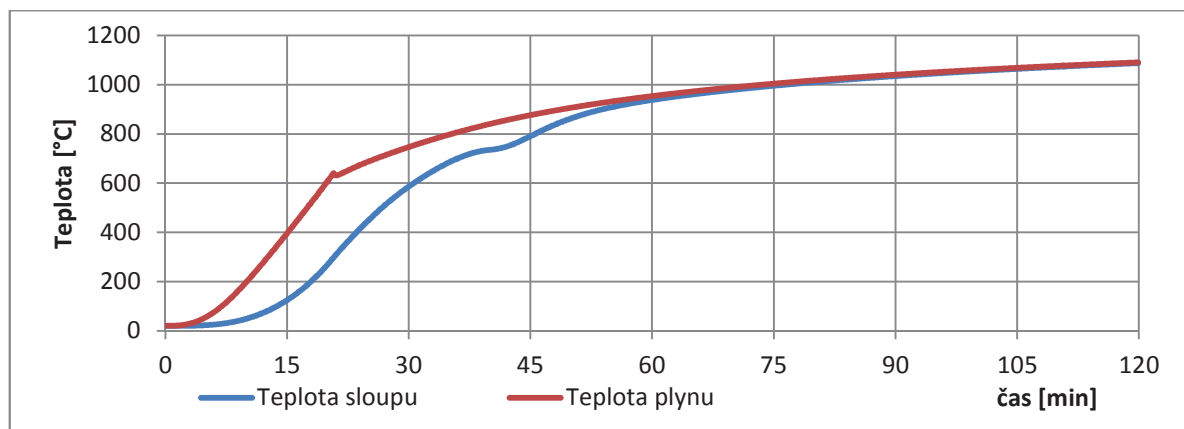
$g_k = 1,95 \text{ kN/m}$  [3. Část, návrh vaznice za běžné teploty, zatížení KZS1]

$\Psi_{2,1} = 0$  [3], kvazistálá hodnota

$$\eta_{fi} = \frac{g_k + \Psi_{2,1} * q_k}{g_k * \gamma_G + q_k * \gamma_Q} = \frac{1,95 + 0 * 4}{1,95 * 1,35 + 4 * 1,5} = 0,23$$

### **6.3. MATERIÁL**

#### **6.3.1. KRAJNÍ SLOUP**



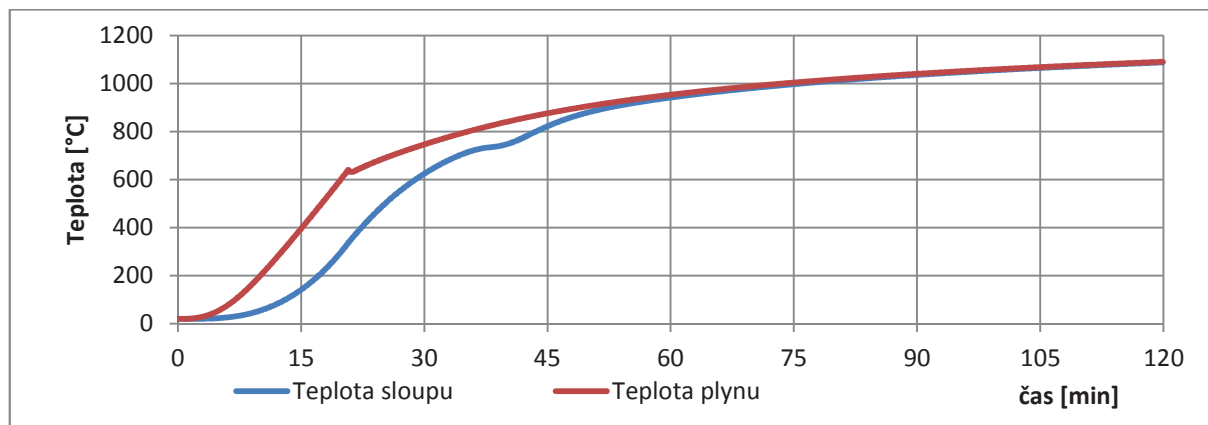
Graf 5 - Přestup teploty do ocelového sloupu HEA 340 dle OZone V 2.2.5

Teplota ocelového sloupu ve 30. minutě dosahuje hodnoty **586°C**. Této hodnotě odpovídají následující redukční součinitely.

$$k_{y,\theta} = 0,52 \quad [3]$$

$$k_{E,\theta} = 0,351 \quad [3]$$

### 6.3.2. STŘEDNÍ SLOUP



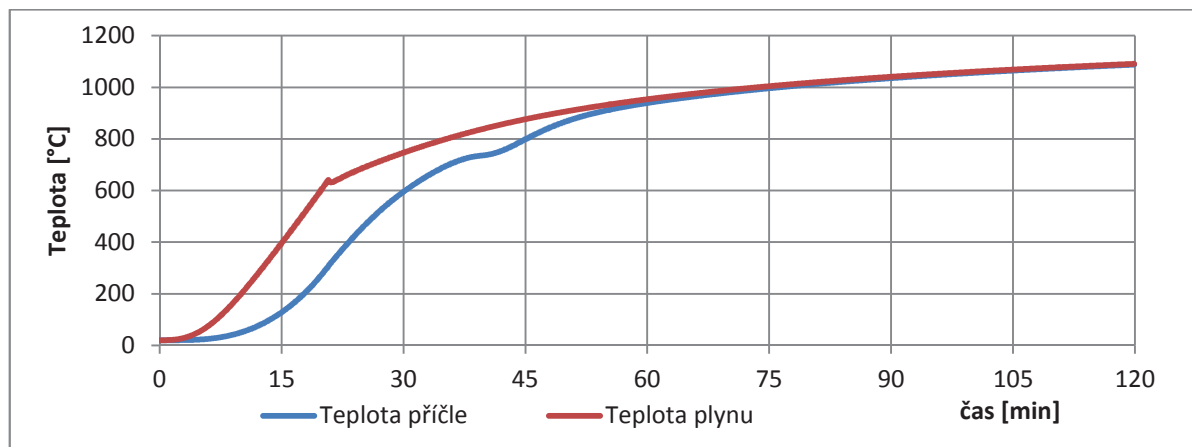
Graf 6 - Přestup teploty do ocelového sloupu HEA 240 dle OZone V 2.2.5

Teplota ocelového sloupu ve 30. minutě dosahuje hodnoty **625°C**. Této hodnotě odpovídají následující redukční součinitely.

$$k_{y,\theta} = 0,41 \quad [3]$$

$$k_{E,\theta} = 0,265 \quad [3]$$

### 6.3.3. PŘÍČLE



Graf 7 - Přestup teploty do ocelové příčle IPE 450 dle OZone V 2.2.5

Teplota ocelového sloupu ve 30. minutě dosahuje hodnoty **595°C**. Této hodnotě odpovídají následující redukční součinitely.

$$k_{y,\theta} = 0,47 \quad [3]$$

$$k_{E,\theta} = 0,31 \quad [3]$$

#### **6.4. POSOUZENÍ**

##### **6.4.1. KRAJNÍ SLOUP HEA 340**

###### VNITŘNÍ SÍLY

$$M_{fi,Edy} = \eta_{fi} * M_{Edy} = 0,23 * 153,7 = 35,4 \text{ kNm}$$

$$N_{fi,Ed} = \eta_{fi} * N_{Edz} = 0,23 * 89,1 = 20,5 \text{ kN}$$

$$V_{fi,Edz} = \eta_{fi} * V_{Edz} = 0,23 * 22,3 = 5,13 \text{ kN}$$

###### ZATŘÍDĚNÍ

$$e = \frac{M_{Ed}}{N_{Ed}} = \frac{7,9}{7} = 1,73 \text{ m}$$

$$x = 0,055 \text{ m}$$

$$\alpha = 0,73$$

###### tlačená pásnice

$$\frac{c}{t_f} = 7,2 < 9 * \varepsilon = 9 * 0,85 * \sqrt{\frac{235}{235}} = 7,6 \quad \rightarrow 1. \text{Třída}$$

###### stojina

$$\frac{d}{t_w} = 25,6 < \frac{396 * \varepsilon}{13 * \alpha - 1} = \frac{396 * 0,85}{13 * 0,73 - 1} = 39,6 \quad \rightarrow 1. \text{Třída}$$

###### VLIV VZPĚRU

Vzpěrné délky jsou ponechány dle posouzení na běžnou teplotu.

$$L_{cry} = 6090 \quad \lambda_y = 42,3$$

$$L_{crz} = 7000 \quad \lambda_z = 93,8$$

$$\lambda'_{y\theta} = (\lambda_y / \lambda_1) * \sqrt{\frac{k_{y,\theta}}{k_{E,\theta}}} = \frac{42,3}{93,9} * \sqrt{\frac{0,52}{0,351}} = 0,56$$

$$\lambda'_{z\theta} = (\lambda_z / \lambda_1) * \sqrt{\frac{k_{y,\theta}}{k_{E,\theta}}} = \frac{93,8}{93,9} * \sqrt{\frac{0,52}{0,351}} = 1,23$$

$$\alpha = 0,65 * \sqrt{\frac{235}{235}} = 0,65$$

$$\phi_{z,\theta} = \frac{1 + \alpha * \lambda'_{z,\theta} + \lambda'_{z,\theta}^2}{2} = \frac{1 + 0,65 * 1,23 + 1,23^2}{2} = 1,66$$

$$X_{z,fi} = \frac{1}{\phi_{z,\theta} + \sqrt{\phi_{z,\theta}^2 - \lambda'_{z,\theta}^2}} = \frac{1}{1,66 + \sqrt{1,66^2 - 1,23^2}} = 0,36$$

### VLIV KLOPENÍ

$$\Psi = 0 \rightarrow C_1 = 1,88$$

$$\lambda'_{LT,\theta} = \lambda_{LT} * \sqrt{\frac{k_{y,\theta}}{k_{E,\theta}}} = 0,685 * \sqrt{\frac{0,52}{0,351}} = 0,84$$

$$\alpha = 0,65 * \sqrt{\frac{235}{235}} = 0,65$$

$$\phi_{LT,\theta} = \frac{1 + \alpha * \lambda'_{LT,\theta} + \lambda'_{LT,\theta}^2}{2} = \frac{1 + 0,65 * 0,84 + 0,84^2}{2} = 1,13$$

$$X_{LT,fi} = \frac{1}{\phi_{z,\theta} + \sqrt{\phi_{z,\theta}^2 - \lambda'_{LT,\theta}^2}} = \frac{1}{1,13 + \sqrt{1,13^2 - 0,84^2}} = 0,53$$

### KOMBINACE TLAKU A OHYBU

$$\left( \frac{N_{fi,Ed}}{N_{Rd,\theta}} \right) + \left( \frac{M_{fi,Ed}}{M_{pl,Rd,z,\theta}} \right) = \left( \frac{N_{fi,Ed}}{k_{y,\theta} * A * f_{yd} * X_{fi,z}} \right) + \left( \frac{M_{fi,Ed}}{k_{y,\theta} * W_{pl,Rd,y} * f_{yd} * X_{LT,fi}} \right) =$$

$$\left( \frac{20500}{0,52 * 13350 * 235 * 0,36} \right) + \left( \frac{35400}{0,52 * 1850 * 235 * 0,53} \right) = 0,33 < 1$$

VYHOVUJE

### POSOUZENÍ NA SMYK

$$V_{rd} = \frac{(k_{y,\theta} * f_{yd} * A_{vz})}{\sqrt{3}} = \frac{(0,52 * 235 * 4495)}{\sqrt{3}} = 286 \text{ kN} > V_{Ed} = 5,13 \text{ kN}$$

$V_{rd} = 286 \text{ kN} > 2 * V_{Ed} = 2 * 5,13 = 10,26 \text{ kN} \rightarrow$  není třeba redukce momentové únosnosti

VYHOVUJE

Ocelový sloup profilu HEA 340 vychová, po dobu požadované doby požární odolnosti 30 minut, na mezní stav únosnosti. Mezní stav použitelnosti se neposuzuje. Sloup tedy vychovuje bez protipožární ochrany.

**6.4.2. STŘEDNÍ SLOUP****HEA 240**

Střední sloup není od mimořádné návrhové kombinace namáhán ohybem a bude tudíž posouzen pouze na tlak.

**VNITŘNÍ SÍLY**

$$N_{fi,Ed} = \eta_{fi} * N_{Edz} = 0,23 * 173,8 = 40 \text{ kN}$$

**ZATŘÍDĚNÍ**

$$\varepsilon = 0,85 * \sqrt{\frac{235}{f_y}} = 0,85 * \sqrt{\frac{235}{235}} = 0,85$$

$$\frac{d}{t_w} = \frac{164}{7,5} = 21,9 < 33 * \varepsilon = 28 \quad \text{1. Třída}$$

$$\frac{c}{t_f} = \frac{95,3}{12} = 7,94 < 10 * \varepsilon = 8,5 \quad \text{2. Třída}$$

**VLIV VZPĚRU**

Vzpěrné délky jsou ponechány dle posouzení na běžnou teplotu.

$$L_{cry} = 5180 \quad \lambda_y = 51,3$$

$$L_{crz} = 7000 \quad \lambda_z = 116,7$$

$$\lambda'_{y,\theta} = \lambda'_y * \sqrt{\frac{k_{y,\theta}}{k_{E,\theta}}} = 0,55 * \sqrt{\frac{0,41}{0,265}} = 0,68$$

$$\lambda'_{z,\theta} = \lambda'_z * \sqrt{\frac{k_{y,\theta}}{k_{E,\theta}}} = 1,24 * \sqrt{\frac{0,41}{0,265}} = 1,54 \quad \rightarrow \quad \text{ROZHODUJE}$$

$$\alpha = 0,65 * \sqrt{\frac{235}{235}} = 0,65$$

$$\phi_{z,\theta} = \frac{1 + \alpha * \lambda'_{z,\theta} + \lambda'_{z,\theta}^2}{2} = \frac{1 + 0,65 * 1,54 + 1,54^2}{2} = 2,18$$

$$X_{z,fi} = \frac{1}{\phi_{z,\theta} + \sqrt{\phi_{z,\theta}^2 - \lambda'_{z,\theta}^2}} = \frac{1}{2,18 + \sqrt{2,18^2 - 1,54^2}} = 0,27$$

$$N_{Rd,\theta} = k_{y,\theta} * A * f_{yd} * X_{fi,z} = 0,41 * 7684 * 235 * 0,27 = 200 \text{ kN} > N_{Ed} = 40 \text{ kN}$$

**VYHOVUJE**

Ocelový sloup profilu HEA 240 vyhoví, po dobu požadované doby požární odolnosti 30 minut, na mezní stav únosnosti. Mezní stav použitelnosti se neposuzuje. Sloup tedy **vyhovuje bez protipožární ochrany**.

### 6.4.3. PŘÍČLE

Při zatříďování průřezu můžeme zanedbat normálové síly v příčli a uvažovat ji jako prostě ohýbanou.

#### VNITŘNÍ SÍLY

$$M_{fi,Edy} = \eta_{fi} * M_{Edy} = 0,23 * 251,9 = 57,9 \text{ kNm}$$

$$N_{fi,Ed} = \eta_{fi} * N_{Edz} = 0,23 * 35,5 = 8,2 \text{ kN}$$

$$V_{fi,Edz} = \eta_{fi} * V_{Edz} = 0,23 * 79,4 = 18,3 \text{ kN}$$

#### ZATŘÍDĚNÍ

$$\varepsilon = 0,85 * \sqrt{\frac{235}{f_y}} = 0,85 * \sqrt{\frac{235}{355}} = 0,69$$

$$\frac{d}{t_w} = \frac{379}{9,4} = 27,5 < 72 * \varepsilon = 49,7 \quad \text{1. Třída}$$

$$\frac{c}{t_f} = \frac{69,3}{14,6} = 4,75 < 9 * \varepsilon = 6,21 \quad \text{1. Třída}$$

#### VLIV VZPĚRU

Vzpěrné délky jsou ponechány dle posouzení na běžnou teplotu. Ve směru kolmo k ose Z je zabráněno vybočení vzpěrem.  $\rightarrow X_{z,fi} = 1,0$

$$L_{cry} = 18250 \quad \lambda'_{y} = 1,29$$

$$\lambda'_{y,\theta} = \lambda'_{y} * \sqrt{\frac{k_{y,\theta}}{k_{E,\theta}}} = 1,29 * \sqrt{\frac{0,47}{0,31}} = 1,59$$

$$\alpha = 0,65 * \sqrt{\frac{235}{355}} = 0,53$$

$$\phi_{z,\theta} = \frac{1 + \alpha * \lambda'_{z,\theta} + \lambda'_{z,\theta}^2}{2} = \frac{1 + 0,53 * 1,59 + 1,59^2}{2} = 2,19$$

$$X_{y,fi} = \frac{1}{\phi_{z,\theta} + \sqrt{\phi_{z,\theta}^2 - \lambda'_{z,\theta}^2}} = \frac{1}{2,19 + \sqrt{2,19^2 - 1,59^2}} = 0,26$$

#### VLIV KLOPENÍ

$$\Psi = 0, k = 0,7 \rightarrow C_1 2,09$$

$$\lambda'_{LT,\theta} = \lambda_{LT} * \sqrt{\frac{k_{y,\theta}}{k_{E,\theta}}} = 1,27 * \sqrt{\frac{0,47}{0,31}} = 1,56$$

$$\alpha = 0,65 * \sqrt{\frac{235}{355}} = 0,53$$

$$\phi_{LT,\theta} = \frac{1 + \alpha * \lambda'_{LT,\theta} + \lambda'_{LT,\theta}^2}{2} = \frac{1 + 0,53 * 1,56 + 1,56^2}{2} = 2,13$$

$$X_{LT,fi} = \frac{1}{\phi_{z,\theta} + \sqrt{\phi_{z,\theta}^2 - \lambda'_{LT,\theta}^2}} = \frac{1}{2,13 + \sqrt{2,13^2 - 1,56^2}} = 0,28$$

### KOMBINACE TLAKU A OHYBU

$$\left( \frac{N_{fi,Ed}}{N_{Rd,\theta}} \right) + \left( \frac{M_{fi,Ed}}{M_{pl,Rd,z,\theta}} \right) = \left( \frac{N_{fi,Ed}}{k_{y,\theta} * A * f_{yd} * X_{fi,y}} \right) + \left( \frac{M_{fi,Ed}}{k_{y,\theta} * W_{pl,Rd,y} * f_{yd} * X_{LT,fi}} \right) =$$

$$\left( \frac{8200}{0,47 * 9882 * 355 * 0,26} \right) + \left( \frac{57900}{0,47 * 1702 * 355 * 0,28} \right) = 0,75 < 1 \quad \text{VYHOVUJE}$$

### POSOUZENÍ NA SMYK

$$Vrd = \frac{(k_{y,\theta} * f_{yd} * A_{vz})}{\sqrt{3}} = \frac{(0,47 * 355 * 5085)}{\sqrt{3}} = 490 \text{ kN} > V_{Ed} = 18,3 \text{ kN} \quad \text{VYHOVUJE}$$

$Vrd = 490 \text{ kN} > 2 * V_{Ed} = 2 * 18,3 = 36,6 \text{ kN} \rightarrow$  není třeba redukce momentové únosnosti

**VYHOVUJE**

Ocelová příčle profilu IPE 450 vyhoví, po dobu požadované doby požární odolnosti 30 minut, na mezní stav únosnosti. Mezní stav použitelnosti se neposuzuje. Příčle tedy **vyhovuje bez protipožární ochrany**.

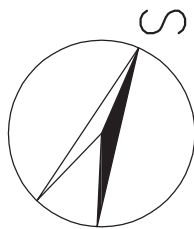
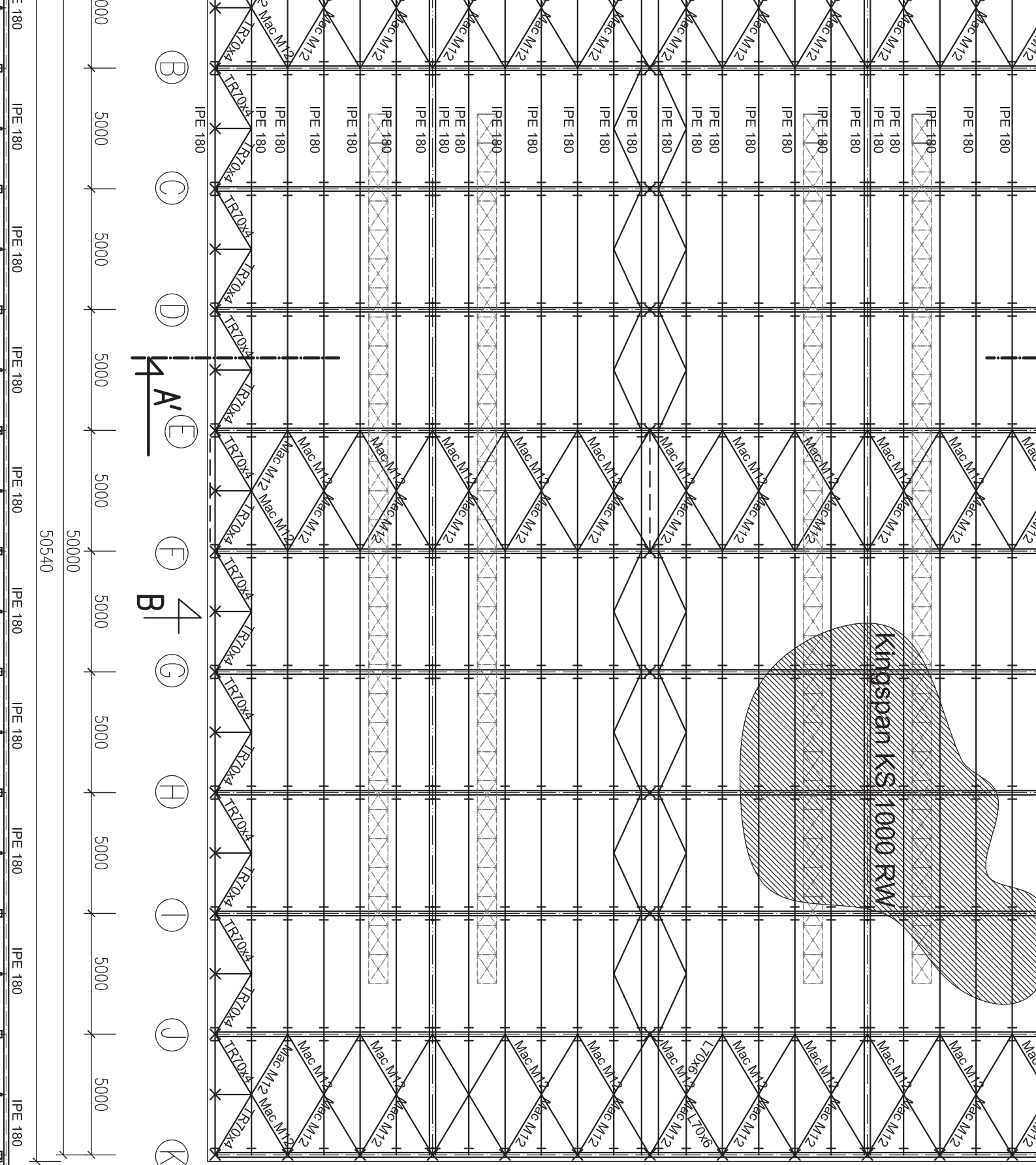
## **7. ZÁVĚR**

Na vybraných prvcích ocelové konstrukce bylo provedeno posouzení na běžnou teplotu a zvýšenou teplotu při požáru. Všechny tyto prvky vyhověly po dobu požadované požární odolnosti a není třeba dodatečná protipožární ochrana těchto prvků. Je tedy zřejmé, že posudky na zvýšené teploty mají u těchto typů objektu velký význam. Bez posouzení by bylo nutné vynaložit finanční prostředky na izolaci ocelových prvků. Případné nátěry a nástříky jsou náročné na důkladné provedení a zejména pak údržbu během užívání stavby. Taková opatření vyžadují pravidelnou obnovu a vážou na sebe další náklady. Halové objekty jsou charakteristické značným vlivem klimatického zatížení na konstrukci. To má vliv na posouzení při běžných teplotách. V případě požáru uvažujeme pouze mimořádnou kombinaci zatížení, při které jsou proměnná zatížení velmi redukována. Konstrukce je v tomto případě zatěžována prakticky pouze svou vlastní hmotností a vyhoví i při zvýšených teplotách.

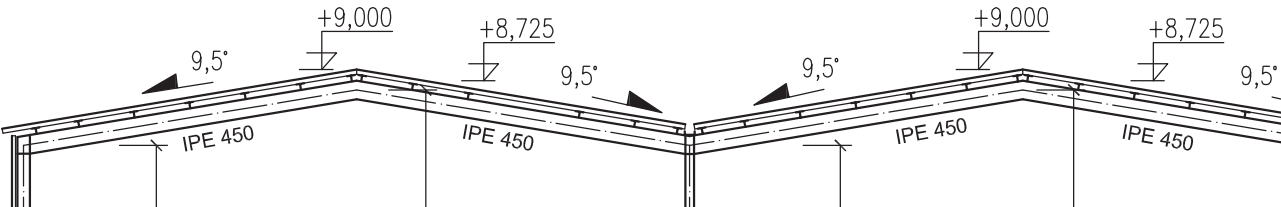
---

V Praze dne 15.5.2013

Jan Předota



ŘEZ A-A





## LEGENDA

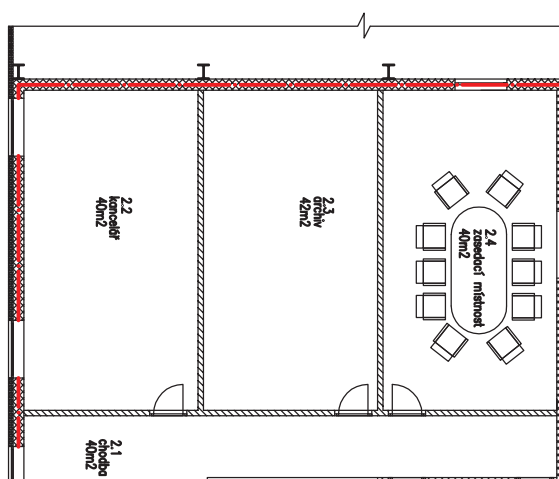
(H) VNÍTRNÍ HADICOVÝ NÁSTĚNNÝ

Z POŽÁRNÍ ZÁSAHOVÝ ŽEBŘÍK

# PRENOŠNÝ HASICÍ PRISTROJ

NOUZOVE OSVĚTLENÍ

POJIZDNY HASICÍ PRSÍROU



# OZone V 2.2.5 Report

Analysis Name:  
File Name:  
požáru\sklad.ozn  
Created: D:\ČVUT\8. Semestr\BAKALARKA\4\_část\_Návrh konstrukce za  
4.5.2013 at 12:57:20

## ANALYSIS STRATEGY

Selected strategy: 1 Zone Model

## PARAMETERS

### Openings

Radiation Through Closed Openings: 0,8  
Bernoulli Coefficient: 0,7

### Physical Characteristics of Compartment

Initial Temperature: 293 K  
Initial Pressure: 100000 Pa

### Parameters of Wall Material

Convection Coefficient at the Hot Surface: 25 W/m,K  
Convection Coefficient at the Cold Surface: 9 W/m,K

### Calculation Parameters

End of Calculation: 7200 sec  
Time Step for Printing Results: 5 sec  
Maximum Time Step for Calculation: 5 sec

Air Entrained Model: Heskstad

### Temperature Dependent Openings

All openings activated at: 0 °C

#### Stepwise Variation

Temperature [°C]	% of Total Openings [%]
20	10
400	50
500	100

#### Linear Variation

Temperature [°C]	% of Total Openings [%]
20	10
400	50
500	100

### Time Dependent Openings

Time [sec]	% of Total Openings [%]
0	5
1200	100

## COMPARTMENT

Form of Compartment: Rectangular Floor  
Height: 7 m  
Depth: 18 m  
Length: 50 m  
Roof Type: Double Pitch Roof  
Ceiling Height: 1,5

## DEFINITION OF ENCLOSURE BOUNDARIES

### Floor

Material (from inside to outside)	Thickness [cm]	Unit Mass [kg/m <sup>2</sup> ]	Conductivity [W/mK]	Specific Heat [J/kgK]
Normal weight Concrete [EN1994-1-2]	25	2300	1,6	1000

### Ceiling

Material (from inside to outside)	Thickness [cm]	Unit Mass [kg/m <sup>2</sup> ]	Conductivity [W/mK]	Specific Heat [J/kgK]
Steel [EN1994-1-2]	0,2	7850	45	600
Glass wool & Rock wool	12	60	0,037	1030
Steel [EN1994-1-2]	0,2	7850	45	600

<b>Wall 1</b>					
Material (from inside to outside)	Thickness [cm]	Unit Mass [kg/m <sup>3</sup> ]	Conductivity [W/mK]	Specific Heat [J/kgK]	
Steel [EN1994-1-2]	0,2	7850	45	600	
Glass wool & Rock wool	12	60	0,037	1030	
Steel [EN1994-1-2]	0,2	7850	45	600	

<b>Wall 2</b>					
Material (from inside to outside)	Thickness [cm]	Unit Mass [kg/m <sup>3</sup> ]	Conductivity [W/mK]	Specific Heat [J/kgK]	
Light Perforated Bricks	30	850	0,19	1000	

<i>Openings</i>					
Sill Height [m]	Soffit Height [m]	Width [m]	Variation	Adiabatic	
6,2	7	36	Constant	no	

<b>Wall 3</b>					
Material (from inside to outside)	Thickness [cm]	Unit Mass [kg/m <sup>3</sup> ]	Conductivity [W/mK]	Specific Heat [J/kgK]	
Steel [EN1994-1-2]	0,2	7850	45	600	
Glass wool & Rock wool	12	60	0,037	1030	
Steel [EN1994-1-2]	0,2	7850	45	600	

<b>Wall 4</b>					
Material (from inside to outside)	Thickness [cm]	Unit Mass [kg/m <sup>3</sup> ]	Conductivity [W/mK]	Specific Heat [J/kgK]	
Steel [EN1994-1-2]	0,2	7850	45	600	
Glass wool & Rock wool	12	60	0,037	1030	
Steel [EN1994-1-2]	0,2	7850	45	600	

<i>Openings</i>					
Sill Height [m]	Soffit Height [m]	Width [m]	Variation	Adiabatic	
6,2	7	36	Constant	no	

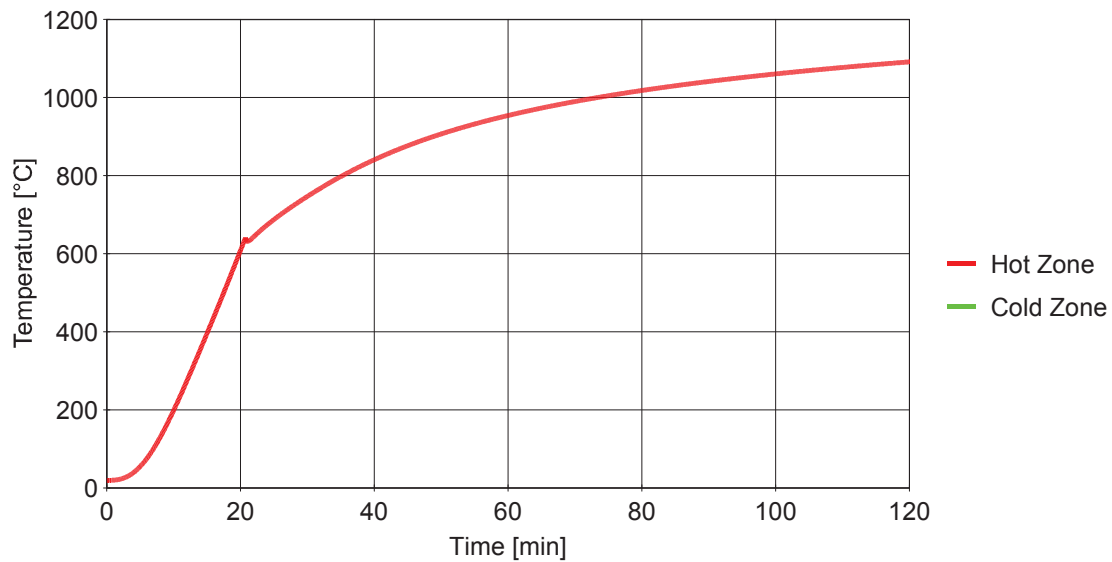
## FIRE

Fire Curve:	NFSC Design Fire			
Maximum Fire Area:	900 m <sup>2</sup>			
Fire Elevation:	0 m			
Fuel Height:	0 m			
Occupancy	Fire Growth Rate	RHRf [kw/m. <sup>2</sup> ]	Fire Load qf,k [MJ/m. <sup>2</sup> ]	Danger of Fire Activation
User Defined	150	6000	9300	1
Active Measures				
Description	Active	Value		
Automatic Water Extinguishing System	No	$\delta_{n,1} = 1$		
Independent Water Supplies	No	$\delta_{n,2} = 1$		
Automatic Fire Detection by Heat	No			
Automatic Fire Detection by Smoke	Yes	$\delta_{n,4} = 0,73$		
Automatic Alarm Transmission to Fire Brigade	No	$\delta_{n,5} = 1$		
Work Fire Brigade	No	$\delta_{n,6} = 1$		
Off Site Fire Brigade	No			
Safe Access Routes	Yes	$\delta_{n,8} = 1$		
Staircases Under Overpressure in Fire Alarm	No			
Fire Fighting Devices	Yes	$\delta_{n,9} = 1$		
Smoke Exhaust System	No	$\delta_{n,10} = 1,5$		
Fire Risk Area:	900	m <sub>r</sub>	$\delta_{q,1} = 1,72$	
Danger of Fire Activation:			$\delta_{q,2} = 1$	
$q_f, d =$	14012,5	MJ/m. <sup>2</sup>		
Combustion Heat of Fuel:	17,5	MJ/kg		
Combustion Efficiency Factor:	0,8			
Combustion Model:		Extended fire duration		

## RESULTS

Fire Area: The maximum fire area ( 900.00m<sub>2</sub> ) is greater than 25% of the floor area ( 900.00m<sub>2</sub> ). The fire load is uniformly distributed.

## Gas Temperature



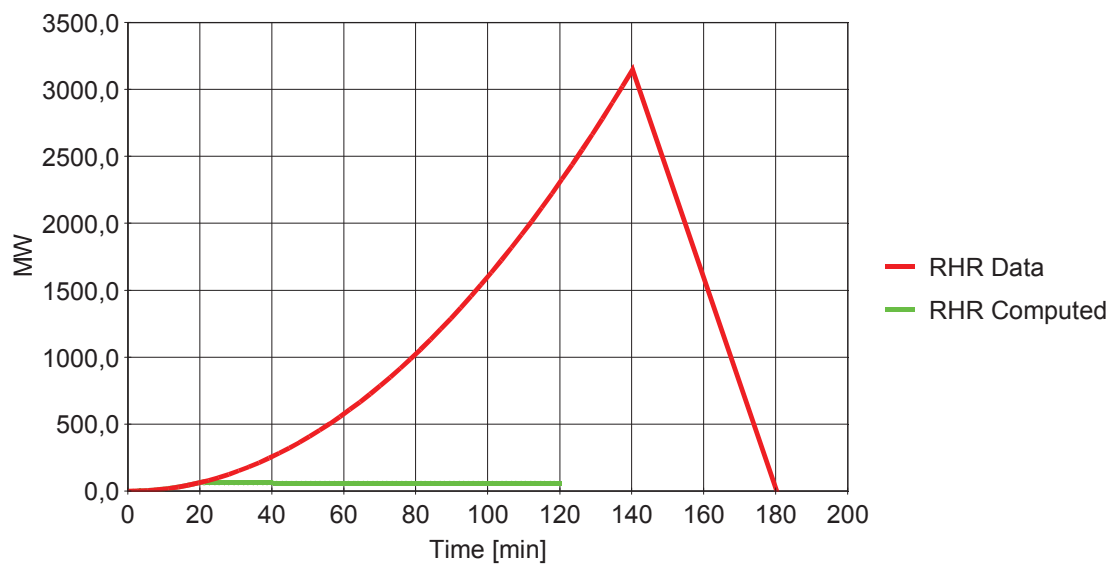
Analysis Name:

Peak: 1091 °C

At: 120 min

**Figure 1. Hot and Cold Zone Temperature**

## Rate of Heat Release



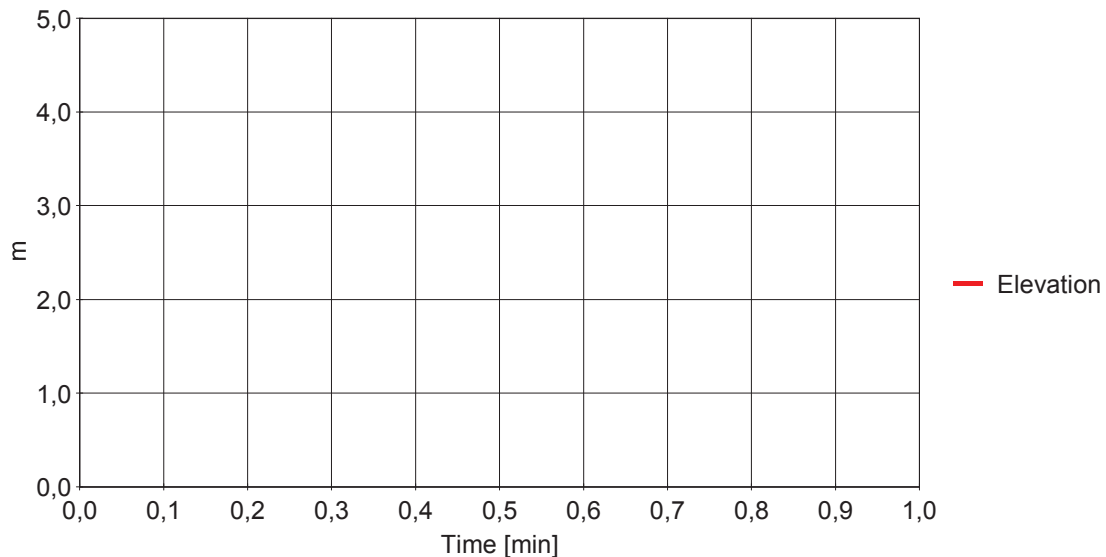
Analysis Name:

Peak: 3147,21 MW

At: 140,3 min

**Figure 2. RHR Data and Computed**

## Zones Interface Elevation



Analysis Name:

$h = 0,00 \text{ m}$

At: 0,00 min

**Figure 4. Zones Interface Elevation**

### STEEL PROFILE

Unprotected Section

Catalog Profile:

Exposed to Fire on:

HE 240 A

3 sides

### HEATING

Profile heated by:

Hot Zone Temperature

Convection coefficient:

35 W/m<sub>2</sub>K

Relative emissivity:

0,7